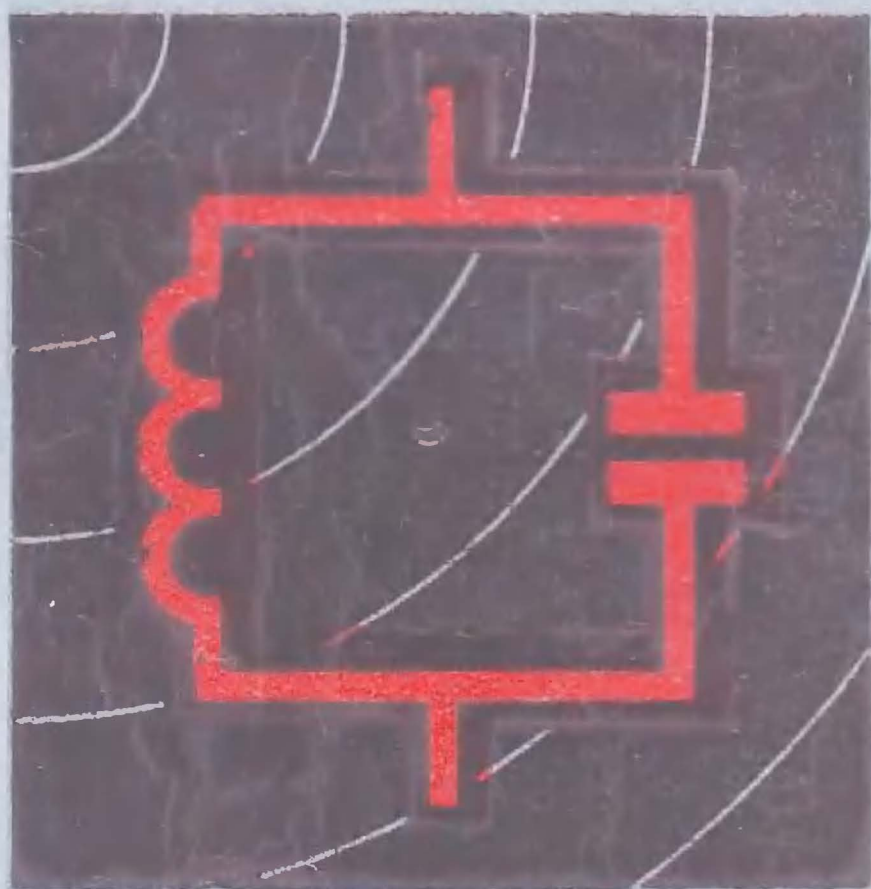


Ю. Ф. Скрипников



КОЛЕБАТЕЛЬНЫЕ КОНТУРЫ



6Ф2

С45

УДК 621.372.061

РЕДАКЦИОННАЯ КОЛЛЕГИЯ:

Берг А. И., Борисов В. Г., Бурдейный Ф. И., Бурлянд В. А.,
Ванеев В. И., Геништа Е. Н., Жеребцов И. П., Канаева А. М.,
Корольков В. Г., Кренкель Э. Т., Куликовский А. А., Смирнов А. Д.,
Тарасов Ф. И., Шамшур В. И.

Скрипников Ю. Ф.

С 45 Колебательный контур. М., «Энергия», 1970.

128 с. с илл. (Массовая радиобиблиотека, вып. 739)

В брошюре приведены основы расчета параметров колебательных контуров и их элементов — конденсаторов и катушек индуктивности. Рассмотрены некоторые физические процессы, протекающие в контурах, конденсаторах и катушках индуктивности. Приведены справочные данные, необходимые для расчетов.

Брошюра рассчитана на широкий круг радиолюбителей.

3-4-5

311-70

6Ф2

Скрипников Юрий Федорович

Колебательный контур

Редактор *Б. А. Снедков*

Обложка художника *А. М. Кувшинникова*

Техн. редактор *М. П. Осипова*

Корректор *Е. Х. Горбунова*

Сдано в набор 23/II 1969 г.

Подписано к печати 19/V 1970 г.

Т-06364

Формат 84×108^{1/32}

Бумага типографская № 1

Усл. печ. л. 6,72

Уч.-изд. л. 7,07

Тираж 60 000 экз.

Цена 31 коп.

Зак. 2585

Издательство «Энергия». Москва, Ж-114, Шлюзовая наб., 10.

Московская типография № 10 Главполиграфпрома
Комитета по печати при Совете Министров СССР.
Шлюзовая наб., 10.

ПРЕДИСЛОВИЕ

Колебательные контуры находят широкое применение в промышленной и радиолюбительской аппаратуре. Колебательные контуры являются одной из важнейших составных частей радиоприемников, передатчиков, телевизоров. Поэтому предварительный расчет колебательных контуров и их элементов облегчает настройку устройств, в которых они применяются.

Конденсаторы, входящие в состав колебательных контуров, как правило, применяются промышленного изготовления и лишь в отдельных случаях изготавливаются радиолюбителями самостоятельно. К таким конденсаторам относятся, в частности, конденсаторы переменной емкости. В настоящей брошюре приводятся расчеты конденсаторов переменной емкости, нашедших наиболее широкое применение. Наряду с расчетами приводятся параметры серийных конденсаторов, которые используются в колебательных контурах.

Катушки индуктивности, входящие в состав колебательных контуров, радиолюбителям приходится изготавливать в большинстве случаев самостоятельно. Поэтому в настоящей брошюре вопросу расчета катушек индуктивности уделено особое место. От качества катушек индуктивности в основном зависят свойства колебательных контуров, поэтому успешное конструирование катушек возможно при условии правильного выбора их параметров.

Отечественная литература по вопросам расчета параметров конденсаторов, катушек индуктивности и колебательных контуров достаточно обширна. Однако необходимый материал размещен во многих книгах и журналах, что создает определенные трудности при работе с ним. К тому же большой спрос на эту литературу делает ее библиографической редкостью. В настоящей работе автор сделал попытку систематизировать материал по этим вопросам. При подборе материала автор стремился более подробно осветить вопросы, имеющие наибольшее практическое значение и интересующие большинство радиолюбителей.

В брошюре приведены расчетные формулы, таблицы, графики и номограммы и лишь в отдельных случаях описания физических процессов, облегчающие пользование расчетным материалом. В брошюре не рассматриваются вопросы, связанные с практической стороной конструирования конденсаторов и катушек индуктивности, так как имеется в виду, что радиолюбитель знаком с этими вопросами.

Не следует считать брошюру полным рецептурным справочником по расчету колебательных контуров и их элементов. Приведенный в ней материал охватывает лишь наиболее распространенные случаи, с которыми может столкнуться радиолюбитель в своей работе.

Автор

ОСНОВНЫЕ ОБОЗНАЧЕНИЯ

Ток	i, I
Напряжение	U
Электродвижущая сила	E
Сопротивление активное	R
Эквивалентное сопротивление параллельного контура	R_3
Сопротивление характеристическое	ρ
Сопротивление шунтирующее	$R_{ш}$
Индуктивность	L
Емкость	C
Начальная магнитная проницаемость	μ_0
Динамическая магнитная проницаемость	μ_d
Относительная диэлектрическая проницаемость . .	ϵ
Частота колебаний	f
Резонансная частота контура	f_0
Угловая частота	ω
Добротность	Q
Полоса пропускания контура	$\Pi_{пр}$

Глава первая

ЕМКОСТЬ И КОНДЕНСАТОРЫ

Определяющие параметры конденсатора

Основной единицей емкости считается фарада, т. е. емкость, заряд которой равен 1 *к* при напряжении между обкладками конденсатора в 1 *в*

$$C = \frac{Q}{U},$$

где *C* — емкость, *ф*;

Q — количество электричества, *к*;

U — напряжение, *в*.

На практике применяются более мелкие единицы емкости:

10^{-6} *ф* = 1 микрофарада (1 *мкф*);

10^{-9} *ф* = 1 нанофарада (1 *нф*);

10^{-12} *ф* = 1 пикофарада (1 *пф*).

Конденсатор состоит из двух или нескольких пластин-проводников, именуемых обкладками, разделенными друг от друга изоляционным материалом — диэлектриком. Емкость конденсатора определяется тремя величинами:

1) площадью обкладок конденсатора;

2) расстоянием между обкладками;

3) диэлектрической проницаемостью материала между обкладками.

Диэлектрическая проницаемость ϵ — величина, показывающая, во сколько раз увеличивается емкость конденсатора при заполнении пространства между пластинами конденсатора тем или иным материалом. Значения диэлектрической проницаемости некоторых материалов приведены в табл. 1.

Конденсатор из двух параллельных плоскостей — один из самых распространенных типов конденсаторов, так как прибор для получения заданной емкости при наименьшем объеме практически получается при параллельных пластинах, разделенных твердым диэлектриком или при жесткой конструкции пластин небольшим воздушным промежутком. Емкость двухпластинчатого плоскопараллельного конденсатора определяется по формуле

$$C = \frac{0,886 \epsilon S}{a},$$

где *C* — емкость конденсатора, *пф*;

S — площадь пластин, *см*²;

Диэлектрическая проницаемость материалов

Материал	•	Материал	•
Аминопласты	5,0—9,0	Сегнетокерамика . . .	450—1 700
Бакелит	4,0—4,6	Слюда мусковит . . .	6,8—7,2
Береза сухая	3,0—4,0	Слюда флогопит . . .	8,0
Бумага кабельная . . .	4,0—4,8	Смолы эпоксидные . . .	3,7—3,9
Бумага конденсаторная	3,5	Совенит	3,0—4,0
Винипласт	3,5—3,6	Сосна сухая	3,5
Волокнит	7,5	Стеатит	6,0—6,5
Воск пчелиный	2,8—2,9	Стекло	4,0—10
Галовакс	4,5—5,5	Стеклотекстолит . . .	7,5—8,0
Гетинакс А, Б, В, Г . . .	6,0—8,0	Стекловолокнит . . .	8,0
Дельта-древесина . . .	8,0	Текстолит	7,5—8,0
Дуб сухой	3,5	Текстолит ВЧ	7,5—8,0
Канифоль	3,5	Тиконд	70—150
Капрон, нейлон	3,8—4,2	Термоконд	16—25
Каучук	2,4	Ультрафтор	6,0
Кварц плавленный . . .	4,1—4,4	Фторопласт	2,5—2,7
Лакоткань хлопчатобумажная	4,0—4,6	Фторопласт-4	1,9—2,2
Лакоткань шелковая . . .	3,8—4,5	Фибра	3,5
Микалекс	8,0—10	Фенопласт	8,0
Миканит	6,0	Фенопласт К-21-22 . . .	7,5—9,5
Мрамор	8,0—10	Целлулоид	5,5
Неолейкорит	6,5—7,5	Целофан	3,5—4,0
Озокерит	2,3	Церезин	2,1—2,3
Органическое стекло . . .	3,5—3,6	Шелк натуральный . . .	4,0—5,0
Парафин	2,1—2,2	Щеллак	3,5
Полистирол	2,4—2,6	Эбонит	2,7—3,0
Полихлорвинил	3,5—5,0	Этилцеллюлоза	3,5
Полиэтилен	2,2—2,3	Эмаль стекловидная . . .	4,0—7,0
Полипропилен	2,0—2,1	Электрокартон	3,5
Прессшпан	3,0—4,0	Янтарь	2,8
Резина	3,0		

a — расстояние между пластинами, мм;

ϵ — диэлектрическая проницаемость материала между обкладками.

На рис. 1 приведен график для определения емкости конденсатора по площади перекрытия и расстоянию между пластинами. Диэлектриком служит воздух, у которого величина ϵ равна единице. По этому графику удобно определять емкость конденсаторов, предназначенных для работы на УКВ. На рис. 2 приведена номограмма, позволяющая определять емкость плоскопараллельного конденсатора в широких пределах. Эти расчеты будут верными при том предположении, что электрические заряды распределены по всей площади пластин равномерно. Фактически по краям пластин распола-

гаются дополнительные заряды, увеличивающие расчетную ёмкость. При ширине пластин конденсатора, более чем в десять превышающей расстояние между пластинами, влиянием этого эффекта можно пренебречь.

Для конденсатора с числом пластин n ёмкость равна:

$$C = \frac{0,886 (n - 1) \epsilon S}{a}.$$

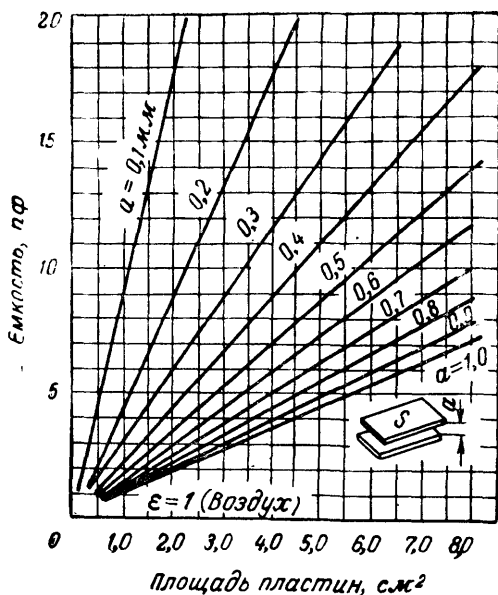


Рис. 1. График зависимости ёмкости конденсатора от площади перекрытия и расстояния между пластинами.

Для конденсатора с многослойным диэлектриком ёмкость определяется из выражения

$$C = \frac{0,886S}{\frac{a_1}{\epsilon_1} + \frac{a_2}{\epsilon_2} + \dots + \frac{a_n}{\epsilon_n}}.$$

Ёмкость отрезка коаксиального кабеля

$$C = \frac{0,24\epsilon l}{\lg \frac{D}{d}},$$

где C — ёмкость, пф;

l — длина отрезка, см;

\bar{D} — внутренний диаметр наружного проводника, см;
 d — внешний диаметр внутреннего проводника, см.
 Емкость отрезка двухпроводной линии

$$C = \frac{0,12\epsilon l}{\lg \frac{D}{d}},$$

где C — емкость отрезка линии, пф;
 l — длина отрезка, см;

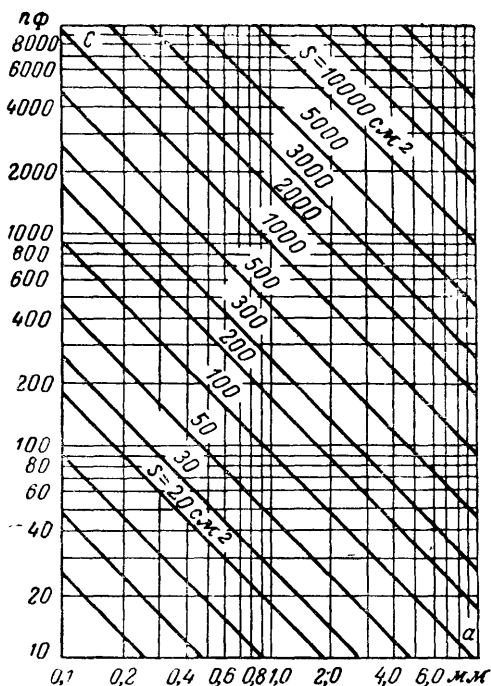


Рис. 2. Номограмма для расчета емкости плоскостранного конденсатора.

a — расстояние между проводниками, см;

D — диаметр проводников, см.

Емкость двух параллельных проводников радиусами R и r при условии $a \gg R > r$

$$C = \frac{0,556\epsilon l}{\lg \frac{a^2}{rR}},$$

где C — емкость, пф;

l — длина проводников, см;

a — расстояние между проводниками, *см*;
 R и r — радиусы проводников, *см*.

Емкость прямого провода, параллельного земле, при условии $l > h > D$

$$C = \frac{0,24\epsilon l}{\lg \frac{4h}{D}},$$

где C — емкость провода, *пф*;

l — длина провода, *см*;

h — расстояние до земли, *см*;

D — диаметр провода, *см*.

Печатные конденсаторы

Печатные конденсаторы применяются в печатных схемах для различных блокировок и фильтрации частот порядка 70—100 *Мгц*, а также входят в состав контуров, выполненных печатным способом. Расчет емкости этих конденсаторов производится по формуле плоского конденсатора.

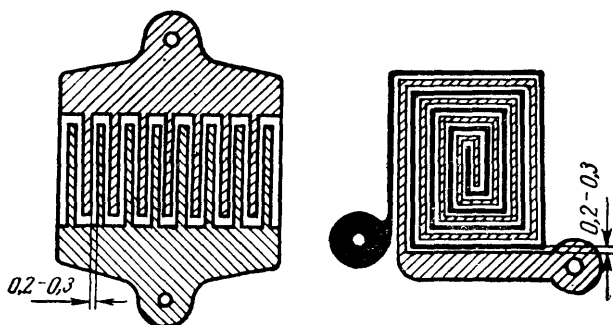


Рис. 3. Печатные конденсаторы одностороннего типа.

Обкладки печатных конденсаторов могут быть расположены как на обеих сторонах печатной платы, так и на одной стороне. Конденсаторы первого типа имеют большую емкость, величина которой определяется площадью обкладок, толщиной диэлектрика и его диэлектрической проницаемостью. Эта емкость обычно составляет 3—5 *пф/см²*, при использовании плат из феноловых пластмасс— 10—15 *пф/см²* и 0,02—0,03 *мкф/см²* при использовании керамики с высокими значениями диэлектрической проницаемости. Для уменьшения индуктивности обкладкам придается прямоугольная форма с соотношением сторон 1 : 2.

Конденсаторы небольшой емкости выполняются с обкладками, расположенными на одной стороне платы. Для увеличения емкости им придается зигзагообразная или гребенчатая форма (рис. 3). При ширине промежутка между торцами порядка 0,2 *мм* и основания со средней величиной диэлектрической проницаемости (4—5) емкость между торцами будет порядка 1,5—1,8 *пф/см*.

Конденсаторы переменной емкости

Конденсаторы переменной емкости чаще всего используются для плавной настройки колебательных контуров. Наибольшее распространение получили прямоемкостные и прямочастотные конденсаторы переменной емкости.

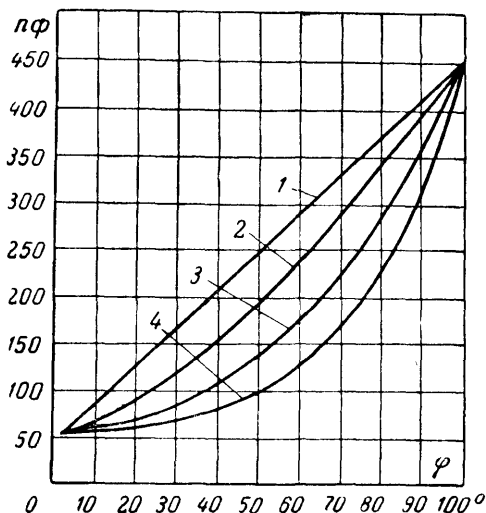


Рис. 4. Изменение емкости конденсаторов с различной формой пластин.

1 — прямоемкостного; 2 — прямоугольного; 3 — логарифмического; 4 — прямочастотного.

На рис. 4 приведен сравнительный график изменения емкости конденсаторов с различной формой пластин, а на рис. 5 — форма пластин переменных конденсаторов, соответствующих графику. Как видно из графика для прямоемкостного конденсатора характерна

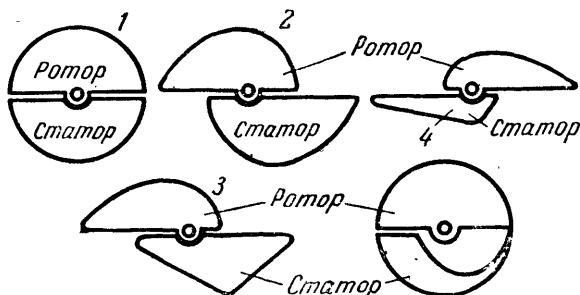


Рис. 5. Форма пластин конденсаторов переменной емкости.

линейная зависимость изменения емкости от угла поворота ротора. В случае применения прямоугольного конденсатора обеспечивается линейная зависимость между изменением частоты контура и углом поворота ротора.

Другой разновидностью конденсаторов переменной емкости является конденсатор с логарифмической формой пластин или средне-линейной. Основная особенность этого конденсатора заключается в том, что процентное изменение емкости, приходящееся на одно деление шкалы, остается одинаковым в любом месте шкалы. Это свойство облегчает спаривание конденсаторов на одной оси.

При расчете конденсаторов переменной емкости, работающих при высоких напряжениях, следует учитывать диэлектрическую прочность диэлектрика. Так как в большинстве случаев диэлектриком служит воздух, следует помнить, что при нормальном давлении и влажности критическое значение пробоя воздуха приблизительно равно 1000 в на 1 мм. Принимая во внимание необходимость запаса по диэлектрической прочности, для конденсаторов переменной емкости следует принимать 1 мм зазора на каждые 500—700 в амплитуды напряжения.

Следует отметить, что пробивное напряжение конденсатора с воздушным диэлектриком зависит от толщины пластин и их обработки. При напряжении до 500 в толщина пластин t берется от 0,5 до 3 мм и рассчитывается по формуле

$$t = 0,3a,$$

где a — расстояние между пластинами, мм.

При небольших зазорах (около 0,5—1,5 мм) толщина пластин определяется необходимостью обеспечить жесткость конструкции и берется порядка 0,7—0,9 мм.

При расчете конденсаторов переменной емкости необходимо предварительно найти минимальную $C_{\text{мин}}$ и максимальную $C_{\text{макс}}$ емкости. Максимальная емкость конденсатора определяется областью применения, а минимальная — его конструктивными данными: размерами, взаимным расположением ротора и статора, системой крепления статора и т. п.

Употребительные в практике значения максимальных и минимальных величин емкости применительно к приемо-передающим устройствам приведены в табл. 2.

Таблица 2

Емкость конденсаторов переменной емкости

Диапазон	ДВ	СВ	ПВ	КВ	УКВ		
$C_{\text{макс}}, \text{ пф}$	450—750	250—450	150—250	50—150	40—50	20—35	15—20
$C_{\text{мин}}, \text{ пф}$	15—25	10—15	8—12	6—10	5—7	3,5	3,5

Широкое применение находят конденсаторы переменной емкости, состоящие из нескольких конденсаторных секций, расположенных на одной оси. Наиболее употребительные блоки состоят из двух-

трех секций. При большом числе секций уменьшается механическая жесткость блока, увеличиваются его размеры и снижается стабильность из-за возможности прогиба длинной оси.

Прямоемкостные конденсаторы

Прямоемкостные конденсаторы выполняются с полукруглой или секторообразной формой роторных пластин (рис. 6 и 7). У конденсатора с полукруглыми пластинами изменение емкости от минимального значения до максимального происходит при повороте ротора от 0 до 180°, а у конденсатора с секторообразными пластинами — от 0 до 90°. Преимуществом конденсатора второго типа является возможность последовательного соединения его статорных пластин (рис. 7, б), при этом повышается его рабочее напряжение.

Рабочей площадью пластин конденсатора первого типа при условии полного введения пластин ротора явится:

$$S = 1,57(R^2 - r^2),$$

где R — радиус пластины;

r — радиус внутреннего выреза в статоре.

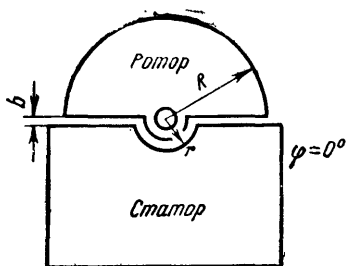


Рис. 6. Прямоемкостный конденсатор с полукруглой формой роторных пластин.

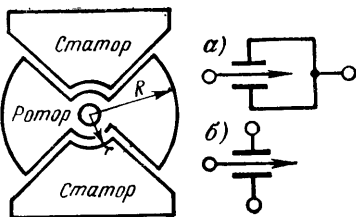


Рис. 7. Прямоемкостный конденсатор с секторообразной формой роторных пластин.

а — параллельное соединение статорных пластин; б — последовательное соединение статорных пластин.

Максимальная емкость переменной части конденсатора с полукруглыми пластинами

$$C_{\text{макс}} = \frac{0,139(n-1)(R^2 - r^2)\epsilon}{a},$$

где C — емкость конденсатора, пф ;

n — общее число пластин статора и ротора;

a — расстояние между пластинами, см .

Максимальная емкость переменной части каждого плеча конденсатора с секторообразными пластинами

$$C_{\text{макс}} = \frac{0,139 (n-1) (R^2 - r^2) \epsilon}{2a}$$

Общее число пластин n конденсатора

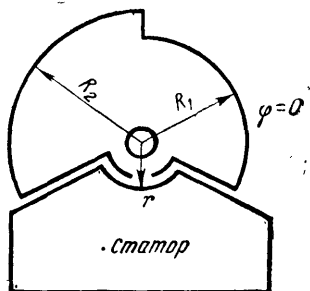
$$n = 1 + \frac{7,2 C_{\text{макс}} a}{R^2 - r^2}.$$

Емкость при заданном угле поворота ротора

$$C_{\varphi} = (C_{\text{макс}} - C_{\text{мин}}) \frac{\varphi}{\pi} + C_{\text{мин}},$$

где φ — угол поворота ротора, рад.

Рис. 8. Форма роторных пластин прямоемкостного конденсатора с углом поворота 240° .



На рис. 8 представлена форма пластины ротора прямоемкостного конденсатора с максимальным углом поворота 240° .

Максимальная емкость этого конденсатора определяется по формуле

$$C_{\text{макс}} = \frac{0,093 (R_2^2 - r^2) (n-1)}{a},$$

где R_2 — больший радиус ротора, см;

r — радиус выреза в пластинах статора, см.

Число пластин n по заданным значениям $C_{\text{макс}}$ и a

$$n = 1 + 10,8 \frac{C_{\text{макс}} a}{R_2^2 - r^2},$$

где a — расстояние между пластинами, см.

Меньший радиус пластин ротора R_1 определяется из выражения

$$R_1 = \frac{\sqrt{R_2^2 + r^2}}{2}.$$

Прямоволновый конденсатор

Прямоволновый конденсатор при настройке контура дает равномерное изменение длины волны, приходящееся на каждое деление шкалы. Для получения прямолинейной зависимости

Между длиной волны и углом поворота ротора необходимо выполнить условие

$$C_A = (aA + b)^2,$$

где C_A — емкость конденсатора при A делениях шкалы, $n\phi$;
 a и b — коэффициенты, зависящие от максимальной и минимальной емкостей конденсатора.

Коэффициенты a и b равны:

$$a \approx \frac{\sqrt{C_{\max}} - \sqrt{C_{\min}}}{100}; \quad b = \sqrt{C_{\min}}.$$

Максимальная емкость прямоугольного конденсатора

$$C_{\max} = \frac{0,0695 (n-1) (R^2 - r^2) \varepsilon}{a}.$$

Емкость при заданном угле поворота ротора

$$C_{\varphi} = (2 \sqrt{C_{\max} C_{\min}} - C_{\min}) \frac{\varphi}{\pi} + \\ + (\sqrt{C_{\max}} - \sqrt{C_{\min}})^2 \left(\frac{\varphi}{\pi} \right)^2 + C_{\min}.$$

Кривая внешнего радиуса пластин, $см$

$$R = \sqrt{(R_{\max}^2 - r^2) \frac{\varphi}{\pi} + r^2}.$$

Прямочастотный конденсатор

Пластины ротора прямочастотного конденсатора имеют форму, изображенную на рис. 9. Текущий радиус пластин ротора рассчитывается по формуле

$$r_T = R_{\max} \sqrt{\frac{1 - \frac{r^2}{R_{\max}^2}}{\left[1 + (k_f - 1) \frac{\varphi}{\pi} \right]^2} + \frac{r^2}{R_{\max}^2}},$$

где R_{\max} — максимальный радиус пластины ротора, $см$;

r — радиус выреза в пластинах статора, $см$;

φ — угол поворота ротора, для которого рассчитывается значение радиуса r_T ;

k — коэффициент перекрытия, равный f_{\max}/f_{\min} .

Число пластин n конденсатора

$$n = 1 + 14,4 C_{\max} \frac{(k_f - 1) a k_f^2}{(R_{\max}^2 - r^2) (k_f^2 - 1)},$$

где C_{\max} — максимальная емкость переменной части конденсатора, $n\phi$;

$R_{\text{макс}}$ — максимальный радиус пластины ротора, см;
 r — радиус выреза в пластинах статора, см;
 k_f — коэффициент перекрытия;
 a — расстояние между пластинами, см.

Логарифмический конденсатор

Максимальная емкость логарифмического конденсатора

$$C_{\text{макс}} = \frac{0,0695 (n-1) (R_{\text{макс}}^2 - r^2) \left(1 - \frac{C_{\text{мин}}}{C_{\text{макс}}}\right) \epsilon}{a \ln \frac{C_{\text{макс}}}{C_{\text{мин}}}},$$

где $C_{\text{макс}}$ — максимальная емкость переменной части конденсатора $n\phi$;

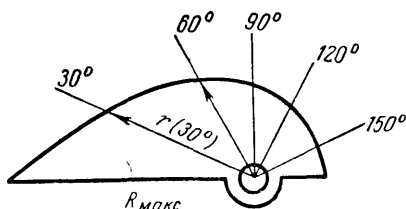


Рис. 9. Форма роторных пластин прямоугостного конденсатора.

$R_{\text{макс}}$ — максимальный радиус пластины ротора, см;
 r — радиус выреза в пластинах статора, см;
 a — расстояние между пластинами, см.

Текущий радиус пластин ротора

$$r_{\tau} = \sqrt{(R_{\text{макс}}^2 - r^2) \left(\frac{C_{\text{макс}}}{C_{\text{мин}}}\right) \frac{\varphi - \pi}{\pi} + r^2}$$

При расчете конденсаторов переменной емкости общее число пластин n следует выбирать исходя из следующих соображений: при большом числе пластин длина конденсатора получается чрезмерной, при малом — возрастает размер пластин, что понижает их жесткость и увеличивает габариты конденсатора. Число пластин следует выбирать так, чтобы длина конденсаторной секции примерно была равна среднему радиусу ротора. Ориентировочное число пластин конденсатора можно выбрать по табл. 3.

Таблица 3

Число пластин конденсаторов переменной емкости

$C_{\text{макс}}, n\phi$	До 750	350—500	200—300	100—150	50—60	40—50	25—35
n	До 33	15—25	9—11	7—13	7—13	5—11	3—7

Конденсаторы переменной емкости с твердым диэлектриком

Уменьшение размеров конденсаторов переменной емкости достигается при использовании в качестве диэлектрика материалов с большей, чем у воздуха диэлектрической проницаемостью, причем толщина диэлектрика может быть значительно меньше воздушного зазора, а также значительно тоньше могут быть и пластины. В конденсаторах подобного типа диэлектрик получается многослойным, состоящим из чередующихся слоев твердого диэлектрика и воздуха. Емкость конденсатора с таким диэлектриком равна:

$$C = \frac{A}{\frac{a_1}{\epsilon_1} + \frac{a_2}{\epsilon_2}},$$

где

$$A = \frac{S(n-1)}{3,6\pi};$$

a_1 и a_2 — толщины твердого диэлектрика и воздушной прослойки, см; ϵ_1 и ϵ_2 — их диэлектрические проницаемости.

При расчетах удобнее пользоваться понятием эквивалентной проницаемости ϵ_3 многослойного диэлектрика, при которой конденсатор обладает такой же емкостью, как и при многослойном диэлектрике. Толщина эквивалентного диэлектрика равна:

$$a = a_1 + a_2.$$

Следовательно,

$$C = A \frac{\epsilon_3}{a}.$$

В конденсаторах подобного типа в качестве второго диэлектрика применяется воздух, у которого $\epsilon_2=1$, тогда ϵ_3 равна:

$$\epsilon_3 = \epsilon_1 \frac{1 + \frac{a_2}{a_1}}{1 + \frac{a_2}{a_1} \epsilon_1}.$$

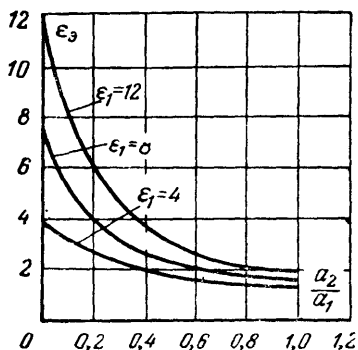


Рис. 10. График для определения эквивалентной проницаемости ϵ_3 .

На рис. 10 представлена зависимость эквивалентной проницаемости ϵ_3 от отношения a_2/a_1 при различных значениях диэлектрической проницаемости твердого диэлектрика.

Следует отметить, что величина потерь $\text{tg } \delta$ в конденсаторах с твердым диэлектриком больше, чем при воздушном диэлектрике и определяется в основном потерями в твердом диэлектрике. На практике используются два способа расположения твердого диэлек-

трика: в виде прокладки между пластинами и в виде тонкой пленки, нанесенной на пластины. Материалом для прокладок служит пленка из полистирола, фторопласта-4, слюды и других материалов толщиной 0,05—0,2 мм.

Достоинством таких конденсаторов являются малые габариты при большой емкости, простота изготовления, а недостатком — низкие стабильность и точность. Такие конденсаторы применяются в неответственных устройствах, когда к точности и стабильности не предъявляется особых требований.

Конструктивной особенностью сдвоенных блоков из конденсаторов с твердым диэлектриком является расположение статорных и роторных секций под углом 180° друг к другу, что в свою очередь уменьшает связь между ними, не увеличивая габаритов блока. Такие конденсаторы делаются в основном прямоемкостными, и их расчет производится обычным методом, следует только в расчетные формулы ввести значения ϵ_a .

Соотношения между максимальной и минимальной емкостями характеризуются следующими данными:

$C_{\text{макс}}, \text{ пф}$	180	230	300	370
$C_{\text{мин}}, \text{ пф}$	7	8	10	10

Общее число пластин при этих значениях емкости лежит в пределах от 16 до 30.

Конденсатор в цепи переменного тока

При включении идеального конденсатора, т. е. конденсатора, не имеющего потерь, в цепь переменного тока с частотой ω и известной амплитудой переменного напряжения $U_{\text{макс}}$, амплитуда тока в цепи конденсатора будет определяться по закону Ома:

$$I_{\text{макс}} = \omega C U_{\text{макс}},$$

а для цепи, содержащей активное сопротивление R , присоединенное к источнику с напряжением $U_{\text{макс}}$, амплитуда тока будет равна:

$$I_{\text{макс}} = \frac{U_{\text{макс}}}{R}.$$

Сравнивая два последних выражения, можно заметить, что амплитуда тока в цепи конденсатора такова, как если бы вместо конденсатора было включено активное сопротивление

$$R = \frac{1}{\omega C}.$$

Следовательно, для переменного тока конденсатор представляет сопротивление, величина которого равна:

$$X_C = \frac{1}{\omega C}.$$

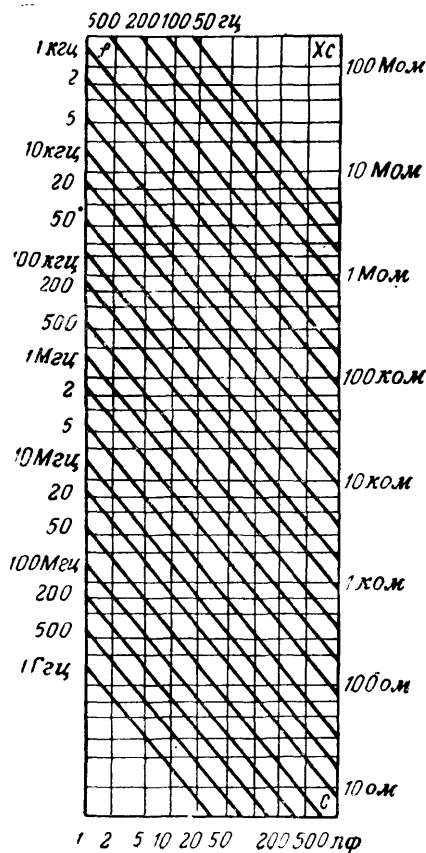


Рис. 11. Номограмма для расчета емкостного сопротивления конденсаторов.

Для звуковых частот емкостное сопротивление можно определять по формуле

$$X_C = \frac{159\,000}{fC},$$

где X_C — емкостное сопротивление, ом;

$f = \omega/2\pi$ — частота тока в цепи, гц;

C — емкость конденсатора, мкф.

Емкостное сопротивление конденсатора в зависимости от длины волны определяется по формуле

$$X_C = \frac{530\lambda}{C},$$

Это сопротивление конденсатора называется реактивным сопротивлением и обозначается буквой X , а буква C в индексе указывает, что это сопротивление емкостное.

Емкостное сопротивление имеет существенное отличие от активного, которое заключается главным образом в вопросе о потреблении мощности. В активном сопротивлении вся мощность, отдаваемая источником, превращается в тепло и расходуется на нагревание активного сопротивления. В случае емкостного сопротивления вся работа, совершаемая источником при заряде конденсатора, превращается в энергию электрического поля конденсатора. При разряде конденсатора вся энергия его электрического поля возвращается в источник. Можно считать, что вся энергия, накопленная в конденсаторе за четверть периода, пока он заряжался, полностью возвращается в источник за следующую четверть периода. Следовательно, конденсатор без потерь не потребляет энергии от источника.

Сопротивления, не расходующие полученную от источника энергию, а возвращающие ее источнику, называются реактивными сопротивлениями.

где X_C — емкостное сопротивление, *ом*;

λ — длина волны, *м*;

C — емкость конденсатора, *пф*.

При токе с частотой 50 *гц* формула для определения емкостного сопротивления конденсатора имеет вид:

$$X_C = \frac{3180}{C},$$

где C — емкость конденсатора, *мкф*.

Для быстрого определения величины X_C служит номограмма (рис. 11), на которой наглядно представлены величины емкостного сопротивления конденсаторов различной емкости на частотах от 50 *гц* до 1 *Ггц*. В табл. 4 и 5 приводятся значения емкостных сопротивлений для различных величин емкости как для низких, так и высоких частот.

Таблица 4

Емкостное сопротивление конденсаторов
на низких частотах, *ом*

Емкость, <i>мкф</i>	Частота						
	50 <i>гц</i>	250 <i>гц</i>	500 <i>гц</i>	1 000 <i>гц</i>	2 500 <i>гц</i>	5 000 <i>гц</i>	10 000 <i>гц</i>
0,1	32 000	6 400	3 200	1 600	640	320	160
0,5	6 400	1 280	640	320	128	64	32
1,0	3 200	640	320	160	64	32	16
2,0	1 600	320	160	80	32	16	8
3,0	1 060	212	106	53	21,2	10,6	5,3
4,0	800	160	80	40	16	8	4
5,0	640	128	64	32	12,8	6,4	3,2
10,0	320	64	32	16	6,4	3,2	1,6
50,0	64	12,8	6,4	3,2	1,28	0,64	0,32
100,0	32	6,4	3,2	1,6	0,64	0,32	0,16

Другое существенное отличие емкостного сопротивления от активного состоит в том, что в емкостном сопротивлении ток сдвинут по фазе относительно напряжения на 90°, в то время как в активном сопротивлении ток совпадает по фазе с напряжением.

Если к конденсатору приложено напряжение

$$u = U_{\text{макс}} \sin(\omega t + \varphi),$$

то ток в цепи

$$i = I_{\text{макс}} \sin(\omega t + \varphi + 90^\circ),$$

следовательно, напряжение на четверть периода отстает от тока.

Реальный конденсатор всегда обладает электрическими тепловыми потерями. Потери в конденсаторах вызываются замедленной поляризацией и проводимостью диэлектрика. В схемах замещения

Емкостное сопротивление конденсатора на высокой частоте, *ом*

Емкость	Частота							
	30 Мгц	10 Мгц	5 Мгц	3 Мгц	1,5 Мгц	600 кгц	468 кгц	200 кгц
10 пф	530	1 590	3 180	5 300	10 600	26 500	34 000	79 500
20 пф	265	795	1 590	2 650	5 300	13 250	17 000	39 800
50 пф	106	318	635	1 060	2 120	5 300	6 800	15 900
100 пф	53,0	159,0	318,0	530	1 060	2 650	3 400	7 950
200 пф	26,5	79,5	159,0	265	530	1 325	1 700	3 980
500 пф	10,6	31,8	63,5	106	212	530	680	1 590
1 000 пф	5,30	15,90	31,8	53,0	106,0	265	340	795
2 000 пф	2,65	7,95	15,9	26,5	53,0	132	170	398
5 000 пф	1,06	3,18	6,35	10,6	21,2	53	68	159
0,01 мкф	0,530	1,590	3,18	5,30	10,6	26,5	34	79,5
0,02 мкф	0,265	0,795	1,59	2,65	5,30	13,2	17,0	39,8
0,05 мкф	0,106	0,318	0,635	1,06	2,12	5,3	6,8	15,9
0,1 мкф	0,0530	0,1590	0,318	0,530	1,06	2,65	3,40	7,95
0,2 мкф	0,0265	0,0795	0,159	0,265	0,53	1,32	1,70	3,98
0,5 мкф	0,0106	0,0318	0,0635	0,106	0,212	0,53	0,68	1,59
1 мкф	0,00530	0,0159	0,0318	0,530	0,106	0,265	0,34	0,795
2 мкф	0,00265	0,00795	0,0159	0,0265	0,053	0,132	0,17	0,398
6 мкф	0,00088	0,00265	0,0053	0,0099	0,017	0,044	0,058	0,133

конденсатор с потерями изображается в виде чистой емкости \tilde{C} , к которой параллельно или последовательно подключено активное сопротивление. Наличие активного сопротивления вызывает некоторый сдвиг фаз, и ток опережает напряжение, приложенное к конденсатору, на несколько меньший, чем 90° , угол. Этот сдвиг фаз определяется тангенсом угла $\operatorname{tg} \delta$, где δ является углом потерь. Практически эта величина представляет отношение эквивалентного последовательного сопротивления к емкостному на рассматриваемой частоте.

Величина потерь для последовательной схемы замещения равна:

$$\operatorname{tg} \delta = \frac{U_R}{U_C} = R\omega C_R,$$

а для параллельной

$$\operatorname{tg} \delta = \frac{I_R}{I_C} = \frac{1}{R\omega C_R},$$

где $\omega = 2\pi f$ — угловая частота тока в цепи.

Величина, обратная $\operatorname{tg} \delta$, называется добротностью конденсатора

$$Q = \frac{1}{\operatorname{tg} \delta}$$

и может достигать нескольких тысяч.

Современные конденсаторы (кроме электролитических) характеризуются очень малыми потерями; $\delta \ll 3'$ и $\operatorname{tg} \delta \leq 0,01 - 0,001$.

У конденсатора с малыми потерями сдвиг фаз между током и напряжением близок к 90° . Поэтому реактивная мощность равна:

$$P_p = UI \sin \varphi \approx UI.$$

Так как ток через конденсатор $I = U\omega C$, то $P_p = U^2\omega C$. Достигаемое значение амплитуды переменного напряжения на конденсаторе, при котором реактивная мощность равна P_p , определяется из выражения

$$U_{\max} = 556 \sqrt{\frac{P_p}{fC}},$$

где U_{\max} — амплитуда напряжения на конденсаторе, в;

f — частота, МГц;

C — емкость конденсатора, пф.

Реактивная мощность выражается в реактивных вольт-амперах. При переменных напряжениях выше допустимого происходит перегрев диэлектрика и разрушение конденсатора.

Одним из недостатков конденсаторов является наличие у них индуктивности. Индуктивность складывается из индуктивности рабочего элемента конденсатора и индуктивности внешних и внутренних соединительных проводников. Индуктивность конденсатора зависит от размеров рабочего элемента, его расположения относительно корпуса, длины выводов и др. Присутствие индуктивности увеличивает эквивалентную емкость и вызывает появление резонансных явлений в конденсаторе. На рис. 12 изображена простейшая схема

конденсатора с собственной индуктивностью. При резонансе, т. е. при

$$f_0 = \frac{1}{2\pi \sqrt{LC}},$$

сопротивление этой цепи минимально и равно активному сопротивлению потерь. Для частот, отличных от резонансной, полное сопротивление конденсатора имеет реактивный характер; для низких — емкостный, а на высоких — индуктивный.

Нормальное использование конденсатора может происходить лишь на частотах ниже резонансной, на которых он имеет емкост-

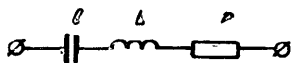


Рис. 12. Эквивалентная схема конденсатора с собственной индуктивностью.

ное сопротивление. Для нормальной работы конденсаторов необходимо выполнение условия

$$f_{\text{макс}} = \frac{f_0}{2 \div 3},$$

где $f_{\text{макс}}$ — максимальная рабочая частота;
 f_0 — резонансная частота конденсатора.

Таблица 6

Индуктивность и максимальные рабочие частоты конденсаторов

Тип	L , нГн	$f_{\text{макс}}$, МГц
Слюдяной, малого размера КСО-1 — КСО-7	4—6	150—200
Слюдяной, среднего размера КСО-11	15—25	75—100
Слюдяной, большого размера	50—100	1—1,5
Керамический, дисковый, малого размера КД-1	1—1,5	2 000—3 000
Керамический, дисковый, среднего размера КД-2, КДУ	2—4	200—500
Керамический, трубчатый, малого размера КТ-1	3—10	150—200
Керамический, трубчатый, среднего размера КТ-3	20—30	50—70
Бумажный, малого размера в цилиндрическом корпусе с паяными торцами КБГ-И	6—11	50—80
Бумажный, среднего размера в цилиндрическом корпусе, с непаянными торцами КБГ-М	30—60	3—5
Бумажный, большой емкости	50—100	1—1,5
Переменной емкости, среднего размера, с воздушным диэлектриком	10—60	50—100
Переменной емкости, малого размера	6—20	300—350

На частотах, близких к резонансной, индуктивное сопротивление компенсирует емкостное, т. е. способствует уменьшению общего реактивного сопротивления. На частотах выше резонансной реактивное сопротивление конденсатора меняет свой знак и становится индуктивным. Для некоторых типов конденсаторов зависимость f_0 от величины емкости и длины выводов показана графически на рис. 13. В табл. 6 приведены величины индуктивности стандартных конденсаторов и их максимальные рабочие частоты.

Другим важным фактором, характеризующим конденсатор, является стабильность. Стабильность конденсатора определяется изменением его основных параметров, главным образом емкости, под воздействием внешней среды. Изменения емкости, вызываемые действием температуры, характеризуются температурным коэффициентом емкости (ТКЕ), представляющим относительное изменение емкости при изменении температуры на 1°C :

$$\text{ТКЕ} = \frac{C_2 - C_1}{C_{20} \Delta t^\circ},$$

где C_2 — емкость конденсатора при температуре нагрева;

C_1 — то же при начальной температуре.

В зависимости от вида конденсатора ТКЕ может быть положительным, отрицательным или близким к нулю; ТКЕ обычно выражается в миллионных долях изменения емкости к одному градусу ($10^{-6}/^\circ\text{C}$). По величине ТКЕ конденсаторы подразделяются на группы, которым присвоены цифровые и буквенные символы, а также цвета для окраски корпуса. В табл. 7 приведены группы температурной стабильности стандартных конденсаторов постоянной емкости, а на рис. 14 — зависимость относительного изменения емкости керамических конденсаторов различной окраски от температуры. Температурная зависимость емкости слюдяных конденсаторов обозначается буквами от А до Г. Соответствующие им значения ТКЕ приведены в табл. 7.

Керамические конденсаторы КТ, КД, КДС и др. окрашены в разные цвета, которые характеризуют стабильность их емкости при изменениях температуры. Емкость конденсаторов серого, голубого и синего цветов при изменении температуры изменяется

Таблица 7

Группы температурной стабильности конденсаторов

Группа	ТКЕ, $\%/^\circ\text{град}$	Цвет корпуса
А	Не нормируется	—
Б	$\pm 0,02$	—
В	$\pm 0,01$	—
Г	$\pm 0,005$	—
К	$-(0,13 \pm 0,02)$	Зеленый или красный с зеленой точкой
Д	$-(0,07 \pm 0,01)$	Красный
Л	$-(0,0075 \pm 0,003)$	Белый
М	$-(0,005 \pm 0,003)$	Голубой
Р	$+(0,003 \pm 0,003)$	Серый
С	$+(0,0120 \pm 0,003)$	Синий
Н	Не нормируется	Оранжевый или желтый

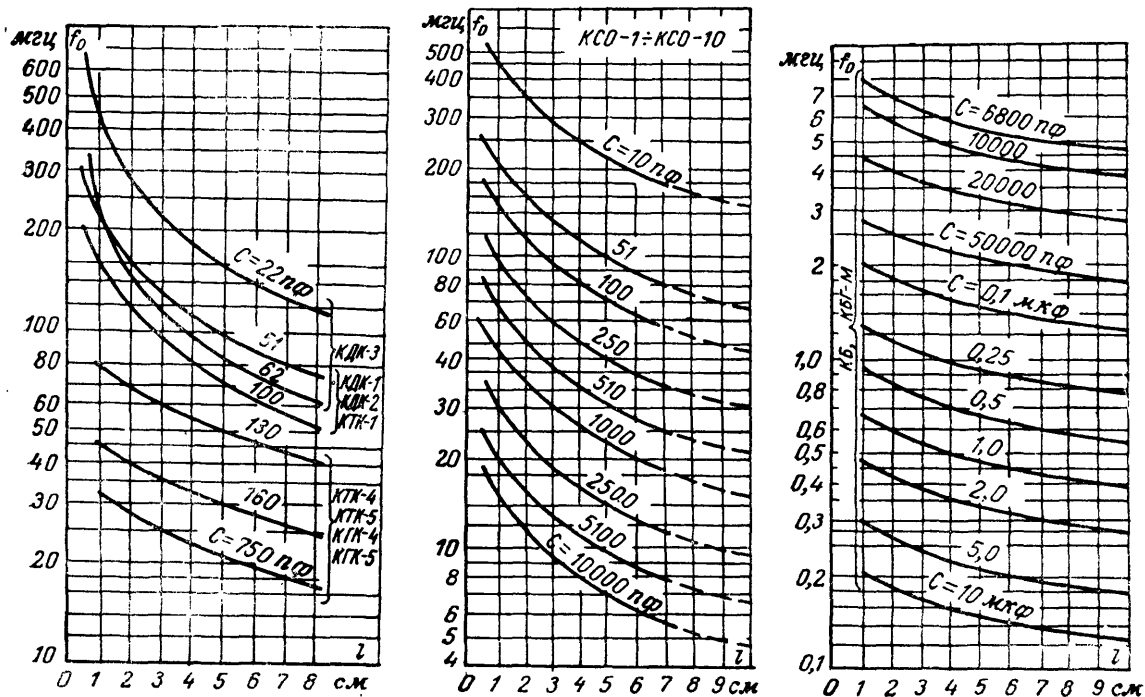


Рис. 13. Графики резонансных частот конденсаторов.

Незначительно (рис. 14,а), такие конденсаторы называются термостабильными. Емкость конденсаторов зеленого и красного цветов при увеличении температуры заметно уменьшается (рис. 14,б). Эти конденсаторы называются термокомпенсирующими. При использовании в резонансных контурах они дают возможность значительно улучшить стабильность их частоты при колебаниях температуры. Конденсаторы оранжевого цвета при изменениях температуры изменяют емкость в широких пределах.

В практике встречаются керамические конденсаторы с нанесенными на них буквами и цифрами. При этом независимо от цвета окраски их корпуса стабильность емкости определяется так: конденсатор с маркировкой ПЗЗ или Р соответствует серому конденсатору, с маркировкой М47 или М — голубому, с маркировкой П120 или С — синему, с маркировкой М1300 или К — зеленому, с маркировкой М700 или Д — красному, с маркировкой М75 или Л — голубому с красной точкой, с маркировкой Н70 — оранжевому.

У воздушных конденсаторов переменной емкости ТКЕ обычно во много раз превышает величину температурного коэффициента диэлектрической проницаемости воздуха ($2 \cdot 10^{-6}$) и для различных конструкций может изменяться в пределах от $+150 \cdot 10^{-6}$ до $-70 \cdot 10^{-6}$. Часто поведение конденсаторов при изменении температуры бывает не циклическим, т. е. после нагрева и охлаждения емкость не возвращается к своему первоначальному значению.

Соединение конденсаторов

На рис. 15 показано последовательное соединение конденсаторов. Общая емкость цепи определяется по формуле

$$\frac{1}{C_{\text{общ}}} = \frac{1}{C_1} + \frac{1}{C_2} + \frac{1}{C_3}$$

и будет меньше емкости наименьшего конденсатора этой цепи.

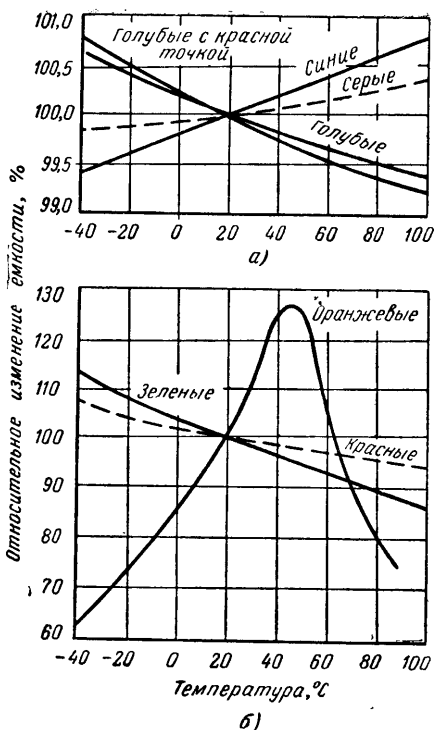


Рис. 14. Изменение емкости керамических конденсаторов различной окраски при изменениях температуры. а — термостабильных; б — термокомпенсирующих и сегнетокерамических.

Общее напряжение равно сумме напряжений на отдельных конденсаторах:

$$U = U_1 + U_2 + U_3.$$

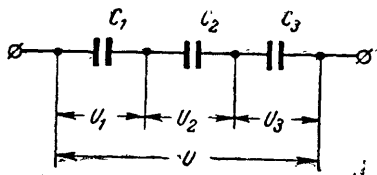


Рис. 15. Последовательное соединение конденсаторов.

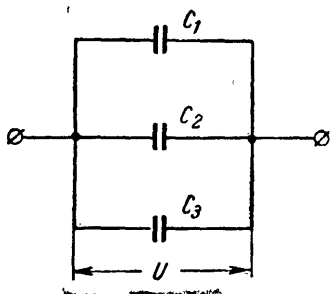


Рис. 16. Параллельное соединение конденсаторов.

Напряжения на конденсаторах обратно пропорциональны их емкости:

$$U_1 : U_2 : U_3 = \frac{1}{C_1} : \frac{1}{C_2} : \frac{1}{C_3}.$$

При последовательном соединении конденсаторов одинаковой емкости C_1 общая емкость равна:

$$C_{\text{общ}} = \frac{C_1}{n}.$$

Емкость двух последовательно соединенных конденсаторов рассчитывается по формуле

$$C_{\text{общ}} = \frac{C_1 C_2}{C_1 + C_2}.$$

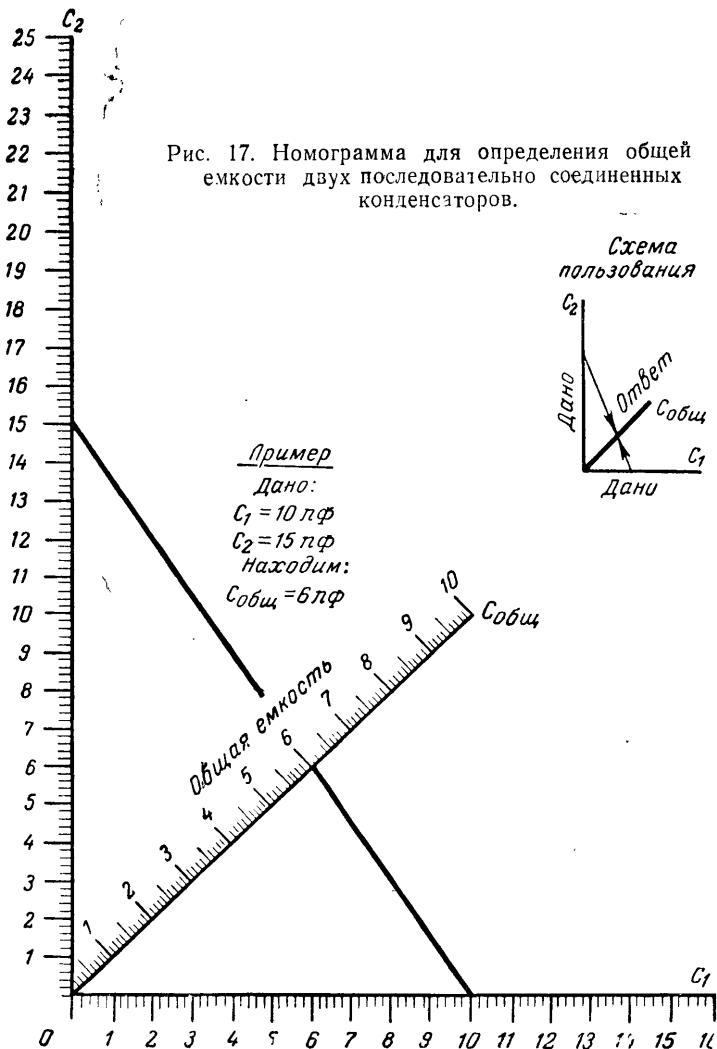
На рис. 16 приведена схема параллельного соединения конденсаторов. Общая емкость цепи равна сумме емкостей всех конденсаторов:

$$C_{\text{общ}} = C_1 + C_2 + C_3.$$

На рис. 17 приведена номограмма для расчета общей емкости двух последовательно соединенных конденсаторов. Для расчета по номограмме величины емкостей следует брать в одинаковых единицах.

При параллельном соединении n конденсаторов одинаковой емкости C_1 общая емкость равна:

$$C_{\text{общ}} = C_1 n.$$



Глава вторая

КАТУШКИ ИНДУКТИВНОСТИ

Единица измерения индуктивности — генри. Индуктивностью в 1 *гн* обладает катушка, в которой возникает э. д. с. самоиндукции, равная 1 *в* при изменении тока в катушке на 1 *а* в 1 *сек*.

На практике применяются более мелкие единицы индуктивности — 1 миллигенри = 10^{-3} *гн* и 1 микрогенри = 10^{-6} *гн*.

По своему назначению катушки индуктивности можно разделить на следующие группы: катушки контуров, катушки связи, дроссели высокой частоты и дроссели низкой частоты.

По конструктивному признаку катушки делятся на однослойные и многослойные, экранированные и неэкранированные, катушки с сердечниками и без сердечников, катушки цилиндрические, плоские, тороидальные и печатные.

Катушки индуктивности характеризуются следующими основными параметрами: величиной индуктивности, добротностью, собственной емкостью и стабильностью. Основные параметры катушек индуктивности приведены в табл. 8.

Расчет индуктивности

Индуктивность прямого провода круглого сечения

$$L = 2l \left(2,3 \lg \frac{4l}{d} + \frac{d}{2l} - 1 \right) 10^{-9},$$

где L — индуктивность, мкГн; l — длина провода, см; d — диаметр провода, см.

На рис. 18 показан график для определения индуктивности прямого провода круглого сечения. Следует отметить, что приведенная формула относится к проводам из немагнитного материала.

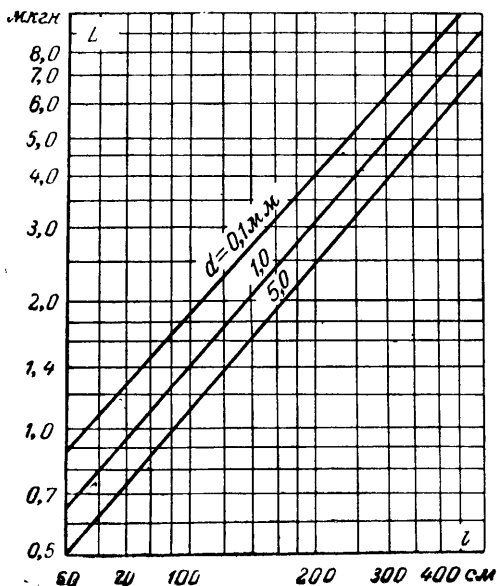


Рис. 18. Индуктивность прямого одиночного провода в зависимости от его длины и диаметра.

Основные параметры катушек индуктивности

Способ намотки и материал каркаса	$\alpha L, \text{град}^{-1}$	Q	$C_0, \text{пф}$	Область применения
Катушка с осажденной намоткой на керамическом каркасе	$(10 \div 20) \cdot 10^{-6}$	80—150	0,5—2,0	Генераторы и гетеродины КВ и УКВ высокой стабильности
Катушка с горячей намоткой на керамическом каркасе	$(10 \div 30) \cdot 10^{-6}$	100—400	0,5—2,0	То же
Катушка с холодной тугой намоткой на керамическом каркасе	$(40 \div 100) \cdot 10^{-6}$	100—400	0,5—2,0	Генераторы и гетеродины КВ и УКВ пониженной стабильности
Катушка с бескаркасной намоткой	$(50 \div 150) \cdot 10^{-6}$	100—600	0,5—2,0	Усилительные каскады УКВ
Катушка с однослойной сплошной намоткой и каркасом из органического диэлектрика	$(100 \div 200) \cdot 10^{-6}$	80—200	3—5	Генераторы и гетеродины низкой стабильности, усилительные каскады СВ и КВ
Катушка с намоткой типа „универсаль“	$(150 \div 300) \cdot 10^{-6}$	50—100	5—10	Гетеродины низкой стабильности и усилительные каскады ДВ и СВ
Катушка с перекрестной универсальной намоткой	$(150 \div 300) \cdot 10^{-6}$	30—50	15—30	То же
Катушка с секционированной намоткой (3—4 секции)	$(150 \div 300) \cdot 10^{-6}$	150—170	5—10	„ „
Катушка с несекционированной намоткой		20—30	10—50	Дроссели высокой частоты

Индуктивность цепи из двух длинных параллельных проводов круглого сечения

$$L = 4l \left(2,3 \lg \frac{2D}{d} - \frac{D}{l} \right) \cdot 10^{-3},$$

где L — индуктивность, мкГн ;

D — расстояние между осями проводов, см .

На рис. 19 приведена зависимость индуктивности двухпроводной линии от отношения D/d . Кривая дает значения индуктивности, отнесенные к 1 м длины линии.

Индуктивность цепи из двух длинных проводов прямоугольного сечения

$$L = 4l \left(2,3 \lg \frac{D}{a+b} - \frac{D}{l} + 0,223 \frac{a+b}{l} + 1,5 \right) \cdot 10^{-3},$$

где D — расстояние между центрами сечений, см ;

a и b — размеры сечения, см .

Индуктивность коаксиального кабеля

$$L = 2l \ln \frac{D}{d} \cdot 10^{-3},$$

где D — диаметр наружного провода, см ;

d — диаметр внутреннего провода, см .

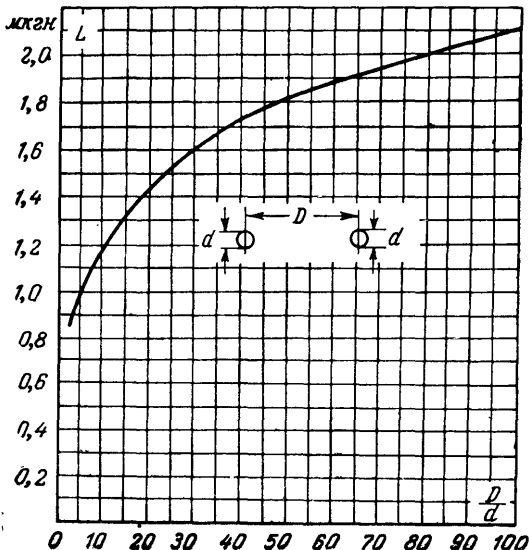


Рис. 19. Индуктивность отрезка двухпроводной линии длиной 1 м.

Индуктивность одиночного круглого витка из провода круглого сечения

$$L \approx 6,28D \left(2,31 \lg \frac{8D}{d} - 2 \right) \cdot 10^{-3},$$

где L — индуктивность витка, мкГн;
 D — диаметр витка, см;
 d — диаметр провода, см.

Эта формула дает точные результаты для токов высокой частоты. Для токов низкой частоты лучшие результаты получаются при использовании формулы

$$L = 6,28D \left(2,3 \lg \frac{8D}{d} - 1,5 \right) \cdot 10^{-3}.$$

На рис. 20 показан график зависимости индуктивности круглого витка от диаметра витка D и диаметра провода d . График составлен для высоких частот.

Индуктивность круглого витка из провода прямоугольного сечения (ленты)

$$L = 6,28D \left[2,3 \left(1 + \frac{b^2}{8D^2} \right) \lg \frac{4D}{b} + \frac{b^2}{32D^2} - 0,5 \right] \cdot 10^{-3},$$

где b — ширина ленты, см.

При $D \gg b$ эта формула может быть упрощена:

$$L \approx 6,28D \left(2,3 \lg \frac{4D}{b} - 0,5 \right) \cdot 10^{-3}.$$

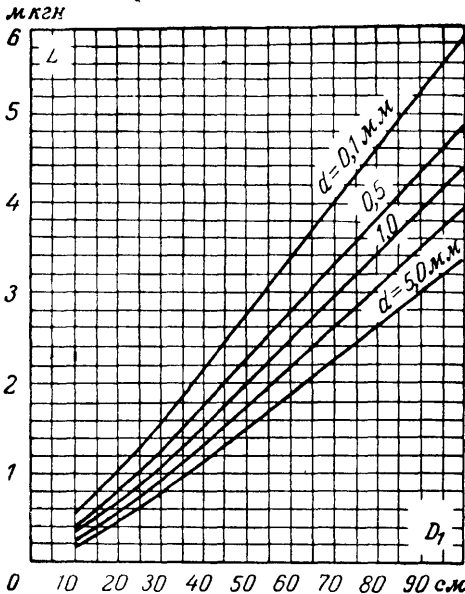


Рис. 20. Индуктивность круглого витка из провода круглого сечения.

Индуктивность прямоугольного витка из провода круглого сечения

$$L = \left\{ 9,2 \left[(a+b) \lg \frac{4ab}{d} - a \lg (a+c) - b \lg (b+c) \right] + 8 \left[c - a - b + \frac{d}{2} \right] \right\} \cdot 10^{-3},$$

где L — индуктивность витка, мкГн ;

a и b — длины сторон прямоугольника, см ;

c — его диагональ, равная $\sqrt{a^2 + b^2}$, см ;

d — диаметр провода, см .

Индуктивность квадратного витка из провода круглого сечения

$$L = 8a \left(2,3 \lg \frac{2a}{d} + \frac{d}{2a} - 0,77 \right) \cdot 10^{-3},$$

где L — индуктивность катушки, мкГн ;

a — сторона квадрата, см ;

d — диаметр провода, см .

Таблица 9

Индуктивность квадратного витка

Сторона квадрата, см	Индуктивность, мкГн			Сторона квадрата, см	Индуктивность, мкГн		
	$d=1 \text{ мм}$	$d=2 \text{ мм}$	$d=3 \text{ мм}$		$d=1 \text{ мм}$	$d=2 \text{ мм}$	$d=3 \text{ мм}$
10	0,385	0,327	0,271	50	2,550	2,280	2,000
15	0,621	0,533	0,455	60	3,150	2,820	2,490
20	0,875	0,764	0,653	70	3,760	3,360	2,980
25	1,140	0,999	0,860	80	4,380	3,940	3,500
30	1,410	1,240	1,080	90	5,010	4,520	4,020
40	1,970	1,750	1,530	100	5,660	5,100	4,550

В табл. 9 приводятся значения индуктивности, вычисленные для различных размеров квадратного витка при разных диаметрах провода.

Для катушек с индуктивностью выше 15—20 мкГн применяется сплошная однородная намотка. Целесообразность перехода на сплошную намотку определяется диаметром катушки. Ориентировочные значения индуктивности катушки заданного диаметра, при которых целесообразен переход на сплошную намотку, приведены в табл. 10.

Индуктивность однослойной катушки со сплошной намоткой, изготовленной на цилиндрическом каркасе, может быть рассчитана по следующим трем эмпирическим формулам:

$$L = \frac{D^2 w^2}{1000l + 440D}; \quad L = \frac{0,02D^3 w^2}{9D + 20l}; \quad L = \frac{0,01D^2 w^2}{4D + 11l},$$

где L — индуктивность витка, мкГн ;

D — диаметр катушки, мм ;

w — число витков;

l — длина намотки, мм .

Первая и вторая формулы применимы для расчетов при $l > D/2$, а третья — при $l \leq D/2$.

Индуктивность однослойной катушки со сплошной намоткой можно определить по универсальной формуле, которая пригодна для расчетов при любых соотношениях конструктивных размеров катушки

$$L = \frac{0,01 D \omega^2}{\frac{l}{D} + 0,44},$$

где L — индуктивность катушки, *мкГн*;

D — диаметр катушки, *см*;

l — длина намотки, *см*;

ω — число витков катушки.

Таблица 10

**Максимальная индуктивность для
однослойной намотки**

Диаметр каркаса, мм . . .	10	15	20	30	50
Максимальная индуктивность, <i>мкГн</i>	30	50	100	200	500

Диаметр катушки D представляет собой диаметр окружности, образуемой осевой линией активного сечения провода. На высоких частотах можно с высокой точностью диаметр D принять равным внутреннему диаметру витков, т. е. диаметру каркаса. Длина намотки l представляет собой расстояние между осевыми линиями крайних витков.

На рис. 21 показана номограмма, позволяющая ускорить расчет величины индуктивности катушек по приведенной формуле.

Индуктивность катушек с сечением в форме многоугольника рассчитывается по формулам для цилиндрических катушек, при этом считается, что многоугольная катушка эквивалентна по индуктивности цилиндрической с равновеликим по площади круглым сечением.

Эквивалентный диаметр многоугольной катушки рассчитывается по формуле

$$D = D_0 \sqrt{\frac{N}{6,28} \sin \frac{6,28}{N}},$$

где D_0 — диаметр описанной вокруг многоугольника окружности;
 N — число сторон многоугольника.

Индуктивность катушки, намотанной с шагом проводом круглого сечения, равна:

$$L = L' - 6,28 \omega D (A + B) \cdot 10^{-3},$$

где L' — индуктивность катушки, найденная без поправки на шаг, *мкГн*;

A и B — поправочные коэффициенты (рис. 22, а, б);

D — диаметр катушки, *см*;

ω — число витков.

Приведенный расчет дает достаточно точные результаты для катушек с числом витков не менее 4—5.

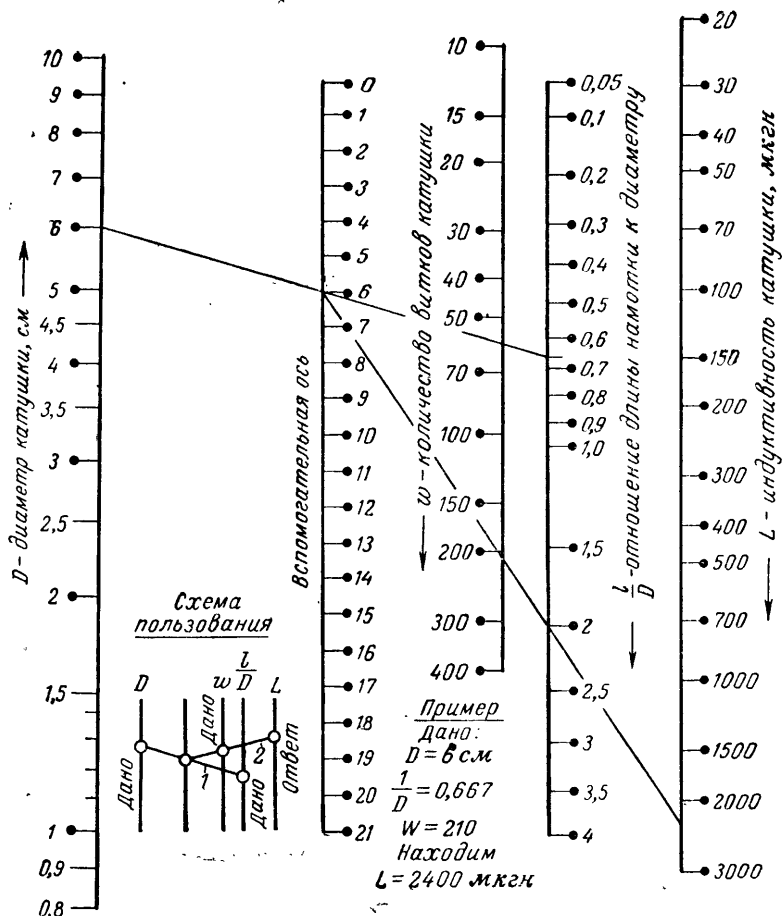


Рис. 21. Номограмма для расчета индуктивности однослойных катушек.

Индуктивность плоской катушки может быть приближенно определена по формулам для цилиндрической катушки с таким же числом витков и шагом намотки, имеющей диаметр, равный среднему диаметру плоской катушки.

Индуктивность плоской печатной катушки со спиральными витками (рис. 23,а) может быть определена с точностью 5% по формуле

$$L = 24,75 D_{\text{ср}} \sqrt{w^5} \lg \frac{4 D_{\text{ср}}}{t} 10^{-3},$$

где L — индуктивность катушки, мкГн;

$D_{\text{ср}}$ — средний диаметр спирали, см;

t — радиальная ширина намотки, см;

w — число витков.

Для менее точного расчета можно воспользоваться следующей формулой:

$$L = r_1 w^2 k,$$

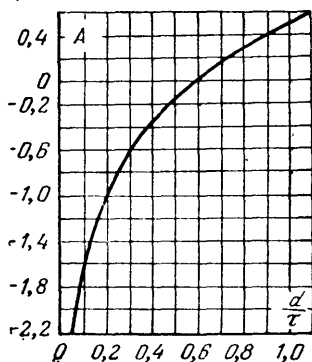
где L — индуктивность, мкГн;

r_1 — радиус внешнего витка спирали, см;

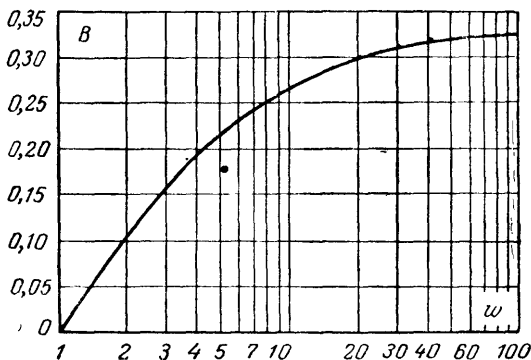
w — число витков;

k — коэффициент, зависящий от отношения радиусов витков спирали r_1 и r_2 , определяемый по графику на рис. 24.

Практически $L_{\max} = 0,1$ мГн.



а)



б)

с. 22. Значения поправочных коэффициентов A и B .

Индуктивность плоской печатной катушки, витки которой расположены по сторонам квадрата (рис. 23, б), равна:

$$L = 55,5a \sqrt{w^3} \lg \frac{8a}{t} \cdot 10^{-9},$$

где a — длина средней стороны квадрата, см;
 t — радиальная ширина намотки.

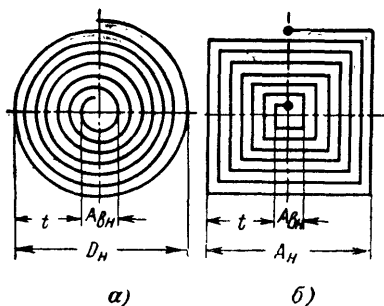


Рис. 23. Печатные спиральные катушки.

a — с круглыми витками; $б$ — с квадратными витками.

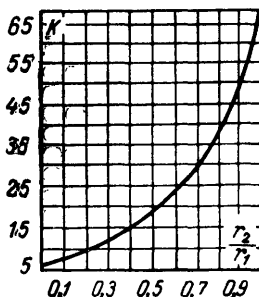


Рис. 24. График значений коэффициента k .

Из рис. 23 очевидно, что

$$D_{\text{ср}} = 0,5(D_{\text{н}} + D_{\text{вн}}); \quad t = 0,5(D_{\text{н}} - D_{\text{вн}})$$

или

$$t = 0,5(A_{\text{н}} - A_{\text{вн}}).$$

Многослойные катушки

Многослойные катушки применяются при индуктивности выше 200—500 мкГн. Многослойные катушки могут быть разделены на простые и сложные. К простым намоткам относится рядовая многослойная намотка, при которой витки укладываются на каркас правильными рядами, и намотка «внавал», при которой нет определенной закономерности в расположении витков и слоев.

Широкое распространение получили сложные многослойные намотки. Одной из распространенных сложных намоток является универсальная, при которой витки не располагаются параллельно друг другу, а идут попеременно от одного края к другому, пересекаясь под некоторым углом.

Размеры многослойной катушки определяются величиной наружного диаметра D , внутреннего D_0 и длиной намотки l (рис. 25).

Радиальную глубину намотки t можно принять равной

$$t = \frac{D - D_0}{2}.$$

Средний диаметр катушки

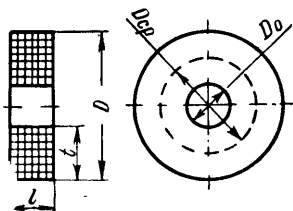
$$D_{\text{ср}} = 0,5(D_0 + D).$$

Для простой рядовой многослойной намотки и намотки «внавал» радиальная глубина намотки равна:

$$t_l = \frac{\alpha d_0^2 w}{l},$$

где α — коэффициент неплотности, значения которого приведены в табл. 11;

Рис. 25. Расчетные размеры многослойной катушки.



d_0 — диаметр провода с изоляцией, мм;

l — длина намотки, мм;

w — число витков катушки.

Таблица 11

Значения коэффициента неплотности α

Диаметр провода без изоляции, мм	0,08—0,11	0,15—0,25	0,35—0,41	0,51—0,93	Свыше 1,0
α	1,3	1,25	1,2	1,1	1,05

Индуктивность многослойной катушки может быть рассчитана по формуле

$$L = \frac{0,08 D_{\text{ср}}^2 w}{3 D_{\text{ср}} + 9l + 10t},$$

где L — индуктивность катушки, мкГн;

$D_{\text{ср}}$ — средний диаметр намотки, см;

l — длина намотки, см;

t — радиальная глубина намотки, см.

На рис. 26 приведена номограмма для расчета величины индуктивности многослойных катушек.

Индуктивность многослойной катушки можно определить по следующей упрощенной формуле:

$$L = L_0 w^2 D \cdot 10^{-3},$$

где L — индуктивность катушки, мкГн;

L_0 — поправочный коэффициент.

Величина коэффициента L_0 зависит от отношения длины намотки к среднему диаметру катушки $l/D_{\text{ср}}$ и от отношения толщины катушки к среднему диаметру $t/D_{\text{ср}}$. Значения коэффициента L_0 для многослойных катушек приведены на рис. 27, а—в.

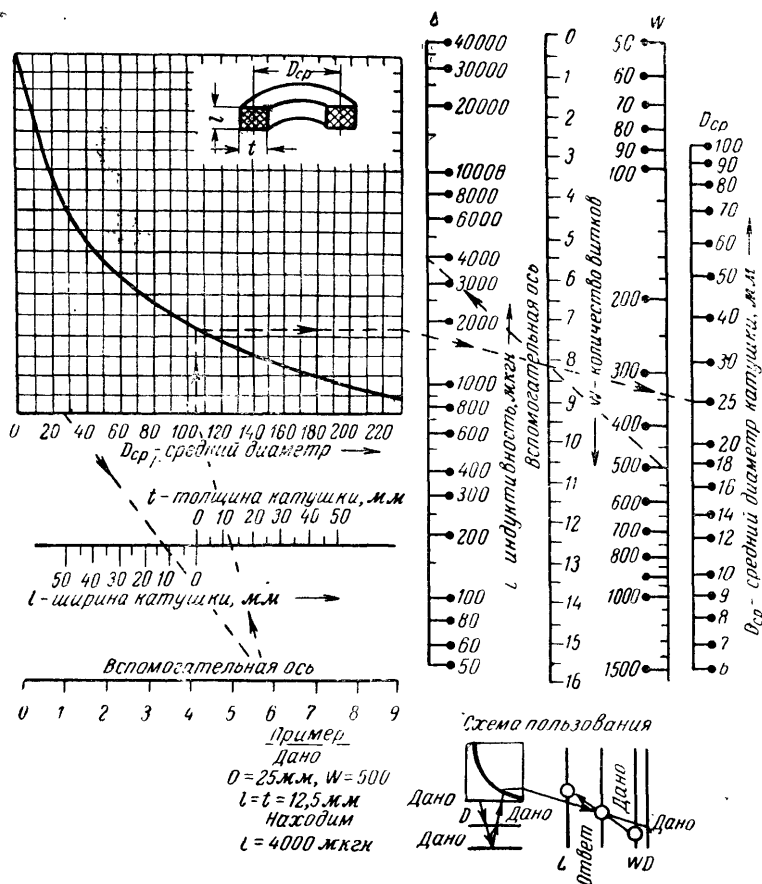


Рис. 26. Номограмма для расчета индуктивности многослойных катушек.

На рис. 28 показана секционированная катушка индуктивности, характеризующаяся достаточно высокой добротностью. Каждая секция этой катушки представляет собой обычную многослойную катушку с небольшим числом витков. Число секций может быть от двух до восьми.

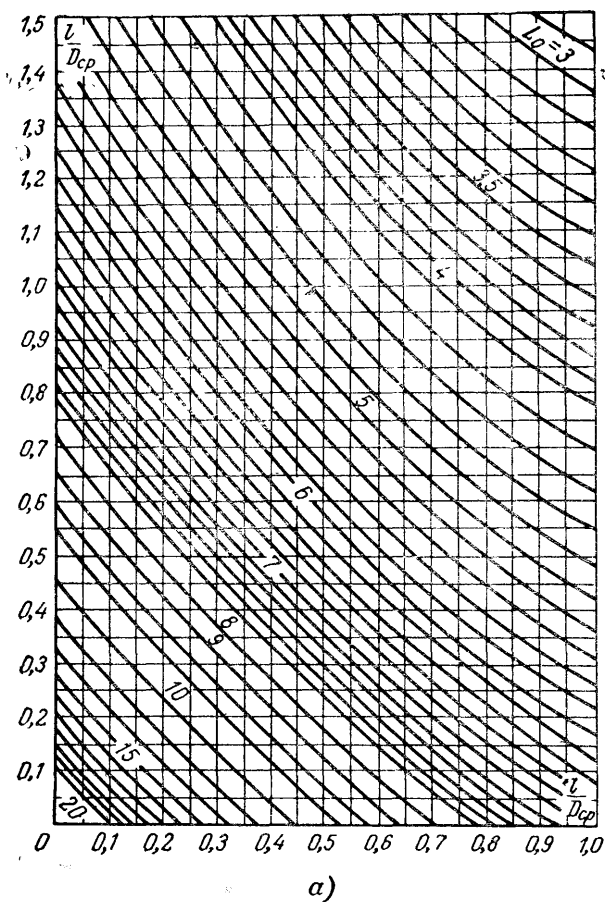


Рис. 27,а. График значений L_0 для многослойных катушек.

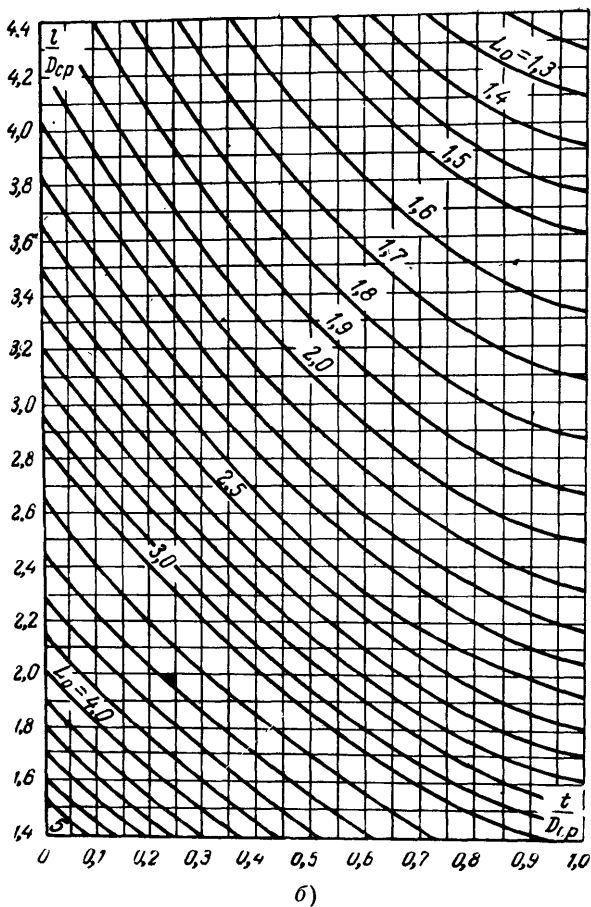
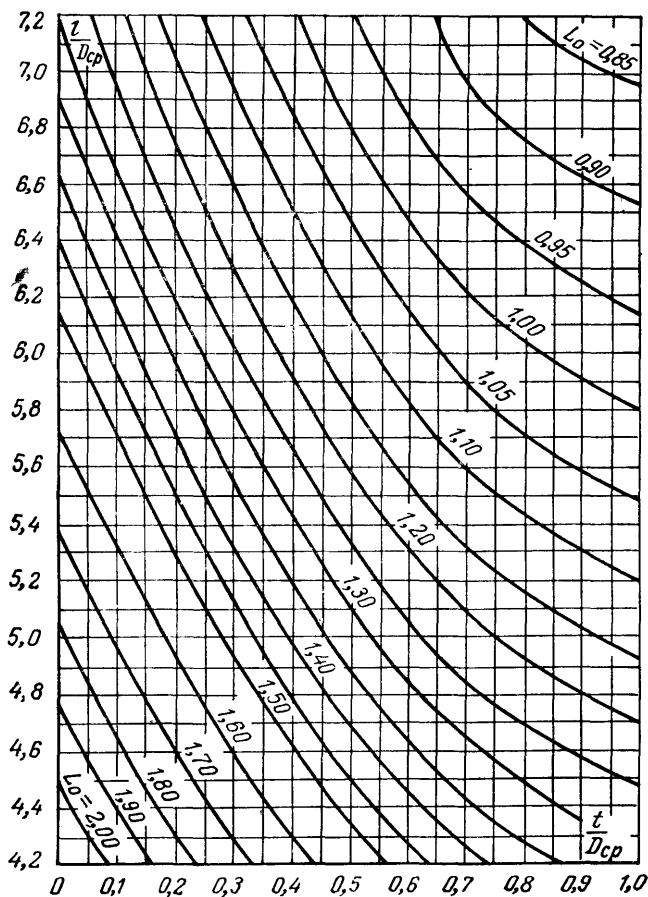


Рис. 27,б.



б)

Рис. 27,в.

Индуктивность секционированной катушки, состоящей из n секций, рассчитывается по формуле

$$L = L_c [n + 2k(n - 1)],$$

где L_c — индуктивность секции;

k — коэффициент связи между секциями.

Коэффициент k зависит от размеров секций и расстояния между ними. Эта зависимость представлена графически на рис. 29.

Отношение $b/D_{\text{ср}}$ выбирается в таких пределах, чтобы величина k была равна 0,2—0,4. Расчет каждой секции производится обычным способом.

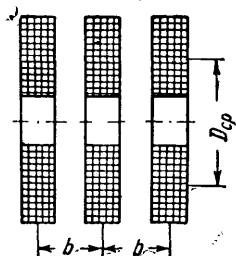


Рис. 28. Секционированная катушка индуктивности.

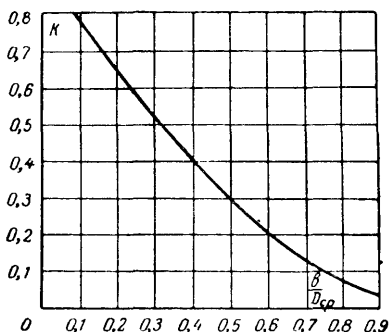


Рис. 29. График значений коэффициента связи k для секционированных катушек.

Экранированные катушки

При помещении катушки в металлический экран взаимная индуктивность между витками катушки и короткозамкнутыми цепями, образованными экраном, приводит к уменьшению величины индуктивности катушки. Кроме того, увеличиваются собственная емкость и сопротивление катушки.

Уменьшение индуктивности катушки при помещении ее в экран (рис. 30) может быть рассчитано по формуле

$$L_0 = L_0 \left[1 - \left(\frac{D_0}{D_0} \right)^2 \right] \left[1 - \left(\frac{l_0}{2l_0} \right)^2 \right],$$

где L_0 — индуктивность экранированной катушки;

L_0 — индуктивность катушки без экрана;

D_0/D_0 — отношение диаметра обмотки к диаметру экрана;

$l_0/2l_0$ — отношение длины намотки к удвоенной длине экрана.

Размеры на рис. 30 должны быть выражены в сантиметрах.

На рис. 31 приведена связь между уменьшением индуктивности катушки при помещении ее в экран и относительной величиной диаметра экрана.

Индуктивность экранированной катушки может быть рассчитана по следующей формуле:

$$L_0 = L_0(1 - k^2),$$

где L_0 — индуктивность катушки без экрана;

k — коэффициент связи между катушкой и экраном.

При однослойных и тонких многослойных катушках коэффици-

Коэффициент связи k рассчитывается по формуле

$$k = \sqrt{\eta \left(\frac{D_0}{D_a} \right)^2},$$

где D_0 — диаметр катушки;

D_a — диаметр экрана;

η — коэффициент, зависящий от отношения l/D_0 катушки, значения которого приведены на рис. 32.

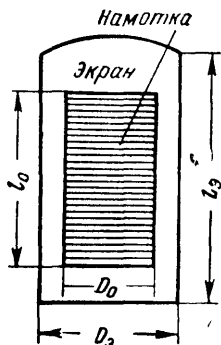


Рис. 30. Экранированная катушка.

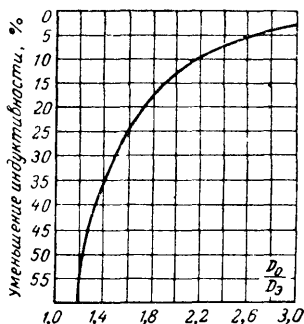


Рис. 31. График изменения индуктивности катушки в зависимости от размеров экрана.

На рис. 33 показан график для приближенного расчета величины индуктивности экранированных однослойных и тонких многослойных катушек. График представляет зависимость отношения индуктивности экранированной катушки к индуктивности катушки без экрана от соотношения геометрических размеров катушки и экрана.

Влияние экрана на параметры катушки проявляется тем сильнее, чем ближе его стенки расположены к обмотке. Для того чтобы индуктивность и добротность катушки падали не более чем на 10%, рекомендуются следующие соотношения между диаметрами экрана и катушки: для однослойных катушек $D_a/D_0 = 1,6 \div 2,5$, причем для коротких катушек $D_a/D_0 = 1,5 \div 1,8$. Для катушек с повышенной стабильностью $D_a/D_0 \geq 2,5$.

Экраны выполняются в виде круглых или прямоугольных стаканов из алюминия, меди или латуни. Толщина стенок экрана зависит от материала экрана и частоты, при которой работает катушка. Могут быть рекомендованы следующие толщины стенок экрана в миллиметрах.

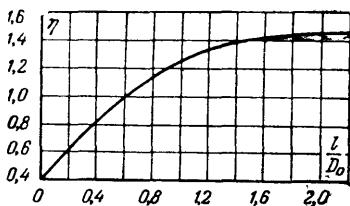


Рис. 32. График значений коэффициента η .

Частота, Мгц Из меди Из алюминия

0,1	0,98	1,30
1,0	0,31	0,40
10,0	0,10	0,13
100,0	0,03	0,04

Экранировать следует катушки большого размера, диаметр которых не менее 15—25 мм. Катушки диаметром 4—5 мм, удален-

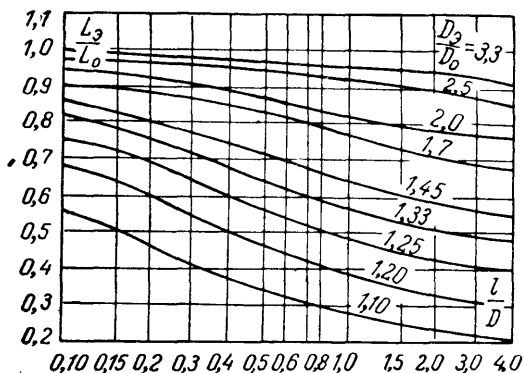


Рис. 33. График для расчета индуктивности однослойных и тонких многослойных экранированных катушек.

ные от других деталей на расстояния в 4—5 раз бóльшие их диаметра, обычно в экранировании не нуждаются, так как они создают поле в относительно небольшом пространстве.

Собственная емкость катушек индуктивности

Между витками в катушке индуктивности, помимо магнитного, существует также электрическое поле, которое влияет на собственную емкость катушки. Собственная емкость изменяет параметры катушек, понижает добротность и стабильность. Частота, на которую оказывается настроенным контур, состоящий из индуктивности и собственной емкости, называется собственной частотой катушки.

Величина собственной емкости определяется типом намотки и размерами катушки. Наименьшей собственной емкостью (1—2 пф) обладают однослойные катушки, намотанные с шагом. Из числа многослойных катушек наименьшей собственной емкостью обладают секционированные катушки. Это объясняется тем, что собственные емкости каждой секции соединяются между собой последовательно и результирующая емкость уменьшается.

Собственная емкость катушки, у которой длина намотки не больше диаметра намотки, определяется по формуле

$$C_0 \approx \frac{6,28D}{3,6 \arccos h \frac{\tau}{d}},$$

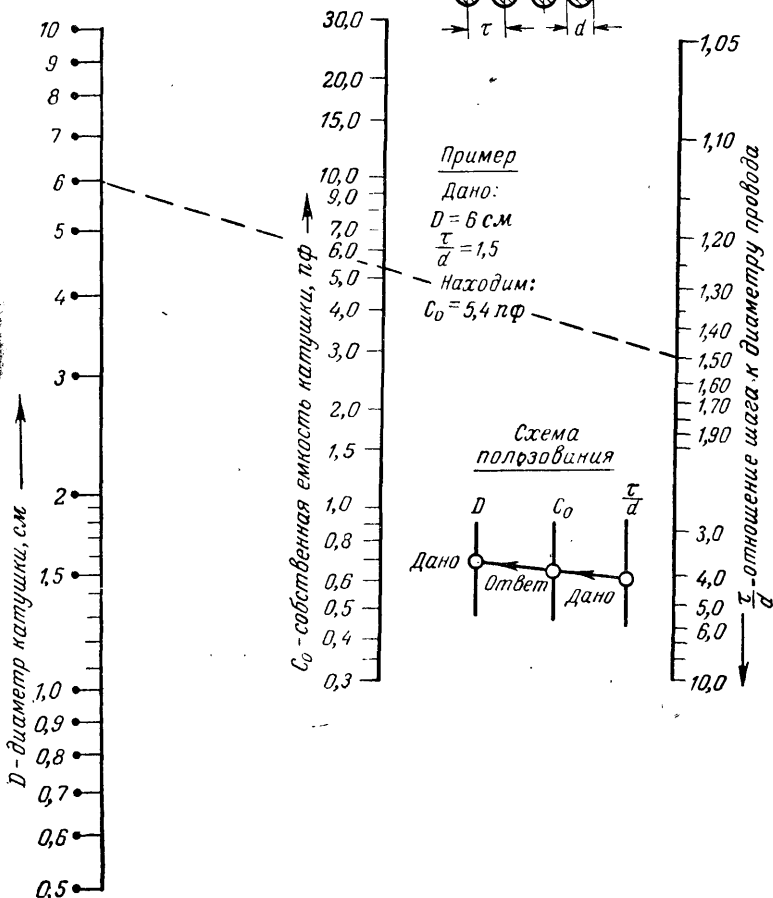
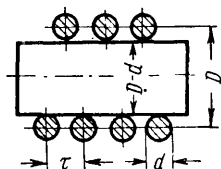


Рис. 34. Номограмма для расчета собственной емкости однослойных катушек, намотанных с принудительным шагом.

где C_0 — собственная емкость катушки, пф ;

D — диаметр намотки, см ;

τ — шаг намотки, см ;

d — диаметр провода, см .

На рис. 34 показана номограмма для определения собственной емкости однослойных катушек, намотанных с шагом. Собственную

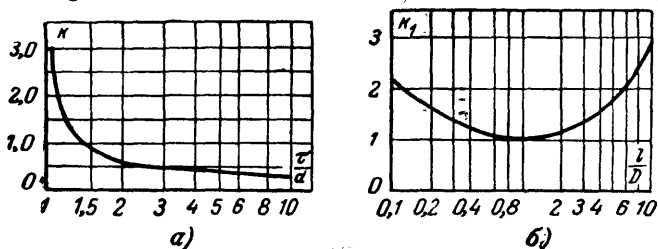


Рис. 35. Графики значений коэффициентов k и k_1 для расчета собственной емкости однослойных катушек.

емкость катушки, намотанной с большим шагом, можно принять равной

$$C_0 \approx 0,5D;$$

для катушки, намотанной виток к витку,

$$C_0 \approx 1,5D.$$

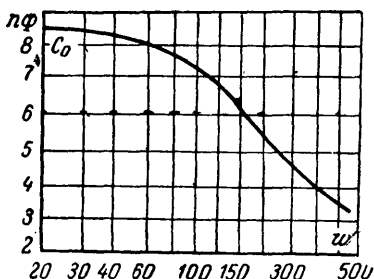


Рис. 36. График зависимости собственной емкости универсальных катушек от числа витков.

$D = 10 \div 20 \text{ мм}$; $l = 2 \div 6 \text{ мм}$; $t = 1 \div 8 \text{ мм}$.

Расчет величины собственной емкости однослойных катушек можно производить по следующей формуле:

$$C_0 \approx k k_1 D,$$

где D — диаметр катушки, см ;

k — коэффициент, зависящий от соотношения между шагом намотки и диаметром провода (рис. 35, а);

k_1 — коэффициент, зависящий от соотношения между длиной и диаметром катушки (рис. 35,б).

Собственная емкость секционированной катушки при расстояниях между секциями, примерно равных длине намотки, равна:

$$C_0 = C_c \frac{0,33n + 0,67}{n},$$

где C_c — собственная емкость отдельной секции, $n\phi$;
 n — число секций.

На рис. 36 показан график зависимости собственной емкости универсальных катушек от числа витков.

Взаимная индуктивность и коэффициент связи

Для обеспечения магнитной связи между катушками их располагают так, чтобы оси катушек были параллельны, совпадали или пересекались под острым углом. Если оси двух катушек индуктивности пересекаются под прямым углом, то магнитная связь между ними практически отсутствует. На рис. 37 показаны неко-

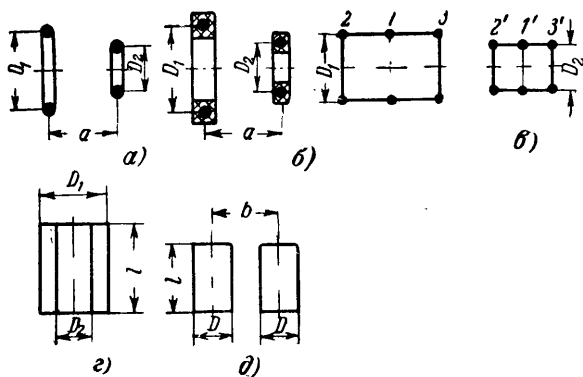


Рис. 37. К расчету взаимной индуктивности между катушками.

торые варианты взаимного расположения катушек индуктивности.

Взаимная индуктивность между смежными коаксиальными витками (рис. 37,а) равна:

$$M \approx D_1 \Phi \cdot 10^{-3},$$

где M — взаимная индуктивность, мкГн ;

D_1 — диаметр большего витка, см ;

Φ — коэффициент, зависящий от соотношения размеров витков и расстояния между ними (рис. 38,а—в).

Взаимная индуктивность между смежными коаксиальными катушками с квадратным или близким к нему сечением (рис. 37,б) равна:

$$M = \omega_1 \omega_2 M_0,$$

где ω_1 и ω_2 — числа витков катушек;

M_0 — взаимная индуктивность между центральными витками, определяемая по формуле для рис. 37,а.

Взаимная индуктивность между длинными однослойными катушками, расположенными близко друг к другу (рис. 37,в), равна:

$$M = \omega_1 \omega_2 D_1 \varphi_0 \cdot 10^{-3},$$

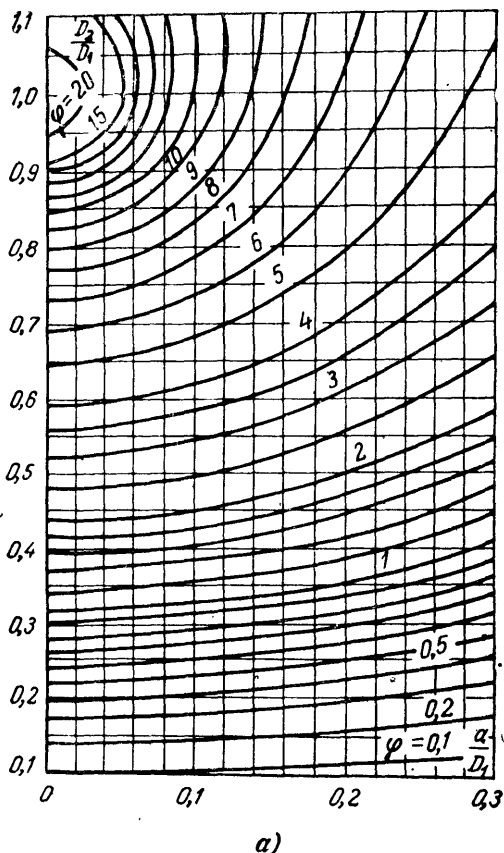
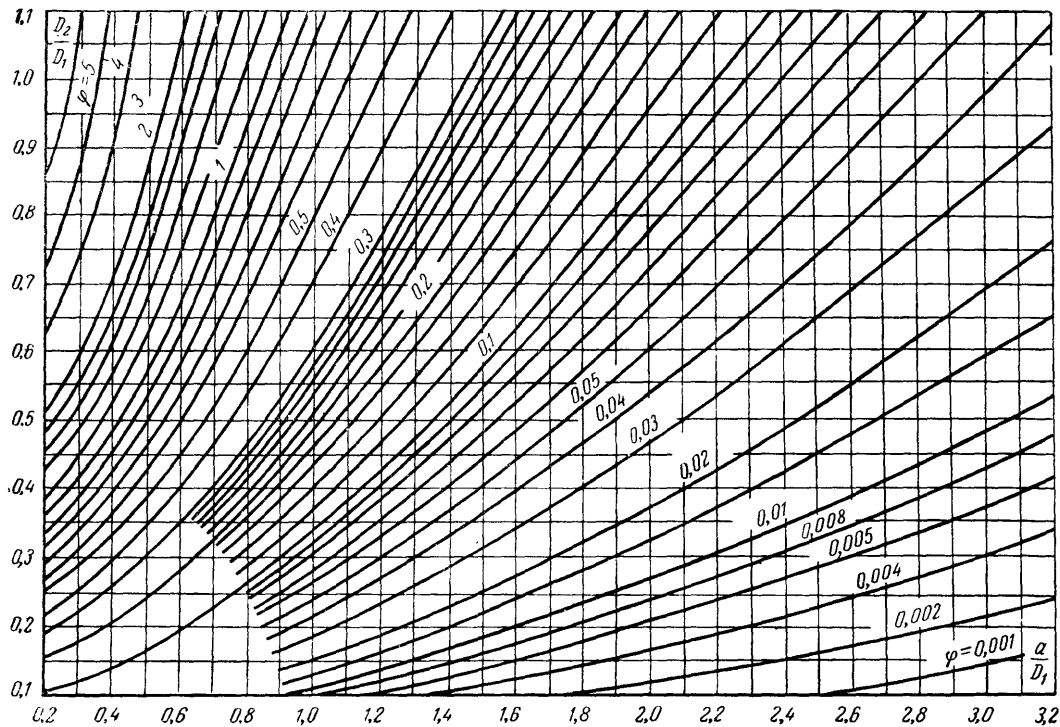


Рис. 38,а. График значений коэффициента φ .



б)

Рис. 38,б.

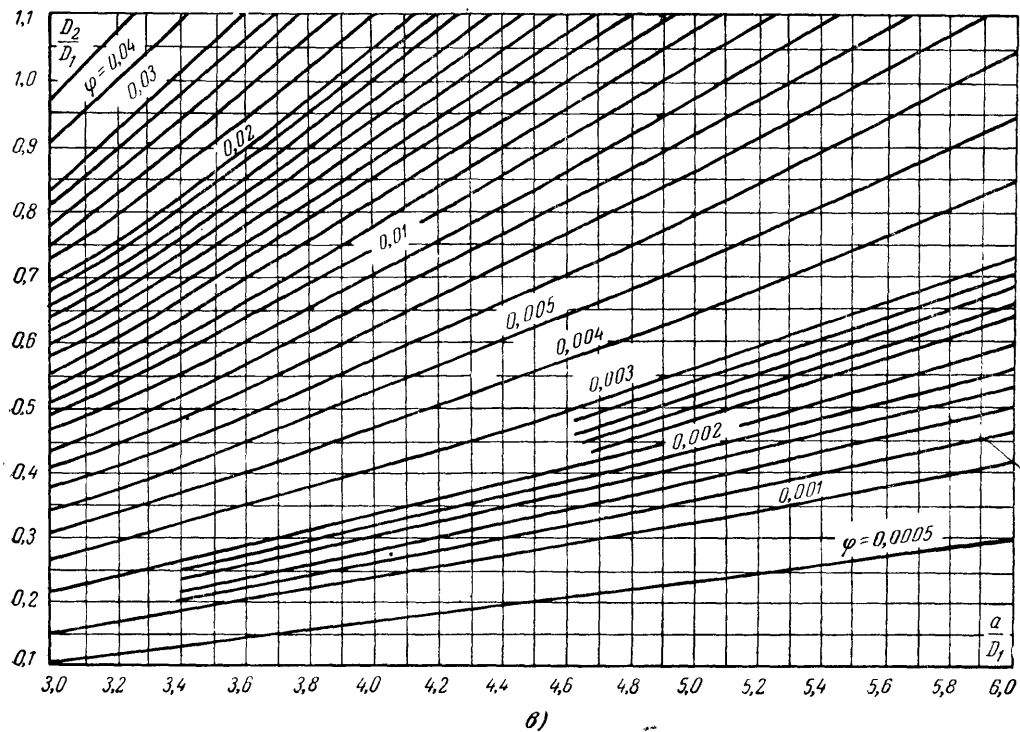


Рис. 38,в.

где

$$\varphi_0 = \frac{1}{6} (2\varphi_{11'} + \varphi_{12'} + \varphi_{13'} + \varphi_{1'2} + \varphi_{1'3})$$

есть среднее арифметическое значение φ .

Взаимная индуктивность между однослойными катушками одинаковой длины, расположенными одна внутри другой (рис. 37,е), равна:

$$M = w_1 w_2 \psi \sqrt{D_1 D_2} \cdot 10^{-2},$$

где ψ — коэффициент, определяемый из графика на рис. 39.

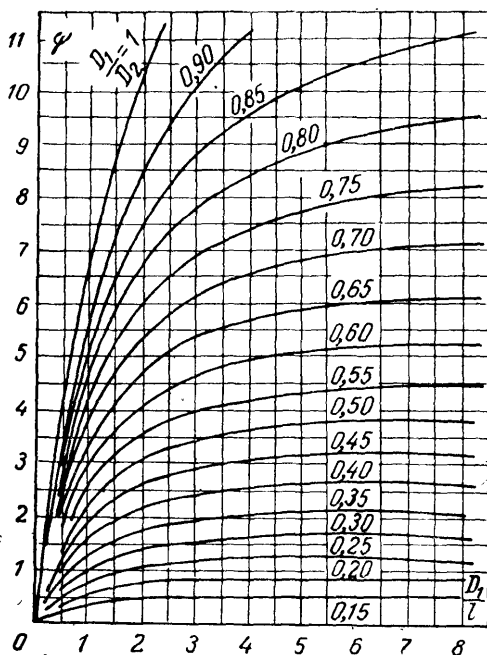


Рис. 39. График значений коэффициента ψ .

Взаимная индуктивность между катушками одинакового размера, оси которых параллельны (рис. 37,д), равна:

$$M = \frac{0,6 w_1 w_2 D^4}{b^3} \cdot 10^{-2}.$$

Взаимная индуктивность между обмотками, расположенными одна над другой, на общем тороидальном сердечнике равна:

$$M = \frac{12,56 w_1 w_2 S_T}{l_{cp}},$$

где S_T — сечение тороидального сердечника, $см^2$;

l_{cp} — средняя длина осевой линии сердечника, $см$.

Коэффициент связи между катушками определяется размерами катушек и расстоянием между ними и не зависит от числа витков и типа намотки. Коэффициент связи равен:

$$k = \frac{M}{\sqrt{L_1 L_2}},$$

где M — взаимная индуктивность;
 L_1 и L_2 — индуктивности катушек.

Следует отметить, что величина k всегда меньше единицы.

Добротность катушек индуктивности

Качество катушки характеризуется отношением ее индуктивного сопротивления к активному при заданной частоте ω и индуктивности L . Это соотношение

$$Q = \frac{\omega L}{R} = \frac{X_L}{R}$$

называется добротностью катушки индуктивности.

Индуктивное сопротивление, оказываемое катушкой переменному току, можно рассчитать по формуле

$$X_L = \omega L = 2\pi f L,$$

где X_L — индуктивное сопротивление, *ом*;

f — частота, *гц*;

L — индуктивность катушки, *гн*.

Для тока с частотой 50 *гц* эта формула имеет вид:

$$X_L = 314L,$$

где L — индуктивность катушки, *гн*.

Т а б л и ц а 12

Индуктивные сопротивления катушек на высокой частоте (в омах)

Индуктив- ность, мкген	Частота					
	10 Мгц	3 Мгц	1,2 Мгц	600 кгц	200 кгц	30 кгц
25	1 570	470	190	95	31,4	4,7
50	3 140	940	380	190	62,8	9,4
100	6 300	1 890	760	380	125	18,9
200	12 560	3 770	1 500	760	250	38,0
500	31 400	9 400	3 800	1 900	628	94,0
1 000	63 000	18 900	7 600	3 800	1 260	189
5 000	314 000	94 000	38 000	19 000	6 280	940
25 000	1 570 000	470 000	189 000	94 200	31 400	4 700
100 000	6 300 000	1 890 000	756 000	378 000	126 000	18 900

В табл. 12 приведены значения индуктивных сопротивлений для различных величин индуктивностей как для низких, так и высоких частот. На рис. 40 показана номограмма для определения индуктивных сопротивлений катушек индуктивности.

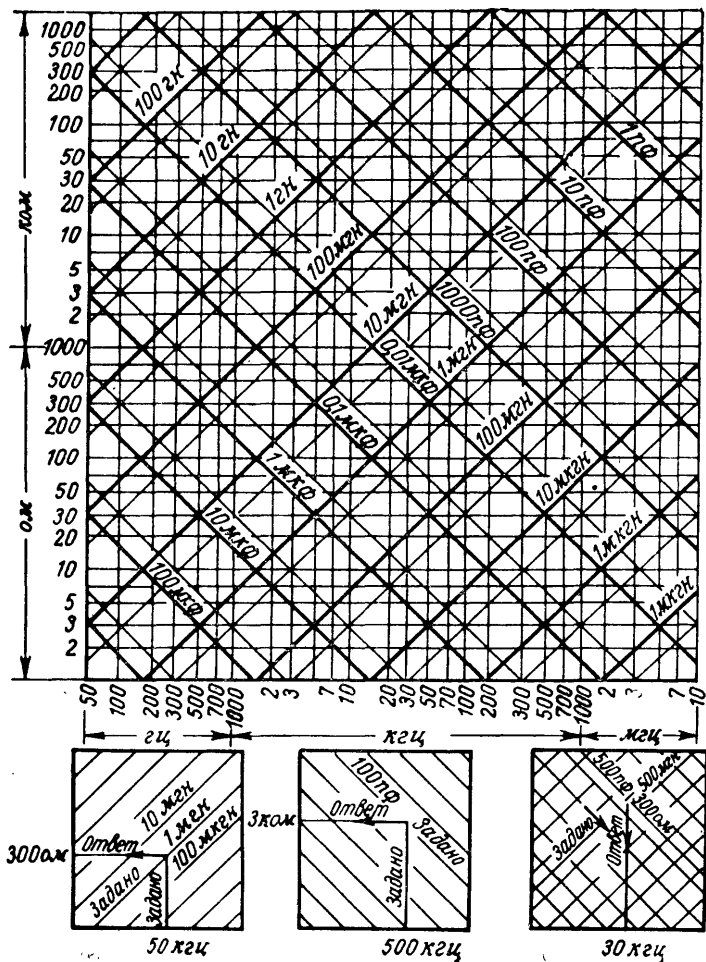


Рис. 40. Номограмма для расчета индуктивного сопротивления катушек.

Активное сопротивление катушки R складывается из сопротивления провода токам высокой частоты, сопротивления вносимого диэлектрическими потерями в каркасе, сопротивления вносимого собственной емкостью катушки и др.

Индуктивные сопротивления катушек на низкой частоте (в омах)

Индуктивность, мкГ	Частота, гц					
	50	250	1 000	2 500	5 000	10 000
0,1	31	157	682	1 570	3 140	6 280
0,25	78	390	1 570	9 900	7 850	15 700
1,0	314	1 570	6 280	15 700	31 400	62 800
5,0	1 570	7 850	31 400	78 500	157 000	314 000
25,0	7 850	39 000	157 000	390 000	785 000	1 510 000
100,0	31 400	157 000	638 000	1 570 000	3 140 000	6 280 000

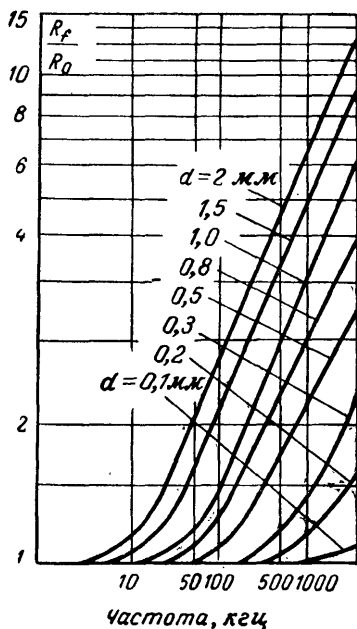


Рис. 41. График зависимости сопротивления медного провода от частоты.

Величина полного активного сопротивления катушки может колебаться в широких пределах. Для катушек средневолнового диапазона, имеющих индуктивность около 200 мкГн, полное активное сопротивление лежит в пределах от 3 до 50 ом. Длинноволновые катушки, имеющие индуктивность около 2 000 мкГн, обладают сопротивлением от 15 до 150 ом.

Переменное магнитное поле вызывает внутри проводника против-э. д. с., приводящие к неравномерному распределению тока по поперечному сечению проводника. Кроме того, в проводнике возбуждаются вихревые токи и происходит потеря мощности. В результате этого ток по сечению проводника сосредоточивается главным образом в поверхностных слоях. Неравномерное распределение тока уменьшает действующее сечение проводника и тем самым увеличивает его сопротивление. Сопротивление провода току высокой частоты может быть в несколько раз выше его сопротивления постоянному току. На рис. 41 показана зависимость увеличения сопротивления медных проводов от частоты.

Сопротивление одного погонного сантиметра медного провода круглого сечения току высокой частоты равно:

$$R_f = 83,2 \frac{\sqrt{f}}{d} 10^{-6},$$

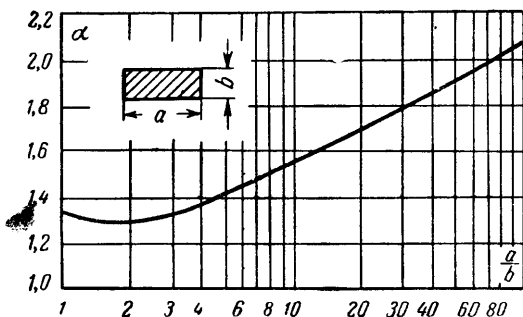


Рис. 42. График значений коэффициента α .

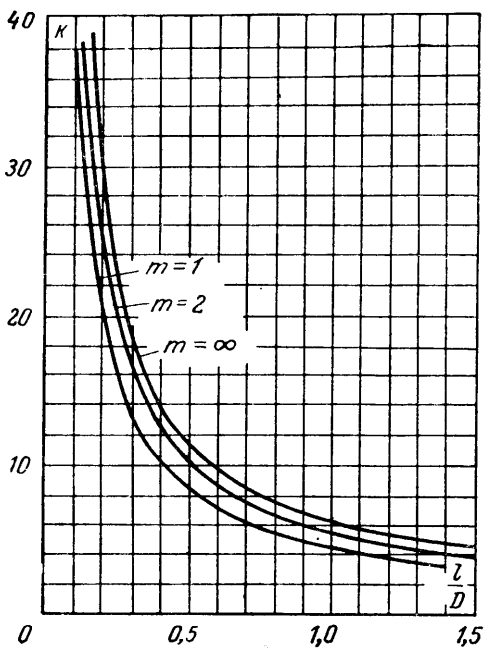


Рис. 43. График значений коэффициента k для расчета сопротивления однослойных и тонких многослойных катушек (m — число слоев).

где f — частота, Мгц ;

d — диаметр провода, см .

Сопротивление провода прямоугольного сечения

$$R_f = \frac{1,3\alpha \sqrt{f}}{a+b} 10^{-4},$$

где f — частота, Мгц ;

α — поправочный коэффициент, значения которого приведены на рис. 42;

a и b — размеры сечения провода, см .

Сопротивление провода катушки току высокой частоты как при однослойной, так и при многослойной намотках при частотах до 10 Мгц равно:

$$R_f = R_0 \left[F + \left(\frac{k\omega d}{2D} \right)^2 G \right],$$

где R_0 — сопротивление провода постоянному току, ом ;

d — диаметр провода без изоляции, см ;

ω — число витков катушки;

D — диаметр однослойной катушки или наружный диаметр многослойной катушки, см ;

k — поправочный коэффициент.

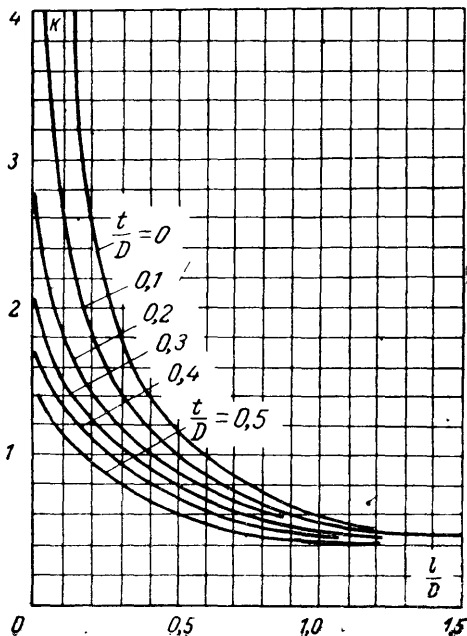


Рис. 44. График значений коэффициента k для расчета сопротивления многослойных катушек.

Значения коэффициента k для однослойных и тонких многослойных с небольшим числом витков катушек показаны на рис. 43, а для обычных многослойных — на рис. 44.

Коэффициент F определяет сопротивление с учетом поверхностного эффекта, а коэффициент G учитывает потери на вихревые токи. При увеличении диаметра провода его сопротивление пока высокой частоты из-за поверхностного эффекта будет уменьшаться, а из-за вихревых токов будет возрастать весьма значительно. При уменьшении диаметра провода произойдет обратное явление. Таким образом, существует некоторый диаметр провода на заданной частоте, называемый оптимальным, при котором F и G минимальны. Значения коэффициентов F и G для медного провода опти-

мального диаметра определяются по табл. 13 при помощи параметра

$$z = 0,106d\sqrt{f},$$

где d — диаметр провода, см;
 f — частота, гц.

Таблица 13

Значения коэффициентов F и G

z	F	G	z	F	G
0,1	1,000	—	5,0	2,049	0,7550
0,5	1,000	0,00097	6,0	2,394	0,9316
0,8	1,002	0,00632	7,0	2,743	1,109
1,0	1,005	0,01519	8,0	3,094	1,287
1,3	1,015	0,0413	9,0	3,446	1,464
1,5	1,026	0,0681	10,0	3,799	1,641
1,8	1,052	0,1265	15,0	5,562	2,525
2,0	1,078	0,1724	20,0	7,328	3,409
2,3	1,131	0,2462	25,0	9,094	4,317
2,5	1,175	0,2949	30,0	10,86	5,177
2,8	1,256	0,3632	40,0	14,40	6,946
3,0	1,318	0,4049	50,0	17,93	8,173
3,5	1,442	0,4987	70,0	25,00	12,25
4,0	1,678	0,5842	90,0	32,07	15,78
4,5	1,863	0,6687	100,0	35,61	17,75

Расчет сопротивления катушек КВ и УКВ, намотанных с шагом, производится по формуле

$$R_f = \frac{0,525Dw\sqrt{f}}{d} 10^{-3},$$

где R_f — сопротивление катушки, ом;
 D — диаметр катушки, см;
 d — диаметр провода, см;
 f — частота, Мгц.

Сопротивление току высокой частоты катушек, намотанных литцендратом, равно:

$$R_f = R_0 \left\{ F + \left[\frac{c}{d_0^2} + \left(\frac{kw}{2D} \right)^2 \right] nd^2 G \right\},$$

где R_0 — сопротивление катушки постоянному току, ом;
 d — диаметр отдельной жилы, см;
 n — число жил;
 d_0 — полный наружный диаметр литцендрата, см;
 c — коэффициент, зависящий от числа жил, значения которого приведены в табл. 14.

Ориентировочно полный диаметр литцендрата рассчитывается по формуле

$$d_0 \approx 1,35d\sqrt{n}.$$

Как видно из приведенных формул, совместное действие эффекта вихревых токов и поверхностного эффекта приводит к значитель-

Значения коэффициента c_k

n	3,0	7,0	9,0	15	19	27	27
c	1,55	1,817	1,84	1,88	1,90	1,92	2,0

ному увеличению активного сопротивления катушек. При совместном действии этих двух эффектов изменение сопротивления катушки в значительной мере подчиняется закону \sqrt{f} , так что сопротивление катушки R_{f1} при частоте f_1 относится к ее сопротивлению R_{f2} при частоте f_2 как

$$\frac{R_{f1}}{R_{f2}} = \sqrt{\frac{f_1}{f_2}}.$$

Добротность катушек индуктивности, определяемая совокупным действием ее индуктивности, активного сопротивления и собственной емкости, не будет линейно зависеть от частоты. Как правило, у всех катушек наблюдается при определенных частотах максимальное значение добротности, которое зависит от конструкции катушки.

Для повышения добротности катушек большое значение имеет выбор оптимального соотношения размеров. Для однослойных катушек рекомендуется выбирать отношение длины намотки к диаметру в пределах 0,7—1,0.

Для многослойных катушек рекомендуются следующие соотношения размеров:

$$\frac{l}{D} = 0,2 \div 0,5; \quad \frac{t}{D} = 0,5 \div 1,0.$$

Добротность катушек может быть повышена при использовании для их намотки литцендрата. В многожильном проводе уменьшаются потери на вихревые токи и на поверхностный эффект. Применение литцендрата оправдывается до частот 1—1,5 МГц.

Коротковолновые катушки

Коротковолновые катушки, как правило, выполняются однослойными и наматываются медным проводом.

Сопротивление этих катушек переменному току равно:

$$R_f = \frac{Dw \sqrt{f}}{380} \left(1 - \frac{w^2 d^2}{50 l^2} \right),$$

где D — диаметр намотки, см;

w — число витков;

f — частота, МГц;

d — диаметр провода, мм;

l — длина намотки, см.

Если катушка используется при частотах, близких к собственной частоте катушки, то следует вносить поправку в действующее сопротивление обмотки

$$R_{f1} = \frac{R_f}{\left(1 - \frac{fLC_0}{25300}\right)^2},$$

где L — индуктивность катушки, мкГн ;
 C_0 — собственная емкость катушки, пф .

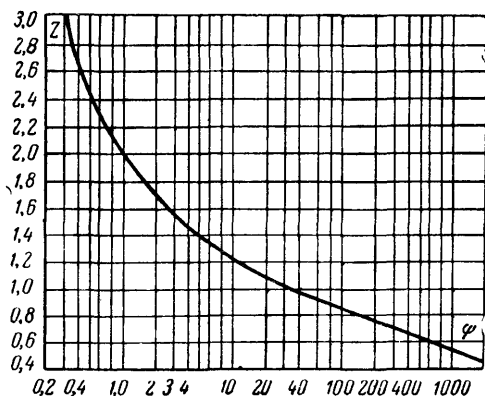


Рис. 45. График зависимости $z_{\text{онт}}$ от коэффициента ψ .

Индуктивность катушки при заданных размерах и числе витков

$$L = \frac{Dw^2}{102p + 45},$$

где p — отношение длины намотки к диаметру катушки.

Сопротивление катушки при заданной форме намотки и индуктивности равно:

$$R_f = \frac{\sqrt{f}}{380d} \left[\sqrt{LD(102p + 45)} + \frac{d^2 \sqrt{L(102p + 45)^3}}{50p^2 \sqrt{D^5}} \right].$$

Расчет оптимального диаметра провода сводится к определению вспомогательного коэффициента

$$\psi = \left(\frac{k\omega}{2z'D} \right)^2,$$

где k — коэффициент, определяемый по графикам на рис. 43;

$$z' = 0,106 \sqrt{f}.$$

При помощи коэффициента ψ по графику на рис. 45 находят величину $z_{\text{опт}}$. Диаметр провода находится по формуле

$$d_{\text{опт}} = \frac{z_{\text{опт}}}{z'}.$$

При $\psi > 2000$

$$z_{\text{опт}} = \frac{2}{\sqrt[3]{2\psi}},$$

а при $\psi < 0,3$

$$z_{\text{опт}} = \sqrt{\frac{2}{\psi}} + 0,71.$$

Полученное значение оптимального диаметра округляется до ближайшего стандартного.

Оптимальный диаметр провода катушек, намотанных с шагом, зависит от шага намотки и размеров катушки. В случае круглого провода

$$d_{\text{опт}} = \frac{\tau}{k_1},$$

где τ — шаг намотки;

k_1 — коэффициент, значения которого приведены на рис. 46.

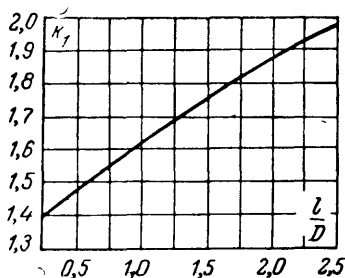


Рис. 46. График значений коэффициента k_1 .

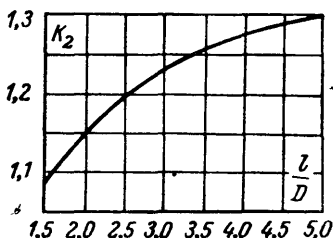


Рис. 47. График значений коэффициента k_2 .

Сопротивление и добротность катушки, намотанной таким проводом, будут равны:

$$R_f = \frac{7,4w^2 \sqrt{f}}{p} \cdot 10^{-4};$$

$$Q = 8,5DL_0p \sqrt{f}.$$

В случае плоского провода (ленты)

$$a_{\text{опт}} = \frac{\tau}{k_2},$$

где $a_{\text{опт}}$ — оптимальная ширина ленты;

k_2 — коэффициент, значения которого приведены на рис. 47.

Сопротивление катушки из такой ленты равно:

$$R_f = \frac{0,5w^2 \sqrt{f\rho}}{p},$$

а ее добротность

$$Q = 12,6DL_p \sqrt{\frac{f}{\rho}} 10^{-3},$$

где ρ — удельное электросопротивление материала ленты.

Добротность катушки для любого диаметра провода равна:

$$Q = \frac{2400 \sqrt{f} L p^2 d D}{w \left(l^2 + \frac{w^2 d^2}{50} \right)}.$$

Если, задавшись величиной индуктивности, формой намотки и диаметром провода, подбирать размеры катушки, то оптимальным диаметром обмотки явится:

$$D_{\text{опт}} = \sqrt{\frac{Ld(102p + 45)}{10p^2}}.$$

Следует отметить, что при расчете по вышеприведенным формулам не учитываются потери в изоляции провода, материале каркаса и др. Поэтому фактические значения сопротивления и добротности отличаются от расчетных. Сопротивление катушки на высокой частоте больше расчетного, а добротность соответственно меньше.

Катушки с магнитными сердечниками

Магнитные сердечники, введенные в катушку, увеличивают ее индуктивность. Кроме того, катушки с сердечниками имеют меньшее число витков при заданной индуктивности, большую добротность и незначительные размеры. Катушка с сердечником обладает более сосредоточенным магнитным полем, благодаря чему уменьшается магнитная связь между контурами в различных каскадах. Преимуществом таких катушек является возможность подстройки индуктивности путем перемещения сердечника внутри катушки. Магнитные сердечники для катушек изготовляют из магнитодиэлектриков и из ферритов.

Магнитодиэлектрики изготовляют из размельченного вещества, содержащего железо, отдельные частицы которого механически связаны между собой каким-либо диэлектриком. Диэлектрик осуществляет изоляцию частиц друг от друга и придает форму сердечнику. Наиболее известны магнитодиэлектрики из альсифера и карбонильного железа.

Альсифер отличается хорошими электрическими и магнитными показателями. Магнитодиэлектрики на основе альсифера имеют отрицательный температурный коэффициент магнитной проницаемости, что позволяет компенсировать положительный температурный коэффициент индуктивности катушек. Для применения на длинных волнах предназначен альсифер РЧ-9, на средних и коротких волнах — РЧ-6.

Карбонильное железо получается прессованием порошкообразного карбонильного железа с бакелитом, стиролом или аминопластом. Сердечники из карбонильного железа применяются на частотах до 30—50 Мгц. Карбонильное железо Р-2 предназначено для использования в катушках УКВ, а Р-8 — в катушках длинных и средних волн.

Ферриты представляют собой полупроводниковую керамику, получаемую путем прессования и обжига смеси из солей и окислов, в состав которых входит никель, марганец, литий, медь и др. Ферриты обладают высокой магнитной проницаемостью и высоким удельным электросопротивлением, что обеспечивает малые потери на вихревые токи даже на очень высоких частотах.

На радиочастотах наиболее употребительны никель-цинковые (НЦ), марганцево-цинковые (МЦ), литий-цинковые (ЛЦ) и медно-цинковые (МЦ) ферриты. Марганцево-цинковые ферриты используются в основном на частотах до 100 кгц. Медно-цинковые и литий-цинковые ферриты обладают невысокой магнитной проницаемостью (100—200) и используются в основном на коротких волнах. Свинцово-никелевые ферриты применяются на КВ и УКВ, причем на КВ с проницаемостью 50—200, а на УКВ — с проницаемостью 5—25.

Свойства высокочастотных магнитных материалов характеризуются эффективной магнитной проницаемостью, диапазоном рабочих частот, потерями и стабильностью.

Эффективную магнитную проницаемость определяют, измеряя индуктивность катушки с сердечником L_c и без него L_0 , с последующим вычислением по формуле

$$\mu_{эфф} = \frac{L_c}{L_0}.$$

Для сердечников простых конфигураций, например цилиндрических, величина $\mu_{эфф}$ может быть рассчитана, а для более сложных конфигураций определяется только опытным путем.

Магнитный сердечник увеличивает полное сопротивление катушки, причем это увеличение происходит из-за потерь на гистерезис, вихревых токов, высокочастотных потерь в диэлектрике. Потери на гистерезис зависят от напряженности магнитного поля H , а потери на вихревые токи и в диэлектрике — от частоты. Общее сопротивление потерь R_c определяется по тангенсу угла

$$\operatorname{tg} \delta_c = \frac{R_c}{\omega L},$$

измеренному на катушке с тороидальным сердечником. Величина, обратная $\operatorname{tg} \delta_c$, называется добротностью сердечника, т. е.

$$Q_c = \frac{1}{\operatorname{tg} \delta_c}.$$

Диэлектрические потери в ферритах не поддаются точному расчету, но они оказывают влияние на общие потери. Так, для ферритов 600НН и 100НН величина $\operatorname{tg} \delta_d$ на частоте 0,5 Мгц составляет 0,35 и 0,31 соответственно. С повышением частоты диэлектрические потери уменьшаются.

Стабильность магнитных материалов характеризуется изменением проницаемости и потерь под влиянием температуры, влажности, а также изменением с течением времени. Под влиянием температуры

изменяется главным образом магнитная проницаемость. Температурную стабильность магнитных материалов принято характеризовать температурным коэффициентом магнитной проницаемости

$$TK_{\mu} = \frac{\Delta\mu}{\mu\Delta t^{\circ}}$$

где $\Delta\mu$ — изменение магнитной проницаемости при изменении температуры на Δt° .

Катушки индуктивности с цилиндрическими магнитными сердечниками

К этому типу катушек относятся высокочастотные дроссели, катушки магнитных антенн, катушки фильтров промежуточной частоты и некоторые разновидности контурных катушек. Сердечники катушек изготовляют из карбонильного железа или феррита.

Сердечники из карбонильного железа (рис. 48) обозначаются СЦР (сердечники цилиндрические с резьбой), СЦГ (сердечники цилиндрические гладкие) и СЦТ (сердечники цилиндрические трубчатые). Основные данные цилиндрических карбонильных сердечников приведены в табл. 15.

Стержневые ферритовые сердечники изготовляются из материала марки 1000НН и 600НН следующих типоразмеров: СС1,2×10; СС1,8×12; СС3,5×20; СС3,5×30. Первое число в обозначении типоразмера указывает диаметр, а второе — длину сердечника в миллиметрах.

Для расчета дросселей с цилиндрическими сердечниками из феррита необходимо знать эффективную проницаемость $\mu_{эфф}$. На рис. 49 показаны кривые зависимости эффективной проницаемости от отношения длины сердечника к его диаметру. Зная эффективную проницаемость и полагая, что однослойная обмотка полностью покрывает сердечник, число витков обмотки рассчитывают по формуле

$$w = \sqrt{\frac{L_{др}}{k'D_{к}\mu_{эфф}}},$$

где $L_{др}$ — требуемая индуктивность дросселя, мкГн;

$D_{к}$ — диаметр обмотки, см.

Коэффициент k' определяется из графика на рис. 50, где $l_{к}$ и $D_{к}$ — длина и диаметр обмотки.

Цилиндрические ферритовые сердечники широко применяются в качестве антенн для радиоприемных устройств. Эффективная магнитная проницаемость антенных стержней лежит в пределах от 2 000

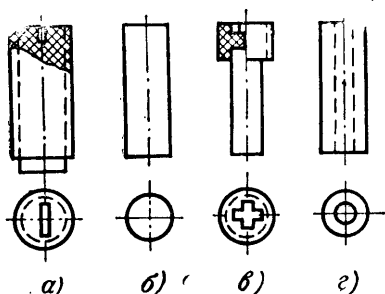


Рис. 48. Карбонильные цилиндрические сердечники.

а — СЦР; б и в — СЦГ; г — СЦТ.

Основные данные цилиндрических карбонильных сердечников

Тип сердечника	Размеры, мм		Среднее значение эффективной магнитной проницаемости сердечника, μ_e		Среднее значение добротности катушек	
	D	l	Класса А	Класса Б	Класса А	Класса Б
СПР-1	1М6	10	1,50	1,70	130	90
СПР-2	1М6	19	1,65	1,95	135	92
СПР-3	1М7	10	1,60	1,70	130	100
СПР-4	1М7	19	1,75	1,95	140	97
СПР-5	1М8	10	1,60	1,70	130	105
СПР-6	1М8	19	1,80	1,90	145	105
СПР-7	1М9	10	1,50	1,65	140	105
СПР-8	1М9	19	1,75	1,85	145	110
СПГ-1	9,3	10	2,10	2,10	160	130
СПГ-2	9,3	19	2,45	2,35	185	137
СПТ-1	9,3	10	2,00	2,00	160	130
СПТ-2	9,3	19	2,35	2,20	180	137

до 20. Основным параметром, определяющим качество антенны, которым необходимо руководствоваться при выборе марки феррита, является тангенс угла потерь материала сердечника в заданной

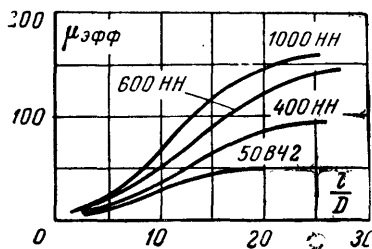


Рис. 49. График зависимости эффективной магнитной проницаемости от отношения l/D для сердечников из ферритов с различной магнитной проницаемостью.

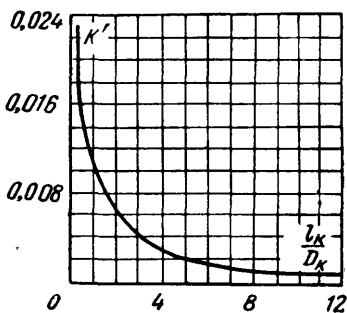


Рис. 50. График зависимости коэффициента k от соотношения l_k/D_k .

области частот. Основные параметры антенных стержней при диаметре 8 и длине 160 мм из марганцево-цинковых и никель-цинковых ферритов приведены в табл. 16.

Наиболее широкое применение получили следующие размеры ферритовых сердечников для антенн радиоприемной аппаратуры.

Сечение стержней	Длина l , мм
Круглое $D = 8$ мм	60, 65, 80, 100, 125, 140, 160
Круглое $D = 10$ мм	200
Прямоугольное 16×4 мм	80, 100, 125
Прямоугольное 20×3 мм	115, 125
Прямоугольное 25×5 мм	160, 200

Таблица 16

Основные параметры антенных стержней для различных диапазонов длин волн

Диапазон частот радиовещательного приемника	Частота f , Мгц		Длина волны, м		Марка феррита	$\mu_{эфф}$	$\text{tg } \delta \cdot 10^{-3}$	L , мкГн	Q
	мини- мальная	макси- мальная	макси- мальная	мини- мальная			при $f_{\text{макс}}$		
СДВ	0,01	0,15	30 000	2 000	2000НМ1	100	2	—	—
ДВ	0,15	0,408	2 000	735	2000НМ1	100	5	4 100	120
СВ	0,52	1,6	575	187	700НМ	140	4	370	120
КВ	4,0	12,0	75	25	150ВЧ	80	8	5,5	100
КВ	6,0	18,0	50	17	100ВЧ	65	6	2,2	140
КВ	9,0	27,0	33	11	50ВЧ2	40	4	0,8	180
УКВ	66	73	4,55	4,1	30ВЧ2	30	25	0,15	160

При конструировании катушек индуктивности с цилиндрическими сердечниками следует иметь в виду, что произведение $\mu_{эфф} Q = \text{const}$ в рабочем диапазоне частот. Это обстоятельство позволяет, изменяя соотношение l/D , добиться необходимого значения добротности катушки.

Катушки индуктивности с кольцевыми сердечниками

Наиболее полное использование магнитных свойств материала сердечника дает кольцевой (тороидальный) сердечник. Катушки индуктивности с кольцевыми сердечниками применяются в тех случаях, когда требуется максимальная индуктивность при минимальных размерах катушки. Достоинством тороидальных катушек является большая добротность и практически полное отсутствие внешнего поля рассеяния. Последнее устраняет необходимость экранирования катушек. Достоинством также является возможность получения сильной связи между обмотками, расположенными на одном сердечнике, а недостатком — сложность намотки и невозможность плавной регулировки индуктивности. Тороидальные сердечники выполняются из ферритов и альсиферов.

Сердечники из альсифера применяются на частотах до 1—1,5 Мгц. На более высоких частотах добротность катушек с альсифера

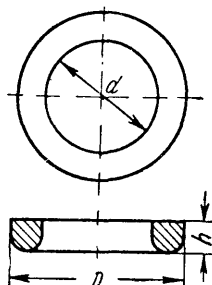


Рис. 51. Тороидальный сердечник из альсифера.

Размеры альсиферовых кольцевых сердечников

Наружный диаметр D , мм	Внутренний диаметр d , мм	Высота h , мм	Площадь сечения сердечника S_c , см ²
15	7	4,8	0,175
15	7	6,8	0,250
19	11	4,8	0,175
19	11	6,7	0,250
24	13	5,2	0,250
24	13	7,0	0,350
36	25	7,5	0,380
36	25	9,7	0,500
44	28	7,2	0,500
44	28	10,3	0,750
55	32	8,2	0,800
55	32	9,7	1,00
55	32	11,7	1,20
64	40	9,7	1,00
64	40	14,0	1,50
75	46	12,0	1,50
75	46	16,8	2,20

феровыми сердечниками ниже, чем с сердечниками из карбопильного железа. Размеры тороидальных сердечников из альсифера (рис. 51) приведены в табл. 17. Основные параметры сердечников приведены в табл. 18. Буквы в обозначении марки альсифера означают: ТЧ — тональная частота, ВЧ — высокая частота, К — компенсированный температурный коэффициент магнитной проницаемости. Наряду с двумя цветными полосами в маркировке альсиферового сердечника существует знак в виде одной полосы. Альсиферовые сердечники с одной маркировочной полосой применяются для изготовления катушек фильтров, которые используются в аппаратуре проводной связи.

Таблица 18

Основные параметры альсиферов

Тип сердечника	Начальная магнитная проницаемость μ_0	Максимальная рабочая частота, кГц	Коэффициент потерь на гистерезис δ_T	Маркировочный знак
ТЧ-60	55—60	10	$6 \cdot 10^{-5}$	Две черные полосы
ТЧК-55	50—60	10	$6 \cdot 10^{-5}$	„ красные „
ВЧ-32	30—34	50	$2,5 \cdot 10^{-5}$	„ белые „
ВЧ-22	20—24	100	$1,2 \cdot 10^{-5}$	„ зеленые „
ВЧК-22	20—24	100	$1,2 \cdot 10^{-5}$	„ желтые „

Число витков катушек индуктивности с тороидальными сердечниками из альсифера определяется по формуле

$$\omega = A \sqrt{L},$$

где A — коэффициент, значения которого приведены в табл. 19;
 L — заданная индуктивность, мГн .

Таблица 19

Значения коэффициента A

ТЧ-60	ТЧК-55	ВЧ-32	ВЧК-22	Диаметр, мм		Диаметр провода с изоляцией, мм	Средняя длина витка, см	Сечение, см^2
Коэффициент A				наружный	внутренний			
104	109	142	172	64	40	$\frac{28}{\sqrt{\omega}}$	8,28	2,0
93	97	126	154	64	40	$\frac{28}{\sqrt{\omega}}$	9,2	2,5
85	89	116	140	64	40	$\frac{18}{\sqrt{\omega}}$	9,9	3,0
107	111	146	176	55	32	$\frac{18}{\sqrt{\omega}}$	7,26	1,6
95	100	130	157	55	32	$\frac{16}{\sqrt{\omega}}$	7,58	2,0
87	91	119	143	55	32	$\frac{16}{\sqrt{\omega}}$	8,26	2,4
123	128	168	202	44	28	$\frac{16}{\sqrt{\omega}}$	6,00	1,0
110	114	150	181	44	28	$\frac{16}{\sqrt{\omega}}$	6,66	1,25
100	99	137	165	44	28	$\frac{13}{\sqrt{\omega}}$	7,16	1,5
133	139	182	220	36	25	$\frac{13}{\sqrt{\omega}}$	5,30	0,72
129	135	177	214	36	25	$\frac{7}{\sqrt{\omega}}$	5,50	0,76
113	118	154	186	36	25	$\frac{7}{\sqrt{\omega}}$	6,38	1,0
124	130	170	205	24	13	$\frac{5,5}{\sqrt{\omega}}$	3,55	0,5
104	108	142	171	24	13	$\frac{5,5}{\sqrt{\omega}}$	4,27	0,72
134	140	183	221	19	11	$\frac{1}{\sqrt{\omega}}$	3,0	0,54
112	117	154	185	19	11	$\frac{1}{\sqrt{\omega}}$	3,8	0,72

Исходя из средней длины витка $l_{\text{ср}}$ для данного типоразмера сердечника, приведенной в табл. 19, можно определить длину обмоточного провода $l_{\text{пр}} = l_{\text{ср}} \omega$.

Длину провода необходимо находить исходя из того, что намотка подобных катушек производится специальным челноком, на который предварительно наматывается провод. Диаметр провода определяется по формулам, приведенным в табл. 19.

Тороидальные сердечники из феррита подразделяются на четыре основных типа, характеризующихся различным отношением наружного диаметра D к внутреннему d . Наименование тороидальных сердечников составляется из буквы К и трех цифр, обозначающих соответственно наружный диаметр, внутренний диаметр и высоту сердечника; все линейные размеры выражаются в миллиметрах. Наиболее распространенные типоразмеры ферритовых тороидальных сердечников приведены в табл. 20.

Размеры тороидальных сердечников

D/d	Типоразмер	$l_{\text{ср}}, \text{ см}$	$S_{\text{с}}, \text{ см}^2$	$S_0, \text{ см}^2$
2,5	K2,5×1×0,8	0,55	0,06	0,0785
	K2,5×1×1,2		0,09	
	K4,0×1,6×1,2	0,88	0,0144	0,0201
	K4,0×1,6×1,8		0,0216	
	K6×2,5×1,8	1,33	0,0315	0,0491
	K6×2,5×2,8		0,049	
	K10×4×3	2,2	0,09	0,0126
	K10×4×4,5		0,135	
	K15×6×4,5	3,3	0,203	0,283
	K15×6×7		0,315	
2	K1,2×0,6×0,4	0,27	0,0012	0,00283
	K2×1×0,5	0,47	0,0025	0,00785
	K3,2×1,6×0,8	0,75	0,0064	0,0201
	K5×2,5×1,2	1,18	0,015	0,0491
	K8×4×2	1,85	0,04	0,0126
	K12×6×3	2,82	0,09	0,283
	K20×10×5	4,71	0,25	0,785
	K32×16×8	7,55	0,64	2,01
	K50×25×6	11,8	0,75	4,91
	K50×25×9	11,8	1,13	4,91
1,6	K1×0,6×0,3	0,25	0,0006	0,00283
	K1,6×1×0,3	0,40	0,0009	0,00785
	K2,5×1,6×0,5	0,64	0,0022	0,0201
	K4×2,5×0,8	1,02	0,0060	0,0314
	K7×4×1,5	1,75	0,0225	0,126
	K10×6×2	2,51	0,04	0,283
	K16×10×3	4,09	0,09	0,785
	K28×16×6	6,92	0,36	2,01
	K40×25×7,5	10,2	0,563	4,91
	K65×40×6	16,5	0,7	12,6
	K100×60×10	25,1	2,0	28,3
1,4	K1,4×1×0,4	0,379	0,0008	0,00785
	K2,2×1,6×0,8	0,60	0,0018	0,0201
	K3,5×2,5×1	0,943	0,005	0,0491
	K5,5×4×1,5	1,49	0,0113	0,126

Индуктивность тороидальной катушки с сердечником любого сечения вычисляется по формуле

$$L = \frac{1,26 \mu_c w^2 S_c}{l_{cp}} 10^{-3},$$

где L — индуктивность катушки, мкГн;

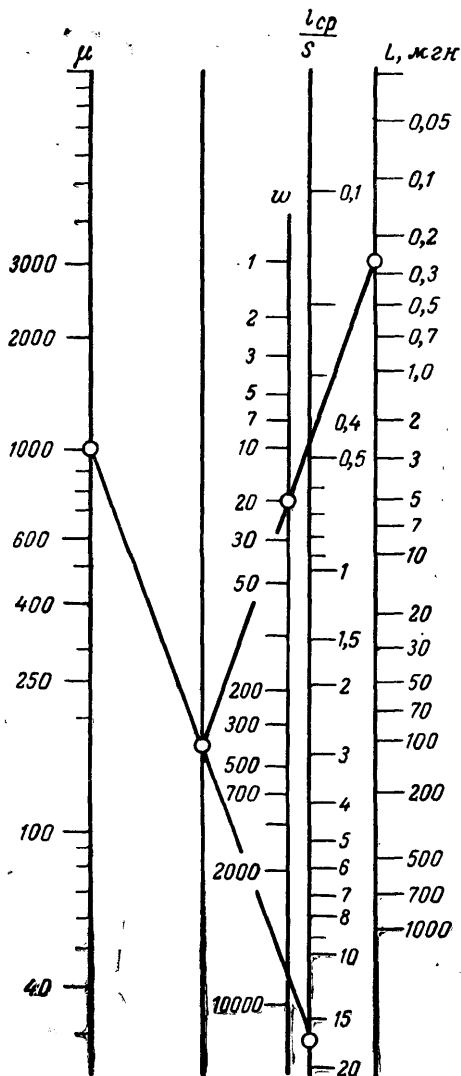


Схема пользования

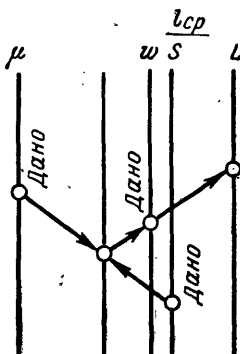


Рис. 52. Номограмма для расчета индуктивности катушек с тороидальными сердечниками.

w — число витков катушки;
 $l_{\text{ср}}$ — длина средней магнитной линии, см;
 S_c — площадь сечения магнитопровода, см²;
 μ_c — магнитная проницаемость сердечника.

Средняя длина магнитной линии определяется по формуле

$$l_{\text{ср}} = \pi \left(\frac{D + d}{2} \right).$$

Площадь сечения магнитопровода равна:
 для тора круглого сечения

$$S_c = 0,25\pi d^2,$$

где d — диаметр сечения магнитопровода, см;
 для тора прямоугольного сечения

$$S_c = bh,$$

где b — ширина сечения магнитопровода, см;
 h — высота тора, см;

для тора прямоугольного сечения со скругленными краями

$$S_c = bh - 0,86r^2,$$

где r — радиус скругления, см.

Для быстрого определения величины индуктивности тороидальных катушек можно воспользоваться номограммой, представленной на рис. 52.

Катушки индуктивности с броневыми сердечниками

Броневые сердечники нашли широкое применение в резонансных контурах и фильтрах радиоэлектронной аппаратуры. Броневые сердечники изготовляют из карбонильного железа или из феррита. Сердечники могут быть с замкнутой и разомкнутой магнитной цепью (рис. 53).

Броневые сердечники с замкнутой магнитной цепью (СБа) позволяют изготовлять катушку меньших размеров, чем катушка той же индуктивности, но без сердечника. Сердечники с разомкнутой магнитной цепью (СБб) обеспечивают большие добротности и могут работать на более высоких частотах.

Броневые сердечники обладают слабым внешним полем, что ослабляет паразитные связи и позволяет приближать экраны к самому сердечнику. Для подстройки индуктивности броневые корпуса сердечников снабжены цилиндрическими подстроечными сердечниками, перемещение которых изменяет индуктивность на 20—

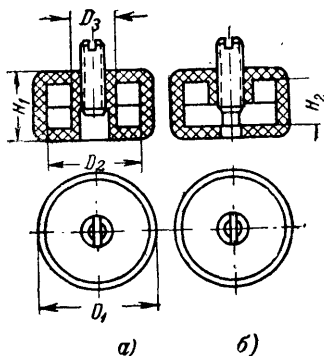


Рис. 53. Броневые сердечники.

а — с замкнутой магнитной цепью (СБа); *б* — с разомкнутой магнитной цепью (СБб).

30%. Это понижает требования к точности изготовления намотки. Броневые сердечники из карбонильного железа обозначаются СБ, а из ферритов — Б и ОБ.

Броневые сердечники из карбонильного железа типа СБ в зависимости от их размеров делятся на шесть наиболее распространенных видов: СБ-9а, СБ-12а, СБ-23-11а, СБ-23-17а, СБ-28а и СБ-34а. Размеры этих сердечников и их основные данные приведены в табл. 21.

Таблица 21

**Основные данные броневых сердечников
из карбонильного железа**

Размеры, мм	Тип сердечника						
	СБ-9а	СБ-12а	СБ-18а	СБ-21-11а	СБ-23-17а	СБ-28а	СБ-34а
D_1	9,6	12,3	18	23	23	28	34
D_2	7,5	10	14	18,5	18	23	27
D_3	4,6	6	9	11	11	13	13,5
H_1	7,6	11	14,8	11,4	17,4	23,4	28,4
H_2	4,2	8,2	10,4	6,2	12	17	20,4
Подстречник	М3×8	М4×11,5	М5×13,5	1М7×13	1М7×19	1М8×13	1М8×30
μ_0	3	4,5	—	3,7	4,6	4,7	4,5

Число витков катушек с броневыми сердечниками типа СБ можно определить по формуле

$$w = n \sqrt{L},$$

где L — индуктивность катушки, мкГн;

n — постоянная, определяемая размерами сердечника и свойствами магнитного материала.

Для некоторых видов сердечников значения величины n указаны в табл. 22.

Таблица 22

Значения коэффициента n

Тип сердечника	n	Тип сердечника	n
СБ-9а	7,05	СБ-23-17а	4,5
СБ-12а	6,7	СБ-28а	4,3
СБ-23-11а	4,0	СБ-34а	4,4

В табл. 23 указаны максимальные значения индуктивности, которые можно получить с различными видами сердечников при использовании провода различных марок.

На рис. 54—63 показаны графики, позволяющие с достаточной для практических целей точностью определить конструктивные данные, необходимые для намотки катушек с сердечниками СБ-12а—СБ-34а. Графики построены для катушек, в которых применялись каркасы без секций, изготовленные из органического стекла.

Броневые сердечники типа Б изготавливаются из феррита марки 2000НМ1, 2000НМ, 1500НМ2, 1500НМ3 и др. Для диапазона частот

Максимальная индуктивность катушек с броневыми сердечниками типа СБ

Марка провода	Тип сердечника									
	СБ-12а		СБ-23-11а		СБ-23-17а		СБ-28а		СБ-34а	
	ω	L	ω	L	ω	L	ω	L	ω	L
ПЭВ 0,1	570	7	650	24	1 350	95	3 000	440	4 350	920
ПЭВ 0,15	230	1,35	275	4,2	590	17,5	1 300	89	2 290	250
ПЭВ 0,2	108	0,24	144	1,1	375	6,9	700	23,5	1 090	57
ПЭЛШО 0,1	164	0,56	210	2,5	480	11,7	945	47,5	1 610	125
ЛЭШО 7×0,07	58	0,07	67	0,24	160	1,25	386	7,1	616	18

Примечание. ω — число витков; L — индуктивность, мГн.

5—100 МГц применяются никель-цинковые ферриты группы ВЧ с начальной магнитной проницаемостью от 150 до 20. Для контурных катушек индуктивности рекомендуются термостабильные ферриты марок 20ВЧ и 50ВЧ; некоторые практические данные о катушках

Таблица 24

Основные данные броневых сердечников из феррита

Размеры, мм	Тип сердечника				
	Б6	Б9	Б11	Б14	Б18
D_1	6,5	9	11	14	18
D_2	5,1	7,6	9,4	11,8	14
D_3	2,7	3,5	3,7	6	7,4
H_1	5,6	5,6	6,4	8,4	10,6
H_2	4	4	4,4	5,8	7,4
Подстроечник гладкий	0,9×6	1,5×9	1,5×9	2,5×12	2,5×12

Продолжение табл. 24

Размеры, мм	Тип сердечника				
	Б22	Б26	Б30	Б36	Б48
D_1	22	26	30	36	48
D_2	18,3	21,6	25,4	30,5	40
D_3	9,2	11,3	12,3	16	20
H_1	13,6	16,4	19	22	31,4
H_2	9,4	11,2	13,2	14,8	20,8
Подстроечник гладкий	3,5×16	4,5×20	4,5×22	4,5×22	6,5×32

индуктивности с сердечниками из этих ферритов приведены на рис. 64.

Броневые сердечники из феррита имеют общий объем и высоту примерно в 1,5 раза меньше, чем у близких к ним по размерам сер-

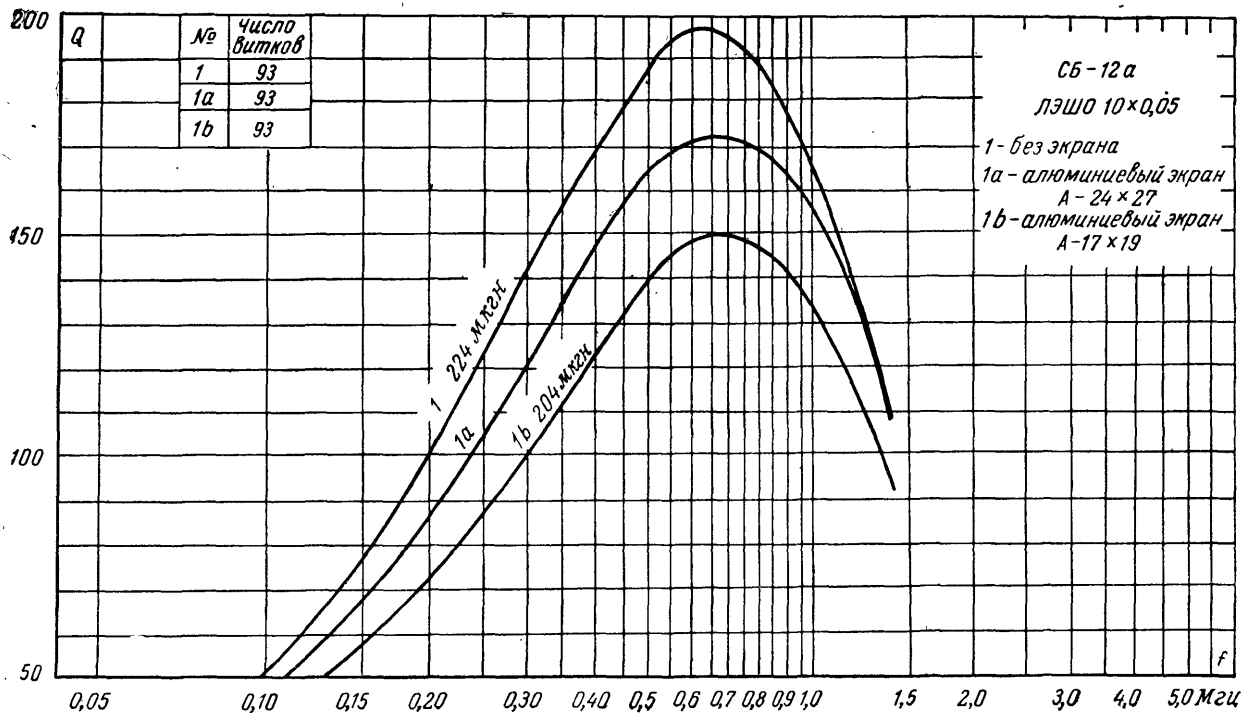


Рис. 54. Частотные характеристики добротности катушек с сердечником СБ-12а.

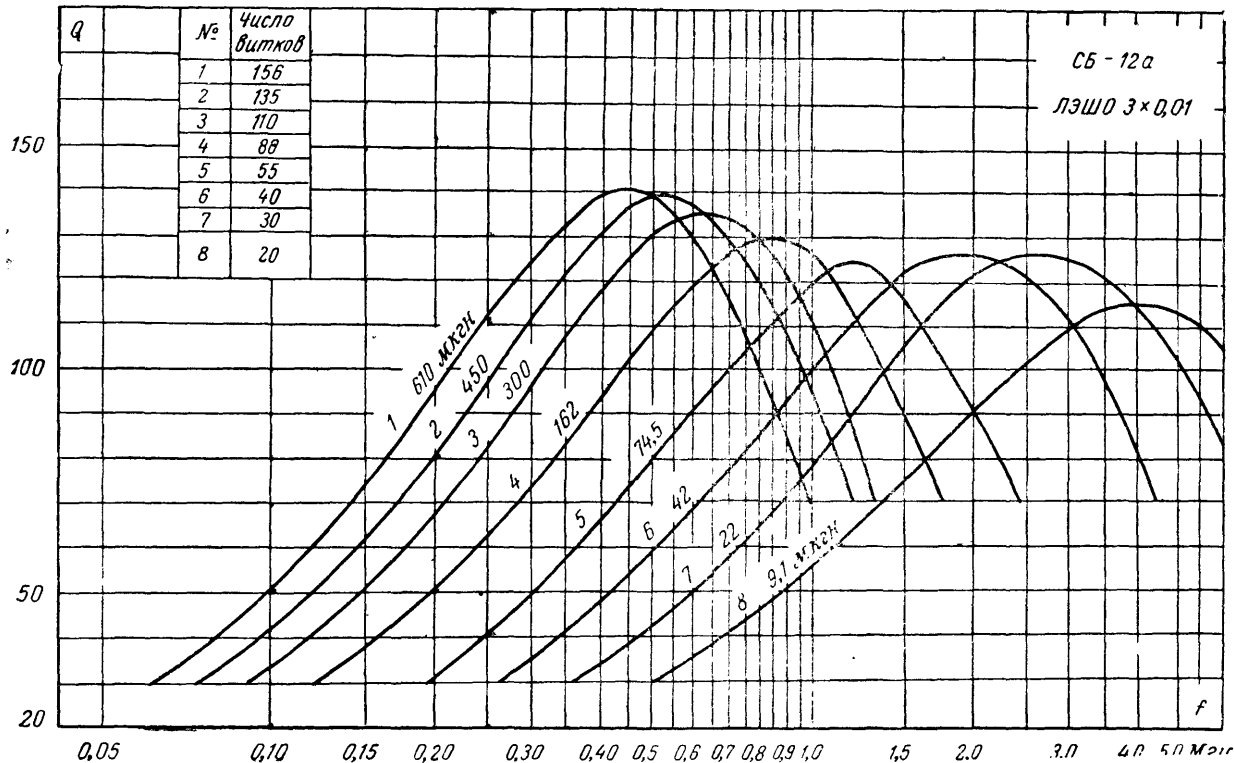


Рис. 55. Семейство частотных характеристик добротности катушек без экрана с сердечником СБ-12а.

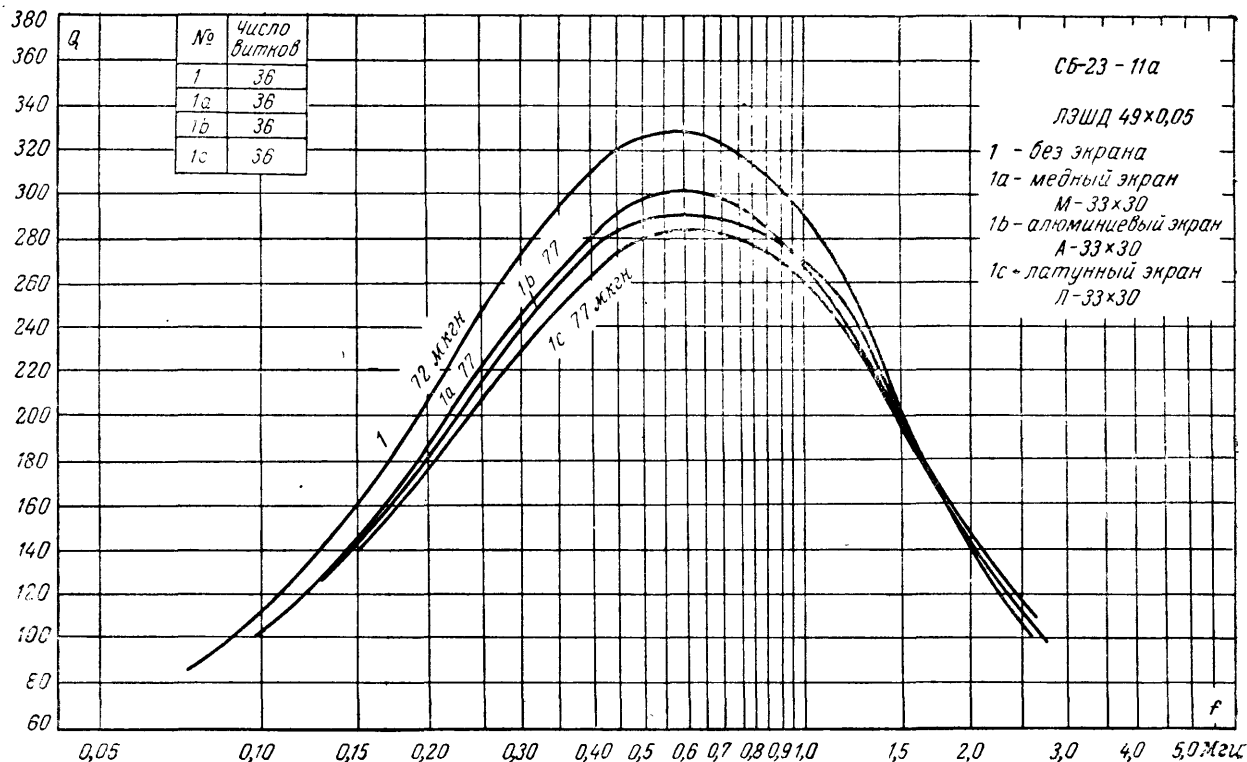


Рис. 56. Частотные характеристики добротности катушек с сердечником СБ-23-11а.

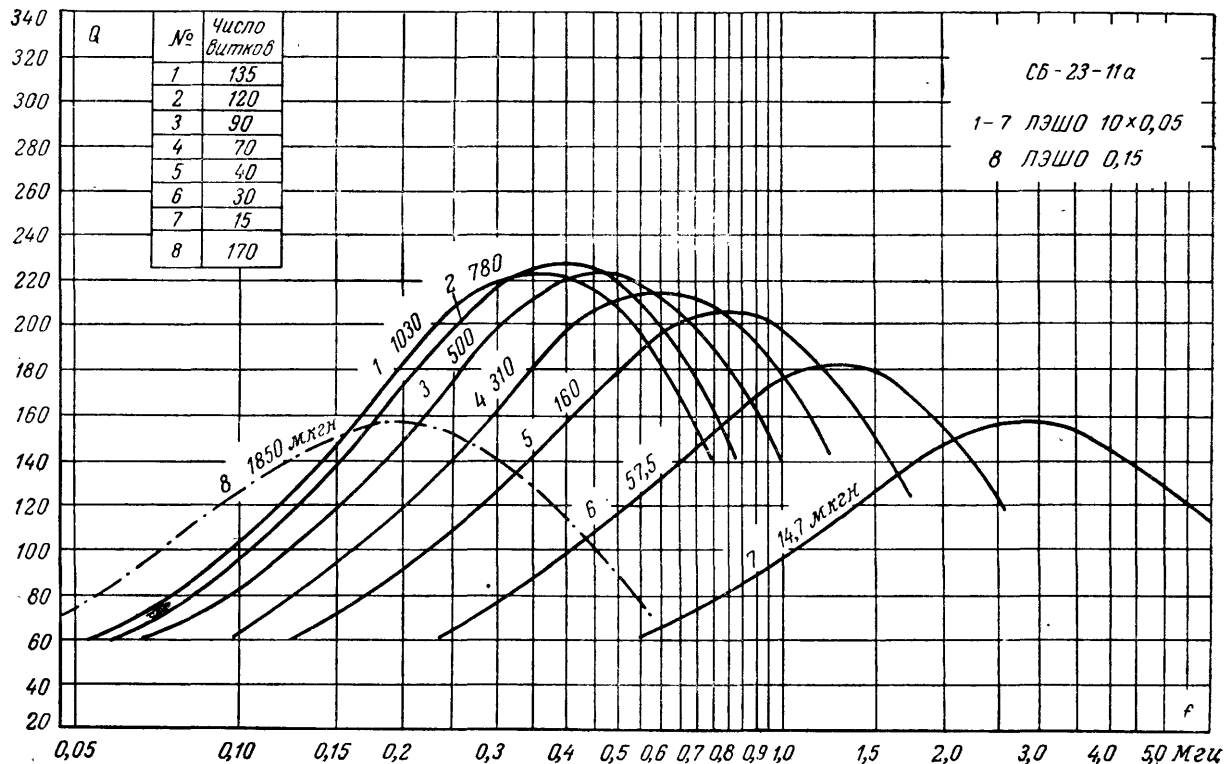


Рис. 57. Семейство частотных характеристик добротности катушек без экрана с сердечником СБ-23-11а.

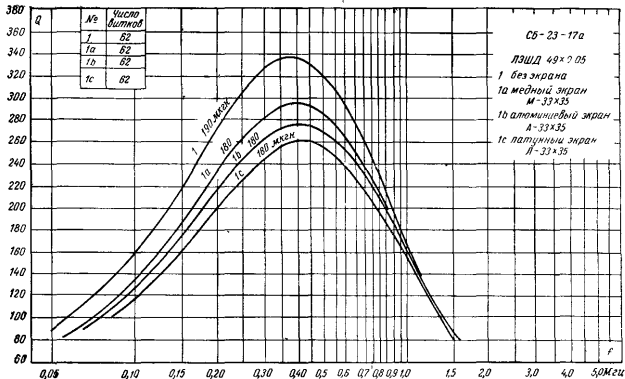


Рис. 58 Частотные характеристики добротности катушек с сердечником СБ-23-17а.

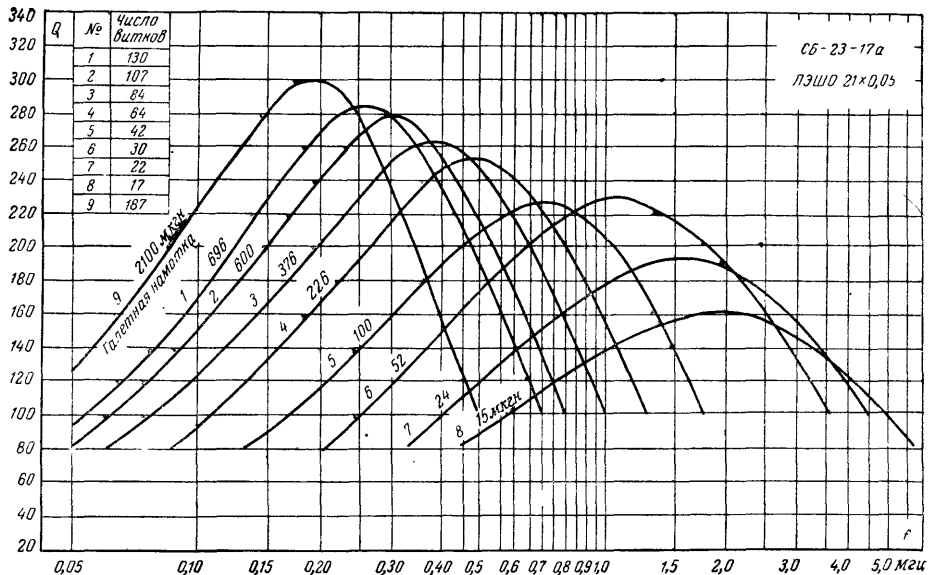


Рис. 59. Семейство частотных характеристик добротности катушек без экрана с сердечником СБ-23-17а.

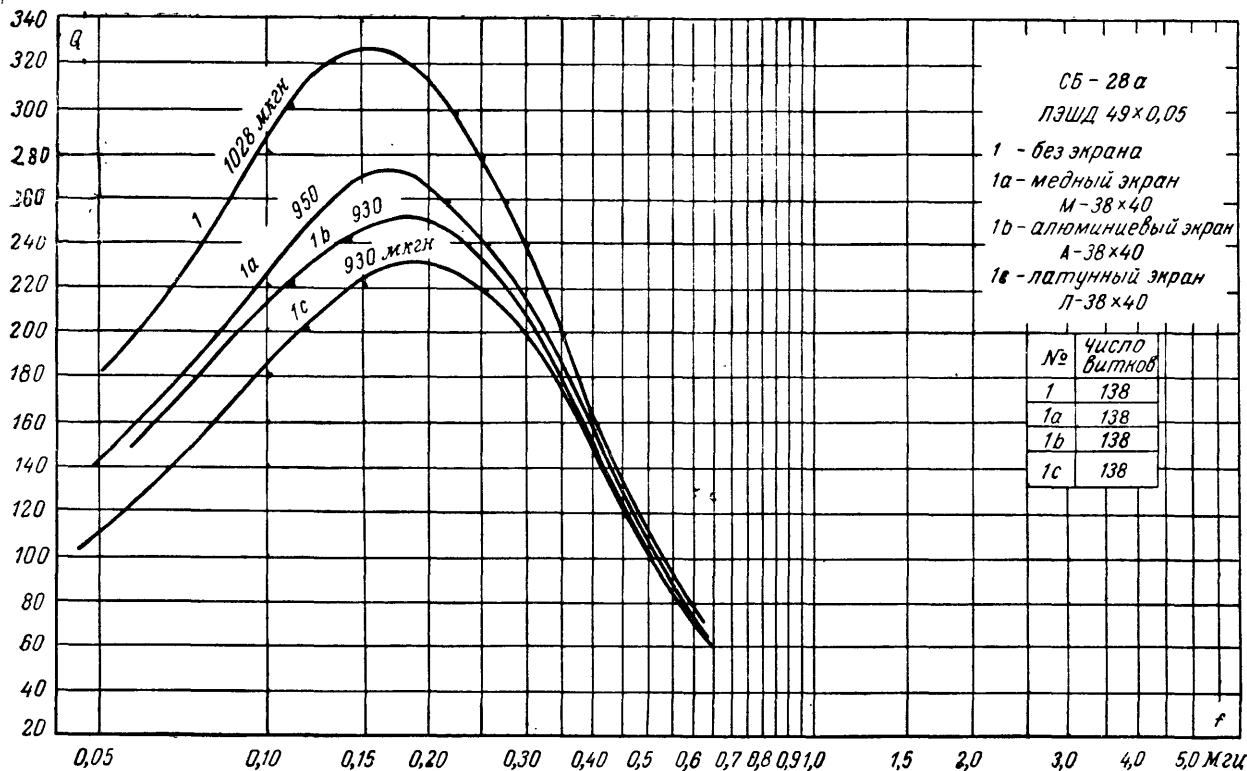


Рис. 60. Частотные характеристики добротности катушек с сердечником СБ-28а.

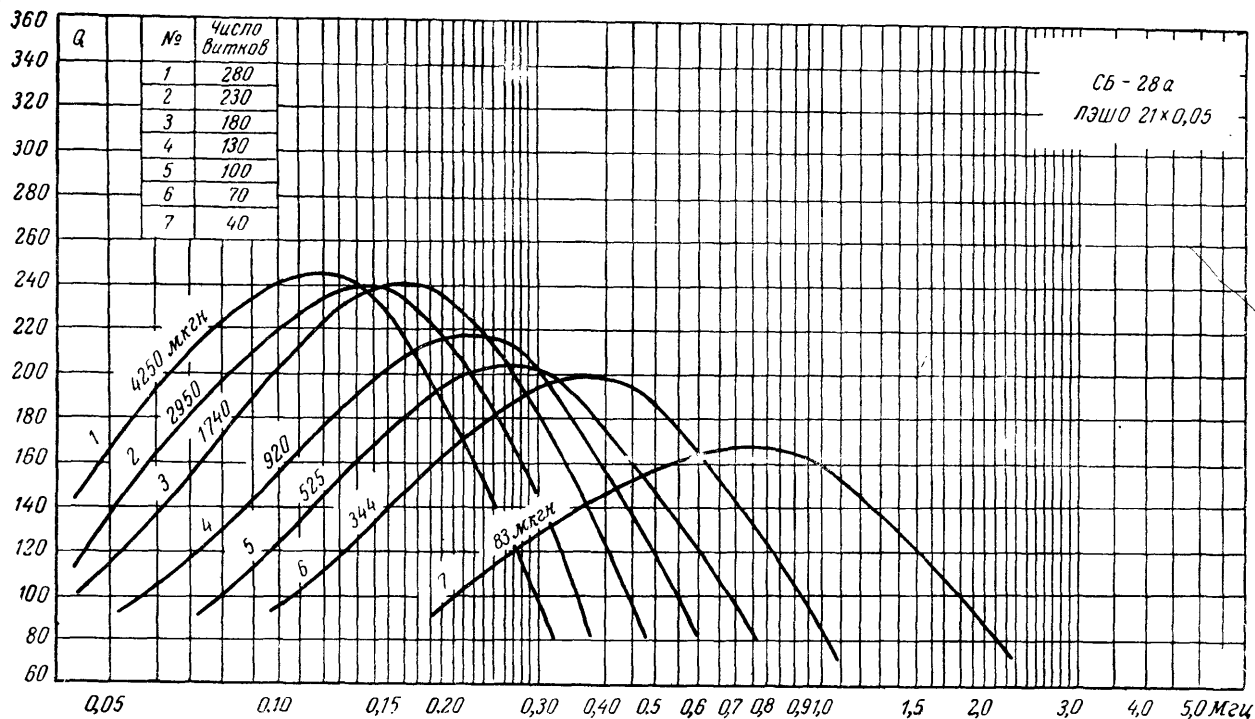


Рис. 61. Семейство частотных характеристик добротности катушек без экрана с сердечником СБ-28а.

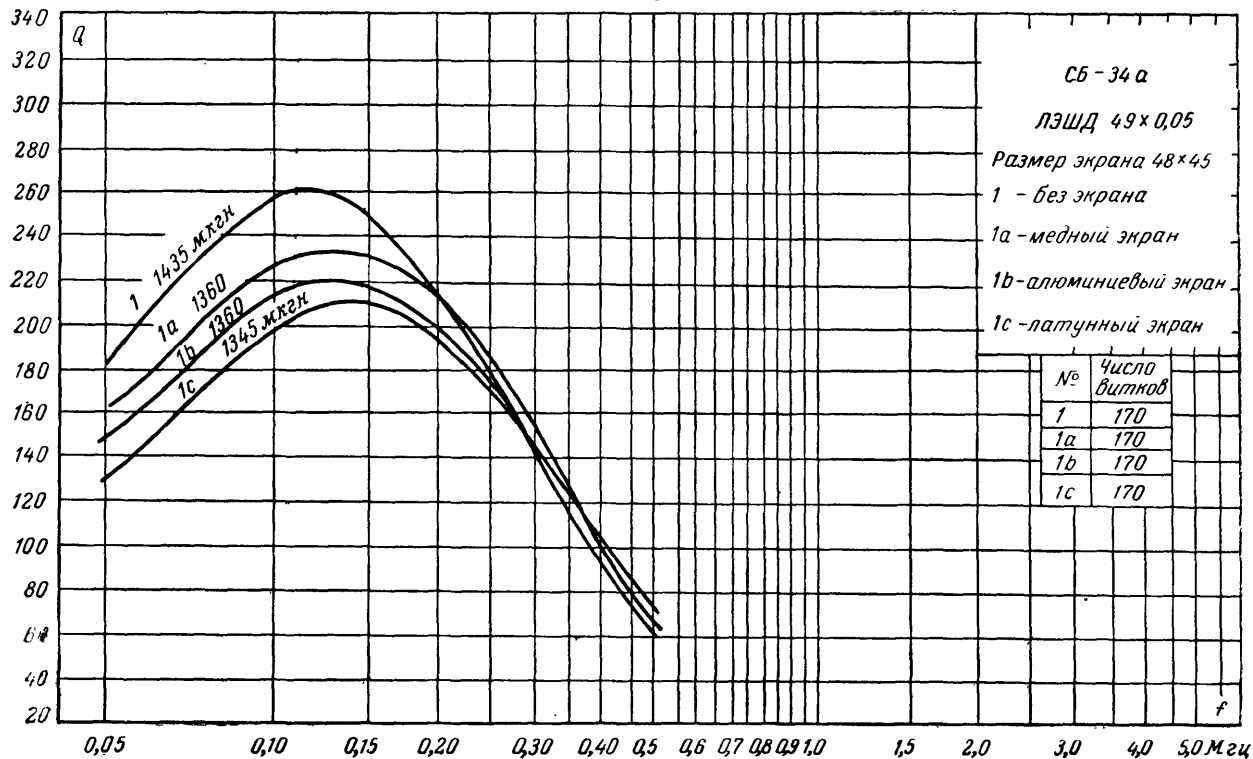


Рис. 62. Частотные характеристики добротности катушек с сердечником СБ-34а.

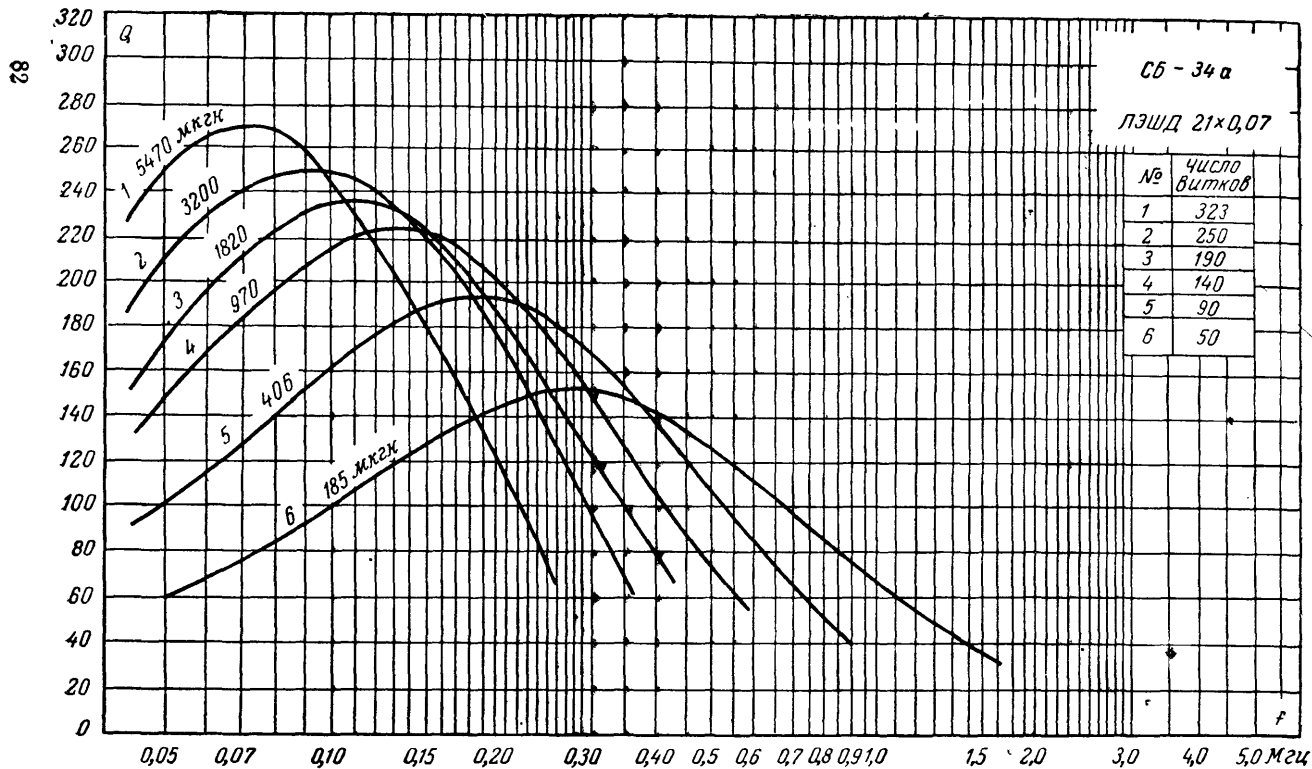


Рис. 63. Семейство частотных характеристик добротности катушек без экрана с сердечником СБ-34а.

дечников типа СБ, например, Б11 и СБ-12а или Б22 и СБ-23-17а, а объем обмоточного пространства лишь незначительно меньше. Основные параметры броневых сердечников из феррита приведены в табл. 24.

Для определения по заданным значениям $\mu_{эфф}$ и индуктивности числа витков катушек с сердечниками типа Б на рис. 65 представлена номограмма, по которой определяется вспомогательный коэффициент a , а число витков определяется по формуле

$$w = ak,$$

где k — коэффициент, значения которого приведены в табл. 25.

Номограммы на рис. 66 и 67 дают зависимость между числом витков w , сопротивлением обмотки постоянному току R и диаметром провода d катушки, намотанной до полного заполнения односекционного каркаса для различных сердечников. На номограммах по оси ординат отложены числа витков, а по оси абсцисс — диаметр провода без изоляции.

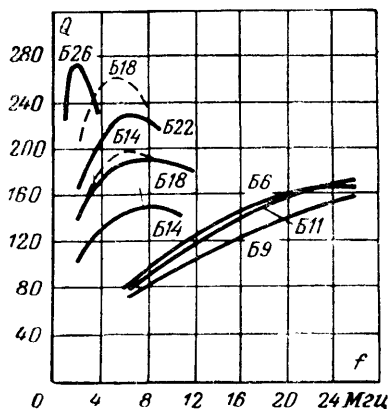


Рис. 64. Зависимость добротности Q катушек индуктивности на сердечниках ряда Б из ферритов 20ВЧ (сплошные линии) и 50ВЧ (пунктирные линии) от частоты.

Таблица 25
Значения коэффициента k

Тип сердечника	Коэффициент k	Тип сердечника	Коэффициент k
Б6	4,13	Б22	2,13
Б9	3,65	Б26	1,90
Б11	2,93	Б30	1,86
Б14	2,66	Б36	1,55
Б18	2,27	Б48	1,40

Номограммы на рис. 68 дают зависимость между числом витков, сопротивлением обмотки постоянному току и сечением провода ЛЭШО обмотки катушки с сердечниками типа Б.

Катушки индуктивности с броневыми сердечниками, выполненными из феррита, имеют высокие значения добротности (рис. 69). Добротность катушки с сердечником зависит от потерь, вносимых катушкой и сердечником

$$Q = \frac{\omega L}{R_0 + R_c},$$

где L — индуктивность катушки с сердечником;

Для катушек с замкнутым сердечником $Q_c = Q_m$, следовательно,

$$Q = \frac{Q_0 Q_m}{Q_0 + Q_m},$$

где Q_m — добротность материала сердечника, равная $1/\operatorname{tg} \delta_c$.

Если используется сердечник с зазором, то его добротность будет равна

$$Q'_c = Q_c \left(1 + \mu_0 \frac{l_z}{l_{cp}} \right).$$

Добротность обмотки при этом

$$Q'_0 = \frac{Q_0}{1 + \mu_0 \frac{l_z}{l_{cp}}},$$

где μ_0 — начальная магнитная проницаемость сердечника;

l_{cp} — средняя длина магнитной линии сердечника без учета зазора, мм.

Если добротность обмотки с сердечником без зазора выше добротности материала сердечника, то введение зазора повышает добротность сердечника и общую добротность катушки. При определенной величине зазора добротность катушки будет максимальной. Зазор, обеспечивающий наибольшую добротность, называется оптимальным и может быть определен по формуле

$$l_z = \frac{l_{cp}}{\mu_0} \left(\sqrt{\frac{Q_0}{Q_c}} - 1 \right).$$

Таблица 26

Параметры катушек

Тип сердечника	Кривая	$\mu_{эфф}$	l_z , мм	L , мГн	ω	Провод ЛЭШО	R_0 , Ом
Б48	1	340	0,10	15,3	82	$119 \times 0,07$	0,33
	2	240	0,16	10,7			
	3	160	0,27	7,5			
	4	130	0,35	6,0			
	5	100	0,50	4,5			
Б14	6	102	0,13	0,42	48	$21 \times 0,05$	0,70
	7	80	0,19	0,33			
	8	59	0,30	0,25			
	9	38	0,58	0,16			

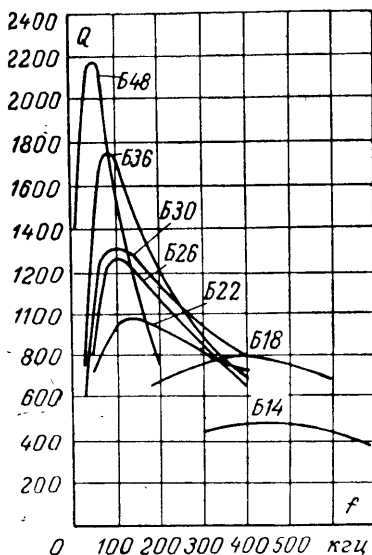


Рис. 69. Зависимость добротности Q катушек, выполненных на сердечниках ряда Б из феррита 1000НМ3 от частоты.

Если величина l_3 получается отрицательной, то введение зазора не увеличивает добротность. Максимальная добротность катушки с сердечником, в котором обеспечен оптимальный зазор, определяется по формуле

$$Q_{\text{макс}} = 0,5 \sqrt{Q_0 Q_m}.$$

На рис. 70 показана зависимость добротности Q катушек индуктивности с сердечниками из феррита марки 1000НМЗ от частоты f и зазора l_3 , величина которого приведена в табл. 26.

Точный конструктивный расчет катушек с замкнутыми сердечниками затруднителен, поэтому для расчетов целесообразно использовать графики и номограммы, приведенные в этой главе.

Температурная стабильность катушек с магнитными сердечниками

Изменение индуктивности под влиянием температуры характеризуется температурным коэффициентом индуктивности (ТКИ), который показывает относительное изменение величины индуктивности, приходящееся на 1°C изменения температуры

$$\text{ТКИ} = \frac{\Delta L}{L \Delta t^\circ},$$

где ΔL — изменение индуктивности;
 Δt° — изменение температуры.

Для катушки с сердечником ТКИ будет определяться как температурным коэффициентом индуктивности катушки, так и температурным коэффициентом проницаемости сердечника μ . Величина μ зависит от сорта магнитного материала и условий его изготовления.

Ферриты имеют большие значения температурного коэффициента проницаемости. Чем выше начальная проницаемость, тем сильнее она изменяется при изменении температуры. Поэтому в большинстве случаев ферритовые сердечники используют с немагнитным зазором.

Для катушек с тороидальными и броневыми ферритовыми сердечниками можно считать, что изменение индуктивности катушки от температуры происходит только за счет изменения магнитной проницаемости сердечника. При изменении температуры изменяется не только проницаемость сердечника, но и тангенс угла потерь. Чем выше проницаемость феррита, тем более резко зависит $\text{tg } \delta_c$ от тем-

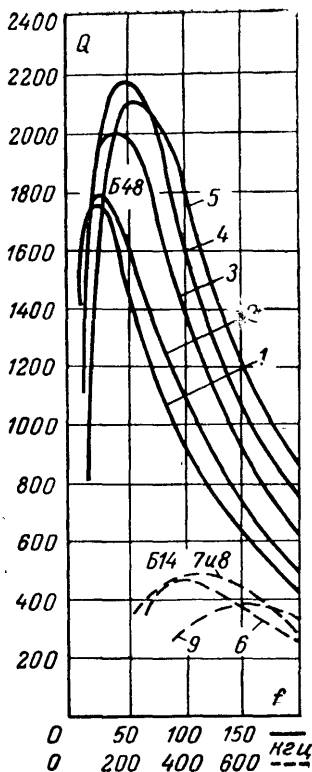


Рис. 70. Зависимость добротности Q катушек, выполненных на сердечниках ряда Б из феррита 1000НМЗ от частоты f и зазора l_3 .

пературы. При конструировании стабильных катушек индуктивности необходимо учитывать и фактор изменения их добротности от температуры.

Температурный коэффициент индуктивности катушки с сердечником из феррита, имеющим небольшой зазор ($l_3/l_{cp} \leq 0,01$), может быть определен по формуле

$$TKI = \frac{TK\mu}{1 + \frac{l_3}{l_{cp}} \mu_0},$$

где μ_0 — начальная магнитная проницаемость материала сердечника.

Магнитная проницаемость сердечника с зазором определяется по формуле

$$\mu_a = \frac{\mu_0}{1 + \mu_0 \frac{a}{b}},$$

где $a = l_3/l_{cp}$ — отношение длины зазора к длине магнитной линии сердечника;

$b = S_3/S_c$ — отношение сечения зазора к сечению сердечника (обычно $b = 1$).

Практически ТКИ катушек на броневых сердечниках без зазора из ферритов составляет $(250 \div 300) \cdot 10^{-6}$, а ТКИ катушек на сердечниках с зазором несколько меньше.

Магнитная проницаемость сердечников из карбонильного железа в диапазоне температур от -60 до $+100^\circ\text{C}$ линейно возрастает с увеличением температуры. Температурный коэффициент индуктивности катушек на броневых сердечниках без зазора из карбонильного железа составляет $(60 \div 100) \cdot 10^{-6}$.

Дроссели высокой частоты

Дросселем высокой частоты называют катушку индуктивности, включаемую в цепь для ограничения токов высокой частоты. В некоторых случаях дросселем называют катушку индуктивности, включаемую в электрическую цепь для получения частотной или фазовой коррекции. Индуктивность высокочастотного дросселя должна быть максимальной при минимальной величине собственной емкости. Ориентировочно индуктивность дросселя должна быть в 10—50 раз больше индуктивности катушки контура, к которому он подключен, так как он изменяет индуктивность и добротность катушек контура. Эквивалентные значения параметров цепи будут равны:

$$L_a = \frac{L_k L_{др}}{L_k + L_{др}};$$

$$Q_a = \frac{Q_k Q_{др} (L_k + L_{др})}{Q_k L_k + Q_{др} L_{др}},$$

поэтому необходимо, чтобы $L_{др} \gg L_k$.

Конструктивно дроссели высокой частоты выполняются в виде однослойных или многослойных катушек. Конструкции дросселей показаны на рис. 71. Для дросселей длинных и средних волн применя-

ется секционированная многослойная намотка. Дроссели для коротких и метровых волн имеют сплошную однослойную намотку, иногда с переменным шагом для улучшения диапазонных свойств. В качестве каркасов для этих дросселей используются керамические стержни от непроволочных постоянных резисторов (тип ВС). Дроссели с малым числом витков и диаметром 3—5 мм делаются бескаркасными.

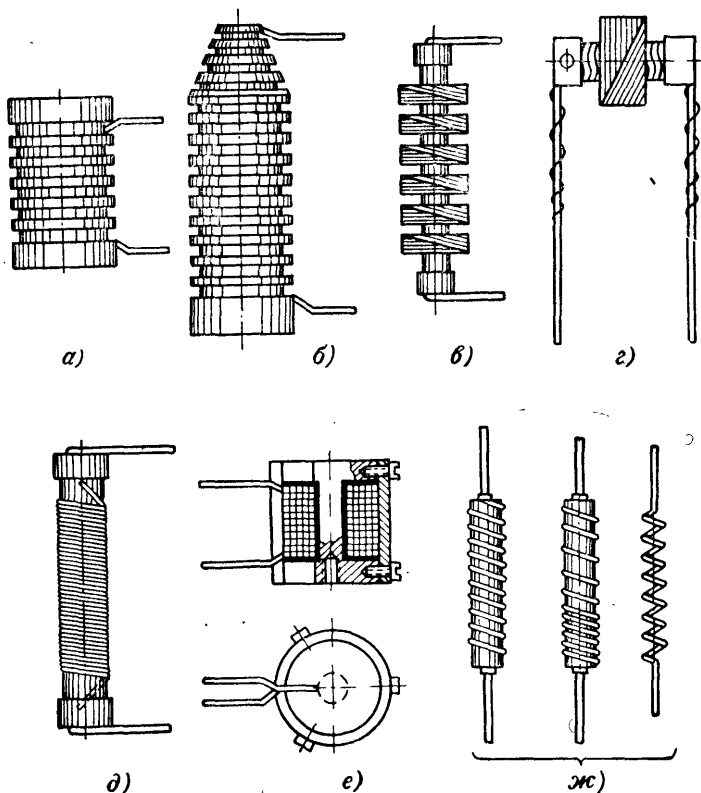


Рис. 71. Устройство дросселей высокой частоты.

а — для длинных волн; *б* — для широкого диапазона; *в* — для средних волн; *г* — корректирующий; *д* — для коротких волн; *е* — дроссель накала со стальным сердечником; *ж* — дроссель для УКВ.

Для получения достаточной индуктивности при малых диаметрах дросселя необходимо намотку вести тонким проводом диаметром от 0,05 до 0,2 мм. Длина намотки берется в пределах от двух до четырех диаметров D каркаса. Катушки короче $2D$ имеют недостаточную индуктивность, а катушки длиннее $4D$ имеют значительную собственную емкость.

Расчет дросселей высокой частоты заключается в определении индуктивности, собственной емкости и сопротивления. Формулы для

расчета дросселей аналогичны формулам для расчета катушек индуктивности.

Для определения числа витков дросселей УКВ можно воспользоваться графиками, представленными на рис. 72, где график *I* отно-

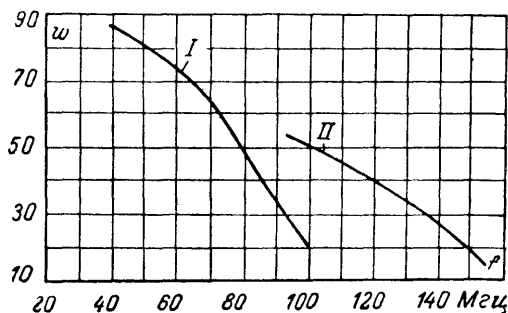


Рис. 72. Графики для расчета дросселей УКВ.

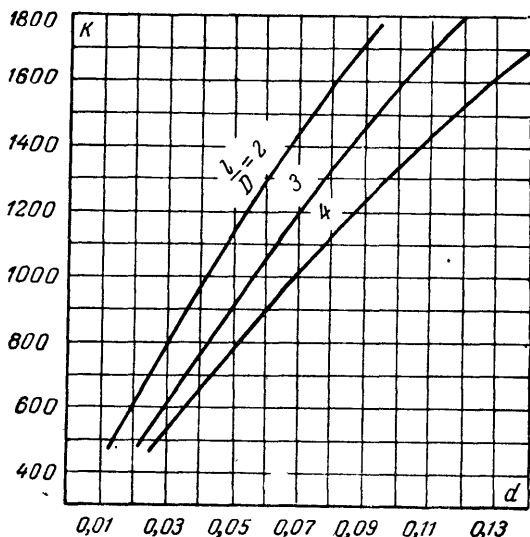


Рис. 73. График для определения коэффициента k .

сится к дросселю с диаметром намотки 10 и длиной 20 мм, а график *II* — к дросселю с диаметром намотки 5,5 и длиной 12 мм. Диаметр провода в обоих случаях 0,17 мм.

На рис. 73 показан график для расчета дросселей на частоты от 30 до 1000 МГц. По графику определяется вспомогательный коэф-

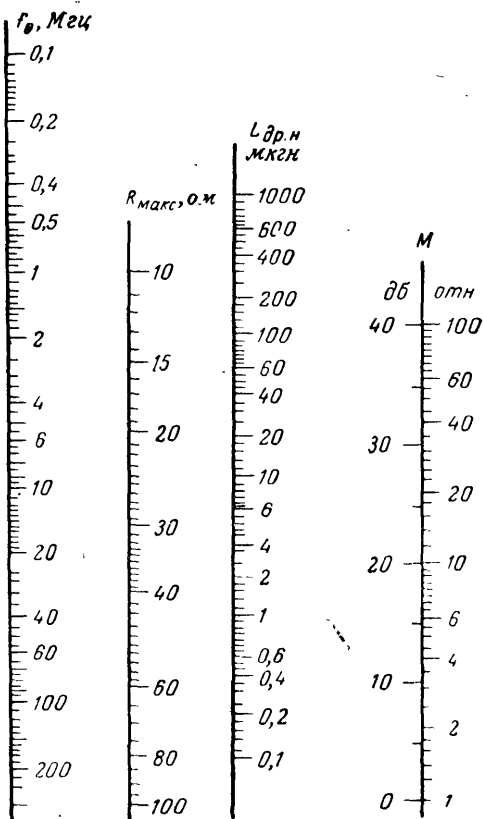


Схема пользования

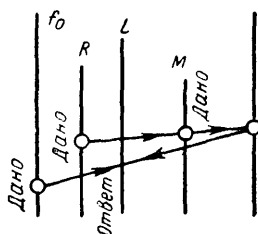


Рис. 74. Номограмма для расчета дросселей накала.

коэффициент k , который связывает значение диаметра провода и конструктивные размеры дросселя соотношением длины намотки к диаметру намотки $l/D=2; 3; 4$. Диаметр каркаса определяется рабочей частотой дросселя, т. е.

$$D = \sqrt{\frac{k}{f}},$$

где D — диаметр каркаса дросселя, мм;

f — частота, для которой рассчитывается дроссель, Мгц.

Индуктивность дросселей питания ориентировочно можно выбрать по табл. 27. Меньшие значения индуктивности относятся к дросселям накала ламп.

Таблица 27

Индуктивность дросселей питания

f , Мгц	До 0,5	1	5	10	20
$L_{др}$, мкГн . . .	$(1 \div 10) \cdot 10^3$	250—1500	80—400	30—150	15—80

Продолжение табл. 27

f , Мгц	50	100	200	500
$L_{др}$, мкГн . . .	4—24	1,7—8	0,6—2,5	0,15—0,4

На рис. 74 показана номограмма для расчета дросселей накала. Величина R_n равна:

$$R_n = \frac{U_n}{I_n},$$

где U_n и I_n — напряжение и ток накала.

Величина M показывает относительное ограничение токов высокой частоты.

Катушки индуктивности с сердечниками из ферромагнитных материалов

В цепях низких частот большое применение находят катушки с индуктивностью порядка единиц, десятков и даже сотен генри. Для этих катушек используют сердечники с замкнутой магнитной цепью из ферромагнитных материалов. К таким материалам относятся: электротехническая сталь, пермаллой, пермендюр и др. Некоторые свойства ферромагнитных материалов приведены в табл. 28.

Характерной особенностью катушек с ферромагнитными сердечниками является зависимость их индуктивности от величины переменного напряжения на обмотках, его частоты и тока постоянного подмагничивания.

Магнитные материалы характеризуются значительным числом параметров, однако на параметры катушек наибольшее влияние оказывает магнитная проницаемость материала.

Некоторые свойства магнитных материалов

Наименование и марка материала	Толщина, мм	Магнитная проницаемость		Индукция насыщения $B_{\text{макс}}$, тл
		μ_0	$\mu_{\text{макс}}$	
Электротехническая сталь				
Э41, Э42	0,3—0,5	350—400		
Э44	0,1—0,2	До 500		
Э46, Э48	0,35	До 300	6 000—7 000	1,8—2,0
Э310	0,2—0,5	До 500		
Пермаллой				
80НХС	0,05—0,15	18 000—25 000	40 000—70 000	0,7—0,75
	0,18—0,4	25 000—35 000		
79НМ	0,02	18 000—20 000	80 000—150 000	0,7—0,75
50НХС	0,05—0,15	1 600—2 500	11 000—14 000	1,0
45Н	0,05—0,15	1 700—2 500	11 000	1,5
Пермендюр	0,2—0,5	700—1 100	4 000	2,2—2,4

Магнитная проницаемость определяется отношением переменных составляющих индукции и напряженности магнитного поля. Ее величина в слабых полях называется начальной магнитной проницаемостью μ_0 . С увеличением индукции проницаемость повышается до определенного предела $\mu_{\text{макс}}$, определяемого свойствами магнитного материала. При дальнейшем увеличении индукции проницаемость резко падает. Проницаемость при постоянном подмагничивании характеризуется динамической проницаемостью μ_d .

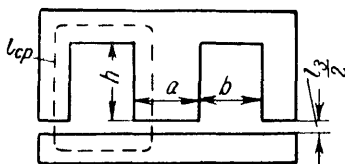


Рис. 75. Длина магнитного пути в Ш-образном сердечнике.

Индуктивность катушки, имеющей замкнутый сердечник, определяется по формуле

$$L = \frac{1,26 \omega^2 S_c \mu_0}{l_{\text{ср}}} \cdot 10^{-8},$$

где L — индуктивность катушки, гн;

ω — число витков;

S_c — сечение сердечника, см²;

μ_0 — начальная магнитная проницаемость материала сердечника;

$l_{\text{ср}}$ — средняя длина магнитной линии магнитопровода, см.

Средняя длина магнитной линии магнитопровода с равномерным сечением (рис. 75) равна:

$$l_{\text{ср}} = 2 \left(b + h + \frac{\pi a}{4} \right).$$

Формула для расчета величины индуктивности дает точные результаты лишь в том случае, когда по обмотке катушки не протекает постоянный ток и индуктивность определяется для переменной составляющей с незначительной амплитудой.

Если в качестве сердечника катушки применяется сердечник из электротехнической стали, то основную формулу для расчета величины индуктивности можно представить в виде

$$L = \frac{w^2 S_c}{2l_{cp}} 10^{-5}.$$

При расчете по этой формуле имеется в виду, что магнитная проницаемость материала сердечника равна 400 без тока подмагничивания. Число витков катушки при заданной индуктивности можно определить по упрощенной формуле

$$w = 450 \sqrt{\frac{L l_{cp}}{S_c}}.$$

При расчете числа витков для катушек, выполненных на сердечнике с магнитной проницаемостью, отличной от 400, формула имеет вид:

$$w = 8920 \sqrt{\frac{L l_{cp}}{\mu_0 S_c}},$$

где L — индуктивность катушки, $гн$;

l_{cp} — средняя длина магнитной линии магнитопровода, $см$;

S_c — сечение сердечника, $см^2$;

μ_0 — начальная магнитная проницаемость.

Для упрощения расчетов на рис. 76 показан график расчета числа витков катушек при различных соотношениях S_c/l_{cp} .

Для расчета катушек с постоянным подмагничиванием предварительно определяется величина динамической магнитной проницаемости μ_d . При определении динамической магнитной проницаемости необходимо вычислить амплитуду индукции B_m и постоянные ампер-витки $(aw)_0$.

Амплитуда индукции равна

$$B_m = \frac{U \cdot 10^4}{4,44 S_c f w},$$

где B_m — амплитуда индукции, $тл$;

U — переменное напряжение на обмотке, $в$;

f — частота, $гц$;

S_c — сечение сердечника, $см^2$.

Постоянная составляющая напряженности магнитного поля равна:

$$H_0 = 4\pi \frac{w I_0}{l_{cp}} = 4\pi (aw)_0,$$

т. е. она пропорциональна величине

$$(aw)_0 = \frac{w I_0}{l_{cp}},$$

где I_0 — ток подмагничивания, $а$.

Величина $(a\omega)_0$ называется постоянными ампер-витками на сантиметр и удобна для расчетов, так как поддается непосредственному вычислению.

На рис. 77 показан график для определения динамической проницаемости некоторых материалов в зависимости от B_m , а на рис. 78 — в зависимости от $(a\omega)_0$ и B_m .

Для уменьшения постоянной составляющей напряженности магнитного поля в сердечник вводится немагнитный зазор, который увеличивает сопротивление магнитной цепи.

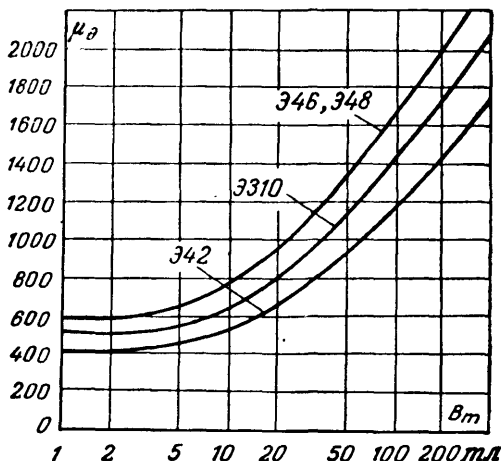


Рис. 77. График зависимости динамической магнитной проницаемости от индукции B_m .

Индуктивность катушки, в магнитопроводе которой имеется зазор l_3 , будет равна:

$$L = \frac{1,26 \cdot 10^{-9}}{\frac{1}{\mu_0} + \frac{l_3}{l_{cp}}} \cdot \frac{\omega^2 S_c}{l_{cp}} \cdot 10^{-8}.$$

Если обозначить

$$\mu_3 = \frac{1}{\frac{1}{\mu_0} + \frac{l_3}{l_{cp}}}$$

и назвать эту величину эквивалентной магнитной проницаемостью, то вычислять индуктивность можно по вышеприведенным формулам, заменив μ_0 на μ_3 .

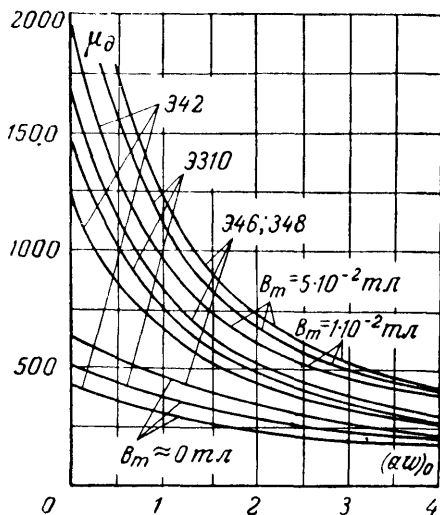


Рис. 78. График зависимости динамической магнитной проницаемости от индукции B_m и постоянного подмагничивания $(\alpha\omega)_0$.

I_0 — подмагничивающий ток, *ма*;

V — объем сердечника, равный $S_c l_{cp}$, *см*³.

По полученному значению k находят из кривой величину l_3/l_{cp} , после чего простым вычислением определяют величину l_3 .

Толщина немагнитной прокладки при сердечнике Ш-образной формы выбирается равной $0,5l_3$ и делается из любого изоляционного материала.

На рис. 81 показан график зависимости эквивалентной магнитной проницаемости некоторых магнитных материалов от постоянного подмагничивания при оптимальной величине немагнитного зазора.

Диаметр провода обмоток находится по формуле

$$d = 0,7 \sqrt{I_0},$$

где d — диаметр провода, *мм*;

I_0 — ток подмагничивания, *а*.

Величина оптимального немагнитного зазора в сердечнике определяется по формуле

$$l_3 = \frac{z l_{cp}}{100},$$

где z — коэффициент, определяемый из графика на рис. 79.

Выбрать величину немагнитного зазора можно с помощью графика, показанного на рис. 80. Для вычисления l_3 по этому графику необходимо вычислить вспомогательную величину k , равную

$$k = \frac{L I_0^2}{V},$$

где L — требуемая индуктивность катушки, *гн*;

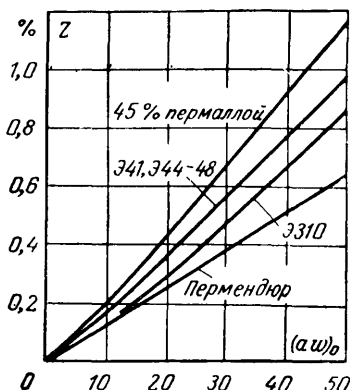


Рис. 79. График для определения коэффициента z .

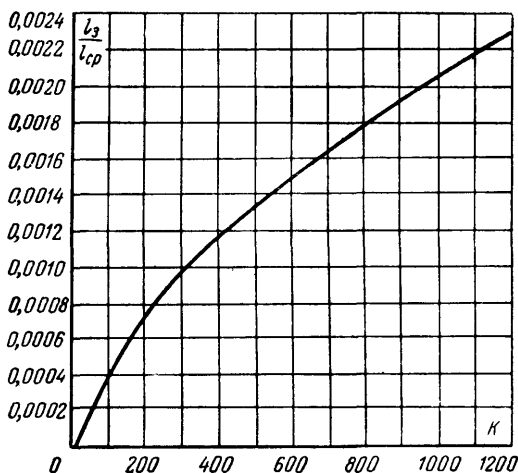


Рис. 80. 1 график для определения величины немагнитного зазора.

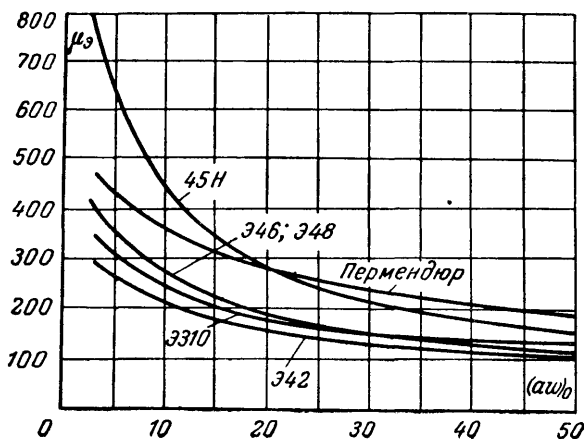


Рис. 81. График зависимости μ_z от постоянного подмагничивания при оптимальном зазоре.

Соединение катушек индуктивности

На рис. 82 показано последовательное соединение катушек индуктивности. Общая индуктивность цепи без учета взаимной индуктивности между ними равна

$$L_{\text{общ}} = L_1 + L_2 + L_3;$$

с учетом взаимной индуктивности (рис. 82, б)

$$L_{\text{общ}} = L_1 + L_2 \pm 2M,$$

где M — взаимная индуктивность; причем верхний знак берется при согласованном, а нижний — при встречном включении.

При параллельном соединении катушек индуктивности общая индуктивность равна:

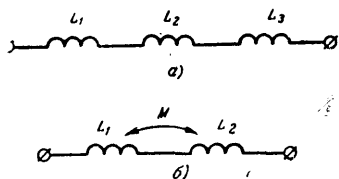


Рис. 82. Последовательное соединение катушек индуктивности.

а — без индуктивной связи между ними; *б* — при индуктивной связи между ними.

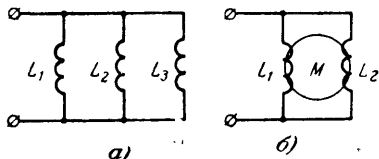


Рис. 83. Параллельное соединение катушек индуктивности.

а — без индуктивной связи между ними; *б* — при индуктивной связи между ними.

без учета взаимной индуктивности (рис. 83, *а*)

$$\frac{1}{L_{\text{общ}}} = \frac{1}{L_1} + \frac{1}{L_2} + \frac{1}{L_3};$$

с учетом взаимной индуктивности (рис. 83, *б*)

$$L_{\text{общ}} = \frac{L_1 L_2 - M^2}{L_1 + L_2 \pm 2M}.$$

Общая индуктивность двух параллельно соединенных катушек (при $M=0$) равна:

$$L_{\text{общ}} = \frac{L_1 L_2}{L_1 + L_2}.$$

На рис. 84 показана номограмма для определения общей индуктивности двух параллельно соединенных катушек. При вычислениях по номограмме величины L_1 и L_2 следует брать в одинаковых единицах.

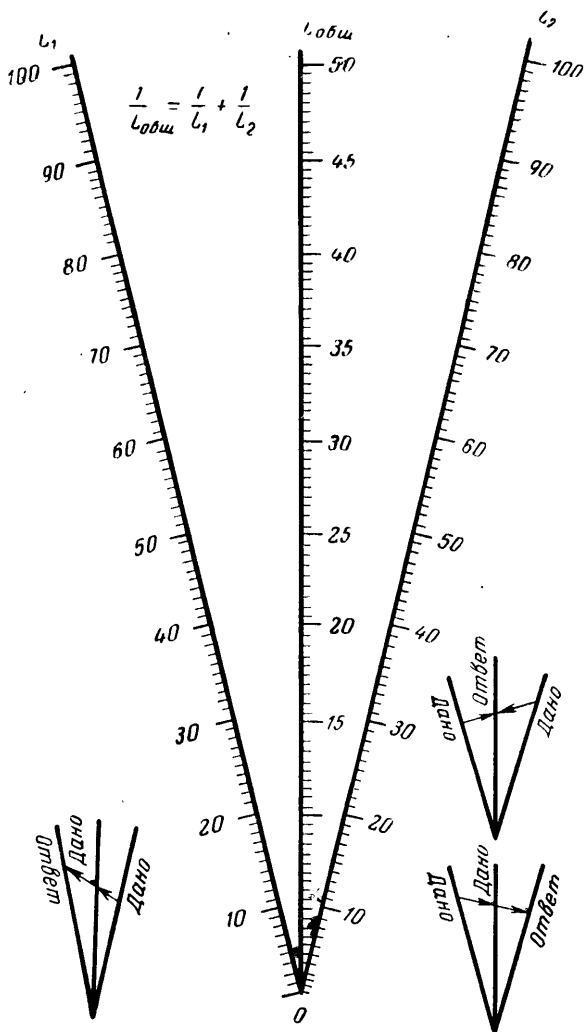


Рис. 84. Номограмма для определения общей индуктивности двух параллельно соединенных катушек.

РАСЧЕТ КОЛЕБАТЕЛЬНЫХ КОНТУРОВ

Основные параметры колебательных контуров

Простейший колебательный контур представляет собой последовательное или параллельное соединение двух реактивных сопротивлений противоположного знака: индуктивного X_L и емкостного X_C .

Реактивное сопротивление катушки индуктивности X_L увеличивается прямо пропорционально, а реактивное сопротивление конденсатора X_C — обратно пропорционально частоте

$$X_L = 2\pi f L, \quad X_C = \frac{1}{2\pi f C},$$

где X_L и X_C — реактивные сопротивления, ом;

f — частота, гц;

L — индуктивность катушки, гн;

C — емкость конденсатора, ф.

Резонансной частотой f_0 колебательного контура называется частота, на которой индуктивное сопротивление численно равно емкостному:

$$X_L = -X_C.$$

Значение индуктивного или емкостного сопротивления контура на резонансной частоте называют характеристическим (волновым) сопротивлением

$$\rho = X_L = X_C = \sqrt{\frac{L}{C}}.$$

Из приведенного выше равенства следует:

$$2\pi f_0 L = \frac{1}{2\pi f_0 C} \quad \text{или} \quad \omega_0 L = \frac{1}{\omega_0 C},$$

откуда выводится основная формула для определения резонансной частоты колебательного контура

$$f_0^2 = \frac{1}{4\pi^2 LC}$$

или

$$f_0 = \frac{1}{2\pi \sqrt{LC}}.$$

На практике встречаются видоизменения записи этой формулы для радиочастот

$$f_{(\text{кГц})} = \frac{1}{6,28 \sqrt{L_{(\text{гн})} C_{(\text{мкф})}}}; \quad f_{(\text{гГц})} = \frac{159}{\sqrt{L_{(\text{гн})} C_{(\text{мкф})}}};$$

$$f_{(гц)} = \frac{5\,033}{\sqrt{L_{(мкн)}C_{(мкф)}}}; \quad f_{(кгц)} = \frac{5\,033}{\sqrt{L_{(мен)}C_{(пф)}}};$$

$$f_{(Мгц)} = \frac{25\,330}{\sqrt{L_{(мкен)}C_{(пф)}}}; \quad \omega_0 = \frac{5\,033}{\sqrt{L_{(ен)}C_{(мкф)}}}.$$

Чтобы уменьшить резонансную частоту контура в два раза, необходимо увеличить в четыре раза емкость или индуктивность кон-

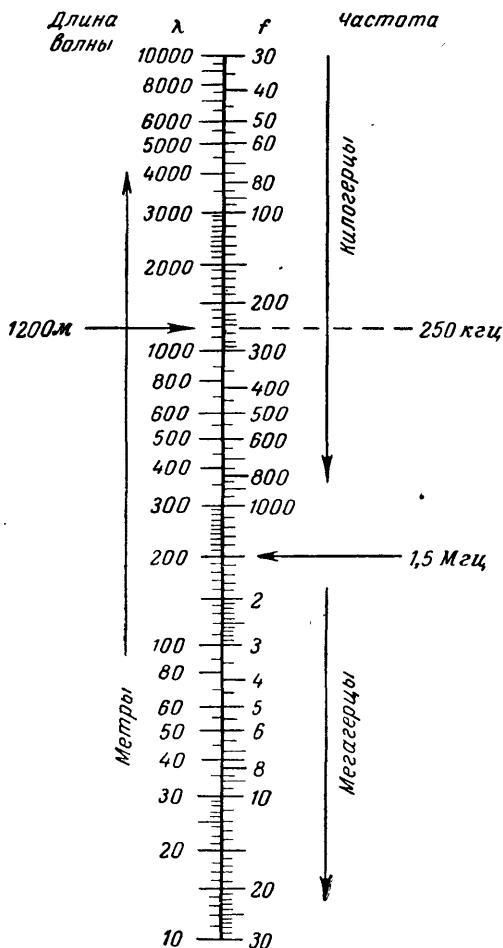


Рис. 85. График для определения длины волны и частоты электрических колебаний.

Расчет частоты f_0 , индуктивности L и емкости C

N f, L, C	L и C , мкгн, пф	f_0 , кГц	λ , м	N f, L, C	L и C , мкгн, пф	f_0 , кГц	λ , м
0	1,0	159 000	1,89	47	76,0	18 200	16,5
1	1,10	152 000	1,97	48	83,0	17 500	17,1
2	1,20	145 000	2,07	49	91,0	16 700	18,0
3	1,30	140 000	2,14	50	100	15 900	18,9
4	1,45	133 000	2,30	51	110	15 200	19,7
5	1,60	126 000	2,38	52	120	14 500	20,7
6	1,75	121 000	2,48	53	130	14 000	21,4
7	1,90	115 000	2,61	54	145	13 300	23,0
8	2,10	110 000	2,73	55	160	12 600	23,8
9	2,130	105 000	2,86	56	175	12 100	24,8
10	2,50	101 000	2,97	57	190	11 500	26,1
11	2,75	95 800	3,13	58	210	11 000	27,3
12	3,00	92 000	3,26	59	230	10 500	28,6
13	3,30	87 400	3,43	60	250	10 100	29,7
14	3,65	83 300	3,60	61	275	9 580	31,3
15	4,09	79 600	3,77	62	300	9 200	32,6
16	4,35	76 100	3,94	63	330	8 740	34,3
17	4,80	72 000	4,13	64	365	8 330	36,0
18	5,25	69 500	4,32	65	400	7 960	37,7
19	5,75	66 300	4,52	66	435	7 610	39,4
20	6,30	63 400	4,73	67	480	7 260	41,3
21	6,90	60 500	4,96	68	525	6 950	43,2
22	7,60	57 600	5,21	69	575	6 630	45,2
23	8,30	55 200	5,43	70	630	6 340	47,3
24	9,10	52 700	5,69	71	690	6 050	49,6
25	10,0	50 300	5,96	72	760	5 760	52,1
26	11,0	47 900	6,26	73	830	5 520	54,3
27	12,0	46 000	6,52	74	910	5 210	56,9
28	13,0	44 100	6,80	75	1 000	5 030	59,6
29	14,5	41 800	7,18	76	1 100	4 790	62,6
30	16,0	39 800	7,54	77	1 200	4 600	65,2
31	17,5	38 100	7,87	78	1 300	4 410	68,0
32	19,0	36 500	8,22	79	1 450	4 180	71,8
33	21,0	34 700	8,65	80	1 600	3 980	75,4
34	23,0	33 100	9,06	81	1 750	3 810	78,9
35	25,0	31 800	9,43	82	1 900	3 650	82,2
36	27,5	30 400	9,87	83	2 100	3 470	86,5
37	30,0	29 200	10,3	84	2 300	3 310	90,6
38	33,0	27 700	10,8	85	2 500	3 180	94,3
39	36,5	26 300	11,4	86	2 750	3 040	98,7
40	40,0	25 200	11,9	87	3 000	2 920	103
41	43,5	24 100	12,4	88	3 300	2 770	108
42	48,0	23 000	13,0	89	3 650	2 630	114
43	52,5	21 900	13,7	90	4 000	2 520	119
44	57,5	21 100	14,2	91	4 350	2 410	124
45	63,0	20 000	15,1	92	4 800	2 300	130
46	69,0	19 000	15,7	93	5 250	2 190	137

N f, L, C	L и C , мкгн, пф	f_0 , кГц	λ , м	N f, L, C	L и C , мкгн, пф	f_0 , кГц	λ , м
94	5 750	2 110	142	135	250 000	318	943
95	6 300	2 000	150	136	275 000	304	987
96	6 900	1 910	157	137	300 000	292	1 030
97	7 600	1 820	165	138	330 000	277	1 080
98	8 300	1 750	171	139	365 000	263	1 140
99	9 100	1 610	180	140	400 000	252	1 190
100	10 000	1 590	189	141	435 000	241	1 240
101	11 000	1 520	197	142	480 000	230	1 300
102	12 000	1 450	207	143	525 000	219	1 370
103	13 000	1 400	214	144	575 000	211	1 420
104	14 500	1 330	230	145	630 000	200	1 500
105	16 000	1 260	238	146	690 000	191	1 570
106	17 500	1 210	248	147	760 000	182	1 650
107	19 000	1 150	261	148	830 000	175	1 710
108	21 000	1 100	273	149	910 000	167	1 800
109	23 000	1 050	286	150	1 000 000	159	1 890
110	25 000	1 010	297	151	1 100 000	152	1 970
111	27 500	958	313	152	1 200 000	145	2 070
112	30 000	920	326	153	1 300 000	140	2 140
113	33 000	874	343	154	1 450 000	133	2 300
114	36 500	833	360	155	1 600 000	126	2 380
115	40 000	796	377	156	1 750 000	121	2 480
116	43 500	761	394	157	1 900 000	115	2 610
117	48 000	726	413	158	2 100 000	110	2 730
118	52 500	695	432	159	2 300 000	105	2 860
119	57 500	663	452	160	2 500 000	101	2 970
120	63 000	634	473	161	2 750 000	95,8	3 130
121	69 000	605	496	162	3 000 000	92,0	3 260
122	76 000	576	521	163	3 300 000	87,4	3 430
123	83 000	552	543	164	3 650 000	83,3	3 600
124	91 000	527	569	165	4 000 000	79,6	3 770
125	100 000	593	596	166	4 350 000	76,1	3 940
126	110 000	579	626	167	4 800 000	72,6	4 130
127	120 000	460	656	168	5 250 000	69,5	4 320
128	130 000	441	680	169	5 750 000	66,3	4 520
129	145 000	418	718	170	6 300 000	63,4	4 730
130	160 000	398	754	171	6 900 000	60,5	4 960
131	175 000	381	787	172	7 600 000	57,6	5 210
132	190 000	365	822	173	8 300 000	55,2	5 430
133	210 000	347	865	174	9 100 000	52,7	5 590
134	230 000	331	906				

тура. Можно увеличить емкость в два раза, одновременно увеличив в два раза индуктивность. Одну и ту же резонансную частоту можно получить при разных значениях емкости и индуктивности, для этого необходимо, чтобы произведение LC оставалось неизменным. Характеристическое сопротивление при этом изменится.

Частота в килогерцах для различных LC

L, мкГн	Емкость, пф									
	100	200	300	400	500	600	700	800	900	1 000
1	15 800	11 100	9 100	7 900	7 150	6 503	6 000	5 670	5 270	5 000
2	11 100	9 100	6 503	5 670	5 000	4 620	4 230	4 000	3 760	3 580
3	9 100	6 503	5 270	4 620	4 110	3 760	3 490	3 260	3 060	2 920
4	7 900	5 670	4 620	4 000	3 580	3 260	3 000	2 800	2 660	2 510
5	7 150	5 000	4 110	3 580	3 200	2 920	2 680	2 510	2 380	2 260
6	6 503	4 620	3 760	3 260	2 920	2 660	2 460	2 290	2 160	2 060
7	6 000	4 230	3 490	3 000	2 680	2 460	2 280	2 120	2 000	1 900
8	5 670	4 000	3 260	2 800	2 510	2 290	2 120	1 985	1 875	1 775
9	5 270	3 760	3 060	2 660	2 380	2 160	2 000	1 875	1 761	1 655
10	5 000	3 580	2 920	2 510	2 260	2 060	1 900	1 775	1 655	1 595
12	4 620	3 260	2 660	2 290	2 060	1 875	1 730	1 620	1 530	1 455
14	4 230	3 000	2 460	2 120	1 900	1 730	1 610	1 510	1 410	1 342
16	4 000	2 800	2 290	1 985	1 775	1 620	1 510	1 430	1 327	1 260
18	3 760	2 660	2 160	1 875	1 655	1 530	1 410	1 327	1 250	1 185
20	3 580	2 510	2 060	1 775	1 595	1 435	1 342	1 260	1 185	1 122
25	3 200	2 260	1 840	1 595	1 420	1 298	1 205	1 122	1 060	1 003
30	2 920	2 060	1 655	1 455	1 298	1 185	1 080	1 028	968	921
40	2 510	1 775	1 455	1 260	1 122	1 082	954	893	840	796
50	2 260	1 595	1 298	1 122	1 003	921	850	796	750	712
60	2 060	1 455	1 185	1 028	921	840	778	728	685	650
70	1 948	1 342	1 100	954	850	778	720	674	634	602
80	1 775	1 260	1 028	893	841	728	689	630	593	563
90	1 655	1 185	968	840	750	685	635	593	560	532
100	1 595	1 122	921	896	712	650	613	563	532	502
120	1 455	1 028	840	728	650	593	550	514	485	460
140	1 342	954	778	674	602	582	519	476	450	426
160	1 260	893	745	630	563	514	476	446	430	398
180	1 185	840	685	593	532	485	449	430	396	375
200	1 122	796	650	563	504	460	426	398	375	356
250	1 003	712	582	504	451	411	282	356	336	318
300	921	650	530	460	411	375	348	324	306	291
400	796	563	460	398	356	324	301	271	265	252
500	712	504	411	345	316	290	269	252	243	228
600	650	460	375	324	290	265	246	230	223	209
700	602	426	348	307	269	246	229	218	201	190

Зависимость между резонансной частотой f_0 контура и длиной волны выражается следующей формулой:

$$\lambda = \frac{c}{f_0},$$

где λ — длина волны, м;

f_0 — частота, Гц;

c — скорость распространения электромагнитных колебаний, равная $3 \cdot 10^8$ м/сек.

На рис. 85 показан график для перевода длины волны в частоту и обратно.

Помимо приведенных формул, неизвестные значения f_0 , L , C и λ могут быть найдены при помощи табл. 29. Таблица состоит из четырех граф:

N — графа порядковых номеров;

L, C — графа индуктивности и емкости контура;

f_0 — графа резонансной частоты контура;

λ — графа длины волн.

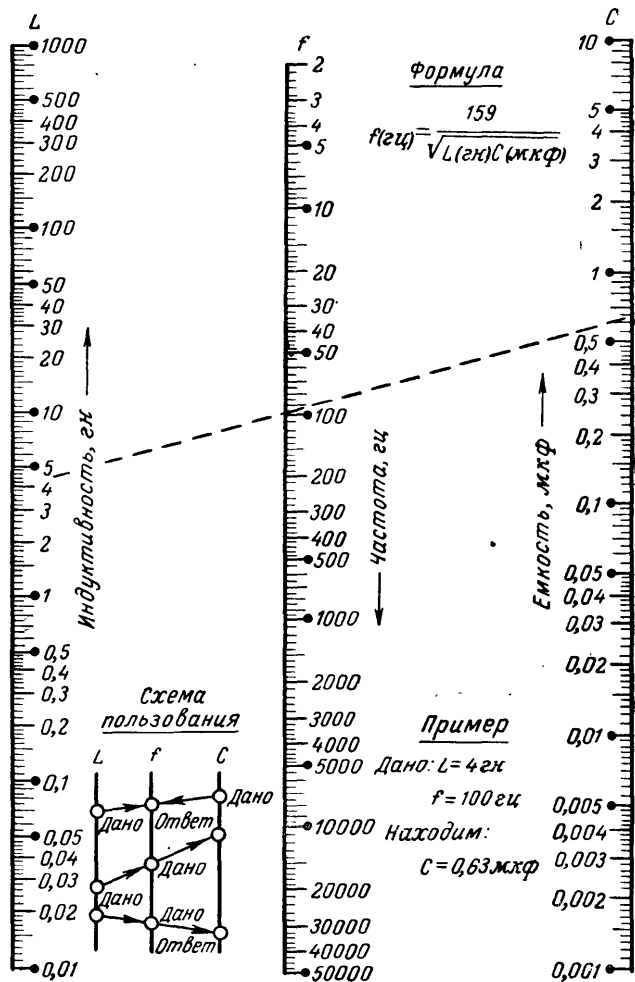


Рис. 86. Номограмма для определения резонансной частоты контура в диапазоне 2 гц—50 кгц.

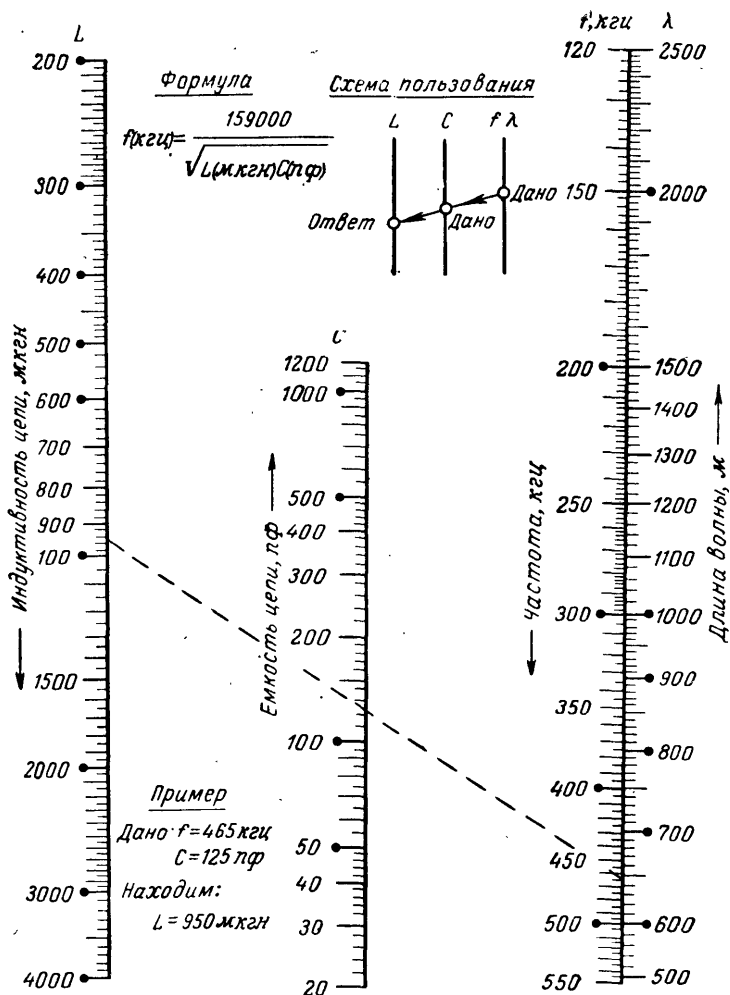


Рис. 87. Номограмма для определения резонансной частоты контура в диапазоне 120—550 кгц.

Расчет резонансной частоты контура f_0 по приведенной таблице сводится к сложению порядковых номеров строчек известной индуктивности и емкости. Сумма последних определяет номер строчки (графа N) с искомой частотой (графа f_0), т. е. $N_{f_0} = N_C + N_L$.

Определение номера строки (графа N) с искомой индуктивностью или емкостью (графа L или C) сводится к вычитанию по-

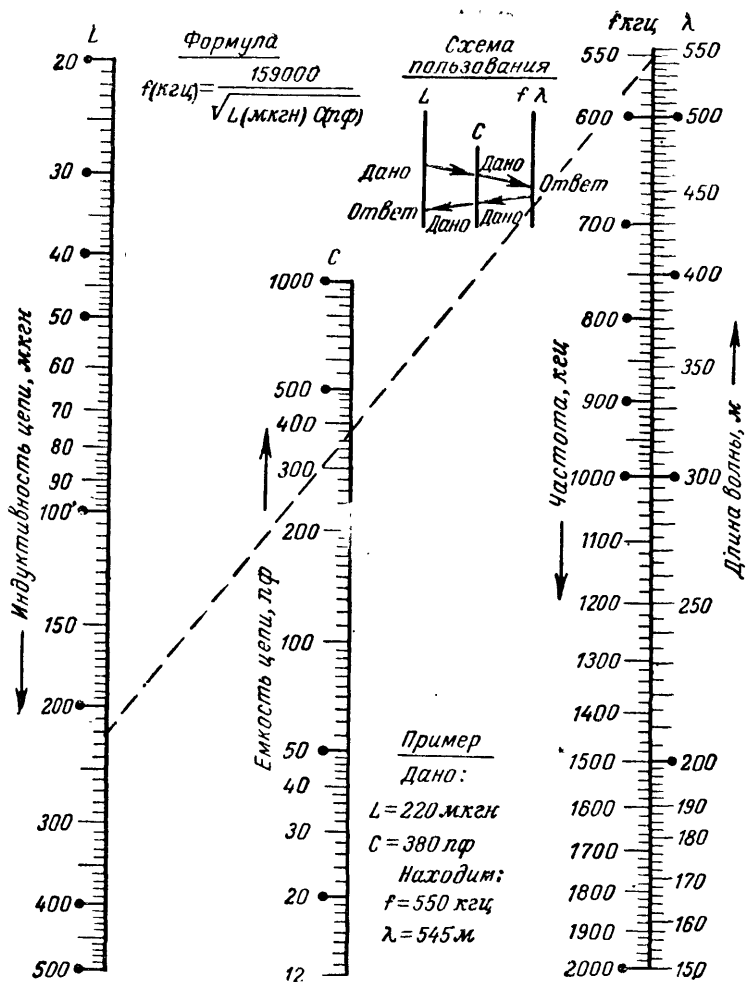


Рис. 88. Номограмма для определения резонансной частоты контура в диапазоне 550 кГц—2 МГц.

рядкового номера емкости (или индуктивности) из порядкового номера известной частоты, т. е. $N_L = N_{f_0} - N_C$ или $N_C = N_{f_0} - N_L$.

Иногда может оказаться удобным вычислить необходимую величину емкости или индуктивности контура, не используя вспомогательную графу порядковых номеров. Для этого необходимо произведение LC разделить на заданную величину L (при определении C) или на заданную величину C (при определении L). В табл. 30 приведены значения резонансных частот контура при различных LC .

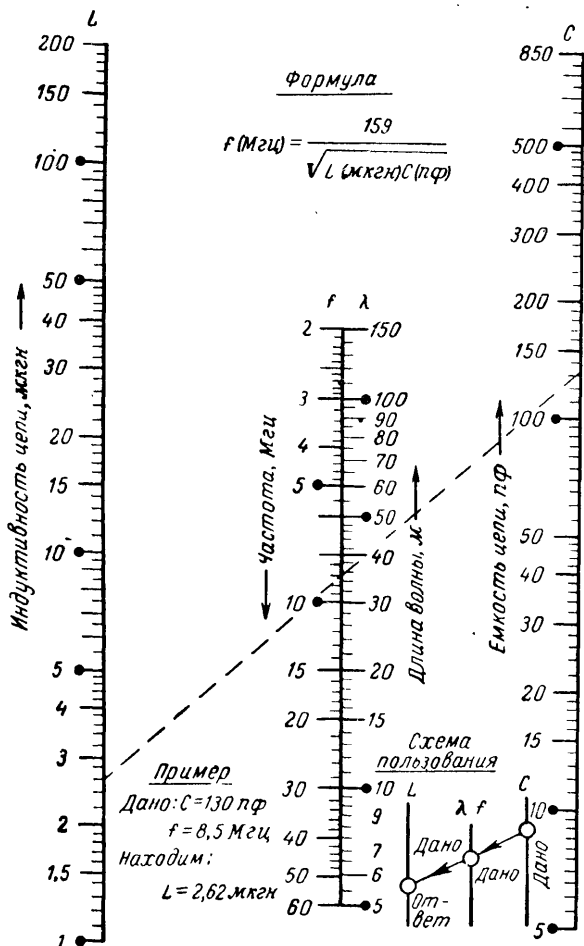


Рис. 89. Номограмма для определения резонансной частоты контура в диапазоне 2—60 МГц.

На рис. 86—89 показаны номограммы для расчета резонансной частоты контура f_0 при известных значениях индуктивности L и емкости C . При заданном значении частоты контура и одного из его элементов L или C номограммы позволяют определять значения неизвестного элемента. Номограмма, показанная на рис. 86, относится к низким частотам, на рис. 87 — к диапазону длинных волн, на рис. 88 — к диапазону средних волн и на рис. 89 — к коротким и частично ультракоротким волнам.

Выше были определены параметры идеального контура, не имеющего потерь. Реальный контур состоит из катушки индуктив-

ности, конденсатора и активного сопротивления R (рис. 90). Сопротивление R не существует как отдельный элемент колебательного контура. Оно условно характеризует величину потерь в катушке индуктивности и конденсаторе и называется сопротивлением потерь. Причиной потерь энергии в колебательном контуре являются: активное сопротивление проводников, утечки в изоляции, потери на излучение и др. Учитывая, что потери в конденсаторах очень незначительны, считают, что сопротивление потерь R сосредоточено в катушке индуктивности.

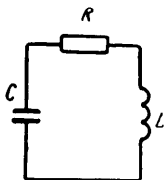


Рис. 90. Эквивалентная схема реального контура.

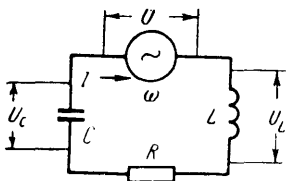


Рис. 91. Схема последовательного колебательного контура.

Резонансная частота, определяемая для колебательного контура с активным сопротивлением потерь R , вычисляется по формуле

$$f_0 = \frac{1}{2\pi} \sqrt{\frac{1}{LC} - \frac{R^2}{L^2}}.$$

Для частот выше 100 кГц эта формула имеет вид

$$f_0 = \frac{1}{2\pi} \sqrt{\frac{1}{LC} - \frac{R^2}{4L^2}}.$$

Величину затухания колебаний в контуре принято оценивать отношением активного сопротивления R к характеристическому ρ

$$d = \frac{R}{\rho} = \frac{R}{2\pi f_0 L} = 2\pi f_0 C R.$$

Величина, обратная затуханию, называется добротностью контура и обозначается буквой Q ;

$$Q = \frac{1}{d} = \frac{2\pi f_0 L}{R}.$$

В зависимости от того, как включен источник высокочастотной э. д. с., колебательный контур может быть последовательным или параллельным.

Последовательный колебательный контур

На рис. 91 показана схема последовательного колебательного контура, в котором источник э. д. с. включен последовательно с L и C контура. В этой цепи имеется активное сопротивление R и общее

реактивное X , образованное емкостью C и индуктивностью L , равное

$$X = \omega L - \frac{1}{\omega C}.$$

Полное сопротивление z цепи, состоящей из включенных последовательно реактивного X и активного R , определяется по формуле

$$z = \sqrt{R^2 + X^2} = \sqrt{R^2 + \left(\omega L - \frac{1}{\omega C}\right)^2}.$$

Величина z принимает минимальное значение, равное R , при том значении ω , для которого $X=0$. Частота, на которой наблюдается

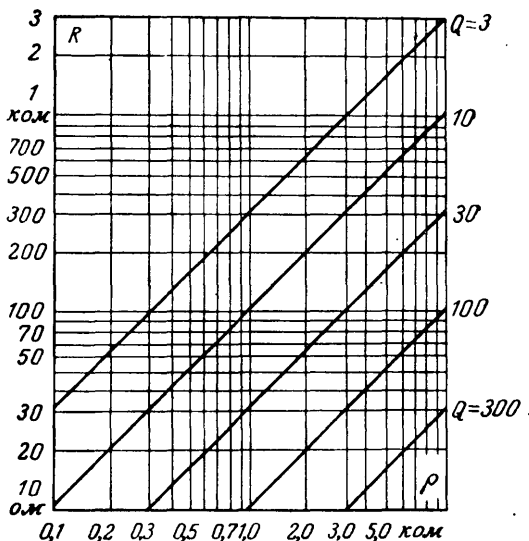


Рис. 92. Номограмма для определения резонансного сопротивления последовательного контура.

это явление, называется резонансной частотой последовательного контура и определяется из условия

$$X = \omega L - \frac{1}{\omega C} = 0; \quad \omega^2 = \frac{1}{LC},$$

т. е.

$$f = \frac{1}{2\pi \sqrt{LC}}.$$

В последовательном колебательном контуре наблюдается резонанс напряжений, т. е. напряжения на реактивных элементах кон-

тура равны по величине, в Q раз больше подводимого от источника напряжения, но противоположны по знаку, вследствие чего их сумма равна нулю.

Добротность последовательного контура Q показывает, во сколько раз активное сопротивление контура при резонансе меньше его характеристического сопротивления:

$$Q = \frac{\rho}{R} = \frac{\omega L}{R} = \frac{1}{\omega CR}.$$

Величина Q в основном определяется добротностью катушки индуктивности и может составлять от нескольких десятков до нескольких сотен единиц. Чем меньше сопротивление потерь R , тем выше значение Q и, следовательно, тем лучше резонансные свойства колебательного контура.

В радиолюбительских схемах величина характеристического сопротивления колебательных контуров лежит в пределах от 10 ом до 10 ком, а добротность в пределах от 3 до 300. На рис. 92 показана номограмма для определения сопротивления последовательного контура в зависимости от Q и ρ .

Последовательный колебательный контур применяется главным образом для подавления или ослабления нежелательных частот, в цепях частотнозависимой обратной связи, а также в качестве междукаскадного согласующего устройства.

Параллельный колебательный контур

На рис. 93 показана схема параллельного колебательного контура. Условия получения резонанса в параллельном колебательном контуре такие же, как и в последовательном. При резонансе эквивалент-

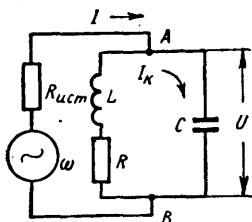


Рис. 93. Схема параллельного колебательного контура.

ное сопротивление параллельного контура носит активный характер, максимально по величине и выражается следующим соотношением:

$$R_3 = \frac{\rho^2}{R} = \frac{L}{RC} = Q\rho.$$

Добротность параллельного контура показывает, во сколько раз эквивалентное сопротивление контура больше его характеристического сопротивления

$$Q = \frac{R_3}{\rho}.$$

На рис. 94 показана номограмма для определения величины R_0 параллельного контура (сопротивление между точками A и B) в зависимости от Q и ρ , а на рис. 95 — номограмма, позволяющая определять величину R_0 при известных значениях C , L и R .

На частотах, отличных от резонансной частоты контура, эквивалентное сопротивление параллельного контура падает. Если частота ниже резонансной, то эквивалентное сопротивление носит индуктивный характер; если частота выше резонансной, то эквивалентное сопротивление носит емкостный характер.

В параллельном колебательном контуре наблюдается резонанс токов, т. е. токи в реактивных сопротивлениях контура равны между собой по величине, в Q раз больше тока, протекающего через источник э. д. с., но противоположны по знаку, вследствие чего их сумма равна нулю.

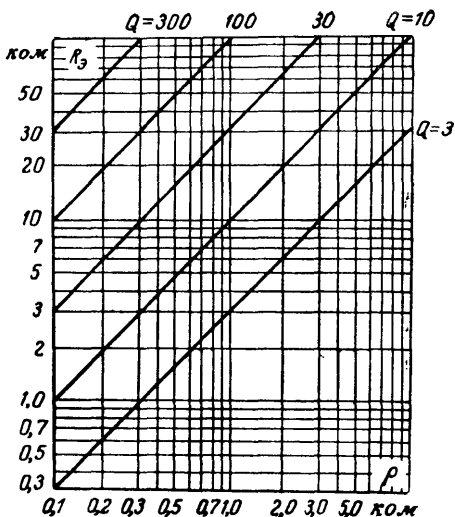


Рис. 94. Номограмма для определения резонансного эквивалентного сопротивления параллельного контура в зависимости от ρ и Q .

Частотные характеристики одиночного колебательного контура

Колебательный контур пропускает колебания в пределах некоторой полосы частот, располагающейся по обе стороны от резонансной частоты f_0 . Эта полоса называется полосой пропускания контура $\Pi_{\text{пр}}$ и условно определяется по резонансной кривой на уровне 0,707 от максимального значения тока или напряжения, соответствующего резонансной частоте (рис. 96). Резонансной кривой колебательного контура называется графическое изображение его амплитудно-частотной характеристики.

Для одиночного последовательного колебательного контура полоса пропускания определяется по формуле

$$\Pi_{\text{пр}} = df_0 = \frac{f_0}{Q} = 2\Delta f.$$

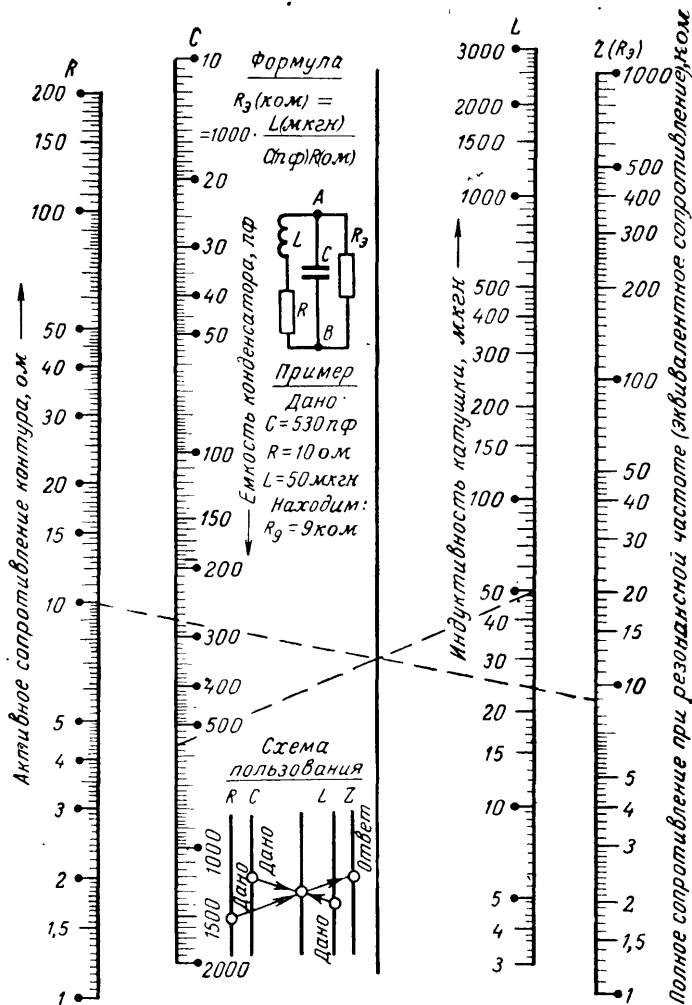


Рис. 95. Номограмма для определения эквивалентного резонансного сопротивления параллельного контура.

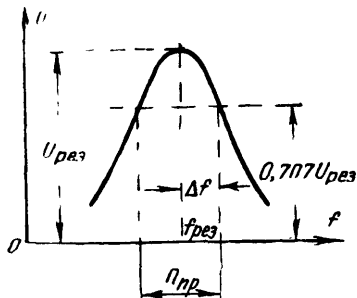
Для параллельного контура с учетом шунтирующего действия внешнего источника полоса пропускания равна:

$$П_{пр} = df_0 \left(1 + \frac{R_3}{R_{ист}} \right).$$

Для получения узкой полосы пропускания необходимо применять контур с высокой добротностью, а для получения широкой полосы

контур должен иметь низкую добротность. Результирующая добротность контура снижается, а полоса пропускания увеличивается при подключении параллельно контуру активного сопротивления $R_{ш}$, называемого шунтирующим (рис. 97). Это сопротивление вносит потери в общую цепь; чем меньше сопротивление $R_{ш}$, тем меньше результирующая добротность и тем больше затухание контура.

Рис. 96. Полоса пропускания контура.



Величина шунтирующего сопротивления, необходимая для получения заданной полосы пропускания, может быть найдена из выражения

$$R_{ш} = \frac{L}{C \left(\frac{\omega L}{Q} - R \right)}.$$

Действующая или результирующая добротность параллельного контура $Q_э$ с учетом влияния шунтирующего сопротивления $R_{ш}$ опре-

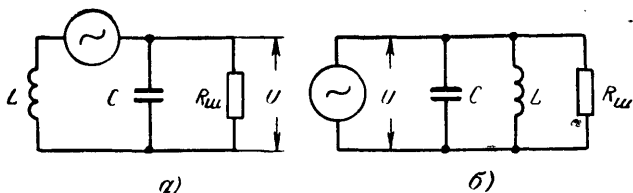


Рис. 97. Шунтирование контура активным сопротивлением.

деляется по формуле

$$Q_э = Q \frac{1}{1 + Q \frac{\rho}{R_{ш}}},$$

где Q — добротность контура без учета влияния сопротивления $R_{ш}$; ρ — характеристическое сопротивление контура.

Необходимые значения индуктивности и емкости контура для получения заданной добротности находятся как

$$L = \frac{R_{ш} (Q - Q_э)}{\omega Q Q_э}; \quad C = \frac{1}{\omega^2 L}.$$

Резонансная кривая колебательного контура описывается уравнением

$$\frac{U}{U_{\text{рез}}} = \frac{I}{I_{\text{рез}}} = \frac{1}{\sqrt{1 + \left(\frac{2\Delta l}{f_0} Q\right)^2}} = \frac{1}{\sqrt{1 + \left(\frac{Q}{50} \Delta\%\right)^2}}$$

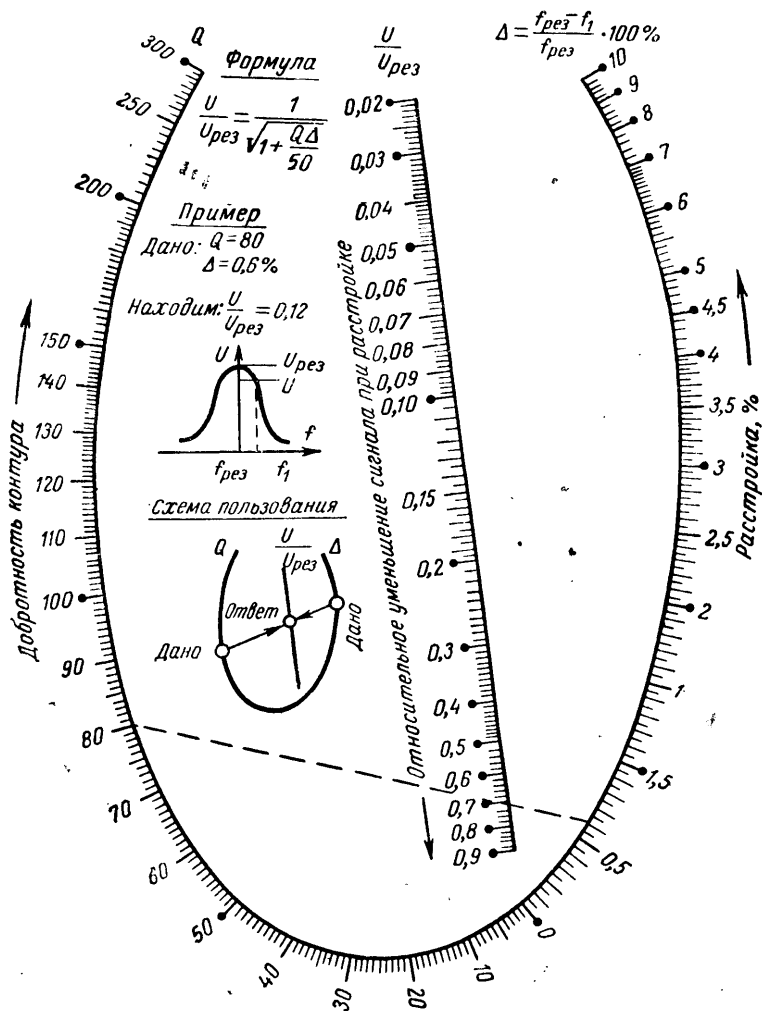


Рис. 98. Номограмма для определения ослабления сигнала, частота которого отличается от резонансной.

В этом уравнении отношения $U/U_{\text{рез}}$ и $I/I_{\text{рез}}$ показывают, какая часть максимально возможных (при резонансе) напряжений или токов получается при заданной расстройке Δ , которая определяется как

$$\frac{f - f_0}{f_0} 100,$$

где f — частота действующей на контур э. д. с.;
 f_0 — резонансная частота контура.

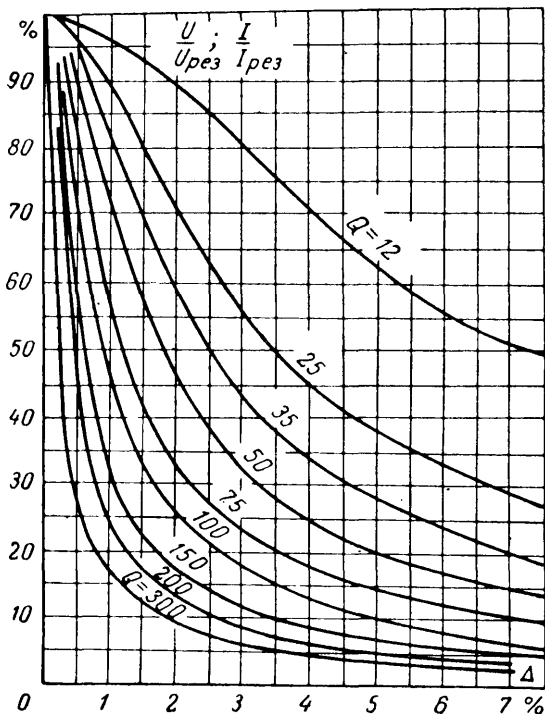


Рис. 99. Резонансные кривые последовательного контура в зависимости от Q и процентной расстройки.

На рис. 98 показана номограмма, позволяющая определять ослабление сигнала, частота которого отличается от резонансной частоты контура. С помощью этой номограммы можно определять напряжения на элементах последовательного контура и напряжение на параллельном контуре при заданной расстройке. Для этого при заданной расстройке Δ и величине Q определяется отношение $U/U_{\text{рез}}$, как показано на номограмме. Из этого отношения определяется величина U . Напряжение на конденсаторе или катушке индуктивности последовательного контура будет равно UQ . Аналогично определя-

ется величина напряжения на параллельном контуре. Следует отметить, что приведенная методика справедлива для малых расстроек.

На рис. 99 показан график, дающий форму верхней части резонансной кривой последовательного контура в зависимости от расстройки в отношениях токов или напряжений, выраженной в процентах, а на рис. 100 — в децибелах. Найденные из графиков величины справедливы для малых расстроек любого знака. По этим графикам можно определить напряжение на параллельном контуре при извест-

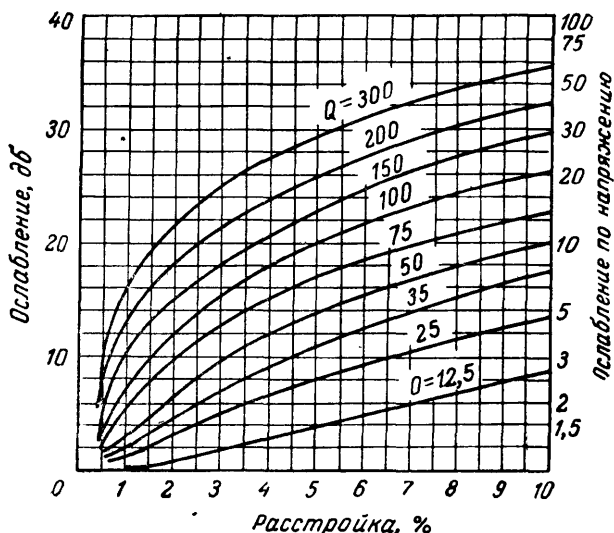


Рис. 100. Ослабление сигнала по резонансной кривой последовательного колебательного контура.

ных значениях Q , Δ и $U_{\text{рез}}$. Например, определим величину напряжения на контуре с добротностью $Q=50$ при расстройке в пределах $\pm 3\%$. По графику на рис. 99 находим, что напряжение на контуре будет составлять 32% от $U_{\text{рез}}$. По формуле

$$U = \frac{U_{\text{рез}} \cdot 32}{100}$$

определим значение U при заданной расстройке.

Избирательностью контура называют величину, показывающую, во сколько раз помеха, отстоящая по частоте от резонанса на заданную расстройку, усиливается слабее сигнала, совпадающего по частоте с резонансной. Избирательность может быть определена по формуле

$$S = \frac{U_{\text{рез}}}{U} \sqrt{1 + \left(\frac{Q}{50} \Delta\% \right)^2}.$$

При больших расстройках избирательность приближенно равна:

$$S = Q \left(\frac{f}{f_0} - \frac{f_0}{f} \right).$$

На рис. 101 показана обобщенная резонансная кривая последовательного контура, построенная для небольших расстроек. По этой кривой можно вычислить добротность по заданным значениям избирательности, рабочей частоты и расстройки.

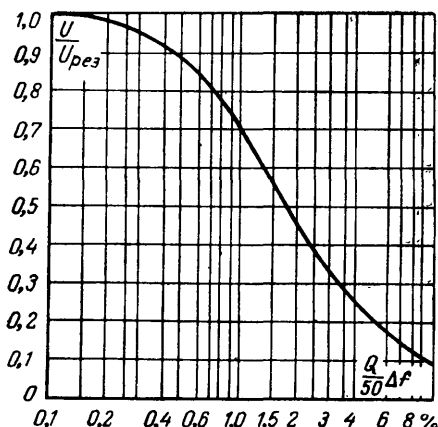


Рис. 101. Обобщенная резонансная кривая одиночного последовательного контура.

Связанные контуры

Если два или более колебательных контура имеют электрическую или магнитную связь, то такие контуры называются связанными. Общий элемент, через который контуры связаны друг с другом, называется элементом связи.

Величина связи характеризуется коэффициентом связи $k_{св}$, который может иметь значения от 0 до 1

$$k_{св} = \frac{X_{св}}{\sqrt{X_1 \cdot X_2}}; \quad 0 \leq k_{св} \leq 1,$$

где $X_{св}$ — общее для обеих цепей реактивное сопротивление элемента связи;

X_1 и X_2 — сопротивления контуров, одноименные с сопротивлением элемента связи.

Изменение режима работы одного контура из-за влияния другого оценивается с помощью вносимых сопротивлений. Влияние второго

контур на первый сводится к внесению в первый контур сопротивлений — активного

$$R_{вн} = \frac{X_{св}^2}{Z_2^2} R_2$$

и реактивного

$$X_{вн} = -\frac{X_{св}^2}{Z_2^2} X_2,$$

где Z_2 — полное сопротивление второго контура.

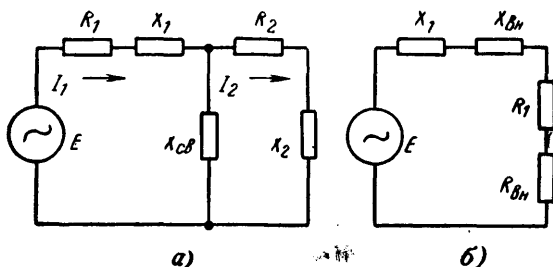


Рис. 102. Связанные контуры (а) и их эквивалентная схема (б).

На рис. 102 показана эквивалентная схема первого контура с учетом влияния на него второго контура. Резонанс в этой системе наступает при

$$X_1 - \frac{X_{св}^2}{Z_2^2} X_2 = 0,$$

считая, что $Z_2 \approx X_2$,

$$X_1 X_2 - X_{св}^2 = 0.$$

На практике используется несколько различных видов связи. На рис. 103 показана схема индуктивной связи между контурами. Контур $L_1 C_1$, получающий энергию от внешнего источника э. д. с, назы-

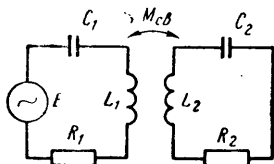


Рис. 103. Индуктивная связь между двумя контурами.

вается первичным контуром. Контур $L_2 C_2$, получающий энергию от первичного контура, называется вторичным. При индуктивной связи ток первичного контура, проходя через катушку L_1 , создает вокруг нее магнитное поле, силовые линии которого пересекают витки ка-

тушки L_2 и возбуждают в ней э. д. с. Эта э. д. с. создает во вторичном контуре ток, величина которого зависит от сопротивления связи $X_{св}$ и коэффициента связи $k_{св}$, которые равны:

$$X_{св} = \omega M_{св}; \quad k_{св} = \frac{M_{св}}{\sqrt{L_1 L_2}},$$

где $M_{св}$ — коэффициент взаимной индуктивности.

Для получения максимального тока и напряжения в контурах их настраивают в резонанс. В первичном контуре может быть либо резонанс напряжений, либо резонанс токов в зависимости от способа

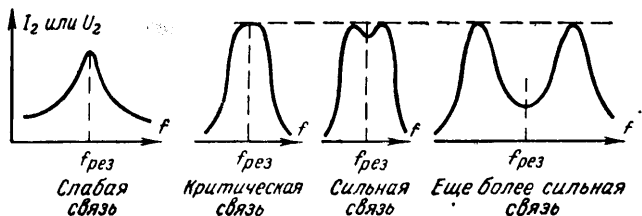


Рис. 104. Кривые резонанса двух связанных контуров при различной величине связи.

включения внешнего источника в этот контур. При небольших коэффициентах связи эквивалентный контур, состоящий из двух контуров, имеет одну резонансную частоту. Резонансная кривая имеет один максимум до так называемой критической связи. При дальнейшем увеличении связи обнаруживаются две резонансные частоты

$$f_1 = \frac{f_0}{\sqrt{1 - k_{св}}}; \quad f_2 = \frac{f_0}{\sqrt{1 + k_{св}}},$$

которые отличаются друг от друга тем больше, чем сильнее связь между контурами (рис. 104). Эти частоты называются частотами связи. Зависимость частот связи от коэффициента связи показана на рис. 105. Связанные контуры позволяют регулировать полосу пропускания изменением степени связи между ними. До критической связи полоса пропускания двух одинаковых индуктивно связанных контуров равна полосе пропускания каждого контура. При дальнейшем увеличении связи полоса пропускания расширяется, но равномерность пропускания частот ухудшается, так как на резонансной кривой появится впадина. Коэффициент β , определяющий глубину провала, определяется по формуле

$$\beta = \frac{X_{св}}{R} = Q k_{св}.$$

Связь между контурами считается критической при $\beta = 1$.

На рис. 106 показаны обобщенные кривые для двух связанных контуров, где на вертикальной оси отложена величина ослабления

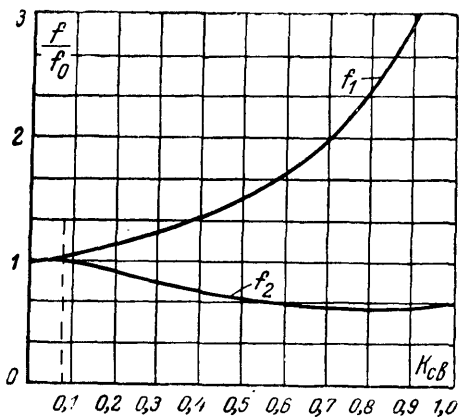


Рис. 105. График зависимости частот связи от коэффициента связи.

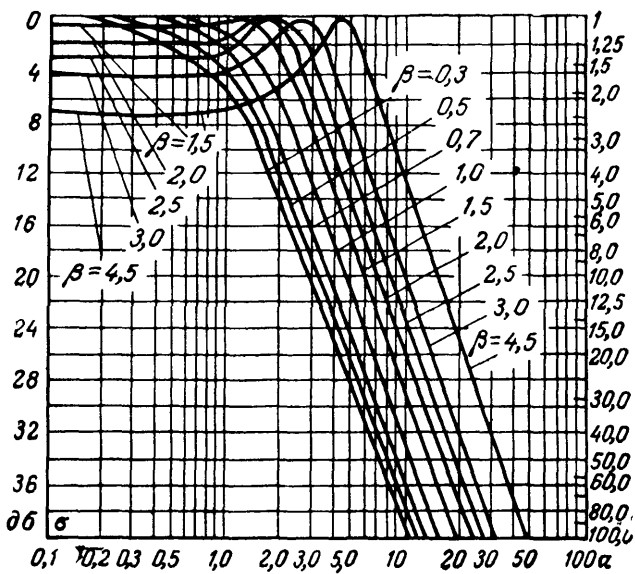


Рис. 106. Обобщенные кривые для двух связанных контуров.

сигнала, отличного от резонансной частоты σ , а на горизонтальной оси даны значения обобщенной расстройки

$$\alpha = 2Q \frac{\Delta f}{f_0} = \frac{Q}{50} \Delta\%.$$

Выбрав кривую, соответствующую $\beta=1$, следует отыскать на ней точку, лежащую на уровне σ_1 и прочесть соответствующее ей значение α_1 . При этом расчетное значение добротности контура составит:

$$Q_p = \frac{\alpha_1 f_0}{2F_{\text{в}}},$$

где $F_{\text{в}}$ — верхняя граничная частота полосы пропускания.

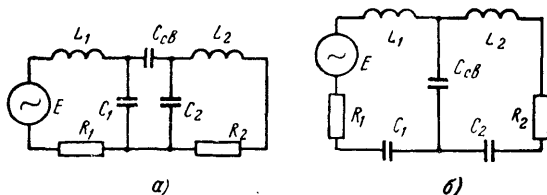


Рис. 107. Схема емкостной связи.

а — внешняя емкостная связь; *б* — внутренняя емкостная связь.

Полученное значение Q_p следует сопоставить с конструктивно осуществимой добротностью контура Q_k . В табл. 31 приведены ориентировочные значения добротности контуров с катушками различных типов.

Таблица 31

Ориентировочные значения добротности контуров

Резонансная частота f_0	Добротность Q_k		Наилучший материал для сердечника
	без ферромагнитного сердечника	с ферромагнитным сердечником	
0,1—1 кГц	—	4—20	Пермаллой
1—10 кГц	—	10—50	Феррит
10—100 кГц	—	30—150	•
0,1—1 МГц	20—100	100—300	•
1—10 МГц	50—150	100—250	Карбонильное железо
10—100 МГц	100—250	—	—

Если $Q_p < Q_k$, то в дальнейшем следует считать $Q = Q_p$. При $Q_p > Q_k$ следует считать добротность контуров равной Q_k и выбрать другую кривую β .

На рис. 107, *а* изображена схема емкостной связи между двумя контурами, в которой конденсатор связи $C_{св}$ не входит в состав первичного и вторичного контуров. Такая связь называется внешней емкостной связью. В этой схеме напряжение первичного контура действует через конденсатор связи $C_{св}$ на вторичный контур и создает

нем ток. Коэффициент связи определяется по формуле

$$k_{св} = \frac{C_{св}}{\sqrt{(C_1 + C_{св})(C_2 + C_{св})}}.$$

Необходимо указать, что связь между контурами необходимо устанавливать достаточно точно, так как форма резонансной кривой системы связанных контуров очень чувствительна к изменению величины связи. В этом отношении внешняя емкостная связь имеет

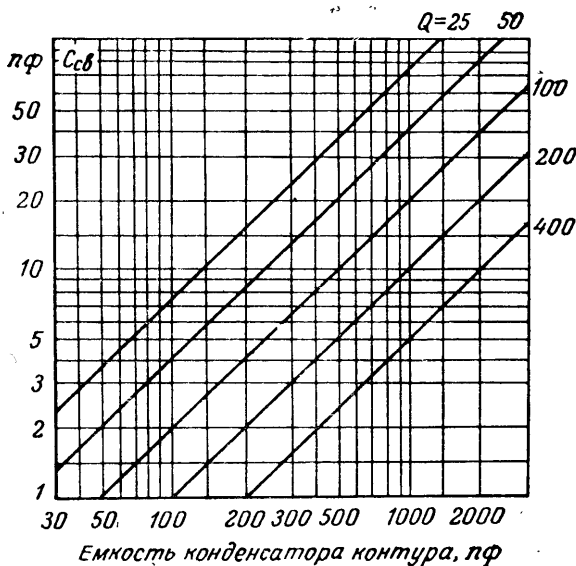


Рис. 108. График для расчета величины емкости конденсатора связи $C_{св}$.

преимущество перед другими типами связи, особенно при использовании малогабаритных катушек индуктивности.

В любительских схемах величина емкости контура находится в пределах от 30 до 3000 пф, а добротность контура — в пределах от 10 до 300. На рис. 108 показан график для расчета величины емкости конденсатора связи $C_{св}$ при различных значениях добротности Q и емкости контура C . Полученная величина $C_{св}$ обеспечивает связь между контурами, равную или несколько больше критической.

В схеме с внутренней емкостной связью (рис. 107,б) напряжение, которое получается на конденсаторе связи $C_{св}$ при прохождении через него тока, действует на вторичный контур и создает в нем ток. В схеме с внутренней емкостной связью чем больше емкость $C_{св}$, тем слабее связь. Для осуществления слабой связи в этой схеме величина $C_{св}$ берется порядка тысяч пикофард.

Сопротивление связи и коэффициент связи определяются по формулам

$$X_{св} = -\frac{1}{\omega C_{св}}; \quad k_{св} = \sqrt{\frac{C_1 C_2}{(C_1 + C_{св})(C_2 + C_{св})}}.$$

ЛИТЕРАТУРА

1. Гинкин Г. Г., Справочник по радиотехнике, Госэнергоиздат, 1948.
2. Терещук Р. М. и др., Справочник радиолюбителя, Изд-во технической литературы УССР, Киев, 1961.
3. Волгов В. А., Детали контуров радиоаппаратуры, Госэнергоиздат, 1954.
4. Азарх С. Х., Конденсаторы переменной емкости, изд-во «Энергия», 1965.
5. Ренне В. Т., Багалея Ю. В. и Фридберг И. Д., Расчет и конструирование конденсаторов, изд-во «Техника», Киев, 1966.
6. Цейтлин Л. А., Индуктивности проводов и контуров, Госэнергоиздат, 1950.
7. Калантаров П. Л., Цейтлин Л. А., Расчет индуктивности, Госэнергоиздат, 1955.
8. Майоров А. С., Альбом частотных характеристик добротности катушек индуктивности на брусевых сердечниках, Госэнергоиздат, 1958.
9. Матвеев Г. А. и Хомич В. И., Катушки с ферритовыми сердечниками, изд-во «Энергия», 1967.
10. Шольц Н. Н. и Пискарев К. А., Ферриты для радиочастот, изд-во «Энергия», 1966.
11. Волгов В. А., Детали и узлы радиоэлектронной аппаратуры, изд-во «Энергия», 1967.
12. Жеребцов И. П., Радиотехника, изд-во «Связь», 1965.
13. Асеев Б. П., Колебательные цепи, Изд-во по вопросам связи и радио, 1955.
14. Хайкин С. Э., Электромагнитные колебания и волны, изд-во «Энергия», 1964.
15. Цыкин Г. С., Трансформаторы низкой частоты, Изд-во по вопросам связи и радио, 1955.

О Г Л А В Л Е Н И Е

Предисловие	3
Основные обозначения	4
Глава первая. Емкость и конденсаторы	5
Определяющие параметры конденсатора	5
Печатные конденсаторы	9
Конденсаторы переменной емкости	10
Прямоемкостные конденсаторы	12
Прямоволновый конденсатор	13
Прямочастотный конденсатор	14
Логарифмический конденсатор	15
Конденсаторы переменной емкости с твердым ди- электриком	16
Конденсатор в цепи переменного тока	17
Соединение конденсаторов	25
Глава вторая. Катушки индуктивности	28
Расчет индуктивности	28
Многослойные катушки	36
Экранированные катушки	42
Собственная емкость катушек индуктивности	44
Взаимная индуктивность и коэффициент связи	47
Добротность катушек индуктивности	52
Коротковолновые катушки	58
Катушки с магнитными сердечниками	61
Катушки индуктивности с цилиндрическими магнит- ными сердечниками	63
Катушки индуктивности с кольцевыми сердечниками	65
Катушки индуктивности с броневыми сердечниками	70
Температурная стабильность катушек с магнитными сер- дечниками	70
Дроссели высокой частоты	90
Катушки индуктивности с сердечниками из ферромагнит- ных материалов	94
Соединение катушек индуктивности	100
Глава третья. Расчет колебательных контуров	103
Основные параметры колебательных контуров	103
Последовательный колебательный контур	112
Параллельный колебательный контур	114
Частотные характеристики одиночного колебательного контюра	115
Связанные контуры	121
Литература	127

6Ф2

С45

УДК 621.372.061

РЕДАКЦИОННАЯ КОЛЛЕГИЯ:

Берг А. И., Борисов В. Г., Бурдейный Ф. И., Бурлянд В. А.,
Ванеев В. И., Геништа Е. Н., Жеребцов И. П., Канаева А. М.,
Корольков В. Г., Кренкель Э. Т., Куликовский А. А., Смирнов А. Д.,
Тарасов Ф. И., Шамшур В. И.

Скрипников Ю. Ф.

С 45 Колебательный контур. М., «Энергия», 1970.

128 с. с илл. (Массовая радиобиблиотека, вып. 739)

В брошюре приведены основы расчета параметров колебательных контуров и их элементов — конденсаторов и катушек индуктивности. Рассмотрены некоторые физические процессы, протекающие в контурах, конденсаторах и катушках индуктивности. Приведены справочные данные, необходимые для расчетов.

Брошюра рассчитана на широкий круг радиолюбителей.

3-4-5

311-70

6Ф2

Скрипников Юрий Федорович

Колебательный контур

Редактор *Б. А. Снедков*

Обложка художника *А. М. Кувшинникова*

Техн. редактор *М. П. Осипова*

Корректор *Е. Х. Горбунова*

Сдано в набор 23/II 1969 г.

Подписано к печати 19/V 1970 г.

Т-06364

Формат 84×108^{1/32}

Бумага типографская № 1

Усл. печ. л. 6,72

Уч.-изд. л. 7,07

Тираж 60 000 экз.

Цена 31 коп.

Зак. 2585

Издательство «Энергия». Москва, Ж-114, Шлюзовая наб., 10.

Московская типография № 10 Главполиграфпрома
Комитета по печати при Совете Министров СССР.
Шлюзовая наб., 10.

ПРЕДИСЛОВИЕ

Колебательные контуры находят широкое применение в промышленной и радиолюбительской аппаратуре. Колебательные контуры являются одной из важнейших составных частей радиоприемников, передатчиков, телевизоров. Поэтому предварительный расчет колебательных контуров и их элементов облегчает настройку устройств, в которых они применяются.

Конденсаторы, входящие в состав колебательных контуров, как правило, применяются промышленного изготовления и лишь в отдельных случаях изготавливаются радиолюбителями самостоятельно. К таким конденсаторам относятся, в частности, конденсаторы переменной емкости. В настоящей брошюре приводятся расчеты конденсаторов переменной емкости, нашедших наиболее широкое применение. Наряду с расчетами приводятся параметры серийных конденсаторов, которые используются в колебательных контурах.

Катушки индуктивности, входящие в состав колебательных контуров, радиолюбителям приходится изготавливать в большинстве случаев самостоятельно. Поэтому в настоящей брошюре вопросу расчета катушек индуктивности уделено особое место. От качества катушек индуктивности в основном зависят свойства колебательных контуров, поэтому успешное конструирование катушек возможно при условии правильного выбора их параметров.

Отечественная литература по вопросам расчета параметров конденсаторов, катушек индуктивности и колебательных контуров достаточно обширна. Однако необходимый материал размещен во многих книгах и журналах, что создает определенные трудности при работе с ним. К тому же большой спрос на эту литературу делает ее библиографической редкостью. В настоящей работе автор сделал попытку систематизировать материал по этим вопросам. При подборе материала автор стремился более подробно осветить вопросы, имеющие наибольшее практическое значение и интересующие большинство радиолюбителей.

В брошюре приведены расчетные формулы, таблицы, графики и номограммы и лишь в отдельных случаях описания физических процессов, облегчающие пользование расчетным материалом. В брошюре не рассматриваются вопросы, связанные с практической стороной конструирования конденсаторов и катушек индуктивности, так как имеется в виду, что радиолюбитель знаком с этими вопросами.

Не следует считать брошюру полным рецептурным справочником по расчету колебательных контуров и их элементов. Приведенный в ней материал охватывает лишь наиболее распространенные случаи, с которыми может столкнуться радиолюбитель в своей работе.

Автор

ОСНОВНЫЕ ОБОЗНАЧЕНИЯ

Ток	i, I
Напряжение	U
Электродвижущая сила	E
Сопротивление активное	R
Эквивалентное сопротивление параллельного контура	R_3
Сопротивление характеристическое	ρ
Сопротивление шунтирующее	$R_{ш}$
Индуктивность	L
Емкость	C
Начальная магнитная проницаемость	μ_0
Динамическая магнитная проницаемость	μ_d
Относительная диэлектрическая проницаемость . .	ϵ
Частота колебаний	f
Резонансная частота контура	f_0
Угловая частота	ω
Добротность	Q
Полоса пропускания контура	$\Pi_{пр}$

Глава первая

ЕМКОСТЬ И КОНДЕНСАТОРЫ

Определяющие параметры конденсатора

Основной единицей емкости считается фарада, т. е. емкость, заряд которой равен 1 *к* при напряжении между обкладками конденсатора в 1 *в*

$$C = \frac{Q}{U},$$

где *C* — емкость, *ф*;

Q — количество электричества, *к*;

U — напряжение, *в*.

На практике применяются более мелкие единицы емкости:

10^{-6} *ф* = 1 микрофарада (1 *мкф*);

10^{-9} *ф* = 1 нанофарада (1 *нф*);

10^{-12} *ф* = 1 пикофарада (1 *пф*).

Конденсатор состоит из двух или нескольких пластин-проводников, именуемых обкладками, разделенными друг от друга изоляционным материалом — диэлектриком. Емкость конденсатора определяется тремя величинами:

1) площадью обкладок конденсатора;

2) расстоянием между обкладками;

3) диэлектрической проницаемостью материала между обкладками.

Диэлектрическая проницаемость ϵ — величина, показывающая, во сколько раз увеличивается емкость конденсатора при заполнении пространства между пластинами конденсатора тем или иным материалом. Значения диэлектрической проницаемости некоторых материалов приведены в табл. 1.

Конденсатор из двух параллельных плоскостей — один из самых распространенных типов конденсаторов, так как прибор для получения заданной емкости при наименьшем объеме практически получается при параллельных пластинах, разделенных твердым диэлектриком или при жесткой конструкции пластин небольшим воздушным промежутком. Емкость двухпластинчатого плоскопараллельного конденсатора определяется по формуле

$$C = \frac{0,886 \epsilon S}{a},$$

где *C* — емкость конденсатора, *пф*;

S — площадь пластин, *см*²;

Диэлектрическая проницаемость материалов

Материал	•	Материал	•
Аминопласты	5,0—9,0	Сегнетокерамика . . .	450—1 700
Бакелит	4,0—4,6	Слюда мусковит . . .	6,8—7,2
Береза сухая	3,0—4,0	Слюда флогопит . . .	8,0
Бумага кабельная . . .	4,0—4,8	Смолы эпоксидные . . .	3,7—3,9
Бумага конденсаторная	3,5	Совенит	3,0—4,0
Винипласт	3,5—3,6	Сосна сухая	3,5
Волокнит	7,5	Стеатит	6,0—6,5
Воск пчелиный	2,8—2,9	Стекло	4,0—10
Галовакс	4,5—5,5	Стеклотекстолит . . .	7,5—8,0
Гетинакс А, Б, В, Г . . .	6,0—8,0	Стекловолокнит	8,0
Дельта-древесина	8,0	Текстолит	7,5—8,0
Дуб сухой	3,5	Текстолит ВЧ	7,5—8,0
Канифоль	3,5	Тиконд	70—150
Капрон, нейлон	3,8—4,2	Термоконд	16—25
Каучук	2,4	Ультрафарфор	6,0
Кварц плавленный	4,1—4,4	Фторопласт	2,5—2,7
Лакоткань хлопчатобумажная	4,0—4,6	Фторопласт-4	1,9—2,2
Лакоткань шелковая	3,8—4,5	Фибра	3,5
Микалекс	8,0—10	Фенопласт	8,0
Миканит	6,0	Фенопласт К-21-22 . . .	7,5—9,5
Мрамор	8,0—10	Целлулоид	5,5
Неолейкорит	6,5—7,5	Целофан	3,5—4,0
Озокерит	2,3	Церезин	2,1—2,3
Органическое стекло	3,5—3,6	Шелк натуральный . . .	4,0—5,0
Парафин	2,1—2,2	Щеллак	3,5
Полистирол	2,4—2,6	Эбонит	2,7—3,0
Полихлорвинил	3,5—5,0	Этилцеллюлоза	3,5
Полиэтилен	2,2—2,3	Эмаль стекловидная . . .	4,0—7,0
Полипропилен	2,0—2,1	Электрокартон	3,5
Прессшпан	3,0—4,0	Янтарь	2,8
Резина	3,0		

a — расстояние между пластинами, мм;

ϵ — диэлектрическая проницаемость материала между обкладками.

На рис. 1 приведен график для определения емкости конденсатора по площади перекрытия и расстоянию между пластинами. Диэлектриком служит воздух, у которого величина ϵ равна единице. По этому графику удобно определять емкость конденсаторов, предназначенных для работы на УКВ. На рис. 2 приведена номограмма, позволяющая определять емкость плоскостепенного конденсатора в широких пределах. Эти расчеты будут верными при том предположении, что электрические заряды распределены по всей площади пластин равномерно. Фактически по краям пластин распола-

гаются дополнительные заряды, увеличивающие расчетную ёмкость. При ширине пластин конденсатора, более чем в десять превышающей расстояние между пластинами, влиянием этого эффекта можно пренебречь.

Для конденсатора с числом пластин n ёмкость равна:

$$C = \frac{0,886 (n - 1) \epsilon S}{a}.$$

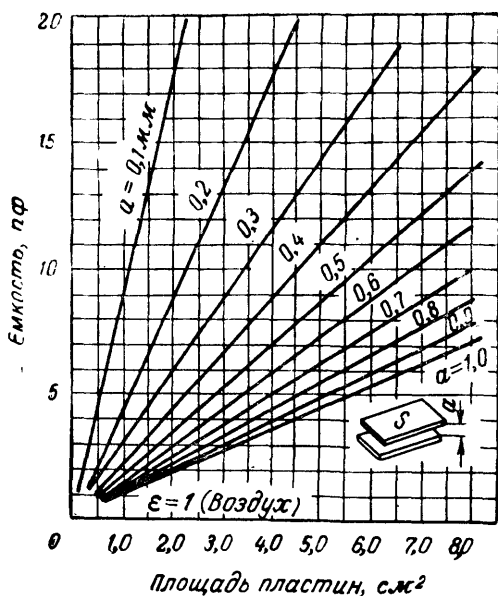


Рис. 1. График зависимости ёмкости конденсатора от площади перекрытия и расстояния между пластинами.

Для конденсатора с многослойным диэлектриком ёмкость определяется из выражения

$$C = \frac{0,886S}{\frac{a_1}{\epsilon_1} + \frac{a_2}{\epsilon_2} + \dots + \frac{a_n}{\epsilon_n}}.$$

Ёмкость отрезка коаксиального кабеля

$$C = \frac{0,24\epsilon l}{\lg \frac{D}{d}},$$

где C — ёмкость, пф;
 l — длина отрезка, см;

\bar{D} — внутренний диаметр наружного проводника, см;
 d — внешний диаметр внутреннего проводника, см.
 Емкость отрезка двухпроводной линии

$$C = \frac{0,12\epsilon l}{\lg \frac{D}{d}},$$

где C — емкость отрезка линии, пф;
 l — длина отрезка, см;

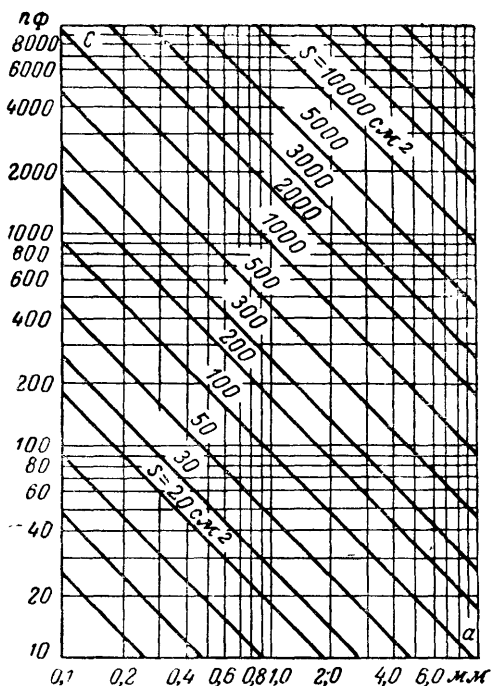


Рис. 2. Номограмма для расчета емкости плоскостранного конденсатора.

a — расстояние между проводниками, см;

D — диаметр проводников, см.

Емкость двух параллельных проводников радиусами R и r при условии $a \gg R > r$

$$C = \frac{0,556\epsilon l}{\lg \frac{a^2}{rR}},$$

где C — емкость, пф;

l — длина проводников, см;

a — расстояние между проводниками, *см*;
 R и r — радиусы проводников, *см*.

Емкость прямого провода, параллельного земле, при условии $l > h > D$

$$C = \frac{0,24\epsilon l}{\lg \frac{4h}{D}},$$

где C — емкость провода, *пф*;
 l — длина провода, *см*;
 h — расстояние до земли, *см*;
 D — диаметр провода, *см*.

Печатные конденсаторы

Печатные конденсаторы применяются в печатных схемах для различных блокировок и фильтрации частот порядка 70—100 *Мгц*, а также входят в состав контуров, выполненных печатным способом. Расчет емкости этих конденсаторов производится по формуле плоского конденсатора.

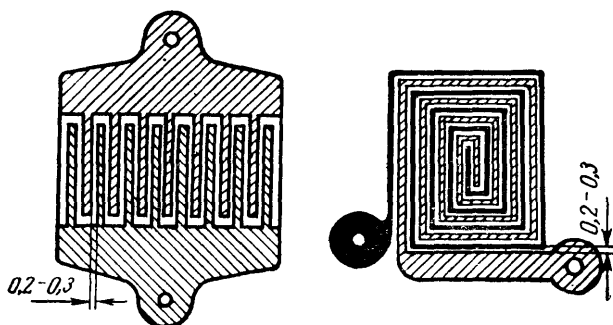


Рис. 3. Печатные конденсаторы одностороннего типа.

Обкладки печатных конденсаторов могут быть расположены как на обеих сторонах печатной платы, так и на одной стороне. Конденсаторы первого типа имеют большую емкость, величина которой определяется площадью обкладок, толщиной диэлектрика и его диэлектрической проницаемостью. Эта емкость обычно составляет 3—5 *пф/см²*, при использовании плат из феноловых пластмасс— 10—15 *пф/см²* и 0,02—0,03 *мкф/см²* при использовании керамики с высокими значениями диэлектрической проницаемости. Для уменьшения индуктивности обкладкам придается прямоугольная форма с соотношением сторон 1 : 2.

Конденсаторы небольшой емкости выполняются с обкладками, расположенными на одной стороне платы. Для увеличения емкости им придается зигзагообразная или гребенчатая форма (рис. 3). При ширине промежутка между торцами порядка 0,2 *мм* и основания со средней величиной диэлектрической проницаемости (4—5) емкость между торцами будет порядка 1,5—1,8 *пф/см*.

Конденсаторы переменной емкости

Конденсаторы переменной емкости чаще всего используются для плавной настройки колебательных контуров. Наибольшее распространение получили прямоемкостные и прямочастотные конденсаторы переменной емкости.

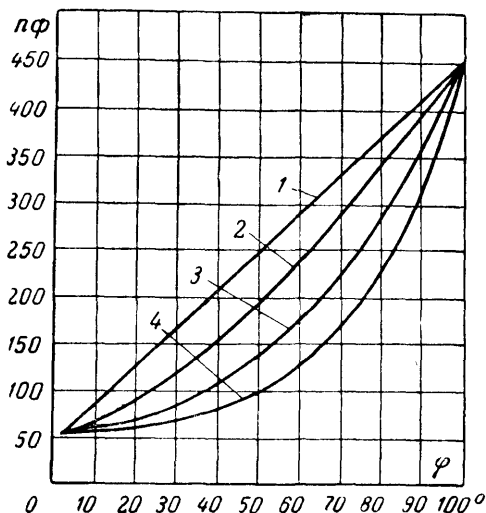


Рис. 4. Изменение емкости конденсаторов с различной формой пластин.

1 — прямоемкостного; 2 — прямоволнового; 3 — логарифмического; 4 — прямочастотного.

На рис. 4 приведен сравнительный график изменения емкости конденсаторов с различной формой пластин, а на рис. 5 — форма пластин переменных конденсаторов, соответствующих графику. Как видно из графика для прямоемкостного конденсатора характерна

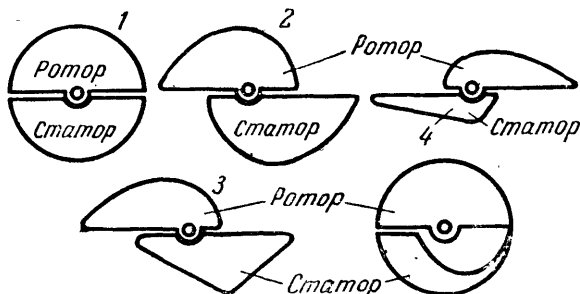


Рис. 5. Форма пластин конденсаторов переменной емкости.

линейная зависимость изменения емкости от угла поворота ротора. В случае применения прямочастотного конденсатора обеспечивается линейная зависимость между изменением частоты контура и углом поворота ротора.

Другой разновидностью конденсаторов переменной емкости является конденсатор с логарифмической формой пластин или средне-линейной. Основная особенность этого конденсатора заключается в том, что процентное изменение емкости, приходящееся на одно деление шкалы, остается одинаковым в любом месте шкалы. Это свойство облегчает спаривание конденсаторов на одной оси.

При расчете конденсаторов переменной емкости, работающих при высоких напряжениях, следует учитывать диэлектрическую прочность диэлектрика. Так как в большинстве случаев диэлектриком служит воздух, следует помнить, что при нормальном давлении и влажности критическое значение пробоя воздуха приблизительно равно 1000 в на 1 мм. Принимая во внимание необходимость запаса по диэлектрической прочности, для конденсаторов переменной емкости следует принимать 1 мм зазора на каждые 500—700 в амплитуды напряжения.

Следует отметить, что пробивное напряжение конденсатора с воздушным диэлектриком зависит от толщины пластин и их обработки. При напряжении до 500 в толщина пластин t берется от 0,5 до 3 мм и рассчитывается по формуле

$$t = 0,3a,$$

где a — расстояние между пластинами, мм.

При небольших зазорах (около 0,5—1,5 мм) толщина пластин определяется необходимостью обеспечить жесткость конструкции и берется порядка 0,7—0,9 мм.

При расчете конденсаторов переменной емкости необходимо предварительно найти минимальную $C_{\text{мин}}$ и максимальную $C_{\text{макс}}$ емкости. Максимальная емкость конденсатора определяется областью применения, а минимальная — его конструктивными данными: размерами, взаимным расположением ротора и статора, системой крепления статора и т. п.

Употребительные в практике значения максимальных и минимальных величин емкости применительно к приемо-передающим устройствам приведены в табл. 2.

Таблица 2

Емкость конденсаторов переменной емкости

Диапазон	ДВ	СВ	ПВ	КВ	УКВ		
$C_{\text{макс}}, \text{ пф}$	450—750	250—450	150—250	50—150	40—50	20—35	15—20
$C_{\text{мин}}, \text{ пф}$	15—25	10—15	8—12	6—10	5—7	3,5	3,5

Широкое применение находят конденсаторы переменной емкости, состоящие из нескольких конденсаторных секций, расположенных на одной оси. Наиболее употребительные блоки состоят из двух-

трех секций. При большом числе секций уменьшается механическая жесткость блока, увеличиваются его размеры и снижается стабильность из-за возможности прогиба длинной оси.

Прямоемкостные конденсаторы

Прямоемкостные конденсаторы выполняются с полукруглой или секторообразной формой роторных пластин (рис. 6 и 7). У конденсатора с полукруглыми пластинами изменение емкости от минимального значения до максимального происходит при повороте ротора от 0 до 180°, а у конденсатора с секторообразными пластинами — от 0 до 90°. Преимуществом конденсатора второго типа является возможность последовательного соединения его статорных пластин (рис. 7, б), при этом повышается его рабочее напряжение.

Рабочей площадью пластин конденсатора первого типа при условии полного введения пластин ротора явится:

$$S = 1,57(R^2 - r^2),$$

где R — радиус пластины;

r — радиус внутреннего выреза в статоре.

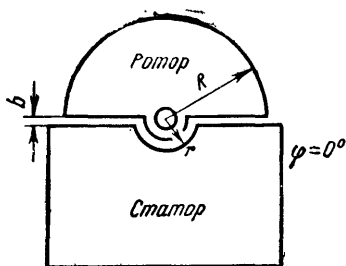


Рис. 6. Прямоемкостный конденсатор с полукруглой формой роторных пластин.

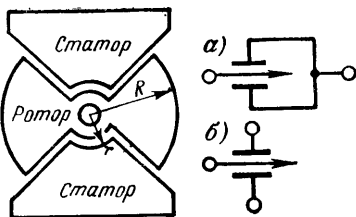


Рис. 7. Прямоемкостный конденсатор с секторообразной формой роторных пластин.

а — параллельное соединение статорных пластин; б — последовательное соединение статорных пластин.

Максимальная емкость переменной части конденсатора с полукруглыми пластинами

$$C_{\text{макс}} = \frac{0,139(n-1)(R^2 - r^2)\epsilon}{a},$$

где C — емкость конденсатора, нф ;

n — общее число пластин статора и ротора;

a — расстояние между пластинами, см .

Максимальная емкость переменной части каждого плеча конденсатора с секторообразными пластинами

$$C_{\text{макс}} = \frac{0,139 (n-1) (R^2 - r^2) \epsilon}{2a}$$

Общее число пластин n конденсатора

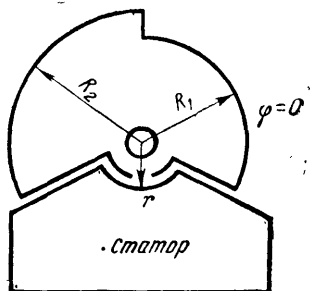
$$n = 1 + \frac{7,2 C_{\text{макс}} a}{R^2 - r^2}.$$

Емкость при заданном угле поворота ротора

$$C_{\varphi} = (C_{\text{макс}} - C_{\text{мин}}) \frac{\varphi}{\pi} + C_{\text{мин}},$$

где φ — угол поворота ротора, рад.

Рис. 8. Форма роторных пластин прямоемкостного конденсатора с углом поворота 240° .



На рис. 8 представлена форма пластины ротора прямоемкостного конденсатора с максимальным углом поворота 240° .

Максимальная емкость этого конденсатора определяется по формуле

$$C_{\text{макс}} = \frac{0,093 (R_2^2 - r^2) (n-1)}{a},$$

где R_2 — больший радиус ротора, см;

r — радиус выреза в пластинах статора, см.

Число пластин n по заданным значениям $C_{\text{макс}}$ и a

$$n = 1 + 10,8 \frac{C_{\text{макс}} a}{R_2^2 - r^2},$$

где a — расстояние между пластинами, см.

Меньший радиус пластин ротора R_1 определяется из выражения

$$R_1 = \frac{\sqrt{R_2^2 + r^2}}{2}.$$

Прямоволновый конденсатор

Прямоволновый конденсатор при настройке контура дает равномерное изменение длины волны, приходящееся на каждое деление шкалы. Для получения прямолинейной зависимости

Между длиной волны и углом поворота ротора необходимо выполнить условие

$$C_A = (aA + b)^2,$$

где C_A — емкость конденсатора при A делениях шкалы, $n\phi$;
 a и b — коэффициенты, зависящие от максимальной и минимальной емкостей конденсатора.

Коэффициенты a и b равны:

$$a \approx \frac{\sqrt{C_{\max}} - \sqrt{C_{\min}}}{100}; \quad b = \sqrt{C_{\min}}.$$

Максимальная емкость прямоугольного конденсатора

$$C_{\max} = \frac{0,0695 (n-1) (R^2 - r^2) \varepsilon}{a}.$$

Емкость при заданном угле поворота ротора

$$C_{\varphi} = (2 \sqrt{C_{\max} C_{\min}} - C_{\min}) \frac{\varphi}{\pi} + \\ + (\sqrt{C_{\max}} - \sqrt{C_{\min}})^2 \left(\frac{\varphi}{\pi} \right)^2 + C_{\min}.$$

Кривая внешнего радиуса пластин, $см$

$$R = \sqrt{(R_{\max}^2 - r^2) \frac{\varphi}{\pi} + r^2}.$$

Прямочастотный конденсатор

Пластины ротора прямочастотного конденсатора имеют форму, изображенную на рис. 9. Текущий радиус пластин ротора рассчитывается по формуле

$$r_T = R_{\max} \sqrt{\frac{1 - \frac{r^2}{R_{\max}^2}}{\left[1 + (k_f - 1) \frac{\varphi}{\pi} \right]^2} + \frac{r^2}{R_{\max}^2}},$$

где R_{\max} — максимальный радиус пластины ротора, $см$;

r — радиус выреза в пластинах статора, $см$;

φ — угол поворота ротора, для которого рассчитывается значение радиуса r_T ;

k — коэффициент перекрытия, равный f_{\max}/f_{\min} .

Число пластин n конденсатора

$$n = 1 + 14,4 C_{\max} \frac{(k_f - 1) a k_f^2}{(R_{\max}^2 - r^2) (k_f^2 - 1)},$$

где C_{\max} — максимальная емкость переменной части конденсатора, $n\phi$;

$R_{\text{макс}}$ — максимальный радиус пластины ротора, см;
 r — радиус выреза в пластинах статора, см;
 k_f — коэффициент перекрытия;
 a — расстояние между пластинами, см.

Логарифмический конденсатор

Максимальная емкость логарифмического конденсатора

$$C_{\text{макс}} = \frac{0,0695 (n - 1) (R_{\text{макс}}^2 - r^2) \left(1 - \frac{C_{\text{мин}}}{C_{\text{макс}}}\right) \epsilon}{a \ln \frac{C_{\text{макс}}}{C_{\text{мин}}}},$$

где $C_{\text{макс}}$ — максимальная емкость переменной части конденсатора $n\phi$;

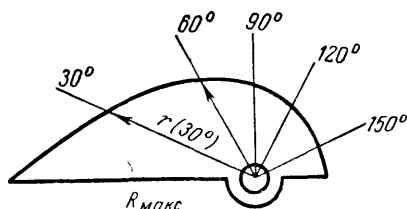


Рис. 9. Форма роторных пластин прямоугостного конденсатора.

$R_{\text{макс}}$ — максимальный радиус пластины ротора, см;
 r — радиус выреза в пластинах статора, см;
 a — расстояние между пластинами, см.

Текущий радиус пластин ротора

$$r_{\tau} = \sqrt{(R_{\text{макс}}^2 - r^2) \left(\frac{C_{\text{макс}}}{C_{\text{мин}}}\right) \frac{\varphi - \pi}{\pi} + r^2}.$$

При расчете конденсаторов переменной емкости общее число пластин n следует выбирать исходя из следующих соображений: при большом числе пластин длина конденсатора получается чрезмерной, при малом — возрастает размер пластин, что понижает их жесткость и увеличивает габариты конденсатора. Число пластин следует выбирать так, чтобы длина конденсаторной секции примерно была равна среднему радиусу ротора. Ориентировочное число пластин конденсатора можно выбрать по табл. 3.

Таблица 3

Число пластин конденсаторов переменной емкости

$C_{\text{макс}}, n\phi$	До 750	350—500	200—300	100—150	50—60	40—50	25—35
n	До 33	15—25	9—11	7—13	7—13	5—11	3—7

Конденсаторы переменной емкости с твердым диэлектриком

Уменьшение размеров конденсаторов переменной емкости достигается при использовании в качестве диэлектрика материалов с большей, чем у воздуха диэлектрической проницаемостью, причем толщина диэлектрика может быть значительно меньше воздушного зазора, а также значительно тоньше могут быть и пластины. В конденсаторах подобного типа диэлектрик получается многослойным, состоящим из чередующихся слоев твердого диэлектрика и воздуха. Емкость конденсатора с таким диэлектриком равна:

$$C = \frac{A}{\frac{a_1}{\epsilon_1} + \frac{a_2}{\epsilon_2}},$$

где

$$A = \frac{S(n-1)}{3,6\pi};$$

a_1 и a_2 — толщины твердого диэлектрика и воздушной прослойки, см; ϵ_1 и ϵ_2 — их диэлектрические проницаемости.

При расчетах удобнее пользоваться понятием эквивалентной проницаемости ϵ_3 многослойного диэлектрика, при которой конденсатор обладает такой же емкостью, как и при многослойном диэлектрике. Толщина эквивалентного диэлектрика равна:

$$a = a_1 + a_2.$$

Следовательно,

$$C = A \frac{\epsilon_3}{a}.$$

В конденсаторах подобного типа в качестве второго диэлектрика применяется воздух, у которого $\epsilon_2=1$, тогда ϵ_3 равна:

$$\epsilon_3 = \epsilon_1 \frac{1 + \frac{a_2}{a_1}}{1 + \frac{a_2}{a_1} \epsilon_1}.$$

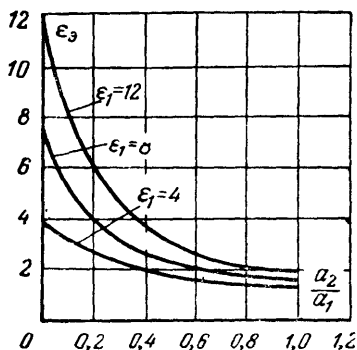


Рис. 10. График для определения эквивалентной проницаемости ϵ_3 .

На рис. 10 представлена зависимость эквивалентной проницаемости ϵ_3 от отношения a_2/a_1 при различных значениях диэлектрической проницаемости твердого диэлектрика.

Следует отметить, что величина потерь $\text{tg } \delta$ в конденсаторах с твердым диэлектриком больше, чем при воздушном диэлектрике и определяется в основном потерями в твердом диэлектрике. На практике используются два способа расположения твердого диэлек-

трика: в виде прокладки между пластинами и в виде тонкой пленки, нанесенной на пластины. Материалом для прокладок служит пленка из полистирола, фторопласта-4, слюды и других материалов толщиной 0,05—0,2 мм.

Достоинством таких конденсаторов являются малые габариты при большой емкости, простота изготовления, а недостатком — низкие стабильность и точность. Такие конденсаторы применяются в неответственных устройствах, когда к точности и стабильности не предъявляется особых требований.

Конструктивной особенностью сдвоенных блоков из конденсаторов с твердым диэлектриком является расположение статорных и роторных секций под углом 180° друг к другу, что в свою очередь уменьшает связь между ними, не увеличивая габаритов блока. Такие конденсаторы делаются в основном прямоемкостными, и их расчет производится обычным методом, следует только в расчетные формулы ввести значения ϵ_a .

Соотношения между максимальной и минимальной емкостями характеризуются следующими данными:

$C_{\text{макс}}, \text{ пф}$	180	230	300	370
$C_{\text{мин}}, \text{ пф}$	7	8	10	10

Общее число пластин при этих значениях емкости лежит в пределах от 16 до 30.

Конденсатор в цепи переменного тока

При включении идеального конденсатора, т. е. конденсатора, не имеющего потерь, в цепь переменного тока с частотой ω и известной амплитудой переменного напряжения $U_{\text{макс}}$, амплитуда тока в цепи конденсатора будет определяться по закону Ома:

$$I_{\text{макс}} = \omega C U_{\text{макс}},$$

а для цепи, содержащей активное сопротивление R , присоединенное к источнику с напряжением $U_{\text{макс}}$, амплитуда тока будет равна:

$$I_{\text{макс}} = \frac{U_{\text{макс}}}{R}.$$

Сравнивая два последних выражения, можно заметить, что амплитуда тока в цепи конденсатора такова, как если бы вместо конденсатора было включено активное сопротивление

$$R = \frac{1}{\omega C}.$$

Следовательно, для переменного тока конденсатор представляет сопротивление, величина которого равна:

$$X_C = \frac{1}{\omega C}.$$

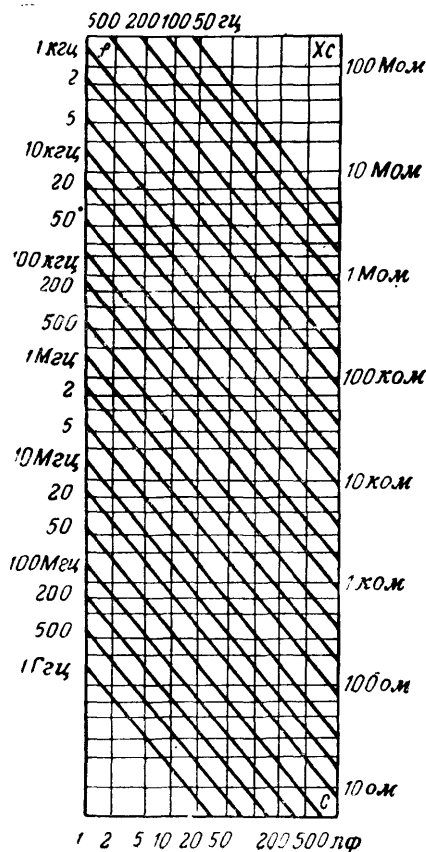


Рис. 11. Номограмма для расчета емкостного сопротивления конденсаторов.

Для звуковых частот емкостное сопротивление можно определять по формуле

$$X_C = \frac{159\,000}{fC},$$

где X_C — емкостное сопротивление, ом;

$f = \omega/2\pi$ — частота тока в цепи, гц;

C — емкость конденсатора, мкф.

Емкостное сопротивление конденсатора в зависимости от длины волны определяется по формуле

$$X_C = \frac{530\lambda}{C},$$

Это сопротивление конденсатора называется реактивным сопротивлением и обозначается буквой X , а буква C в индексе указывает, что это сопротивление емкостное.

Емкостное сопротивление имеет существенное отличие от активного, которое заключается главным образом в вопросе о потреблении мощности. В активном сопротивлении вся мощность, отдаваемая источником, превращается в тепло и расходуется на нагревание активного сопротивления. В случае емкостного сопротивления вся работа, совершаемая источником при заряде конденсатора, превращается в энергию электрического поля конденсатора. При разряде конденсатора вся энергия его электрического поля возвращается в источник. Можно считать, что вся энергия, накопленная в конденсаторе за четверть периода, пока он заряжался, полностью возвращается в источник за следующую четверть периода. Следовательно, конденсатор без потерь не потребляет энергии от источника.

Сопротивления, не расходующие полученную от источника энергию, а возвращающие ее источнику, называются реактивными сопротивлениями.

где X_C — емкостное сопротивление, *ом*;

λ — длина волны, *м*;

C — емкость конденсатора, *пф*.

При токе с частотой 50 *гц* формула для определения емкостного сопротивления конденсатора имеет вид:

$$X_C = \frac{3180}{C},$$

где C — емкость конденсатора, *мкф*.

Для быстрого определения величины X_C служит номограмма (рис. 11), на которой наглядно представлены величины емкостного сопротивления конденсаторов различной емкости на частотах от 50 *гц* до 1 *Ггц*. В табл. 4 и 5 приводятся значения емкостных сопротивлений для различных величин емкости как для низких, так и высоких частот.

Таблица 4

**Емкостное сопротивление конденсаторов
на низких частотах, *ом***

Емкость, <i>мкф</i>	Частота						
	50 <i>гц</i>	250 <i>гц</i>	500 <i>гц</i>	1 000 <i>гц</i>	2 500 <i>гц</i>	5 000 <i>гц</i>	10 000 <i>гц</i>
0,1	32 000	6 400	3 200	1 600	640	320	160
0,5	6 400	1 280	640	320	128	64	32
1,0	3 200	640	320	160	64	32	16
2,0	1 600	320	160	80	32	16	8
3,0	1 060	212	106	53	21,2	10,6	5,3
4,0	800	160	80	40	16	8	4
5,0	640	128	64	32	12,8	6,4	3,2
10,0	320	64	32	16	6,4	3,2	1,6
50,0	64	12,8	6,4	3,2	1,28	0,64	0,32
100,0	32	6,4	3,2	1,6	0,64	0,32	0,16

Другое существенное отличие емкостного сопротивления от активного состоит в том, что в емкостном сопротивлении ток сдвинут по фазе относительно напряжения на 90°, в то время как в активном сопротивлении ток совпадает по фазе с напряжением.

Если к конденсатору приложено напряжение

$$u = U_{\text{макс}} \sin(\omega t + \varphi),$$

то ток в цепи

$$i = I_{\text{макс}} \sin(\omega t + \varphi + 90^\circ),$$

следовательно, напряжение на четверть периода отстает от тока.

Реальный конденсатор всегда обладает электрическими тепловыми потерями. Потери в конденсаторах вызываются замедленной поляризацией и проводимостью диэлектрика. В схемах замещения

Емкостное сопротивление конденсатора на высокой частоте, *ом*

Емкость	Частота							
	30 Мгц	10 Мгц	5 Мгц	3 Мгц	1,5 Мгц	600 кгц	468 кгц	200 кгц
10 пф	530	1 590	3 180	5 300	10 600	26 500	34 000	79 500
20 пф	265	795	1 590	2 650	5 300	13 250	17 000	39 800
50 пф	106	318	635	1 060	2 120	5 300	6 800	15 900
100 пф	53,0	159,0	318,0	530	1 060	2 650	3 400	7 950
200 пф	26,5	79,5	159,0	265	530	1 325	1 700	3 980
500 пф	10,6	31,8	63,5	106	212	530	680	1 590
1 000 пф	5,30	15,90	31,8	53,0	106,0	265	340	795
2 000 пф	2,65	7,95	15,9	26,5	53,0	132	170	398
5 000 пф	1,06	3,18	6,35	10,6	21,2	53	68	159
0,01 мкф	0,530	1,590	3,18	5,30	10,6	26,5	34	79,5
0,02 мкф	0,265	0,795	1,59	2,65	5,30	13,2	17,0	39,8
0,05 мкф	0,106	0,318	0,635	1,06	2,12	5,3	6,8	15,9
0,1 мкф	0,0530	0,1590	0,318	0,530	1,06	2,65	3,40	7,95
0,2 мкф	0,0265	0,0795	0,159	0,265	0,53	1,32	1,70	3,98
0,5 мкф	0,0106	0,0318	0,0635	0,106	0,212	0,53	0,68	1,59
1 мкф	0,00530	0,0159	0,0318	0,530	0,106	0,265	0,34	0,795
2 мкф	0,00265	0,00795	0,0159	0,0265	0,053	0,132	0,17	0,398
6 мкф	0,00088	0,00265	0,0053	0,0099	0,017	0,044	0,058	0,133

конденсатор с потерями изображается в виде чистой емкости \tilde{C} , к которой параллельно или последовательно подключено активное сопротивление. Наличие активного сопротивления вызывает некоторый сдвиг фаз, и ток опережает напряжение, приложенное к конденсатору, на несколько меньший, чем 90° , угол. Этот сдвиг фаз определяется тангенсом угла $\operatorname{tg} \delta$, где δ является углом потерь. Практически эта величина представляет отношение эквивалентного последовательного сопротивления к емкостному на рассматриваемой частоте.

Величина потерь для последовательной схемы замещения равна:

$$\operatorname{tg} \delta = \frac{U_R}{U_C} = R\omega C_R,$$

а для параллельной

$$\operatorname{tg} \delta = \frac{I_R}{I_C} = \frac{1}{R\omega C_R},$$

где $\omega = 2\pi f$ — угловая частота тока в цепи.

Величина, обратная $\operatorname{tg} \delta$, называется добротностью конденсатора

$$Q = \frac{1}{\operatorname{tg} \delta}$$

и может достигать нескольких тысяч.

Современные конденсаторы (кроме электролитических) характеризуются очень малыми потерями; $\delta \ll 3'$ и $\operatorname{tg} \delta \leq 0,01 - 0,001$.

У конденсатора с малыми потерями сдвиг фаз между током и напряжением близок к 90° . Поэтому реактивная мощность равна:

$$P_p = UI \sin \varphi \approx UI.$$

Так как ток через конденсатор $I = U\omega C$, то $P_p = U^2\omega C$. Достигаемое значение амплитуды переменного напряжения на конденсаторе, при котором реактивная мощность равна P_p , определяется из выражения

$$U_{\max} = 556 \sqrt{\frac{P_p}{fC}},$$

где U_{\max} — амплитуда напряжения на конденсаторе, в;

f — частота, МГц;

C — емкость конденсатора, пф.

Реактивная мощность выражается в реактивных вольт-амперах. При переменных напряжениях выше допустимого происходит перегрев диэлектрика и разрушение конденсатора.

Одним из недостатков конденсаторов является наличие у них индуктивности. Индуктивность складывается из индуктивности рабочего элемента конденсатора и индуктивности внешних и внутренних соединительных проводников. Индуктивность конденсатора зависит от размеров рабочего элемента, его расположения относительно корпуса, длины выводов и др. Присутствие индуктивности увеличивает эквивалентную емкость и вызывает появление резонансных явлений в конденсаторе. На рис. 12 изображена простейшая схема

конденсатора с собственной индуктивностью. При резонансе, т. е. при

$$f_0 = \frac{1}{2\pi \sqrt{LC}},$$

сопротивление этой цепи минимально и равно активному сопротивлению потерь. Для частот, отличных от резонансной, полное сопротивление конденсатора имеет реактивный характер; для низких — емкостный, а на высоких — индуктивный.

Нормальное использование конденсатора может происходить лишь на частотах ниже резонансной, на которых он имеет емкост-

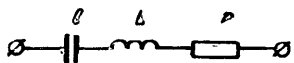


Рис. 12. Эквивалентная схема конденсатора с собственной индуктивностью.

ное сопротивление. Для нормальной работы конденсаторов необходимо выполнение условия

$$f_{\text{макс}} = \frac{f_0}{2 \div 3},$$

где $f_{\text{макс}}$ — максимальная рабочая частота;
 f_0 — резонансная частота конденсатора.

Таблица 6

Индуктивность и максимальные рабочие частоты конденсаторов

Тип	L , нГн	$f_{\text{макс}}$, МГц
Слюдяной, малого размера КСО-1 — КСО-7	4—6	150—200
Слюдяной, среднего размера КСО-11	15—25	75—100
Слюдяной, большого размера	50—100	1—1,5
Керамический, дисковый, малого размера КД-1	1—1,5	2 000—3 000
Керамический, дисковый, среднего размера КД-2, КДУ	2—4	200—500
Керамический, трубчатый, малого размера КТ-1	3—10	150—200
Керамический, трубчатый, среднего размера КТ-3	20—30	50—70
Бумажный, малого размера в цилиндрическом корпусе с паяными торцами КБГ-И	6—11	50—80
Бумажный, среднего размера в цилиндрическом корпусе, с непаяными торцами КБГ-М	30—60	3—5
Бумажный, большой емкости	50—100	1—1,5
Переменной емкости, среднего размера, с воздушным диэлектриком	10—60	50—100
Переменной емкости, малого размера	6—20	300—350

На частотах, близких к резонансной, индуктивное сопротивление компенсирует емкостное, т. е. способствует уменьшению общего реактивного сопротивления. На частотах выше резонансной реактивное сопротивление конденсатора меняет свой знак и становится индуктивным. Для некоторых типов конденсаторов зависимость f_0 от величины емкости и длины выводов показана графически на рис. 13. В табл. 6 приведены величины индуктивности стандартных конденсаторов и их максимальные рабочие частоты.

Другим важным фактором, характеризующим конденсатор, является стабильность. Стабильность конденсатора определяется изменением его основных параметров, главным образом емкости, под воздействием внешней среды. Изменения емкости, вызываемые действием температуры, характеризуются температурным коэффициентом емкости (ТКЕ), представляющим относительное изменение емкости при изменении температуры на 1°C :

$$\text{ТКЕ} = \frac{C_2 - C_1}{C_{20} \Delta t^\circ},$$

где C_2 — емкость конденсатора при температуре нагрева;

C_1 — то же при начальной температуре.

В зависимости от вида конденсатора ТКЕ может быть положительным, отрицательным или близким к нулю; ТКЕ обычно выражается в миллионных долях изменения емкости к одному градусу ($10^{-6}/^\circ\text{C}$). По величине ТКЕ конденсаторы подразделяются на группы, которым присвоены цифровые и буквенные символы, а также цвета для окраски корпуса. В табл. 7 приведены группы температурной стабильности стандартных конденсаторов постоянной емкости, а на рис. 14 — зависимость относительного изменения емкости керамических конденсаторов различной окраски от температуры. Температурная зависимость емкости слюдяных конденсаторов обозначается буквами от А до Г. Соответствующие им значения ТКЕ приведены в табл. 7.

Керамические конденсаторы КТ, КД, КДС и др. окрашены в разные цвета, которые характеризуют стабильность их емкости при изменениях температуры. Емкость конденсаторов серого, голубого и синего цветов при изменении температуры изменяется

Таблица 7

Группы температурной стабильности конденсаторов

Группа	ТКЕ, %/град	Цвет корпуса
А	Не нормируется	—
Б	$\pm 0,02$	—
В	$\pm 0,01$	—
Г	$\pm 0,005$	—
К	$-(0,13 \pm 0,02)$	Зеленый или красный с зеленой точкой
Д	$-(0,07 \pm 0,01)$	Красный
Л	$-(0,0075 \pm 0,003)$	Белый
М	$-(0,005 \pm 0,003)$	Голубой
Р	$+(0,003 \pm 0,003)$	Серый
С	$+(0,0120 \pm 0,003)$	Синий
Н	Не нормируется	Оранжевый или желтый

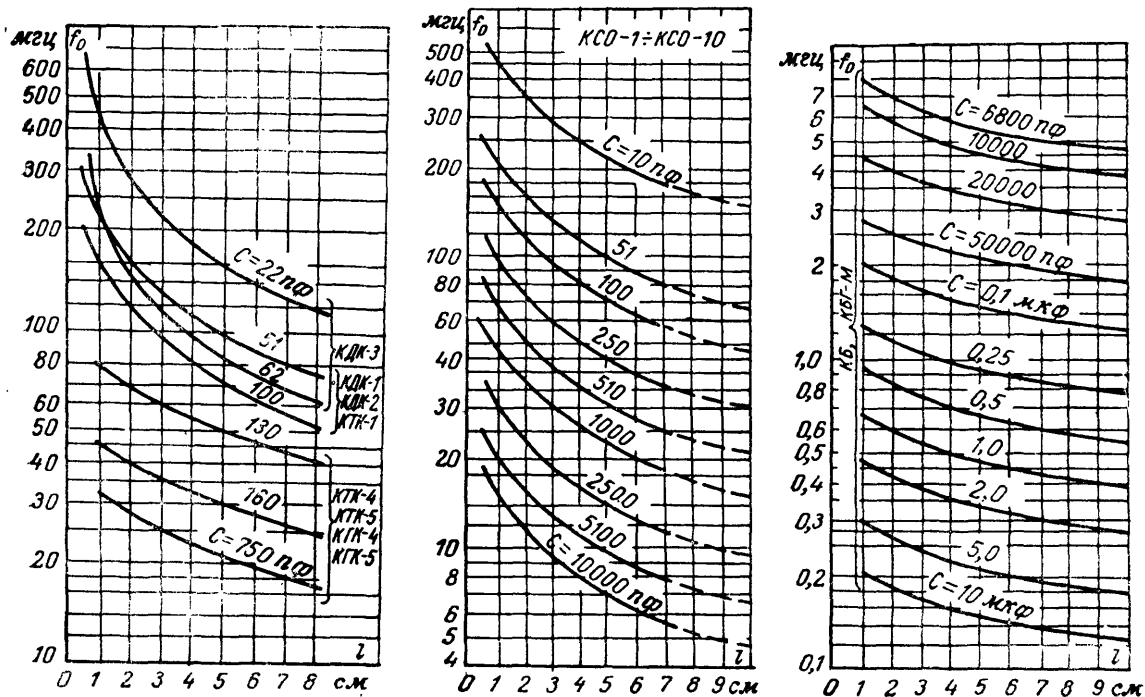


Рис. 13. Графики резонансных частот конденсаторов.

Незначительно (рис. 14,а), такие конденсаторы называются термостабильными. Емкость конденсаторов зеленого и красного цветов при увеличении температуры заметно уменьшается (рис. 14,б). Эти конденсаторы называются термокомпенсирующими. При использовании в резонансных контурах они дают возможность значительно улучшить стабильность их частоты при колебаниях температуры. Конденсаторы оранжевого цвета при изменениях температуры изменяют емкость в широких пределах.

В практике встречаются керамические конденсаторы с нанесенными на них буквами и цифрами. При этом независимо от цвета окраски их корпуса стабильность емкости определяется так: конденсатор с маркировкой ПЗЗ или Р соответствует серому конденсатору, с маркировкой М47 или М — голубому, с маркировкой П120 или С — синему, с маркировкой М1300 или К — зеленому, с маркировкой М700 или Д — красному, с маркировкой М75 или Л — голубому с красной точкой, с маркировкой Н70 — оранжевому.

У воздушных конденсаторов переменной емкости ТКЕ обычно во много раз превышает величину температурного коэффициента диэлектрической проницаемости воздуха ($2 \cdot 10^{-6}$) и для различных конструкций может изменяться в пределах от $+150 \cdot 10^{-6}$ до $-70 \cdot 10^{-6}$. Часто поведение конденсаторов при изменении температуры бывает не циклическим, т. е. после нагрева и охлаждения емкость не возвращается к своему первоначальному значению.

Соединение конденсаторов

На рис. 15 показано последовательное соединение конденсаторов. Общая емкость цепи определяется по формуле

$$\frac{1}{C_{\text{общ}}} = \frac{1}{C_1} + \frac{1}{C_2} + \frac{1}{C_3}$$

и будет меньше емкости наименьшего конденсатора этой цепи.

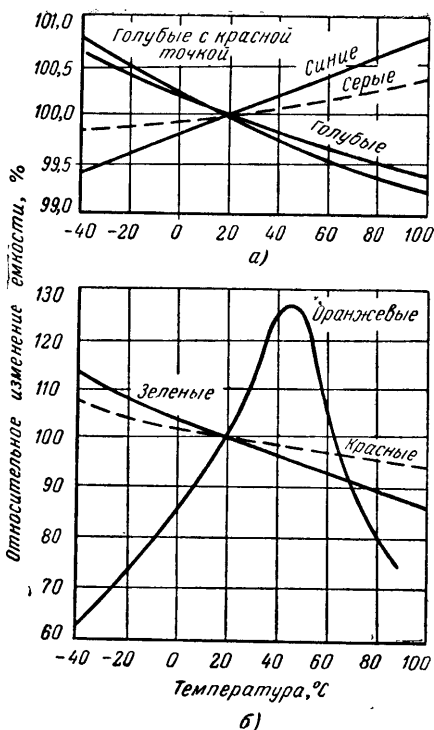


Рис. 14. Изменение емкости керамических конденсаторов различной окраски при изменениях температуры. а — термостабильных; б — термокомпенсирующих и сегнетокерамических.

Общее напряжение равно сумме напряжений на отдельных конденсаторах:

$$U = U_1 + U_2 + U_3.$$

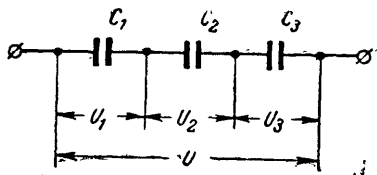


Рис. 15. Последовательное соединение конденсаторов.

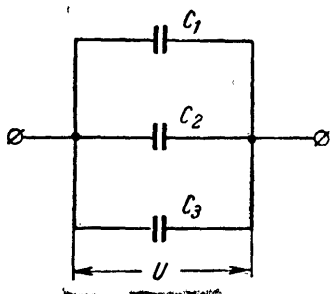


Рис. 16. Параллельное соединение конденсаторов.

Напряжения на конденсаторах обратно пропорциональны их емкости:

$$U_1 : U_2 : U_3 = \frac{1}{C_1} : \frac{1}{C_2} : \frac{1}{C_3}.$$

При последовательном соединении конденсаторов одинаковой емкости C_1 общая емкость равна:

$$C_{\text{общ}} = \frac{C_1}{n}.$$

Емкость двух последовательно соединенных конденсаторов рассчитывается по формуле

$$C_{\text{общ}} = \frac{C_1 C_2}{C_1 + C_2}.$$

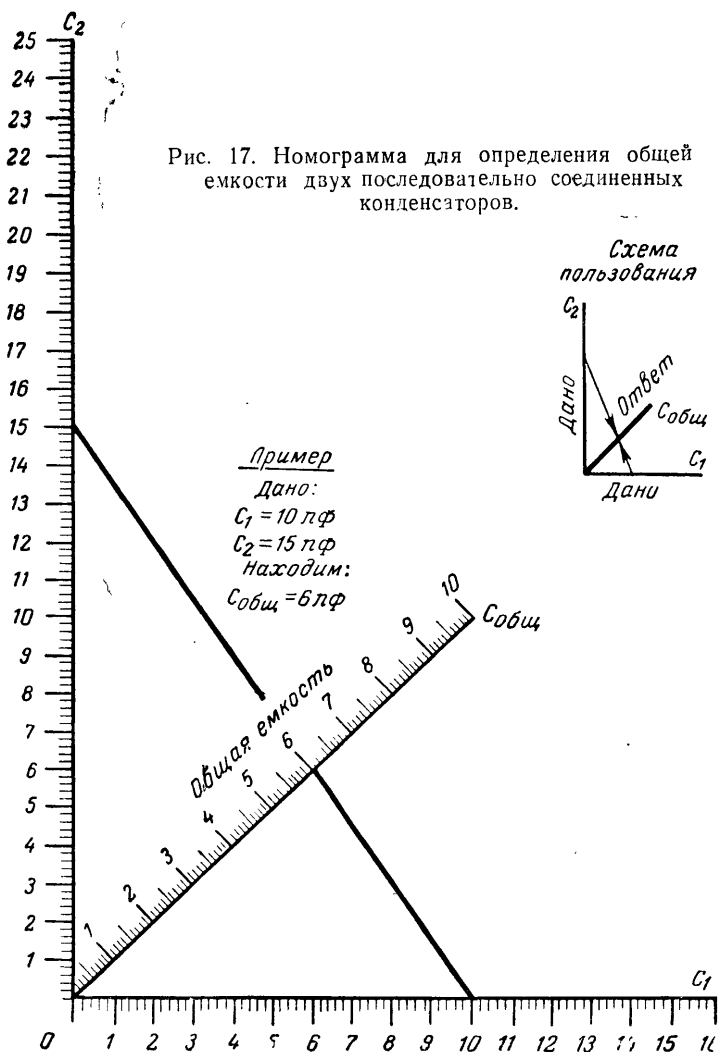
На рис. 16 приведена схема параллельного соединения конденсаторов. Общая емкость цепи равна сумме емкостей всех конденсаторов:

$$C_{\text{общ}} = C_1 + C_2 + C_3.$$

На рис. 17 приведена номограмма для расчета общей емкости двух последовательно соединенных конденсаторов. Для расчета по номограмме величины емкостей следует брать в одинаковых единицах.

При параллельном соединении n конденсаторов одинаковой емкости C_1 общая емкость равна:

$$C_{\text{общ}} = C_1 n.$$



Глава вторая

КАТУШКИ ИНДУКТИВНОСТИ

Единица измерения индуктивности — генри. Индуктивностью в 1 *гн* обладает катушка, в которой возникает э. д. с. самоиндукции, равная 1 *в* при изменении тока в катушке на 1 *а* в 1 *сек*.

На практике применяются более мелкие единицы индуктивности — 1 миллигенри = 10^{-3} *гн* и 1 микрогенри = 10^{-6} *гн*.

По своему назначению катушки индуктивности можно разделить на следующие группы: катушки контуров, катушки связи, дроссели высокой частоты и дроссели низкой частоты.

По конструктивному признаку катушки делятся на однослойные и многослойные, экранированные и неэкранированные, катушки с сердечниками и без сердечников, катушки цилиндрические, плоские, тороидальные и печатные.

Катушки индуктивности характеризуются следующими основными параметрами: величиной индуктивности, добротностью, собственной емкостью и стабильностью. Основные параметры катушек индуктивности приведены в табл. 8.

Расчет индуктивности

Индуктивность прямого провода круглого сечения

$$L = 2l \left(2,3 \lg \frac{4l}{d} + \frac{d}{2l} - 1 \right) 10^{-9},$$

где L — индуктивность, мкГн; l — длина провода, см; d — диаметр провода, см.

На рис. 18 показан график для определения индуктивности прямого провода круглого сечения. Следует отметить, что приведенная формула относится к проводам из немагнитного материала.

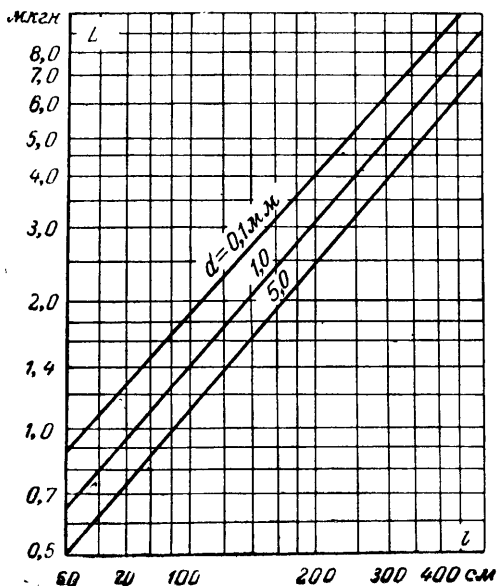


Рис. 18. Индуктивность прямого одиночного провода в зависимости от его длины и диаметра.

Основные параметры катушек индуктивности

Способ намотки и материал каркаса	αL , град^{-1}	Q	C_0 , пф	Область применения
Катушка с осажденной намоткой на керамическом каркасе	$(10 \div 20) \cdot 10^{-6}$	80—150	0,5—2,0	Генераторы и гетеродины КВ и УКВ высокой стабильности
Катушка с горячей намоткой на керамическом каркасе	$(10 \div 30) \cdot 10^{-6}$	100—400	0,5—2,0	То же
Катушка с холодной тугой намоткой на керамическом каркасе	$(40 \div 100) \cdot 10^{-6}$	100—400	0,5—2,0	Генераторы и гетеродины КВ и УКВ пониженной стабильности
Катушка с бескаркасной намоткой	$(50 \div 150) \cdot 10^{-6}$	100—600	0,5—2,0	Усилительные каскады УКВ
Катушка с однослойной сплошной намоткой и каркасом из органического диэлектрика	$(100 \div 200) \cdot 10^{-6}$	80—200	3—5	Генераторы и гетеродины низкой стабильности, усилительные каскады СВ и КВ
Катушка с намоткой типа „универсаль“	$(150 \div 300) \cdot 10^{-6}$	50—100	5—10	Гетеродины низкой стабильности и усилительные каскады ДВ и СВ
Катушка с перекрестной универсальной намоткой	$(150 \div 300) \cdot 10^{-6}$	30—50	15—30	То же
Катушка с секционированной намоткой (3—4 секции)	$(150 \div 300) \cdot 10^{-6}$	150—170	5—10	„ „
Катушка с несекционированной намоткой		20—30	10—50	Дроссели высокой частоты

Индуктивность цепи из двух длинных параллельных проводов круглого сечения

$$L = 4l \left(2,3 \lg \frac{2D}{d} - \frac{D}{l} \right) \cdot 10^{-3},$$

где L — индуктивность, мкГн ;

D — расстояние между осями проводов, см .

На рис. 19 приведена зависимость индуктивности двухпроводной линии от отношения D/d . Кривая дает значения индуктивности, отнесенные к 1 м длины линии.

Индуктивность цепи из двух длинных проводов прямоугольного сечения

$$L = 4l \left(2,3 \lg \frac{D}{a+b} - \frac{D}{l} + 0,223 \frac{a+b}{l} + 1,5 \right) \cdot 10^{-3},$$

где D — расстояние между центрами сечений, см ;

a и b — размеры сечения, см .

Индуктивность коаксиального кабеля

$$L = 2l \ln \frac{D}{d} \cdot 10^{-3},$$

где D — диаметр наружного провода, см ;

d — диаметр внутреннего провода, см .

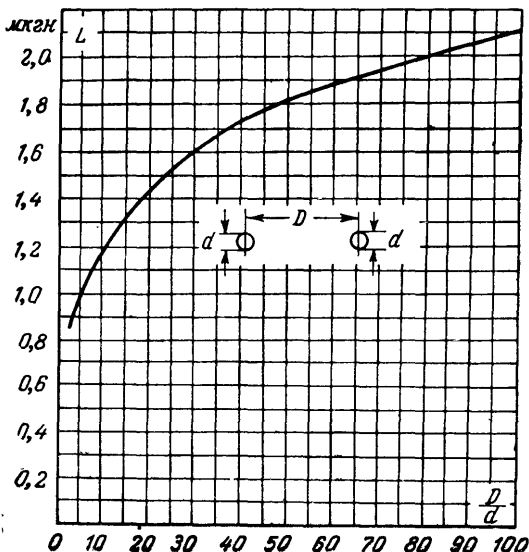


Рис. 19. Индуктивность отрезка двухпроводной линии длиной 1 м.

Индуктивность одиночного круглого витка из провода круглого сечения

$$L \approx 6,28D \left(2,31 \lg \frac{8D}{d} - 2 \right) \cdot 10^{-3},$$

где L — индуктивность витка, мкГн;
 D — диаметр витка, см;
 d — диаметр провода, см.

Эта формула дает точные результаты для токов высокой частоты. Для токов низкой частоты лучшие результаты получаются при использовании формулы

$$L = 6,28D \left(2,3 \lg \frac{8D}{d} - 1,5 \right) \cdot 10^{-3}.$$

На рис. 20 показан график зависимости индуктивности круглого витка от диаметра витка D и диаметра провода d . График составлен для высоких частот.

Индуктивность круглого витка из провода прямоугольного сечения (ленты)

$$L = 6,28D \left[2,3 \left(1 + \frac{b^2}{8D^2} \right) \lg \frac{4D}{b} + \frac{b^2}{32D^2} - 0,5 \right] \cdot 10^{-3},$$

где b — ширина ленты, см.

При $D \gg b$ эта формула может быть упрощена:

$$L \approx 6,28D \left(2,3 \lg \frac{4D}{b} - 0,5 \right) \cdot 10^{-3}.$$

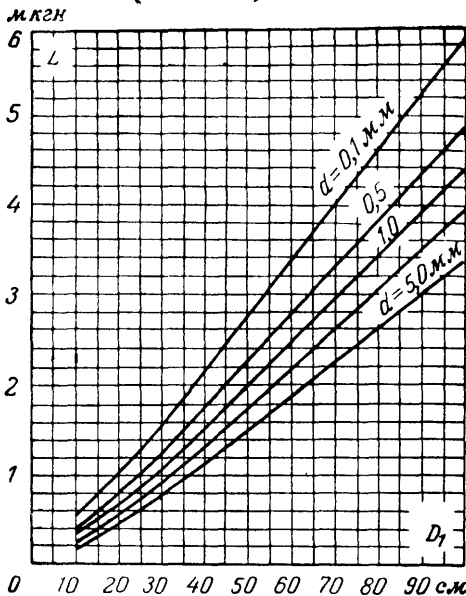


Рис. 20. Индуктивность круглого витка из провода круглого сечения.

Индуктивность прямоугольного витка из провода круглого сечения

$$L = \left\{ 9,2 \left[(a+b) \lg \frac{4ab}{d} - a \lg (a+c) - b \lg (b+c) \right] + 8 \left[c - a - b + \frac{d}{2} \right] \right\} \cdot 10^{-3},$$

где L — индуктивность витка, мкГн;

a и b — длины сторон прямоугольника, см;

c — его диагональ, равная $\sqrt{a^2 + b^2}$, см;

d — диаметр провода, см.

Индуктивность квадратного витка из провода круглого сечения

$$L = 8a \left(2,3 \lg \frac{2a}{d} + \frac{d}{2a} - 0,77 \right) \cdot 10^{-3},$$

где L — индуктивность катушки, мкГн;

a — сторона квадрата, см;

d — диаметр провода, см.

Таблица 9

Индуктивность квадратного витка

Сторона квадрата, см	Индуктивность, мкГн			Сторона квадрата, см	Индуктивность, мкГн		
	$d=1$ мм	$d=2$ мм	$d=3$ мм		$d=1$ мм	$d=2$ мм	$d=3$ мм
10	0,385	0,327	0,271	50	2,550	2,280	2,000
15	0,621	0,533	0,455	60	3,150	2,820	2,490
20	0,875	0,764	0,653	70	3,760	3,360	2,980
25	1,140	0,999	0,860	80	4,380	3,940	3,500
30	1,410	1,240	1,080	90	5,010	4,520	4,020
40	1,970	1,750	1,530	100	5,660	5,100	4,550

В табл. 9 приводятся значения индуктивности, вычисленные для различных размеров квадратного витка при разных диаметрах провода.

Для катушек с индуктивностью выше 15—20 мкГн применяется сплошная однородная намотка. Целесообразность перехода на сплошную намотку определяется диаметром катушки. Ориентировочные значения индуктивности катушки заданного диаметра, при которых целесообразен переход на сплошную намотку, приведены в табл. 10.

Индуктивность однослойной катушки со сплошной намоткой, изготовленной на цилиндрическом каркасе, может быть рассчитана по следующим трем эмпирическим формулам:

$$L = \frac{D^2 w^2}{1000l + 440D}; \quad L = \frac{0,02D^3 w^2}{9D + 20l}; \quad L = \frac{0,01D^2 w^2}{4D + 11l},$$

где L — индуктивность витка, мкГн;

D — диаметр катушки, мм;

w — число витков;

l — длина намотки, мм.

Первая и вторая формулы применимы для расчетов при $l > D/2$, а третья — при $l \leq D/2$.

Индуктивность однослойной катушки со сплошной намоткой можно определить по универсальной формуле, которая пригодна для расчетов при любых соотношениях конструктивных размеров катушки

$$L = \frac{0,01 D \omega^2}{\frac{l}{D} + 0,44},$$

где L — индуктивность катушки, *мкГн*;

D — диаметр катушки, *см*;

l — длина намотки, *см*;

ω — число витков катушки.

Таблица 10

**Максимальная индуктивность для
однослойной намотки**

Диаметр каркаса, мм . . .	10	15	20	30	50
Максимальная индуктивность, <i>мкГн</i>	30	50	100	200	500

Диаметр катушки D представляет собой диаметр окружности, образуемой осевой линией активного сечения провода. На высоких частотах можно с высокой точностью диаметр D принять равным внутреннему диаметру витков, т. е. диаметру каркаса. Длина намотки l представляет собой расстояние между осевыми линиями крайних витков.

На рис. 21 показана номограмма, позволяющая ускорить расчет величины индуктивности катушек по приведенной формуле.

Индуктивность катушек с сечением в форме многоугольника рассчитывается по формулам для цилиндрических катушек, при этом считается, что многоугольная катушка эквивалентна по индуктивности цилиндрической с равновеликим по площади круглым сечением.

Эквивалентный диаметр многоугольной катушки рассчитывается по формуле

$$D = D_0 \sqrt{\frac{N}{6,28} \sin \frac{6,28}{N}},$$

где D_0 — диаметр описанной вокруг многоугольника окружности;
 N — число сторон многоугольника.

Индуктивность катушки, намотанной с шагом проводом круглого сечения, равна:

$$L = L' - 6,28 \omega D (A + B) \cdot 10^{-3},$$

где L' — индуктивность катушки, найденная без поправки на шаг, *мкГн*;

A и B — поправочные коэффициенты (рис. 22, а, б);

D — диаметр катушки, *см*;

ω — число витков.

Приведенный расчет дает достаточно точные результаты для катушек с числом витков не менее 4—5.

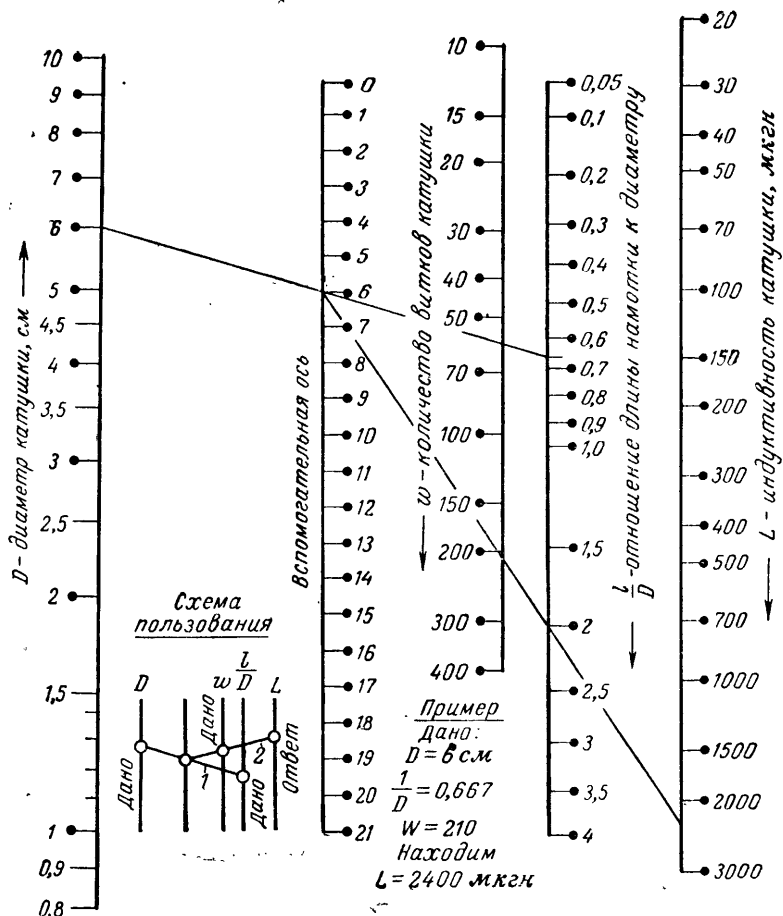


Рис. 21. Номограмма для расчета индуктивности однослойных катушек.

Индуктивность плоской катушки может быть приближенно определена по формулам для цилиндрической катушки с таким же числом витков и шагом намотки, имеющей диаметр, равный среднему диаметру плоской катушки.

Индуктивность плоской печатной катушки со спиральными витками (рис. 23,а) может быть определена с точностью 5% по формуле

$$L = 24,75 D_{\text{ср}} \sqrt{w^5} \lg \frac{4D_{\text{ср}}}{t} 10^{-3},$$

где L — индуктивность катушки, мкГн;

$D_{\text{ср}}$ — средний диаметр спирали, см;

t — радиальная ширина намотки, см;

w — число витков.

Для менее точного расчета можно воспользоваться следующей формулой:

$$L = r_1 w^2 k,$$

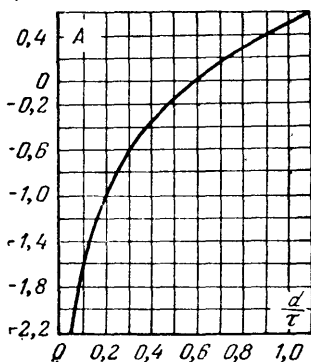
где L — индуктивность, мкГн;

r_1 — радиус внешнего витка спирали, см;

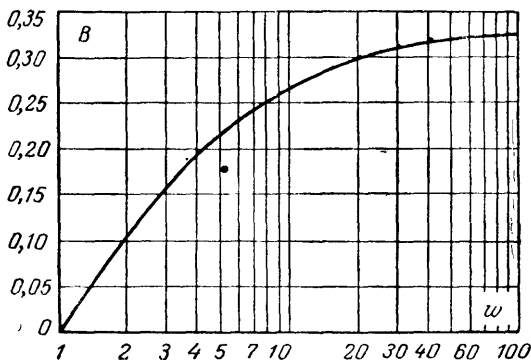
w — число витков;

k — коэффициент, зависящий от отношения радиусов витков спирали r_1 и r_2 , определяемый по графику на рис. 24.

Практически $L_{\max} = 0,1$ мГн.



а)



б)

с. 22. Значения поправочных коэффициентов A и B .

Индуктивность плоской печатной катушки, витки которой расположены по сторонам квадрата (рис. 23, б), равна:

$$L = 55,5a \sqrt{w} \lg \frac{8a}{t} \cdot 10^{-9},$$

где a — длина средней стороны квадрата, см;
 t — радиальная ширина намотки.

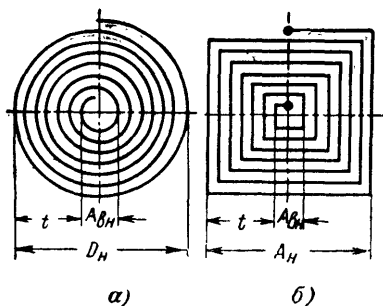


Рис. 23. Печатные спиральные катушки.

a — с круглыми витками; b — с квадратными витками.

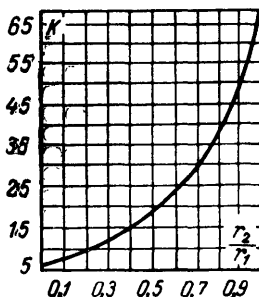


Рис. 24. График значений коэффициента k .

Из рис. 23 очевидно, что

$$D_{\text{ср}} = 0,5(D_{\text{н}} + D_{\text{вн}}); \quad t = 0,5(D_{\text{н}} - D_{\text{вн}})$$

или

$$t = 0,5(A_{\text{н}} - A_{\text{вн}}).$$

Многослойные катушки

Многослойные катушки применяются при индуктивности выше 200—500 мкГн. Многослойные катушки могут быть разделены на простые и сложные. К простым намоткам относится рядовая многослойная намотка, при которой витки укладываются на каркас правильными рядами, и намотка «внавал», при которой нет определенной закономерности в расположении витков и слоев.

Широкое распространение получили сложные многослойные намотки. Одной из распространенных сложных намоток является универсальная, при которой витки не располагаются параллельно друг другу, а идут попеременно от одного края к другому, пересекаясь под некоторым углом.

Размеры многослойной катушки определяются величиной наружного диаметра D , внутреннего D_0 и длиной намотки l (рис. 25).

Радиальную глубину намотки t можно принять равной

$$t = \frac{D - D_0}{2}.$$

Средний диаметр катушки

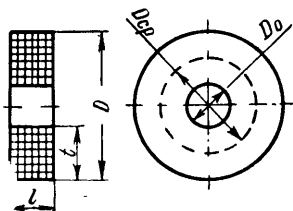
$$D_{\text{ср}} = 0,5(D_0 + D).$$

Для простой рядовой многослойной намотки и намотки «внавал» радиальная глубина намотки равна:

$$t_k = \frac{\alpha d_0^2 \omega}{l},$$

где α — коэффициент неплотности, значения которого приведены в табл. 11;

Рис. 25. Расчетные размеры многослойной катушки.



d_0 — диаметр провода с изоляцией, мм;

l — длина намотки, мм;

ω — число витков катушки.

Таблица 11

Значения коэффициента неплотности α

Диаметр провода без изоляции, мм	0,08—0,11	0,15—0,25	0,35—0,41	0,51—0,93	Свыше 1,0
α	1,3	1,25	1,2	1,1	1,05

Индуктивность многослойной катушки может быть рассчитана по формуле

$$L = \frac{0,08 D_{\text{ср}}^2 \omega}{3 D_{\text{ср}} + 9l + 10t},$$

где L — индуктивность катушки, мкГн;

$D_{\text{ср}}$ — средний диаметр намотки, см;

l — длина намотки, см;

t — радиальная глубина намотки, см.

На рис. 26 приведена номограмма для расчета величины индуктивности многослойных катушек.

Индуктивность многослойной катушки можно определить по следующей упрощенной формуле:

$$L = L_0 \omega^2 D \cdot 10^{-3},$$

где L — индуктивность катушки, мкГн;

L_0 — поправочный коэффициент.

Величина коэффициента L_0 зависит от отношения длины намотки к среднему диаметру катушки $l/D_{\text{ср}}$ и от отношения толщины катушки к среднему диаметру $t/D_{\text{ср}}$. Значения коэффициента L_0 для многослойных катушек приведены на рис. 27, а—в.

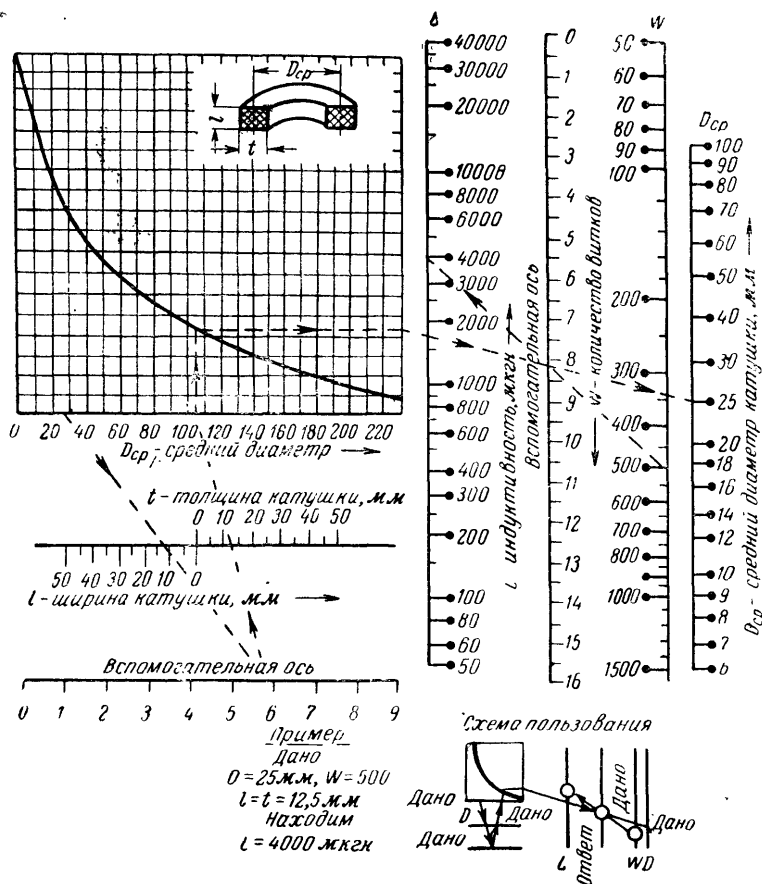


Рис. 26. Номограмма для расчета индуктивности многослойных катушек.

На рис. 28 показана секционированная катушка индуктивности, характеризующаяся достаточно высокой добротностью. Каждая секция этой катушки представляет собой обычную многослойную катушку с небольшим числом витков. Число секций может быть от двух до восьми.

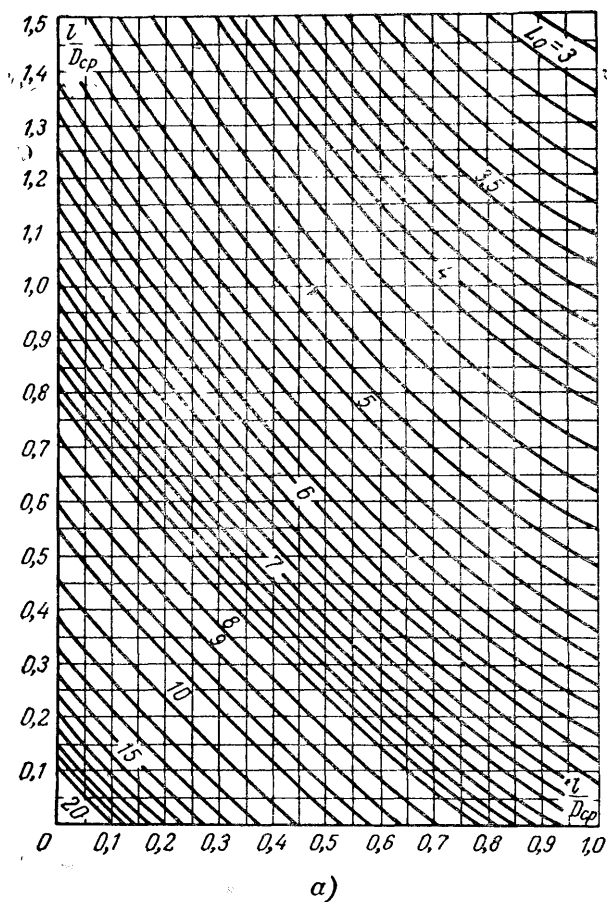


Рис. 27,а. График значений L_0 для многослойных катушек.

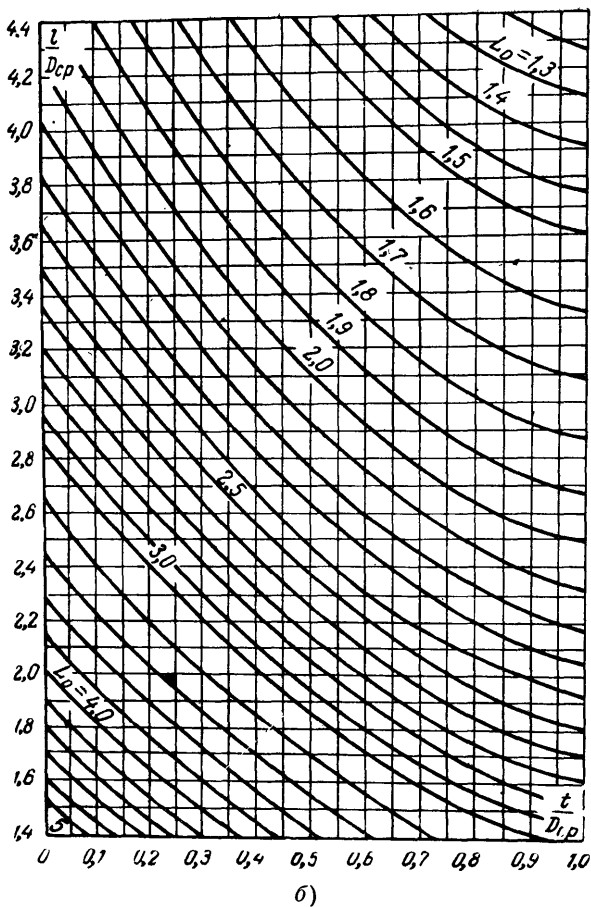
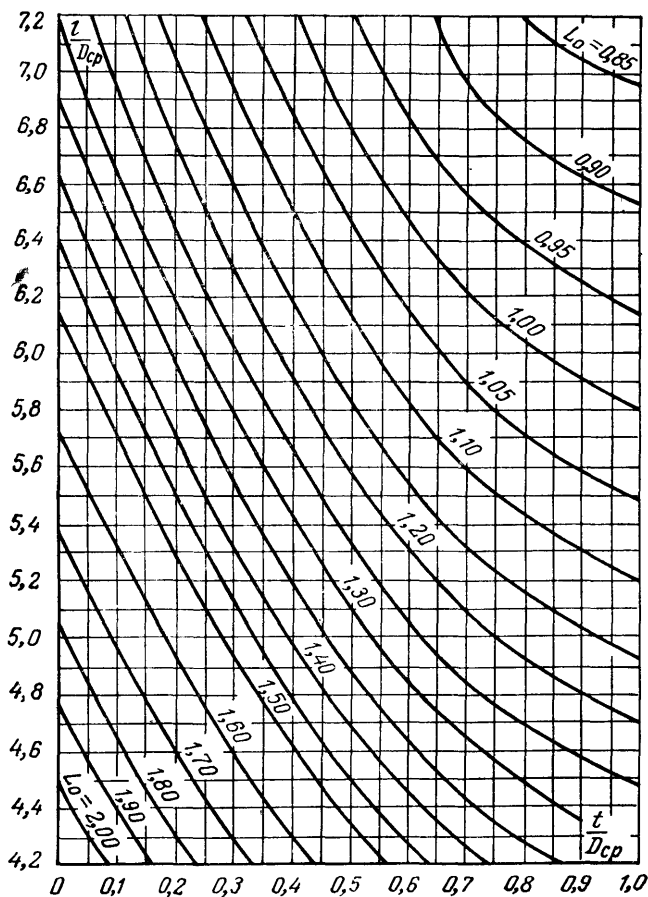


Рис. 27,б.



б)

Рис. 27,в.

Индуктивность секционированной катушки, состоящей из n секций, рассчитывается по формуле

$$L = L_c [n + 2k(n - 1)],$$

где L_c — индуктивность секции;

k — коэффициент связи между секциями.

Коэффициент k зависит от размеров секций и расстояния между ними. Эта зависимость представлена графически на рис. 29.

Отношение $b/D_{\text{ср}}$ выбирается в таких пределах, чтобы величина k была равна 0,2—0,4. Расчет каждой секции производится обычным способом.

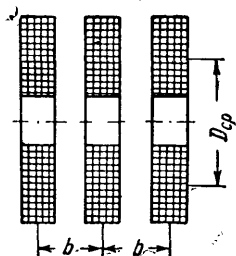


Рис. 28. Секционированная катушка индуктивности.

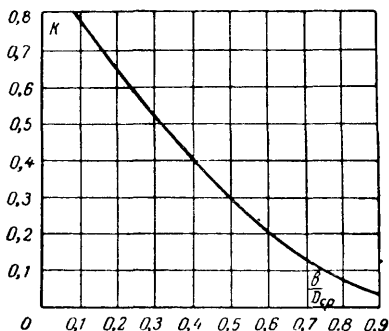


Рис. 29. График значений коэффициента связи k для секционированных катушек.

Экранированные катушки

При помещении катушки в металлический экран взаимная индуктивность между витками катушки и короткозамкнутыми цепями, образованными экраном, приводит к уменьшению величины индуктивности катушки. Кроме того, увеличиваются собственная емкость и сопротивление катушки.

Уменьшение индуктивности катушки при помещении ее в экран (рис. 30) может быть рассчитано по формуле

$$L_0 = L_0 \left[1 - \left(\frac{D_0}{D_s} \right)^2 \right] \left[1 - \left(\frac{l_0}{2l_s} \right)^2 \right],$$

где L_0 — индуктивность экранированной катушки;

L_0 — индуктивность катушки без экрана;

D_0/D_s — отношение диаметра обмотки к диаметру экрана;

$l_0/2l_s$ — отношение длины намотки к удвоенной длине экрана.

Размеры на рис. 30 должны быть выражены в сантиметрах.

На рис. 31 приведена связь между уменьшением индуктивности катушки при помещении ее в экран и относительной величиной диаметра экрана.

Индуктивность экранированной катушки может быть рассчитана по следующей формуле:

$$L_0 = L_0 (1 - k^2),$$

где L_0 — индуктивность катушки без экрана;

k — коэффициент связи между катушкой и экраном.

При однослойных и тонких многослойных катушках коэффи-

Коэффициент связи k рассчитывается по формуле

$$k = \sqrt{\eta \left(\frac{D_0}{D_a} \right)^2},$$

где D_0 — диаметр катушки;

D_a — диаметр экрана;

η — коэффициент, зависящий от отношения l/D_0 катушки, значения которого приведены на рис. 32.

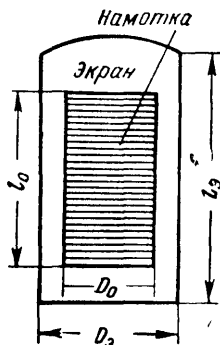


Рис. 30. Экранированная катушка.

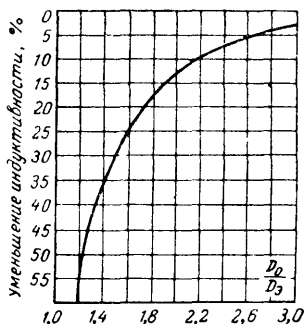


Рис. 31. График изменения индуктивности катушки в зависимости от размеров экрана.

На рис. 33 показан график для приближенного расчета величины индуктивности экранированных однослойных и тонких многослойных катушек. График представляет зависимость отношения индуктивности экранированной катушки к индуктивности катушки без экрана от соотношения геометрических размеров катушки и экрана.

Влияние экрана на параметры катушки проявляется тем сильнее, чем ближе его стенки расположены к обмотке. Для того чтобы индуктивность и добротность катушки падали не более чем на 10%, рекомендуются следующие соотношения между диаметрами экрана и катушки: для однослойных катушек $D_a/D_0 = 1,6 \div 2,5$, причем для коротких катушек $D_a/D_0 = 1,5 \div 1,8$. Для катушек с повышенной стабильностью $D_a/D_0 \geq 2,5$.

Экраны выполняются в виде круглых или прямоугольных стаканов из алюминия, меди или латуни. Толщина стенок экрана зависит от материала экрана и частоты, при которой работает катушка. Могут быть рекомендованы следующие толщины стенок экрана в миллиметрах.

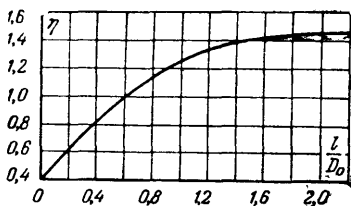


Рис. 32. График значений коэффициента η .

Частота, Мгц Из меди Из алюминия

0,1	0,98	1,30
1,0	0,31	0,40
10,0	0,10	0,13
100,0	0,03	0,04

Экранировать следует катушки большого размера, диаметр которых не менее 15—25 мм. Катушки диаметром 4—5 мм, удален-

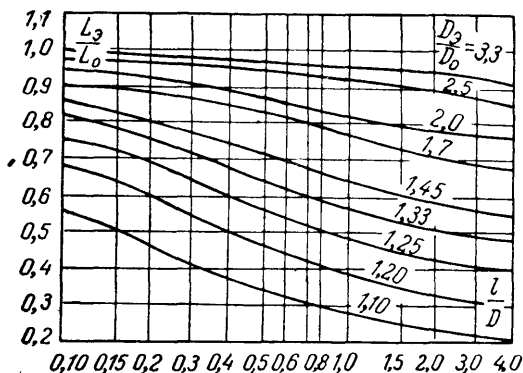


Рис. 33. График для расчета индуктивности однослойных и тонких многослойных экранированных катушек.

ные от других деталей на расстояния в 4—5 раз бóльшие их диаметра, обычно в экранировании не нуждаются, так как они создают поле в относительно небольшом пространстве.

Собственная емкость катушек индуктивности

Между витками в катушке индуктивности, помимо магнитного, существует также электрическое поле, которое влияет на собственную емкость катушки. Собственная емкость изменяет параметры катушек, понижает добротность и стабильность. Частота, на которую оказывается настроенным контур, состоящий из индуктивности и собственной емкости, называется собственной частотой катушки.

Величина собственной емкости определяется типом намотки и размерами катушки. Наименьшей собственной емкостью (1—2 пф) обладают однослойные катушки, намотанные с шагом. Из числа многослойных катушек наименьшей собственной емкостью обладают секционированные катушки. Это объясняется тем, что собственные емкости каждой секции соединяются между собой последовательно и результирующая емкость уменьшается.

Собственная емкость катушки, у которой длина намотки не больше диаметра намотки, определяется по формуле

$$C_0 \approx \frac{6,28D}{3,6 \arccos h \frac{\tau}{d}},$$

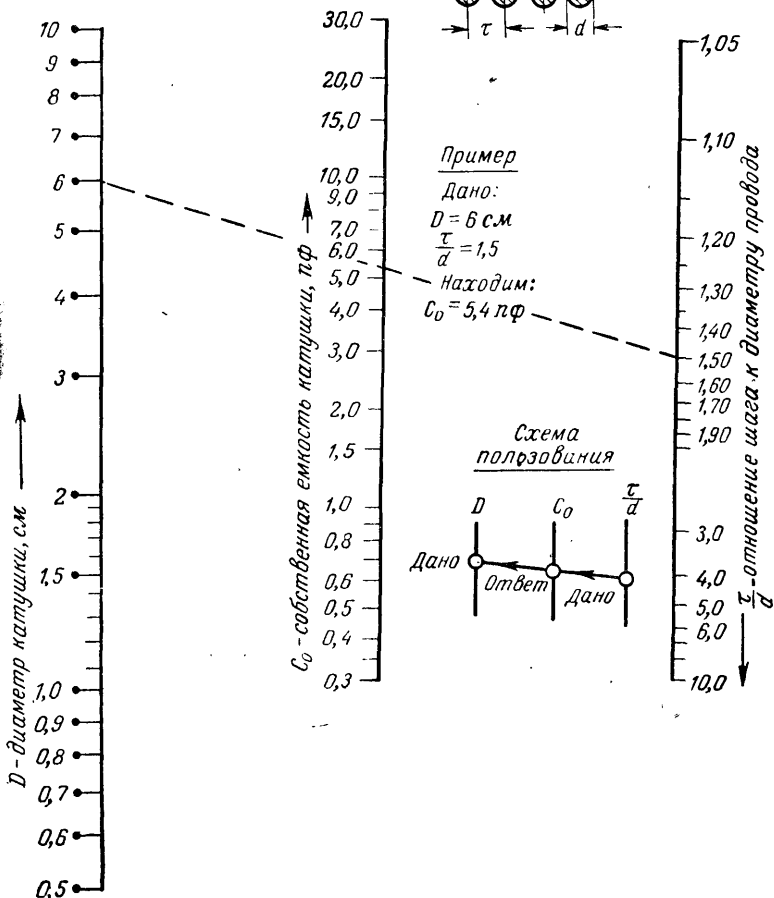
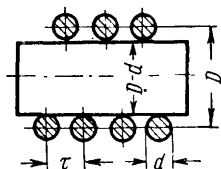


Рис. 34. Номограмма для расчета собственной емкости однослойных катушек, намотанных с принудительным шагом.

где C_0 — собственная емкость катушки, пф ;

D — диаметр намотки, см ;

τ — шаг намотки, см ;

d — диаметр провода, см .

На рис. 34 показана номограмма для определения собственной емкости однослойных катушек, намотанных с шагом. Собственную

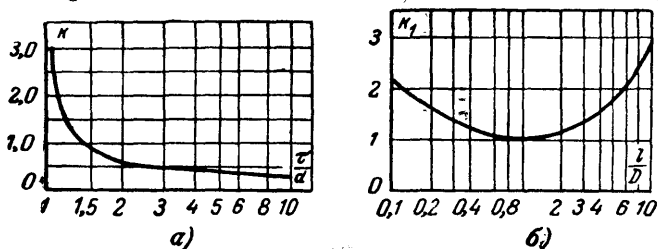


Рис. 35. Графики значений коэффициентов k и k_1 для расчета собственной емкости однослойных катушек.

емкость катушки, намотанной с большим шагом, можно принять равной

$$C_0 \approx 0,5D;$$

для катушки, намотанной виток к витку,

$$C_0 \approx 1,5D.$$

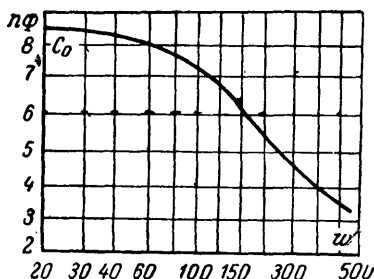


Рис. 36. График зависимости собственной емкости универсальных катушек от числа витков.

$D = 10 \div 20$ мм; $l = 2 \div 6$ мм; $t = 1 \div 8$ мм.

Расчет величины собственной емкости однослойных катушек можно производить по следующей формуле:

$$C_0 \approx k k_1 D,$$

где D — диаметр катушки, см ;

k — коэффициент, зависящий от соотношения между шагом намотки и диаметром провода (рис. 35, а);

k_1 — коэффициент, зависящий от соотношения между длиной и диаметром катушки (рис. 35,б).

Собственная емкость секционированной катушки при расстояниях между секциями, примерно равных длине намотки, равна:

$$C_0 = C_c \frac{0,33n + 0,67}{n},$$

где C_c — собственная емкость отдельной секции, $n\phi$;
 n — число секций.

На рис. 36 показан график зависимости собственной емкости универсальных катушек от числа витков.

Взаимная индуктивность и коэффициент связи

Для обеспечения магнитной связи между катушками их располагают так, чтобы оси катушек были параллельны, совпадали или пересекались под острым углом. Если оси двух катушек индуктивности пересекаются под прямым углом, то магнитная связь между ними практически отсутствует. На рис. 37 показаны неко-

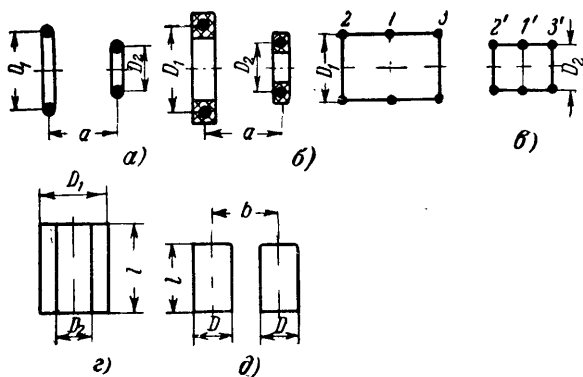


Рис. 37. К расчету взаимной индуктивности между катушками.

торые варианты взаимного расположения катушек индуктивности.

Взаимная индуктивность между смежными коаксиальными витками (рис. 37,а) равна:

$$M \approx D_1 \Phi \cdot 10^{-3},$$

где M — взаимная индуктивность, мкГн ;

D_1 — диаметр большего витка, см ;

Φ — коэффициент, зависящий от соотношения размеров витков и расстояния между ними (рис. 38,а—в).

Взаимная индуктивность между смежными коаксиальными катушками с квадратным или близким к нему сечением (рис. 37,б) равна:

$$M = \omega_1 \omega_2 M_0,$$

где ω_1 и ω_2 — числа витков катушек;

M_0 — взаимная индуктивность между центральными витками, определяемая по формуле для рис. 37,а.

Взаимная индуктивность между длинными однослойными катушками, расположенными близко друг к другу (рис. 37,в), равна:

$$M = \omega_1 \omega_2 D_1 \varphi_0 \cdot 10^{-3},$$

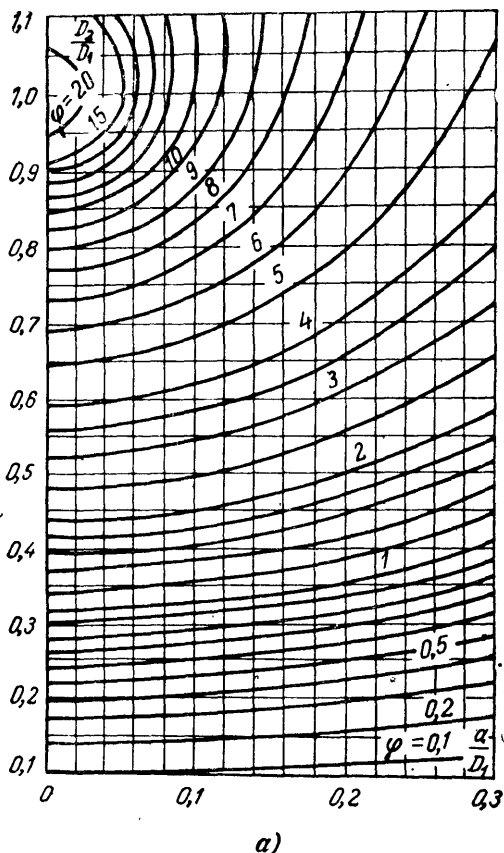
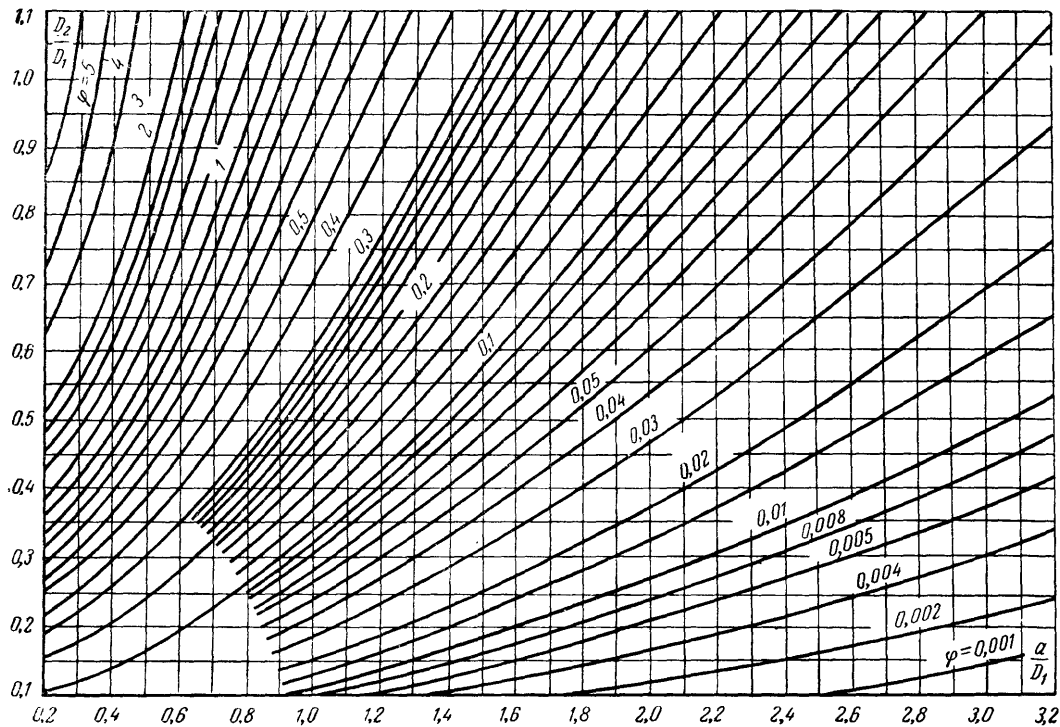


Рис. 38,а. График значений коэффициента φ .



б)

Рис. 38,б.

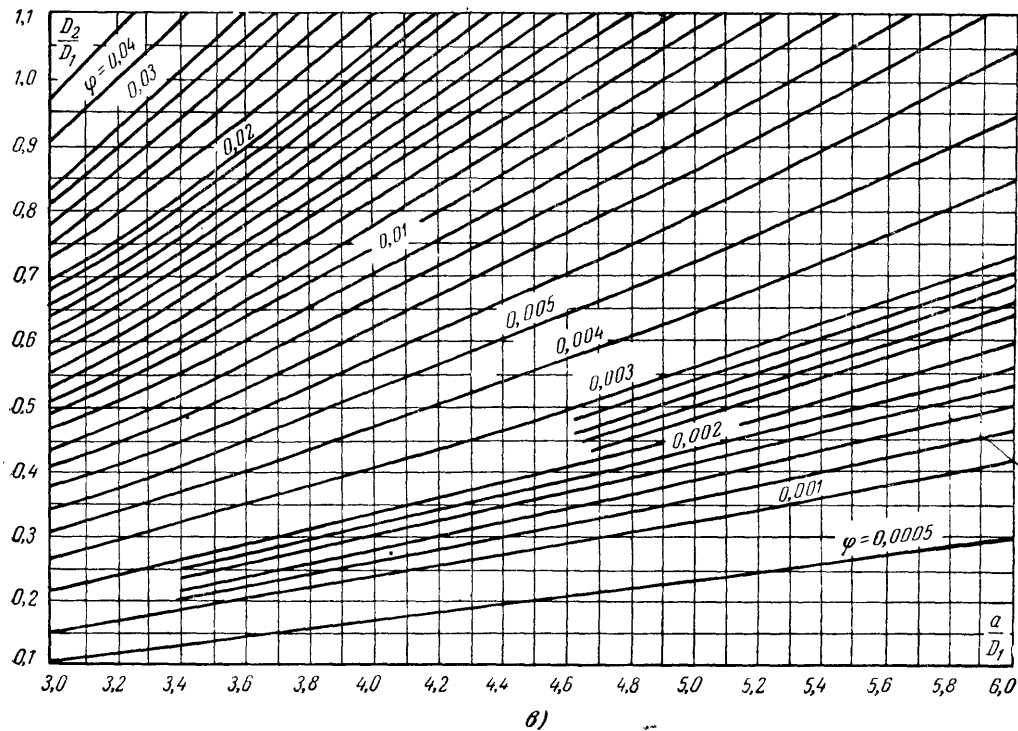


Рис. 38,в.

где

$$\varphi_0 = \frac{1}{6} (\varphi_{11'} + \varphi_{12'} + \varphi_{13'} + \varphi_{1'2} + \varphi_{1'3})$$

есть среднее арифметическое значение φ .

Взаимная индуктивность между однослойными катушками одинаковой длины, расположенными одна внутри другой (рис. 37,е), равна:

$$M = \omega_1 \omega_2 \psi \sqrt{D_1 D_2} \cdot 10^{-2},$$

где ψ — коэффициент, определяемый из графика на рис. 39.

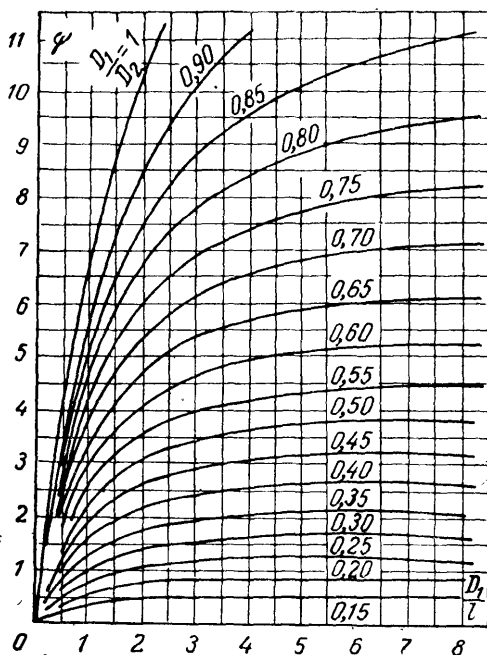


Рис. 39. График значений коэффициента ψ .

Взаимная индуктивность между катушками одинакового размера, оси которых параллельны (рис. 37,д), равна:

$$M = \frac{0,6 \omega_1 \omega_2 D^4}{b^3} \cdot 10^{-2}.$$

Взаимная индуктивность между обмотками, расположенными одна над другой, на общем тороидальном сердечнике равна:

$$M = \frac{12,56 \omega_1 \omega_2 S_T}{l_{cp}},$$

где S_T — сечение тороидального сердечника, $см^2$;

l_{cp} — средняя длина осевой линии сердечника, $см$.

Коэффициент связи между катушками определяется размерами катушек и расстоянием между ними и не зависит от числа витков и типа намотки. Коэффициент связи равен:

$$k = \frac{M}{\sqrt{L_1 L_2}},$$

где M — взаимная индуктивность;
 L_1 и L_2 — индуктивности катушек.

Следует отметить, что величина k всегда меньше единицы.

Добротность катушек индуктивности

Качество катушки характеризуется отношением ее индуктивного сопротивления к активному при заданной частоте ω и индуктивности L . Это соотношение

$$Q = \frac{\omega L}{R} = \frac{X_L}{R}$$

называется добротностью катушки индуктивности.

Индуктивное сопротивление, оказываемое катушкой переменному току, можно рассчитать по формуле

$$X_L = \omega L = 2\pi f L,$$

где X_L — индуктивное сопротивление, *ом*;

f — частота, *гц*;

L — индуктивность катушки, *гн*.

Для тока с частотой 50 *гц* эта формула имеет вид:

$$X_L = 314L,$$

где L — индуктивность катушки, *гн*.

Т а б л и ц а 12

Индуктивные сопротивления катушек на высокой частоте (в *омах*)

Индуктив- ность, мкген	Частота					
	10 Мгц	3 Мгц	1,2 Мгц	600 кгц	200 кгц	30 кгц
25	1 570	470	190	95	31,4	4,7
50	3 140	940	380	190	62,8	9,4
100	6 300	1 890	760	380	125	18,9
200	12 560	3 770	1 500	760	250	38,0
500	31 400	9 400	3 800	1 900	628	94,0
1 000	63 000	18 900	7 600	3 800	1 260	189
5 000	314 000	94 000	38 000	19 000	6 280	940
25 000	1 570 000	470 000	189 000	94 200	31 400	4 700
100 000	6 300 000	1 890 000	756 000	378 000	126 000	18 900

В табл. 12 приведены значения индуктивных сопротивлений для различных величин индуктивностей как для низких, так и высоких частот. На рис. 40 показана номограмма для определения индуктивных сопротивлений катушек индуктивности.

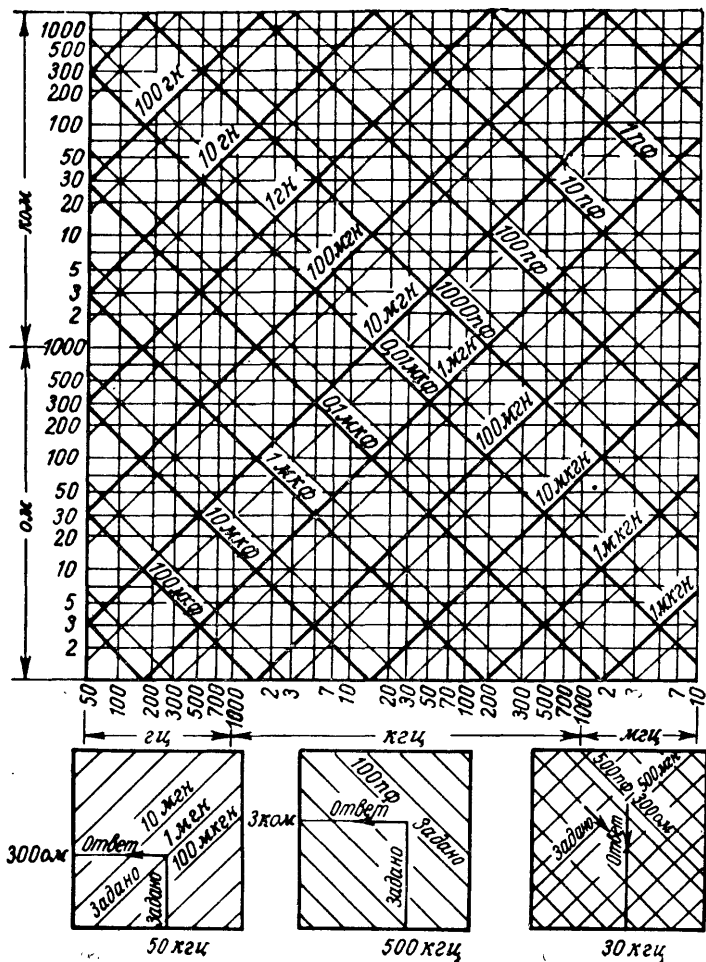


Рис. 40. Номограмма для расчета индуктивного сопротивления катушек.

Активное сопротивление катушки R складывается из сопротивления провода токам высокой частоты, сопротивления вносимого диэлектрическими потерями в каркасе, сопротивления вносимого собственной емкостью катушки и др.

Индуктивные сопротивления катушек на низкой частоте (в омах)

Индуктивность, мкГ	Частота, Гц					
	50	250	1 000	2 500	5 000	10 000
0,1	31	157	682	1 570	3 140	6 280
0,25	78	390	1 570	9 900	7 850	15 700
1,0	314	1 570	6 280	15 700	31 400	62 800
5,0	1 570	7 850	31 400	78 500	157 000	314 000
25,0	7 850	39 000	157 000	390 000	785 000	1 510 000
100,0	31 400	157 000	638 000	1 570 000	3 140 000	6 280 000

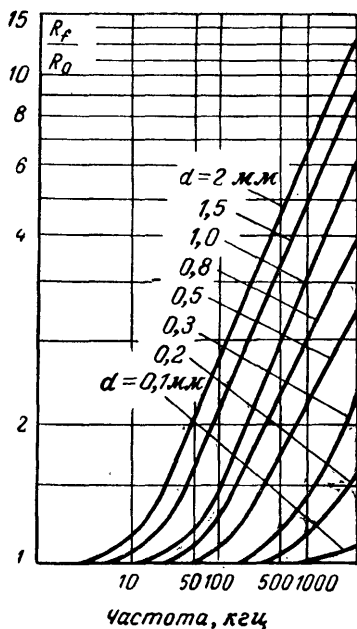


Рис. 41. График зависимости сопротивления медного провода от частоты.

Величина полного активного сопротивления катушки может колебаться в широких пределах. Для катушек средневолнового диапазона, имеющих индуктивность около 200 мкГн, полное активное сопротивление лежит в пределах от 3 до 50 ом. Длинноволновые катушки, имеющие индуктивность около 2 000 мкГн, обладают сопротивлением от 15 до 150 ом.

Переменное магнитное поле вызывает внутри проводника против-э. д. с., приводящие к неравномерному распределению тока по поперечному сечению проводника. Кроме того, в проводнике возбуждаются вихревые токи и происходит потеря мощности. В результате этого ток по сечению проводника сосредоточивается главным образом в поверхностных слоях. Неравномерное распределение тока уменьшает действующее сечение проводника и тем самым увеличивает его сопротивление. Сопротивление провода току высокой частоты может быть в несколько раз выше его сопротивления постоянному току. На рис. 41 показана зависимость увеличения сопротивления медных проводов от частоты.

Сопротивление одного погонного сантиметра медного провода круглого сечения току высокой частоты равно:

$$R_f = 83,2 \frac{\sqrt{f}}{d} 10^{-6},$$

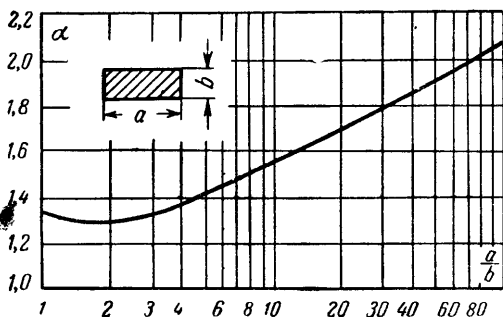


Рис. 42. График значений коэффициента α .

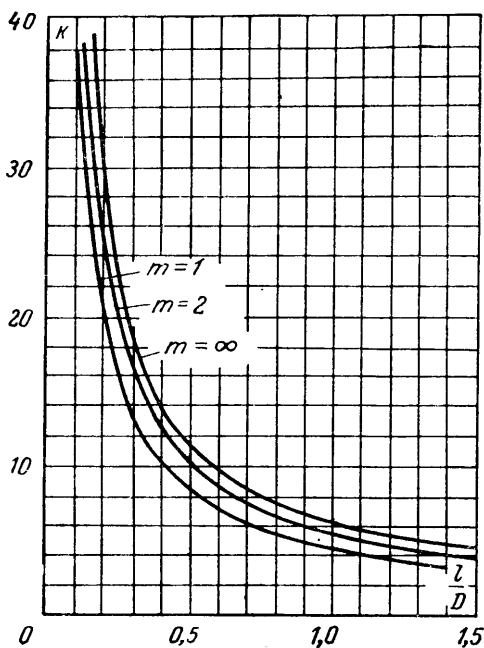


Рис. 43. График значений коэффициента k для расчета сопротивления однослойных и тонких многослойных катушек (m — число слоев).

где f — частота, Мгц ;

d — диаметр провода, см .

Сопротивление провода прямоугольного сечения

$$R_f = \frac{1,3\alpha \sqrt{f}}{a+b} 10^{-4},$$

где f — частота, Мгц ;

α — поправочный коэффициент, значения которого приведены на рис. 42;

a и b — размеры сечения провода, см .

Сопротивление провода катушки току высокой частоты как при однослойной, так и при многослойной намотках при частотах до 10 Мгц равно:

$$R_f = R_0 \left[F + \left(\frac{k\omega d}{2D} \right)^2 G \right],$$

где R_0 — сопротивление провода постоянному току, ом ;

d — диаметр провода без изоляции, см ;

ω — число витков катушки;

D — диаметр однослойной катушки или наружный диаметр многослойной катушки, см ;

k — поправочный коэффициент.

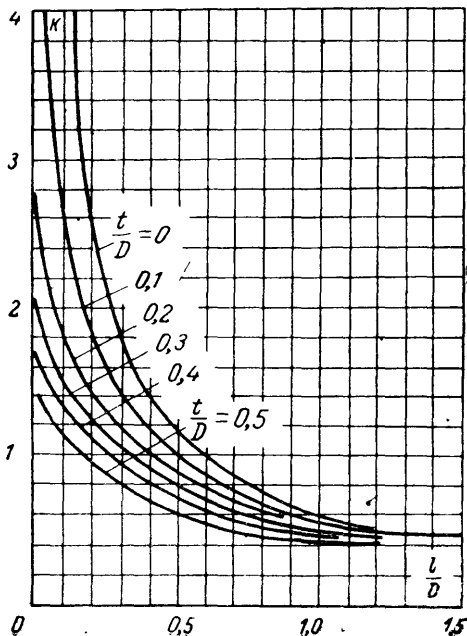


Рис. 44. График значений коэффициента k для расчета сопротивления многослойных катушек.

Значения коэффициента k для однослойных и тонких многослойных с небольшим числом витков катушек показаны на рис. 43, а для обычных многослойных — на рис. 44.

Коэффициент F определяет сопротивление с учетом поверхностного эффекта, а коэффициент G учитывает потери на вихревые токи. При увеличении диаметра провода его сопротивление го- кам высокой частоты из-за поверхностного эффекта будет уменьшаться, а из-за вихревых токов будет возрастать весьма значительно. При уменьшении диаметра провода произойдет обратное явление. Таким образом, существует некоторый диаметр провода на заданной частоте, называемый оптимальным, при котором F и G минимальны. Значения коэффициентов F и G для медного провода опти-

мального диаметра определяются по табл. 13 при помощи параметра

$$z = 0,106d\sqrt{f},$$

где d — диаметр провода, см;

f — частота, гц.

Таблица 13

Значения коэффициентов F и G

z	F	G	z	F	G
0,1	1,000	—	5,0	2,049	0,7550
0,5	1,000	0,00097	6,0	2,394	0,9316
0,8	1,002	0,00632	7,0	2,743	1,109
1,0	1,005	0,01519	8,0	3,094	1,287
1,3	1,015	0,0413	9,0	3,446	1,464
1,5	1,026	0,0681	10,0	3,799	1,641
1,8	1,052	0,1265	15,0	5,562	2,525
2,0	1,078	0,1724	20,0	7,328	3,409
2,3	1,131	0,2462	25,0	9,094	4,317
2,5	1,175	0,2949	30,0	10,86	5,177
2,8	1,256	0,3632	40,0	14,40	6,946
3,0	1,318	0,4049	50,0	17,93	8,173
3,5	1,442	0,4987	70,0	25,00	12,25
4,0	1,678	0,5842	90,0	32,07	15,78
4,5	1,863	0,6687	100,0	35,61	17,75

Расчет сопротивления катушек КВ и УКВ, намотанных с шагом, производится по формуле

$$R_f = \frac{0,525Dw\sqrt{f}}{d} 10^{-3},$$

где R_f — сопротивление катушки, ом;

D — диаметр катушки, см;

d — диаметр провода, см;

f — частота, Мгц.

Сопротивление току высокой частоты катушек, намотанных литцендратом, равно:

$$R_f = R_0 \left\{ F + \left[\frac{c}{d_0^2} + \left(\frac{kw}{2D} \right)^2 \right] nd^2 G \right\},$$

где R_0 — сопротивление катушки постоянному току, ом;

d — диаметр отдельной жилы, см;

n — число жил;

d_0 — полный наружный диаметр литцендрата, см;

c — коэффициент, зависящий от числа жил, значения которого приведены в табл. 14.

Ориентировочно полный диаметр литцендрата рассчитывается по формуле

$$d_0 \approx 1,35d\sqrt{n}.$$

Как видно из приведенных формул, совместное действие эффекта вихревых токов и поверхностного эффекта приводит к значитель-

Значения коэффициента c_k

n	3,0	7,0	9,0	15	19	27	27
c	1,55	1,817	1,84	1,88	1,90	1,92	2,0

ному увеличению активного сопротивления катушек. При совместном действии этих двух эффектов изменение сопротивления катушки в значительной мере подчиняется закону \sqrt{f} , так что сопротивление катушки R_{f1} при частоте f_1 относится к ее сопротивлению R_{f2} при частоте f_2 как

$$\frac{R_{f1}}{R_{f2}} = \sqrt{\frac{f_1}{f_2}}.$$

Добротность катушек индуктивности, определяемая совокупным действием ее индуктивности, активного сопротивления и собственной емкости, не будет линейно зависеть от частоты. Как правило, у всех катушек наблюдается при определенных частотах максимальное значение добротности, которое зависит от конструкции катушки.

Для повышения добротности катушек большое значение имеет выбор оптимального соотношения размеров. Для однослойных катушек рекомендуется выбирать отношение длины намотки к диаметру в пределах 0,7—1,0.

Для многослойных катушек рекомендуются следующие соотношения размеров:

$$\frac{l}{D} = 0,2 \div 0,5; \quad \frac{t}{D} = 0,5 \div 1,0.$$

Добротность катушек может быть повышена при использовании для их намотки литцендрата. В многожильном проводе уменьшаются потери на вихревые токи и на поверхностный эффект. Применение литцендрата оправдывается до частот 1—1,5 МГц.

Коротковолновые катушки

Коротковолновые катушки, как правило, выполняются однослойными и наматываются медным проводом.

Сопротивление этих катушек переменному току равно:

$$R_f = \frac{Dw \sqrt{f}}{380} \left(1 - \frac{w^2 d^2}{50 l^2} \right),$$

где D — диаметр намотки, см;

w — число витков;

f — частота, МГц;

d — диаметр провода, мм;

l — длина намотки, см.

Если катушка используется при частотах, близких к собственной частоте катушки, то следует вносить поправку в действующее сопротивление обмотки

$$R_{f1} = \frac{R_f}{\left(1 - \frac{fLC_0}{25300}\right)^2},$$

где L — индуктивность катушки, мкГн ;
 C_0 — собственная емкость катушки, пФ .

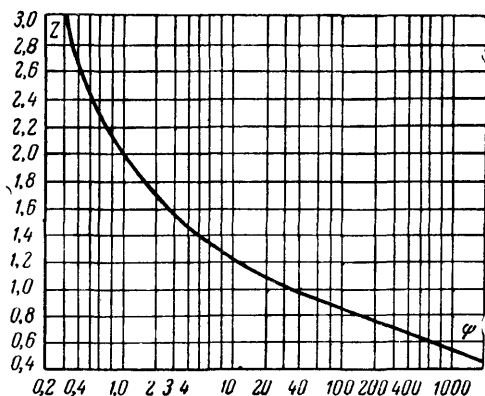


Рис. 45. График зависимости $z_{\text{онт}}$ от коэффициента ψ .

Индуктивность катушки при заданных размерах и числе витков

$$L = \frac{Dw^2}{102p + 45},$$

где p — отношение длины намотки к диаметру катушки.

Сопротивление катушки при заданной форме намотки и индуктивности равно:

$$R_f = \frac{\sqrt{f}}{380d} \left[\sqrt{LD(102p + 45)} + \frac{d^2 \sqrt{L(102p + 45)^3}}{50p^2 \sqrt{D^5}} \right].$$

Расчет оптимального диаметра провода сводится к определению вспомогательного коэффициента

$$\psi = \left(\frac{k\omega}{2z'D} \right)^2,$$

где k — коэффициент, определяемый по графикам на рис. 43;

$$z' = 0,106 \sqrt{f}.$$

При помощи коэффициента ψ по графику на рис. 45 находят величину $z_{\text{опт}}$. Диаметр провода находится по формуле

$$d_{\text{опт}} = \frac{z_{\text{опт}}}{z'}.$$

При $\psi > 2000$

$$z_{\text{опт}} = \frac{2}{\sqrt[3]{2\psi}},$$

а при $\psi < 0,3$

$$z_{\text{опт}} = \sqrt{\frac{2}{\psi}} + 0,71.$$

Полученное значение оптимального диаметра округляется до ближайшего стандартного.

Оптимальный диаметр провода катушек, намотанных с шагом, зависит от шага намотки и размеров катушки. В случае круглого провода

$$d_{\text{опт}} = \frac{\tau}{k_1},$$

где τ — шаг намотки;

k_1 — коэффициент, значения которого приведены на рис. 46.

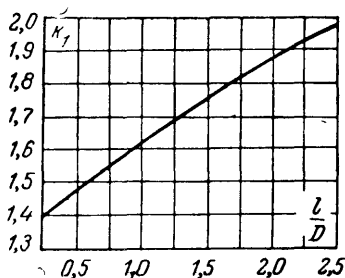


Рис. 46. График значений коэффициента k_1 .

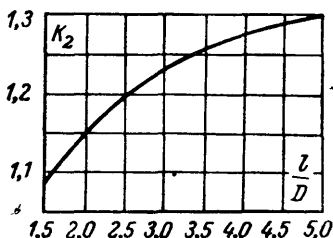


Рис. 47. График значений коэффициента k_2 .

Сопротивление и добротность катушки, намотанной таким проводом, будут равны:

$$R_f = \frac{7,4w^2 \sqrt{f}}{p} \cdot 10^{-4};$$

$$Q = 8,5DL_0p \sqrt{f}.$$

В случае плоского провода (ленты)

$$a_{\text{опт}} = \frac{\tau}{k_2},$$

где $a_{\text{опт}}$ — оптимальная ширина ленты;

k_2 — коэффициент, значения которого приведены на рис. 47.

Сопротивление катушки из такой ленты равно:

$$R_f = \frac{0,5\omega^2 \sqrt{f\rho}}{p},$$

а ее добротность

$$Q = 12,6DL_p \sqrt{\frac{f}{\rho}} 10^{-3},$$

где ρ — удельное электросопротивление материала ленты.

Добротность катушки для любого диаметра провода равна:

$$Q = \frac{2400 \sqrt{f} L p^2 d D}{\omega \left(l^2 + \frac{\omega^2 d^2}{50} \right)}.$$

Если, задавшись величиной индуктивности, формой намотки и диаметром провода, подбирать размеры катушки, то оптимальным диаметром обмотки явится:

$$D_{\text{опт}} = \sqrt{\frac{Ld(102p + 45)}{10p^2}}.$$

Следует отметить, что при расчете по вышеприведенным формулам не учитываются потери в изоляции провода, материале каркаса и др. Поэтому фактические значения сопротивления и добротности отличаются от расчетных. Сопротивление катушки на высокой частоте больше расчетного, а добротность соответственно меньше.

Катушки с магнитными сердечниками

Магнитные сердечники, введенные в катушку, увеличивают ее индуктивность. Кроме того, катушки с сердечниками имеют меньшее число витков при заданной индуктивности, большую добротность и незначительные размеры. Катушка с сердечником обладает более сосредоточенным магнитным полем, благодаря чему уменьшается магнитная связь между контурами в различных каскадах. Преимуществом таких катушек является возможность подстройки индуктивности путем перемещения сердечника внутри катушки. Магнитные сердечники для катушек изготовляют из магнитодиэлектриков и из ферритов.

Магнитодиэлектрики изготовляют из размельченного вещества, содержащего железо, отдельные частицы которого механически связаны между собой каким-либо диэлектриком. Диэлектрик осуществляет изоляцию частиц друг от друга и придает форму сердечнику. Наиболее известны магнитодиэлектрики из альсифера и карбонильного железа.

Альсифер отличается хорошими электрическими и магнитными показателями. Магнитодиэлектрики на основе альсифера имеют отрицательный температурный коэффициент магнитной проницаемости, что позволяет компенсировать положительный температурный коэффициент индуктивности катушек. Для применения на длинных волнах предназначен альсифер РЧ-9, на средних и коротких волнах — РЧ-6.

Карбонильное железо получается прессованием порошкообразного карбонильного железа с бакелитом, стиролом или аминопластом. Сердечники из карбонильного железа применяются на частотах до 30—50 Мгц. Карбонильное железо Р-2 предназначено для использования в катушках УКВ, а Р-8 — в катушках длинных и средних волн.

Ферриты представляют собой полупроводниковую керамику, получаемую путем прессования и обжига смеси из солей и окислов, в состав которых входит никель, марганец, литий, медь и др. Ферриты обладают высокой магнитной проницаемостью и высоким удельным электросопротивлением, что обеспечивает малые потери на вихревые токи даже на очень высоких частотах.

На радиочастотах наиболее употребительны никель-цинковые (НЦ), марганцево-цинковые (МЦ), литий-цинковые (ЛЦ) и медно-цинковые (МЦ) ферриты. Марганцево-цинковые ферриты используются в основном на частотах до 100 кгц. Медно-цинковые и литий-цинковые ферриты обладают невысокой магнитной проницаемостью (100—200) и используются в основном на коротких волнах. Свинцово-никелевые ферриты применяются на КВ и УКВ, причем на КВ с проницаемостью 50—200, а на УКВ — с проницаемостью 5—25.

Свойства высокочастотных магнитных материалов характеризуются эффективной магнитной проницаемостью, диапазоном рабочих частот, потерями и стабильностью.

Эффективную магнитную проницаемость определяют, измеряя индуктивность катушки с сердечником L_c и без него L_0 , с последующим вычислением по формуле

$$\mu_{эфф} = \frac{L_c}{L_0}.$$

Для сердечников простых конфигураций, например цилиндрических, величина $\mu_{эфф}$ может быть рассчитана, а для более сложных конфигураций определяется только опытным путем.

Магнитный сердечник увеличивает полное сопротивление катушки, причем это увеличение происходит из-за потерь на гистерезис, вихревых токов, высокочастотных потерь в диэлектрике. Потери на гистерезис зависят от напряженности магнитного поля H , а потери на вихревые токи и в диэлектрике — от частоты. Общее сопротивление потерь R_c определяется по тангенсу угла

$$\operatorname{tg} \delta_c = \frac{R_c}{\omega L},$$

измеренному на катушке с тороидальным сердечником. Величина, обратная $\operatorname{tg} \delta_c$, называется добротностью сердечника, т. е.

$$Q_c = \frac{1}{\operatorname{tg} \delta_c}.$$

Диэлектрические потери в ферритах не поддаются точному расчету, но они оказывают влияние на общие потери. Так, для ферритов 600НН и 100НН величина $\operatorname{tg} \delta_d$ на частоте 0,5 Мгц составляет 0,35 и 0,31 соответственно. С повышением частоты диэлектрические потери уменьшаются.

Стабильность магнитных материалов характеризуется изменением проницаемости и потерь под влиянием температуры, влажности, а также изменением с течением времени. Под влиянием температуры

изменяется главным образом магнитная проницаемость. Температурную стабильность магнитных материалов принято характеризовать температурным коэффициентом магнитной проницаемости

$$TK_{\mu} = \frac{\Delta\mu}{\mu\Delta t^{\circ}}$$

где $\Delta\mu$ — изменение магнитной проницаемости при изменении температуры на Δt° .

Катушки индуктивности с цилиндрическими магнитными сердечниками

К этому типу катушек относятся высокочастотные дроссели, катушки магнитных антенн, катушки фильтров промежуточной частоты и некоторые разновидности контурных катушек. Сердечники катушек изготовляют из карбонильного железа или феррита.

Сердечники из карбонильного железа (рис. 48) обозначаются СЦР (сердечники цилиндрические с резьбой), СЦГ (сердечники цилиндрические гладкие) и СЦТ (сердечники цилиндрические трубчатые). Основные данные цилиндрических карбонильных сердечников приведены в табл. 15.

Стержневые ферритовые сердечники изготовляются из материала марки 1000НН и 600НН следующих типоразмеров: СС1,2×10; СС1,8×12; СС3,5×20; СС3,5×30. Первое число в обозначении типоразмера указывает диаметр, а второе — длину сердечника в миллиметрах.

Для расчета дросселей с цилиндрическими сердечниками из феррита необходимо знать эффективную проницаемость $\mu_{эфф}$. На рис. 49 показаны кривые зависимости эффективной проницаемости от отношения длины сердечника к его диаметру. Зная эффективную проницаемость и полагая, что однослойная обмотка полностью покрывает сердечник, число витков обмотки рассчитывают по формуле

$$w = \sqrt{\frac{L_{др}}{k'D_{к}\mu_{эфф}}},$$

где $L_{др}$ — требуемая индуктивность дросселя, мкГн;

$D_{к}$ — диаметр обмотки, см.

Коэффициент k' определяется из графика на рис. 50, где $l_{к}$ и $D_{к}$ — длина и диаметр обмотки.

Цилиндрические ферритовые сердечники широко применяются в качестве антенн для радиоприемных устройств. Эффективная магнитная проницаемость антенных стержней лежит в пределах от 2 000

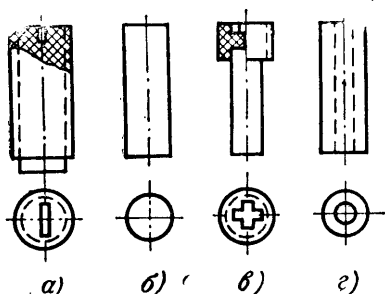


Рис. 48. Карбонильные цилиндрические сердечники.

а — СЦР; б и в — СЦГ; г — СЦТ.

Основные данные цилиндрических карбонильных сердечников

Тип сердечника	Размеры, мм		Среднее значение эффективной магнитной проницаемости сердечника, μ_e		Среднее значение добротности катушек	
	D	l	Класса А	Класса Б	Класса А	Класса Б
СПР-1	1М6	10	1,50	1,70	130	90
СПР-2	1М6	19	1,65	1,95	135	92
СПР-3	1М7	10	1,60	1,70	130	100
СПР-4	1М7	19	1,75	1,95	140	97
СПР-5	1М8	10	1,60	1,70	130	105
СПР-6	1М8	19	1,80	1,90	145	105
СПР-7	1М9	10	1,50	1,65	140	105
СПР-8	1М9	19	1,75	1,85	145	110
СПГ-1	9,3	10	2,10	2,10	160	130
СПГ-2	9,3	19	2,45	2,35	185	137
СПТ-1	9,3	10	2,00	2,00	160	130
СПТ-2	9,3	19	2,35	2,20	180	137

до 20. Основным параметром, определяющим качество антенны, которым необходимо руководствоваться при выборе марки феррита, является тангенс угла потерь материала сердечника в заданной

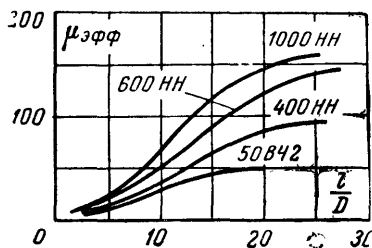


Рис. 49. График зависимости эффективной магнитной проницаемости от отношения l/D для сердечников из ферритов с различной магнитной проницаемостью.

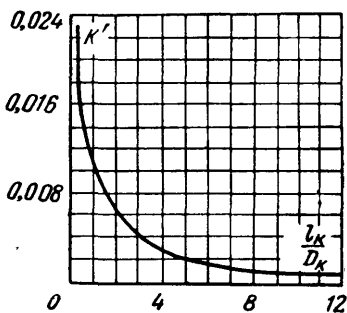


Рис. 50. График зависимости коэффициента k от соотношения l_k/D_k .

области частот. Основные параметры антенных стержней при диаметре 8 и длине 160 мм из марганцево-цинковых и никель-цинковых ферритов приведены в табл. 16.

Наиболее широкое применение получили следующие размеры ферритовых сердечников для антенн радиоприемной аппаратуры.

Сечение стержней	Длина l , мм
Круглое $D = 8$ мм	60, 65, 80, 100, 125, 140, 160
Круглое $D = 10$ мм	200
Прямоугольное 16×4 мм	80, 100, 125
Прямоугольное 20×3 мм	115, 125
Прямоугольное 25×5 мм	160, 200

Таблица 16

Основные параметры антенных стержней для различных диапазонов длин волн

Диапазон частот радиовещательно- го приемника	Частота f , Мгц		Длина волны, м		Марка феррита	$\mu_{эфф}$	$\text{tg } \delta \cdot 10^{-3}$	L , мкГн	Q
	мини- мальная	макси- мальная	макси- мальная	мини- мальная			при $f_{\text{макс}}$		
СДВ	0,01	0,15	30 000	2 000	2000НМ1	100	2	—	—
ДВ	0,15	0,408	2 000	735	2000НМ1	100	5	4 100	120
СВ	0,52	1,6	575	187	700НМ	140	4	370	120
КВ	4,0	12,0	75	25	150ВЧ	80	8	5,5	100
КВ	6,0	18,0	50	17	100ВЧ	65	6	2,2	140
КВ	9,0	27,0	33	11	50ВЧ2	40	4	0,8	180
УКВ	66	73	4,55	4,1	30ВЧ2	30	25	0,15	160

При конструировании катушек индуктивности с цилиндрическими сердечниками следует иметь в виду, что произведение $\mu_{эфф} Q = \text{const}$ в рабочем диапазоне частот. Это обстоятельство позволяет, изменяя соотношение l/D , добиться необходимого значения добротности катушки.

Катушки индуктивности с кольцевыми сердечниками

Наиболее полное использование магнитных свойств материала сердечника дает кольцевой (тороидальный) сердечник. Катушки индуктивности с кольцевыми сердечниками применяются в тех случаях, когда требуется максимальная индуктивность при минимальных размерах катушки. Достоинством тороидальных катушек является большая добротность и практически полное отсутствие внешнего поля рассеяния. Последнее устраняет необходимость экранирования катушек. Достоинством также является возможность получения сильной связи между обмотками, расположенными на одном сердечнике, а недостатком — сложность намотки и невозможность плавной регулировки индуктивности. Тороидальные сердечники выполняются из ферритов и альсиферов.

Сердечники из альсифера применяются на частотах до 1—1,5 Мгц. На более высоких частотах добротность катушек с альсифера

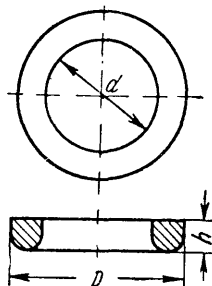


Рис. 51. Тороидальный сердечник из альсифера.

Размеры альсиферовых кольцевых сердечников

Наружный диаметр D , мм	Внутренний диаметр d , мм	Высота h , мм	Площадь сечения сердечника S_c , см ²
15	7	4,8	0,175
15	7	6,8	0,250
19	11	4,8	0,175
19	11	6,7	0,250
24	13	5,2	0,250
24	13	7,0	0,350
36	25	7,5	0,380
36	25	9,7	0,500
44	28	7,2	0,500
44	28	10,3	0,750
55	32	8,2	0,800
55	32	9,7	1,00
55	32	11,7	1,20
64	40	9,7	1,00
64	40	14,0	1,50
75	46	12,0	1,50
75	46	16,8	2,20

феровыми сердечниками ниже, чем с сердечниками из карбоильного железа. Размеры тороидальных сердечников из альсифера (рис. 51) приведены в табл. 17. Основные параметры сердечников приведены в табл. 18. Буквы в обозначении марки альсифера означают: ТЧ — тональная частота, ВЧ — высокая частота, К — компенсированный температурный коэффициент магнитной проницаемости. Наряду с двумя цветными полосами в маркировке альсиферового сердечника существует знак в виде одной полосы. Альсиферовые сердечники с одной маркировочной полосой применяются для изготовления катушек фильтров, которые используются в аппаратуре проводной связи.

Таблица 18

Основные параметры альсиферов

Тип сердечника	Начальная магнитная проницаемость μ_0	Максимальная рабочая частота, кГц	Коэффициент потерь на гистерезис δ_T	Маркировочный знак
ТЧ-60	55—60	10	$6 \cdot 10^{-5}$	Две черные полосы
ТЧК-55	50—60	10	$6 \cdot 10^{-5}$	„ красные „
ВЧ-32	30—34	50	$2,5 \cdot 10^{-5}$	„ белые „
ВЧ-22	20—24	100	$1,2 \cdot 10^{-5}$	„ зеленые „
ВЧК-22	20—24	100	$1,2 \cdot 10^{-5}$	„ желтые „

Число витков катушек индуктивности с тороидальными сердечниками из альсифера определяется по формуле

$$\omega = A \sqrt{L},$$

где A — коэффициент, значения которого приведены в табл. 19;
 L — заданная индуктивность, мГн .

Таблица 19

Значения коэффициента A

ТЧ-60	ТЧК-55	ВЧ-32	ВЧК-22	Диаметр, мм		Диаметр провода с изоляцией, мм	Средняя длина витка, см	Сечение, см^2
Коэффициент A				наружный	внутренний			
104	109	142	172	64	40	$\frac{28}{\sqrt{\omega}}$	8,28	2,0
93	97	126	154	64	40	$\frac{28}{\sqrt{\omega}}$	9,2	2,5
85	89	116	140	64	40	$\frac{18}{\sqrt{\omega}}$	9,9	3,0
107	111	146	176	55	32	$\frac{18}{\sqrt{\omega}}$	7,26	1,6
95	100	130	157	55	32	$\frac{16}{\sqrt{\omega}}$	7,58	2,0
87	91	119	143	55	32	$\frac{16}{\sqrt{\omega}}$	8,26	2,4
123	128	168	202	44	28	$\frac{16}{\sqrt{\omega}}$	6,00	1,0
110	114	150	181	44	28	$\frac{16}{\sqrt{\omega}}$	6,66	1,25
100	99	137	165	44	28	$\frac{13}{\sqrt{\omega}}$	7,16	1,5
133	139	182	220	36	25	$\frac{13}{\sqrt{\omega}}$	5,30	0,72
129	135	177	214	36	25	$\frac{7}{\sqrt{\omega}}$	5,50	0,76
113	118	154	186	36	25	$\frac{7}{\sqrt{\omega}}$	6,38	1,0
124	130	170	205	24	13	$\frac{5,5}{\sqrt{\omega}}$	3,55	0,5
104	108	142	171	24	13	$\frac{5,5}{\sqrt{\omega}}$	4,27	0,72
134	140	183	221	19	11	$\frac{1}{\sqrt{\omega}}$	3,0	0,54
112	117	154	185	19	11	$\frac{1}{\sqrt{\omega}}$	3,8	0,72

Исходя из средней длины витка $l_{\text{ср}}$ для данного типоразмера сердечника, приведенной в табл. 19, можно определить длину обмоточного провода $l_{\text{пр}} = l_{\text{ср}} \omega$.

Длину провода необходимо находить исходя из того, что намотка подобных катушек производится специальным челноком, на который предварительно наматывается провод. Диаметр провода определяется по формулам, приведенным в табл. 19.

Тороидальные сердечники из феррита подразделяются на четыре основных типа, характеризующихся различным отношением наружного диаметра D к внутреннему d . Наименование тороидальных сердечников составляется из буквы К и трех цифр, обозначающих соответственно наружный диаметр, внутренний диаметр и высоту сердечника; все линейные размеры выражаются в миллиметрах. Наиболее распространенные типоразмеры ферритовых тороидальных сердечников приведены в табл. 20.

Размеры тороидальных сердечников

D/d	Типоразмер	$l_{\text{ср}}, \text{ см}$	$S_{\text{с}}, \text{ см}^2$	$S_0, \text{ см}^2$
2,5	K2,5×1×0,8	0,55	0,06	0,0785
	K2,5×1×1,2		0,09	
	K4,0×1,6×1,2	0,88	0,0144	0,0201
	K4,0×1,6×1,8		0,0216	
	K6×2,5×1,8	1,33	0,0315	0,0491
	K6×2,5×2,8		0,049	
	K10×4×3	2,2	0,09	0,0126
	K10×4×4,5		0,135	
	K15×6×4,5	3,3	0,203	0,283
	K15×6×7		0,315	
2	K1,2×0,6×0,4	0,27	0,0012	0,00283
	K2×1×0,5	0,47	0,0025	0,00785
	K3,2×1,6×0,8	0,75	0,0064	0,0201
	K5×2,5×1,2	1,18	0,015	0,0491
	K8×4×2	1,85	0,04	0,0126
	K12×6×3	2,82	0,09	0,283
	K20×10×5	4,71	0,25	0,785
	K32×16×8	7,55	0,64	2,01
	K50×25×6	11,8	0,75	4,91
	K50×25×9	11,8	1,13	4,91
1,6	K1×0,6×0,3	0,25	0,0006	0,00283
	K1,6×1×0,3	0,40	0,0009	0,00785
	K2,5×1,6×0,5	0,64	0,0022	0,0201
	K4×2,5×0,8	1,02	0,0060	0,0314
	K7×4×1,5	1,75	0,0225	0,126
	K10×6×2	2,51	0,04	0,283
	K16×10×3	4,09	0,09	0,785
	K28×16×6	6,92	0,36	2,01
	K40×25×7,5	10,2	0,563	4,91
	K65×40×6	16,5	0,7	12,6
	K100×60×10	25,1	2,0	28,3
1,4	K1,4×1×0,4	0,379	0,0008	0,00785
	K2,2×1,6×0,8	0,60	0,0018	0,0201
	K3,5×2,5×1	0,943	0,005	0,0491
	K5,5×4×1,5	1,49	0,0113	0,126

Индуктивность тороидальной катушки с сердечником любого сечения вычисляется по формуле

$$L = \frac{1,26 \mu_c w^2 S_c}{l_{cp}} 10^{-3},$$

где L — индуктивность катушки, мкГн;

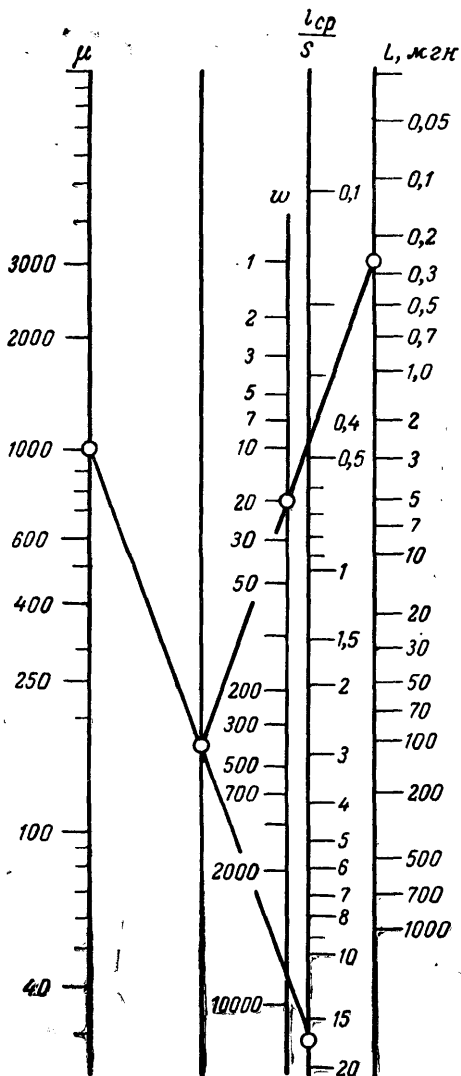


Схема пользования

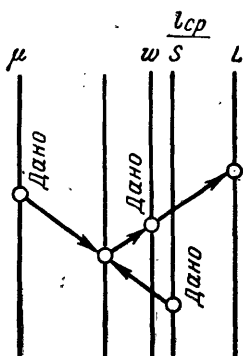


Рис. 52. Номограмма для расчета индуктивности катушек с тороидальными сердечниками.

w — число витков катушки;
 $l_{\text{ср}}$ — длина средней магнитной линии, см;
 S_c — площадь сечения магнитопровода, см²;
 μ_c — магнитная проницаемость сердечника.

Средняя длина магнитной линии определяется по формуле

$$l_{\text{ср}} = \pi \left(\frac{D + d}{2} \right).$$

Площадь сечения магнитопровода равна:
 для тора круглого сечения

$$S_c = 0,25\pi d^2,$$

где d — диаметр сечения магнитопровода, см;
 для тора прямоугольного сечения

$$S_c = bh,$$

где b — ширина сечения магнитопровода, см;
 h — высота тора, см;

для тора прямоугольного сечения со скругленными краями

$$S_c = bh - 0,86r^2,$$

где r — радиус скругления, см.

Для быстрого определения величины индуктивности тороидальных катушек можно воспользоваться номограммой, представленной на рис. 52.

Катушки индуктивности с броневыми сердечниками

Броневые сердечники нашли широкое применение в резонансных контурах и фильтрах радиоэлектронной аппаратуры. Броневые сердечники изготовляют из карбонильного железа или из феррита. Сердечники могут быть с замкнутой и разомкнутой магнитной цепью (рис. 53).

Броневые сердечники с замкнутой магнитной цепью (СБа) позволяют изготовлять катушку меньших размеров, чем катушка той же индуктивности, но без сердечника. Сердечники с разомкнутой магнитной цепью (СБб) обеспечивают большие добротности и могут работать на более высоких частотах.

Броневые сердечники обладают слабым внешним полем, что ослабляет паразитные связи и позволяет приближать экраны к самому сердечнику. Для подстройки индуктивности броневые корпуса сердечников снабжены цилиндрическими подстроечными сердечниками, перемещение которых изменяет индуктивность на 20—

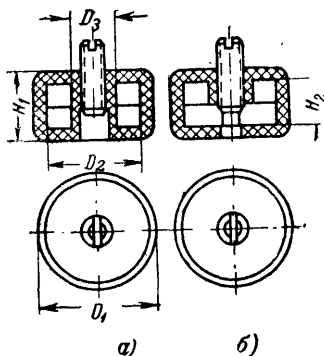


Рис. 53. Броневые сердечники.

a — с замкнутой магнитной цепью (СБа); b — с разомкнутой магнитной цепью (СБб).

30%. Это понижает требования к точности изготовления намотки. Броневые сердечники из карбонильного железа обозначаются СБ, а из ферритов — Б и ОБ.

Броневые сердечники из карбонильного железа типа СБ в зависимости от их размеров делятся на шесть наиболее распространенных видов: СБ-9а, СБ-12а, СБ-23-11а, СБ-23-17а, СБ-28а и СБ-34а. Размеры этих сердечников и их основные данные приведены в табл. 21.

Таблица 21

**Основные данные броневых сердечников
из карбонильного железа**

Размеры, мм	Тип сердечника						
	СБ-9а	СБ-12а	СБ-18а	СБ-21-11а	СБ-23-17а	СБ-28а	СБ-34а
D_1	9,6	12,3	18	23	23	28	34
D_2	7,5	10	14	18,5	18	23	27
D_3	4,6	6	9	11	11	13	13,5
H_1	7,6	11	14,8	11,4	17,4	23,4	28,4
H_2	4,2	8,2	10,4	6,2	12	17	20,4
Подстречник	М3×8	М4×11,5	М5×13,5	1М7×13	1М7×19	1М8×13	1М8×30
μ_0	3	4,5	—	3,7	4,6	4,7	4,5

Число витков катушек с броневыми сердечниками типа СБ можно определить по формуле

$$w = n \sqrt{L},$$

где L — индуктивность катушки, мкГн;

n — постоянная, определяемая размерами сердечника и свойствами магнитного материала.

Для некоторых видов сердечников значения величины n указаны в табл. 22.

Таблица 22

Значения коэффициента n

Тип сердечника	n	Тип сердечника	n
СБ-9а	7,05	СБ-23-17а	4,5
СБ-12а	6,7	СБ-28а	4,3
СБ-23-11а	4,0	СБ-34а	4,4

В табл. 23 указаны максимальные значения индуктивности, которые можно получить с различными видами сердечников при использовании провода различных марок.

На рис. 54—63 показаны графики, позволяющие с достаточной для практических целей точностью определить конструктивные данные, необходимые для намотки катушек с сердечниками СБ-12а—СБ-34а. Графики построены для катушек, в которых применялись каркасы без секций, изготовленные из органического стекла.

Броневые сердечники типа Б изготавливаются из феррита марки 2000НМ1, 2000НМ, 1500НМ2, 1500НМ3 и др. Для диапазона частот

Максимальная индуктивность катушек с броневыми сердечниками типа СБ

Марка провода	Тип сердечника									
	СБ-12а		СБ-23-11а		СБ-23-17а		СБ-28а		СБ-34а	
	ω	L	ω	L	ω	L	ω	L	ω	L
ПЭВ 0,1	570	7	650	24	1 350	95	3 000	440	4 350	920
ПЭВ 0,15	230	1,35	275	4,2	590	17,5	1 300	89	2 290	250
ПЭВ 0,2	108	0,24	144	1,1	375	6,9	700	23,5	1 090	57
ПЭЛШО 0,1	164	0,56	210	2,5	480	11,7	945	47,5	1 610	125
ЛЭШО 7×0,07	58	0,07	67	0,24	160	1,25	386	7,1	616	18

Примечание. ω — число витков; L — индуктивность, мГн.

5—100 Мгц применяются никель-цинковые ферриты группы ВЧ с начальной магнитной проницаемостью от 150 до 20. Для контурных катушек индуктивности рекомендуются термостабильные ферриты марок 20ВЧ и 50ВЧ; некоторые практические данные о катушках

Таблица 24

Основные данные броневых сердечников из феррита

Размеры, мм	Тип сердечника				
	Б6	Б9	Б11	Б14	Б18
D_1	6,5	9	11	14	18
D_2	5,1	7,6	9,4	11,8	14
D_3	2,7	3,5	3,7	6	7,4
H_1	5,6	5,6	6,4	8,4	10,6
H_2	4	4	4,4	5,8	7,4
Подстроечник гладкий	0,9×6	1,5×9	1,5×9	2,5×12	2,5×12

Продолжение табл. 24

Размеры, мм	Тип сердечника				
	Б22	Б26	Б30	Б36	Б48
D_1	22	26	30	36	48
D_2	18,3	21,6	25,4	30,5	40
D_3	9,2	11,3	12,3	16	20
H_1	13,6	16,4	19	22	31,4
H_2	9,4	11,2	13,2	14,8	20,8
Подстроечник гладкий	3,5×16	4,5×20	4,5×22	4,5×22	6,5×32

индуктивности с сердечниками из этих ферритов приведены на рис. 64.

Броневые сердечники из феррита имеют общий объем и высоту примерно в 1,5 раза меньше, чем у близких к ним по размерам сер-

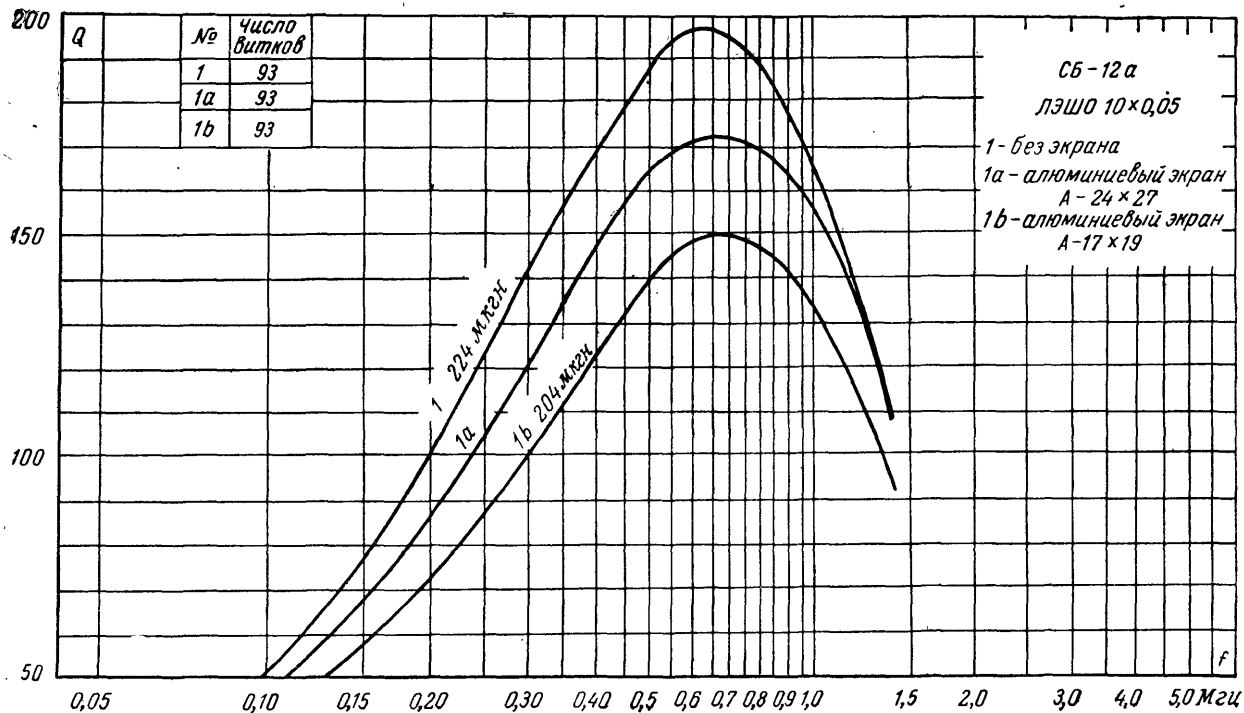


Рис. 54. Частотные характеристики добротности катушек с сердечником СБ-12а.

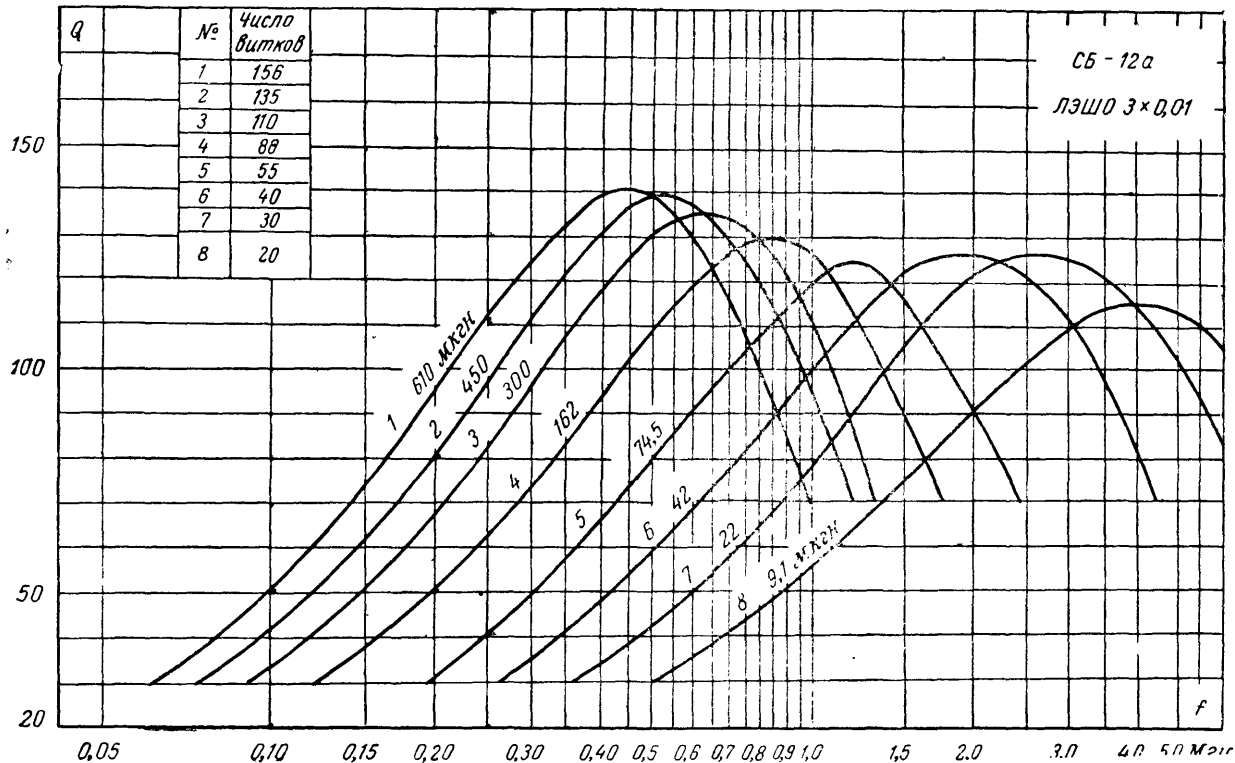


Рис. 55. Семейство частотных характеристик добротности катушек без экрана с сердечником СБ-12а.

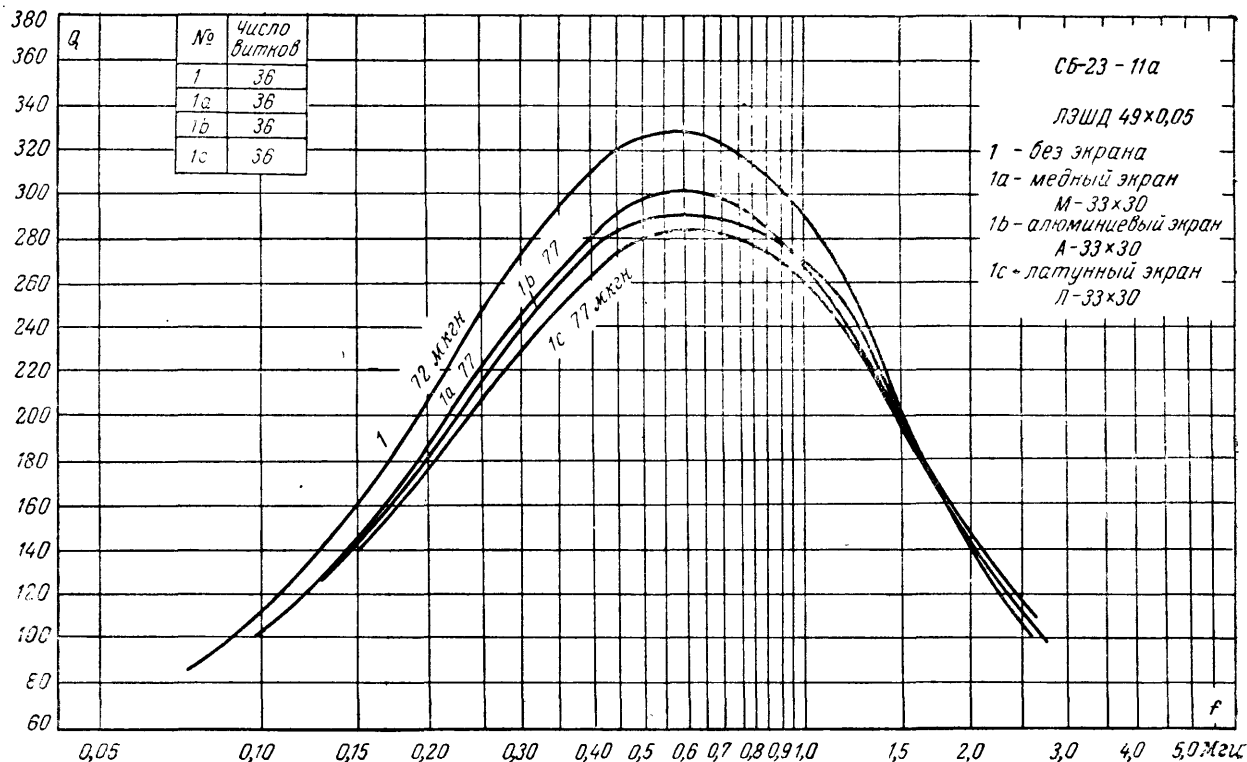


Рис. 56. Частотные характеристики добротности катушек с сердечником СБ-23-11а.

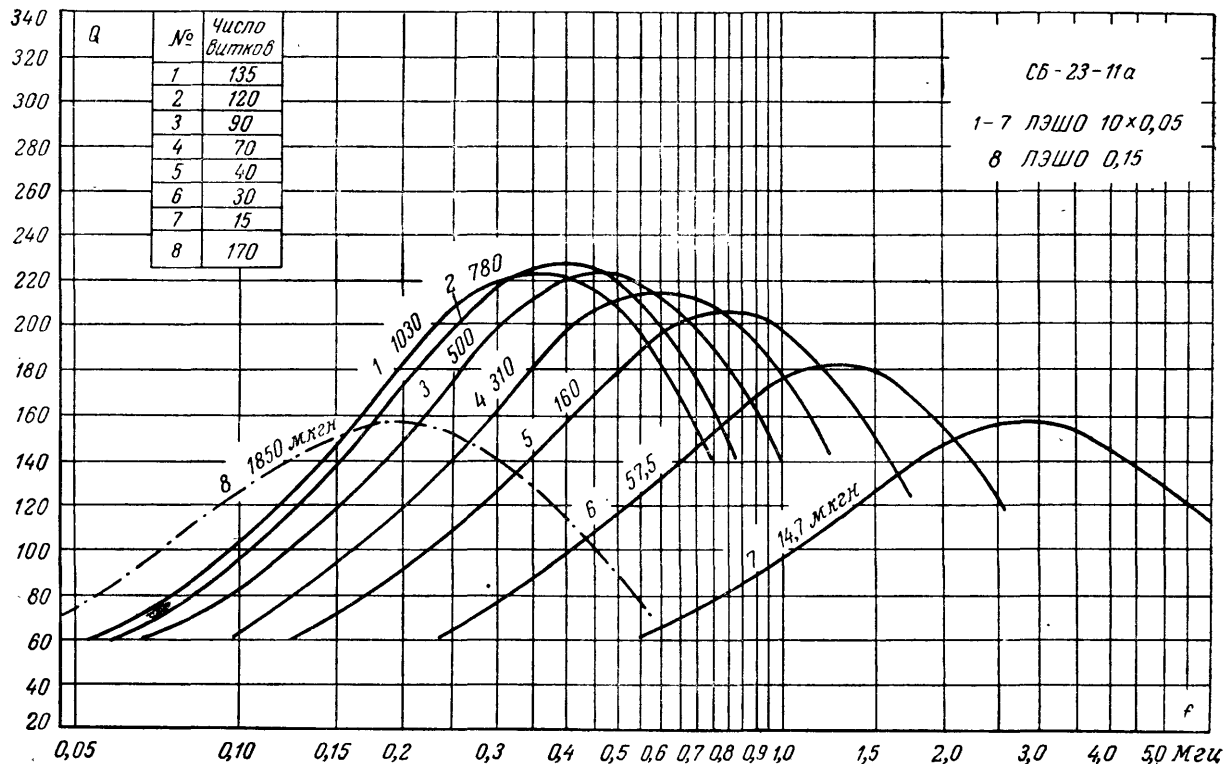


Рис. 57. Семейство частотных характеристик добротности катушек без экрана с сердечником СБ-23-11а.

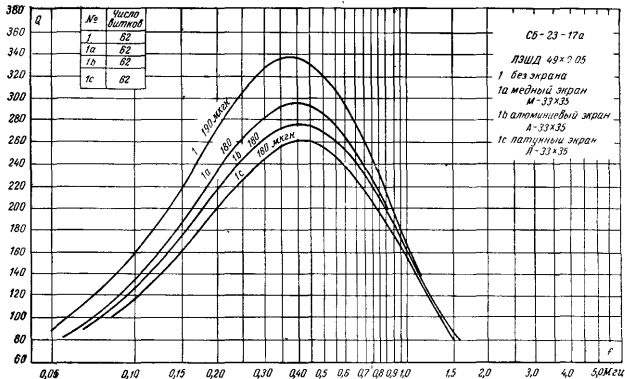


Рис. 58 Частотные характеристики добротности катушек с сердечником СБ-23-17а.

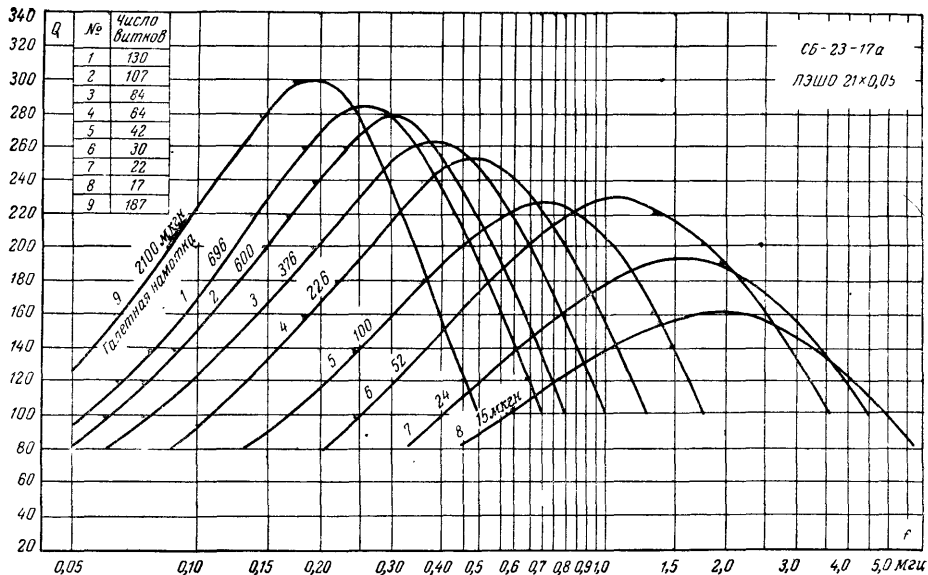


Рис. 59. Семейство частотных характеристик добротности катушек без экрана с сердечником СБ-23-17а.

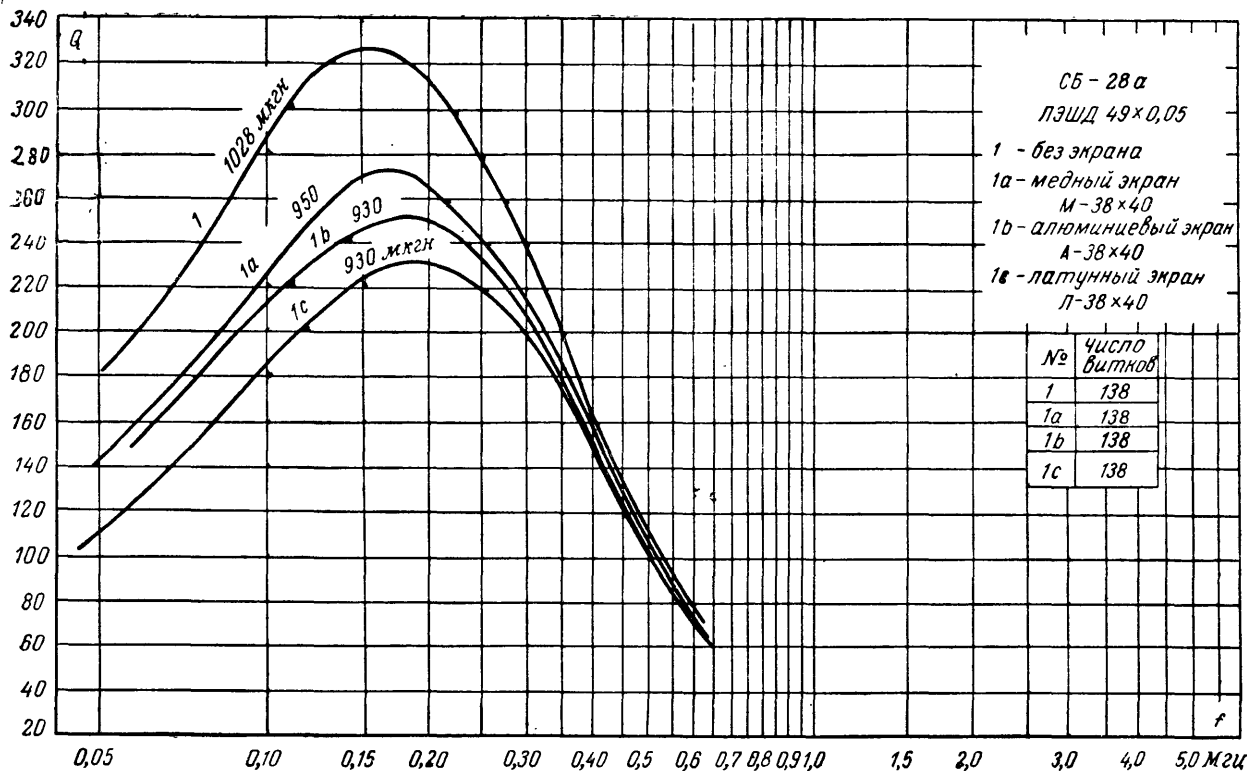


Рис. 60. Частотные характеристики добротности катушек с сердечником СБ-28а.

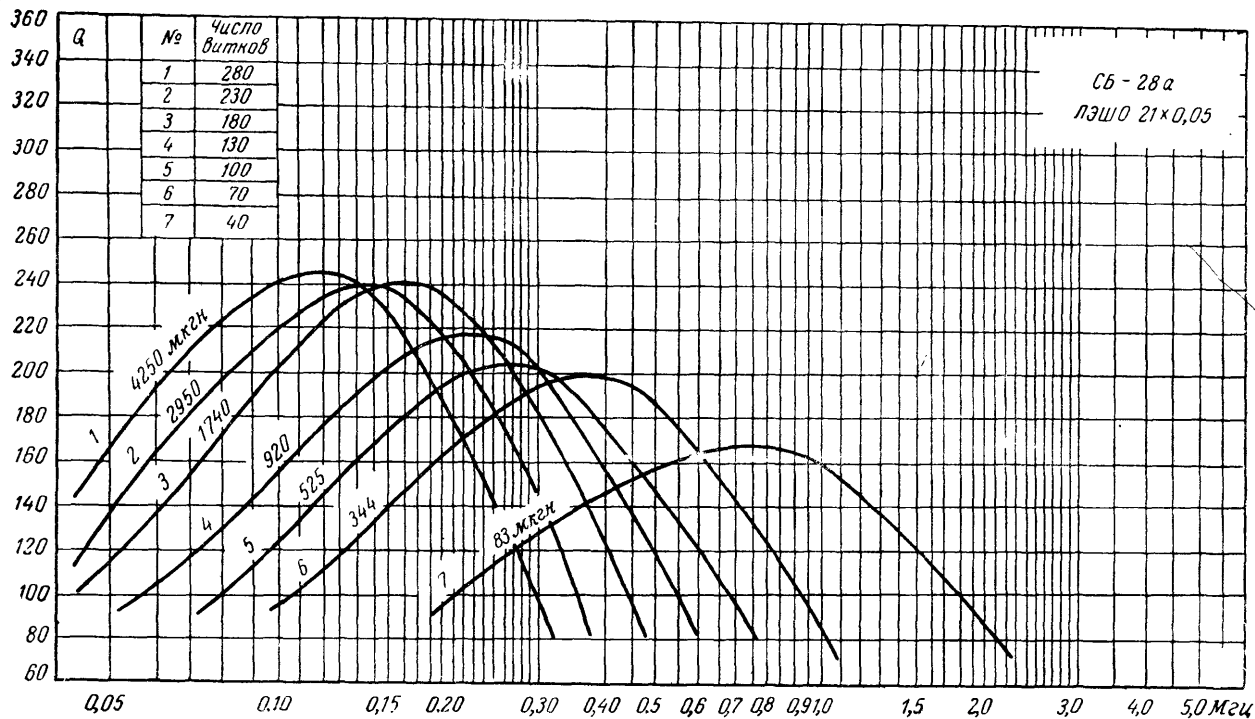


Рис. 61. Семейство частотных характеристик добротности катушек без экрана с сердечником СБ-28а.

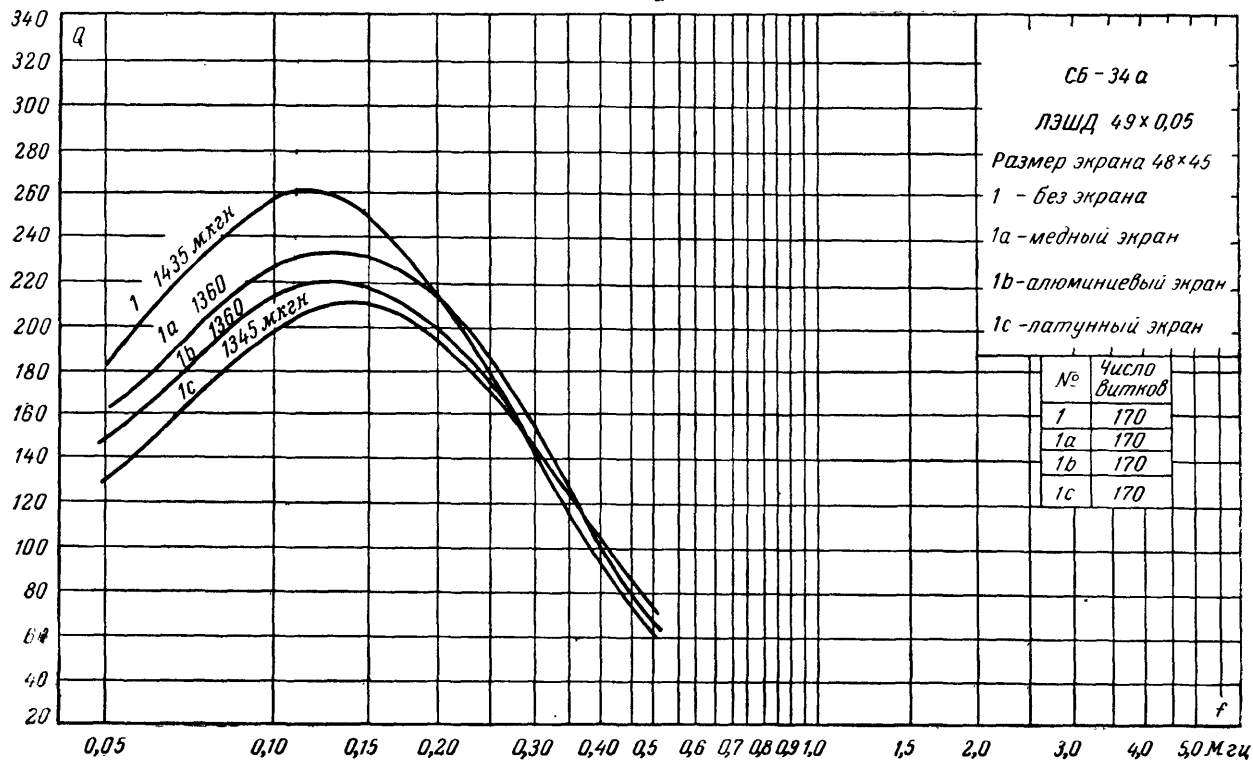


Рис. 62. Частотные характеристики добротности катушек с сердечником СБ-34а.

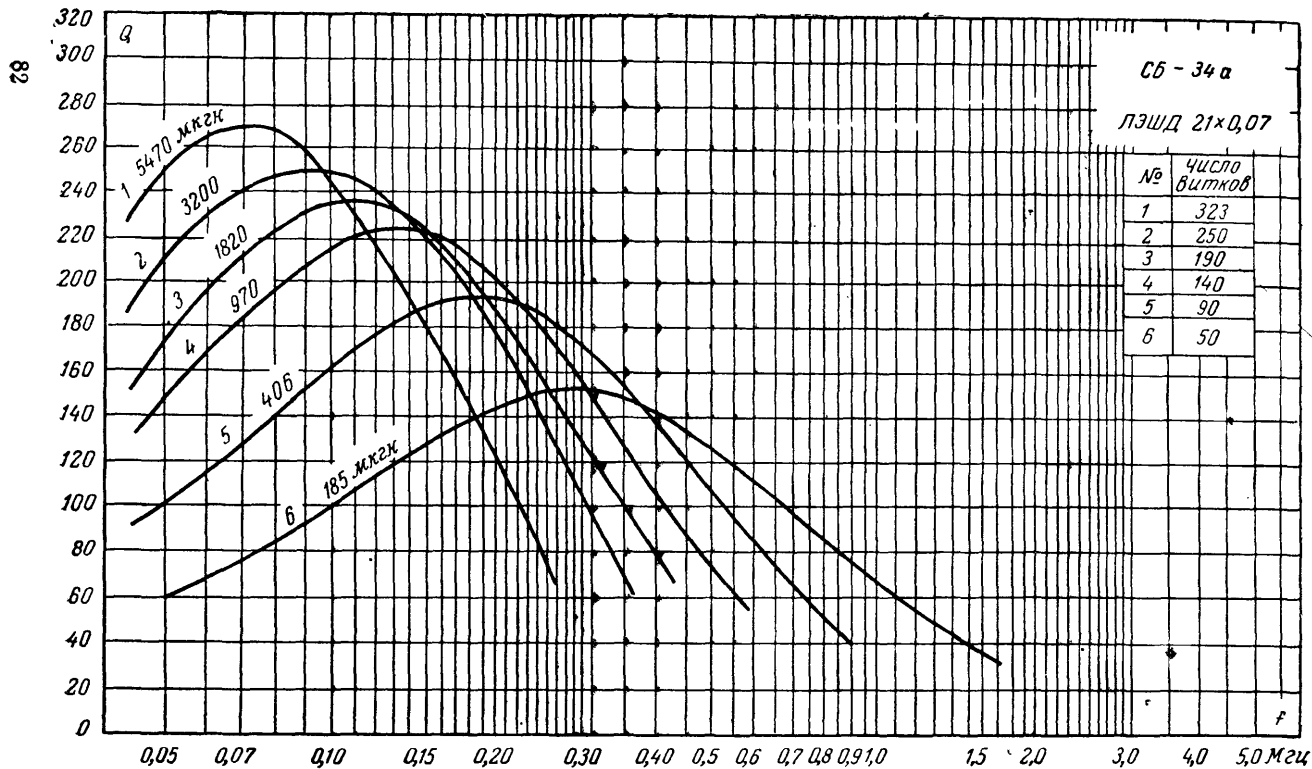


Рис. 63. Семейство частотных характеристик добротности катушек без экрана с сердечником СБ-34а.

дечников типа СБ, например, Б11 и СБ-12а или Б22 и СБ-23-17а, а объем обмоточного пространства лишь незначительно меньше. Основные параметры броневых сердечников из феррита приведены в табл. 24.

Для определения по заданным значениям $\mu_{эфф}$ и индуктивности числа витков катушек с сердечниками типа Б на рис. 65 представлена номограмма, по которой определяется вспомогательный коэффициент a , а число витков определяется по формуле

$$w = ak,$$

где k — коэффициент, значения которого приведены в табл. 25.

Номограммы на рис. 66 и 67 дают зависимость между числом витков w , сопротивлением обмотки постоянному току R и диаметром провода d катушки, намотанной до полного заполнения односекционного каркаса для различных сердечников. На номограммах по оси ординат отложены числа витков, а по оси абсцисс — диаметр провода без изоляции.

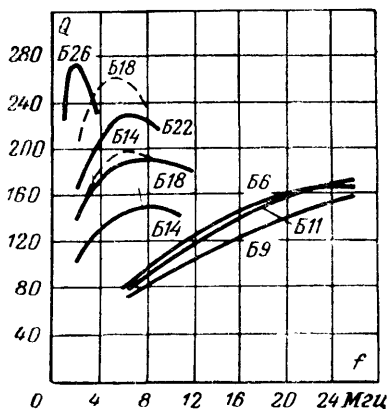


Рис. 64. Зависимость добротности Q катушек индуктивности на сердечниках ряда Б из ферритов 20ВЧ (сплошные линии) и 50ВЧ2 (пунктирные линии) от частоты.

Таблица 25
Значения коэффициента k

Тип сердечника	Коэффициент k	Тип сердечника	Коэффициент k
Б6	4,13	Б22	2,13
Б9	3,65	Б26	1,90
Б11	2,93	Б30	1,86
Б14	2,66	Б36	1,55
Б18	2,27	Б48	1,40

Номограммы на рис. 68 дают зависимость между числом витков, сопротивлением обмотки постоянному току и сечением провода ЛЭШО обмотки катушки с сердечниками типа Б.

Катушки индуктивности с броневыми сердечниками, выполненными из феррита, имеют высокие значения добротности (рис. 69). Добротность катушки с сердечником зависит от потерь, вносимых катушкой и сердечником

$$Q = \frac{\omega L}{R_0 + R_c},$$

где L — индуктивность катушки с сердечником;

Принимая добротность обмотки равной

$$Q_0 = \frac{\omega L}{R_0}$$

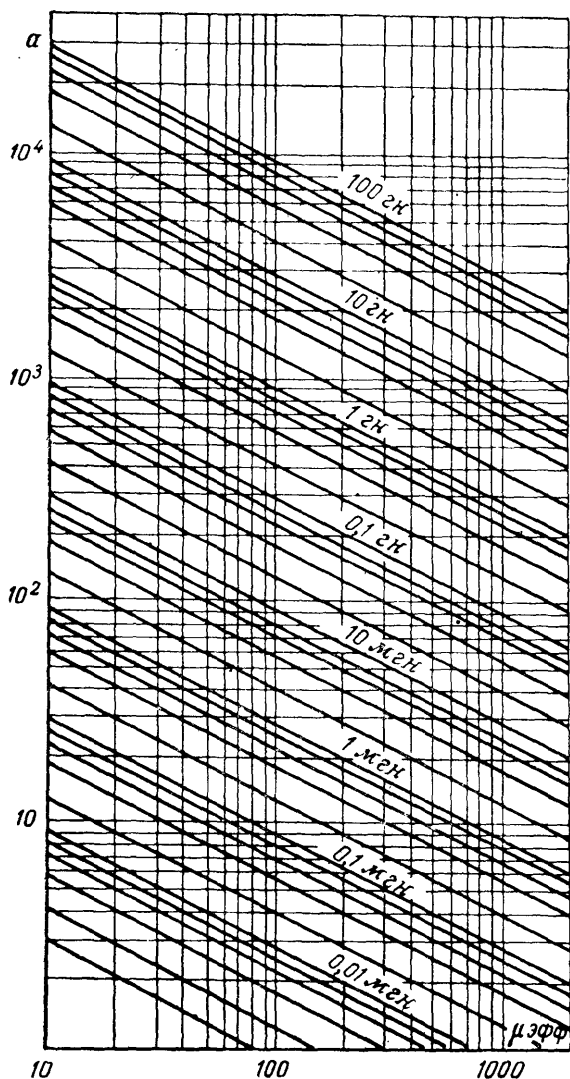


Рис. 65. Номограмма для расчета числа витков катушек с сердечниками ряда Б.

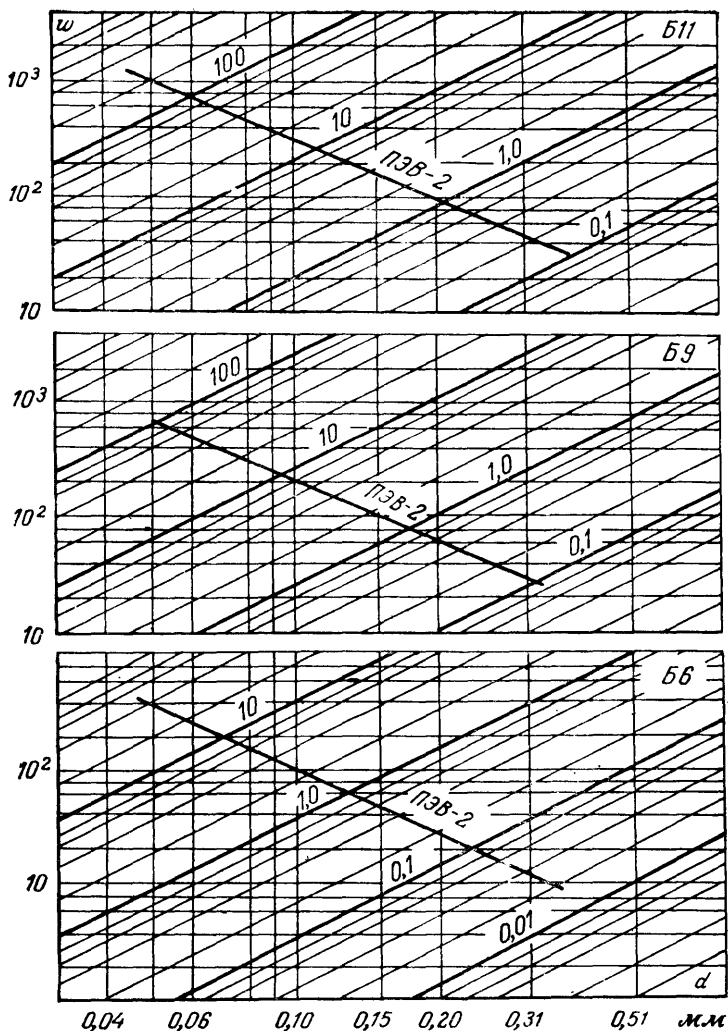


Рис. 66. Зависимость между числом витков w , сопротивлением постоянному току и диаметром провода d катушек с сердечниками Б6, Б9 и Б11.

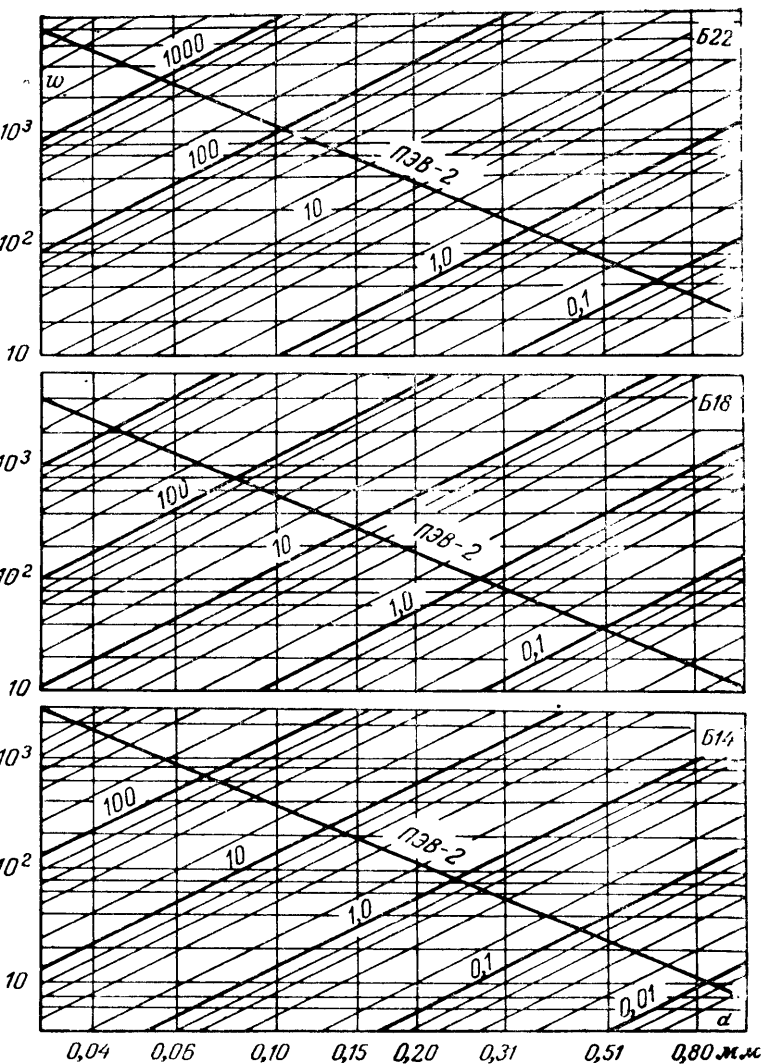


Рис. 67. Зависимость между числом витков w , сопротивлением постоянному току и диаметром провода d катушек с сердечниками Б14, Б18 и Б22.

и добротность сердечника

$$Q_c = \frac{\omega L}{R_c},$$

добротность катушки с сердечником

$$Q = \frac{Q_0 Q_c}{Q_0 + Q_c}.$$

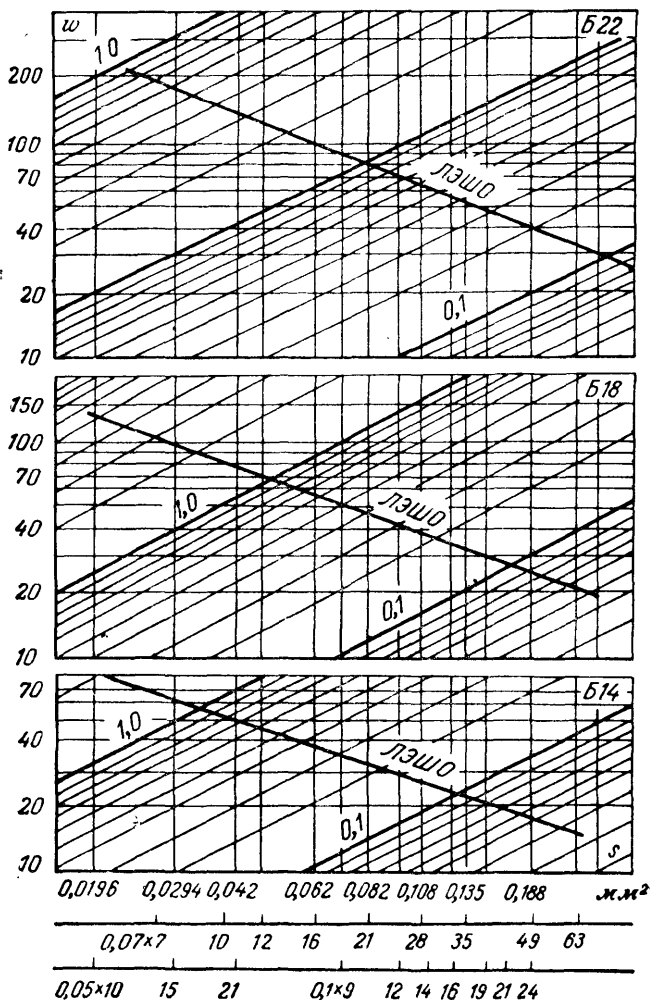


Рис. 68. Зависимость между числом витков ω , сопротивлением постоянному току и сечением s провода ЛЭШО катушек с сердечниками Б14, Б18 и Б22.

Для катушек с замкнутым сердечником $Q_c = Q_m$, следовательно,

$$Q = \frac{Q_0 Q_m}{Q_0 + Q_m},$$

где Q_m — добротность материала сердечника, равная $1/\operatorname{tg} \delta_c$.

Если используется сердечник с зазором, то его добротность будет равна

$$Q'_c = Q_c \left(1 + \mu_0 \frac{l_z}{l_{cp}} \right).$$

Добротность обмотки при этом

$$Q'_0 = \frac{Q_0}{1 + \mu_0 \frac{l_z}{l_{cp}}},$$

где μ_0 — начальная магнитная проницаемость сердечника;

l_{cp} — средняя длина магнитной линии сердечника без учета зазора, мм.

Если добротность обмотки с сердечником без зазора выше добротности материала сердечника, то введение зазора повышает добротность сердечника и общую добротность катушки. При определенной величине зазора добротность катушки будет максимальной. Зазор, обеспечивающий наибольшую добротность, называется оптимальным и может быть определен по формуле

$$l_z = \frac{l_{cp}}{\mu_0} \left(\sqrt{\frac{Q_0}{Q_c}} - 1 \right).$$

Таблица 26

Параметры катушек

Тип сердечника	Кривая	$\mu_{эфф}$	l_z , мм	L , мГн	ω	Провод ЛЭШО	R_0 , Ом
Б48	1	340	0,10	15,3	82	$119 \times 0,07$	0,33
	2	240	0,16	10,7			
	3	160	0,27	7,5			
	4	130	0,35	6,0			
	5	100	0,50	4,5			
Б14	6	102	0,13	0,42	48	$21 \times 0,05$	0,70
	7	80	0,19	0,33			
	8	59	0,30	0,25			
	9	38	0,58	0,16			

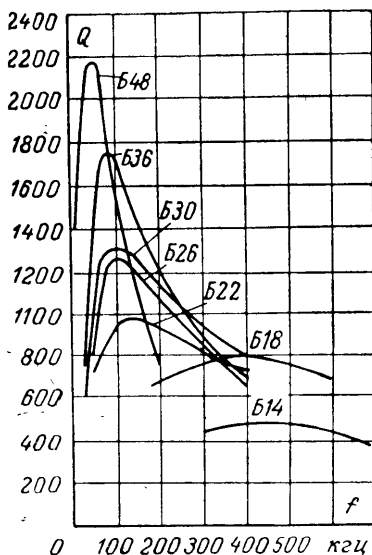


Рис. 69. Зависимость добротности Q катушек, выполненных на сердечниках ряда Б из феррита 1000НМ3 от частоты.

Если величина l_3 получается отрицательной, то введение зазора не увеличивает добротность. Максимальная добротность катушки с сердечником, в котором обеспечен оптимальный зазор, определяется по формуле

$$Q_{\text{макс}} = 0,5 \sqrt{Q_0 Q_m}.$$

На рис. 70 показана зависимость добротности Q катушек индуктивности с сердечниками из феррита марки 1000НМЗ от частоты f и зазора l_3 , величина которого приведена в табл. 26.

Точный конструктивный расчет катушек с замкнутыми сердечниками затруднителен, поэтому для расчетов целесообразно использовать графики и номограммы, приведенные в этой главе.

Температурная стабильность катушек с магнитными сердечниками

Изменение индуктивности под влиянием температуры характеризуется температурным коэффициентом индуктивности (ТКИ), который показывает относительное изменение величины индуктивности, приходящееся на 1°C изменения температуры

$$\text{ТКИ} = \frac{\Delta L}{L \Delta t^\circ},$$

где ΔL — изменение индуктивности;
 Δt° — изменение температуры.

Для катушки с сердечником ТКИ будет определяться как температурным коэффициентом индуктивности катушки, так и температурным коэффициентом проницаемости сердечника μ . Величина μ зависит от сорта магнитного материала и условий его изготовления.

Ферриты имеют большие значения температурного коэффициента проницаемости. Чем выше начальная проницаемость, тем сильнее она изменяется при изменении температуры. Поэтому в большинстве случаев ферритовые сердечники используют с немагнитным зазором.

Для катушек с тороидальными и броневыми ферритовыми сердечниками можно считать, что изменение индуктивности катушки от температуры происходит только за счет изменения магнитной проницаемости сердечника. При изменении температуры изменяется не только проницаемость сердечника, но и тангенс угла потерь. Чем выше проницаемость феррита, тем более резко зависит $\text{tg } \delta_c$ от тем-

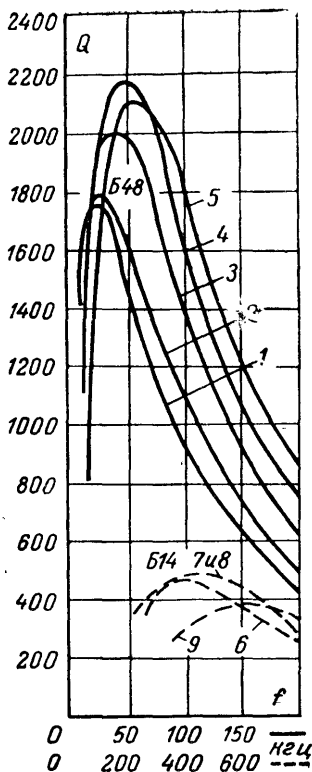


Рис. 70. Зависимость добротности Q катушек, выполненных на сердечниках ряда Б из феррита 1000НМЗ от частоты f и зазора l_3 .

пературы. При конструировании стабильных катушек индуктивности необходимо учитывать и фактор изменения их добротности от температуры.

Температурный коэффициент индуктивности катушки с сердечником из феррита, имеющим небольшой зазор ($l_3/l_{cp} \leq 0,01$), может быть определен по формуле

$$TKI = \frac{TK\mu}{1 + \frac{l_3}{l_{cp}} \mu_0},$$

где μ_0 — начальная магнитная проницаемость материала сердечника.

Магнитная проницаемость сердечника с зазором определяется по формуле

$$\mu_3 = \frac{\mu_0}{1 + \mu_0 \frac{a}{b}},$$

где $a = l_3/l_{cp}$ — отношение длины зазора к длине магнитной линии сердечника;

$b = S_3/S_c$ — отношение сечения зазора к сечению сердечника (обычно $b = 1$).

Практически ТКИ катушек на броневых сердечниках без зазора из ферритов составляет $(250 \div 300) \cdot 10^{-6}$, а ТКИ катушек на сердечниках с зазором несколько меньше.

Магнитная проницаемость сердечников из карбонильного железа в диапазоне температур от -60 до $+100^\circ\text{C}$ линейно возрастает с увеличением температуры. Температурный коэффициент индуктивности катушек на броневых сердечниках без зазора из карбонильного железа составляет $(60 \div 100) \cdot 10^{-6}$.

Дроссели высокой частоты

Дросселем высокой частоты называют катушку индуктивности, включающую в цепь для ограничения токов высокой частоты. В некоторых случаях дросселем называют катушку индуктивности, включаемую в электрическую цепь для получения частотной или фазовой коррекции. Индуктивность высокочастотного дросселя должна быть максимальной при минимальной величине собственной емкости. Ориентировочно индуктивность дросселя должна быть в 10—50 раз больше индуктивности катушки контура, к которому он подключен, так как он изменяет индуктивность и добротность катушек контура. Эквивалентные значения параметров цепи будут равны:

$$L_3 = \frac{L_k L_{др}}{L_k + L_{др}};$$

$$Q_3 = \frac{Q_k Q_{др} (L_k + L_{др})}{Q_k L_k + Q_{др} L_{др}},$$

поэтому необходимо, чтобы $L_{др} \gg L_k$.

Конструктивно дроссели высокой частоты выполняются в виде одностойных или многослойных катушек. Конструкции дросселей показаны на рис. 71. Для дросселей длинных и средних волн применя-

ется секционированная многослойная намотка. Дроссели для коротких и метровых волн имеют сплошную однослойную намотку, иногда с переменным шагом для улучшения диапазонных свойств. В качестве каркасов для этих дросселей используются керамические стержни от непроволочных постоянных резисторов (тип ВС). Дроссели с малым числом витков и диаметром 3—5 мм делаются бескаркасными.

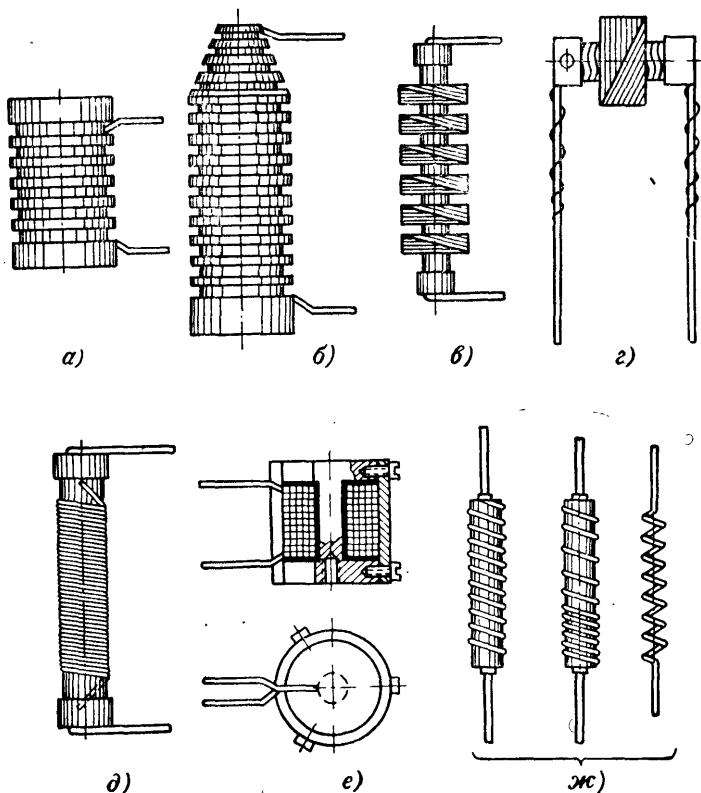


Рис. 71. Устройство дросселей высокой частоты.

а — для длинных волн; *б* — для широкого диапазона; *в* — для средних волн; *г* — корректирующий; *д* — для коротких волн; *е* — дроссель накала со стальным сердечником; *ж* — дроссель для УКВ.

Для получения достаточной индуктивности при малых диаметрах дросселя необходимо намотку вести тонким проводом диаметром от 0,05 до 0,2 мм. Длина намотки берется в пределах от двух до четырех диаметров D каркаса. Катушки короче $2D$ имеют недостаточную индуктивность, а катушки длиннее $4D$ имеют значительную собственную емкость.

Расчет дросселей высокой частоты заключается в определении индуктивности, собственной емкости и сопротивления. Формулы для

расчета дросселей аналогичны формулам для расчета катушек индуктивности.

Для определения числа витков дросселей УКВ можно воспользоваться графиками, представленными на рис. 72, где график *I* отно-

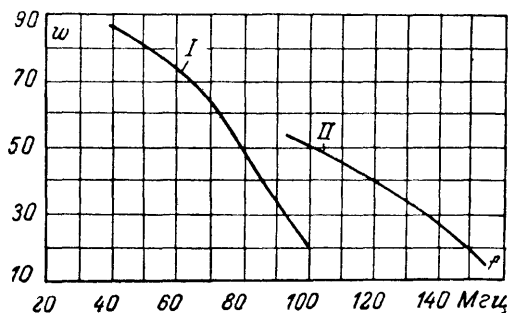


Рис. 72. Графики для расчета дросселей УКВ.

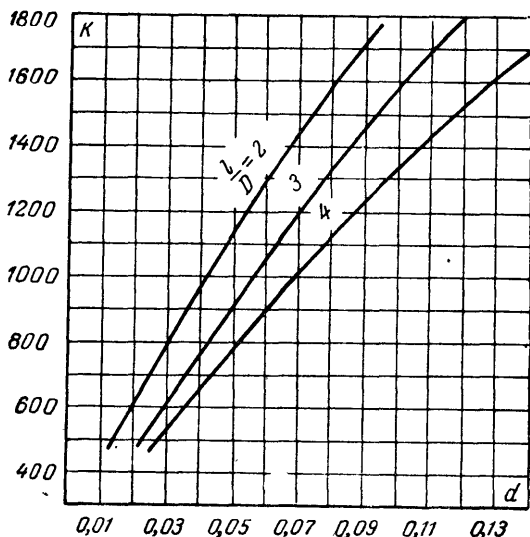


Рис. 73. График для определения коэффициента k .

сится к дросселю с диаметром намотки 10 и длиной 20 мм, а график *II* — к дросселю с диаметром намотки 5,5 и длиной 12 мм. Диаметр провода в обоих случаях 0,17 мм.

На рис. 73 показан график для расчета дросселей на частоты от 30 до 1000 МГц. По графику определяется вспомогательный коэф-

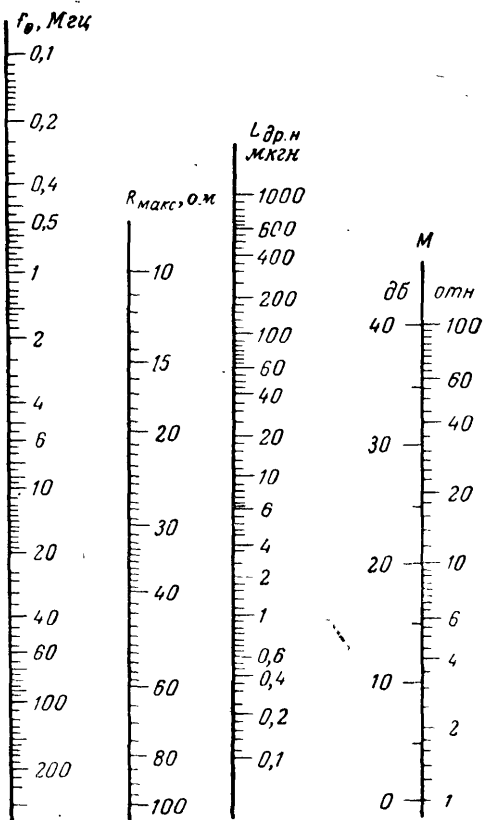


Схема пользования

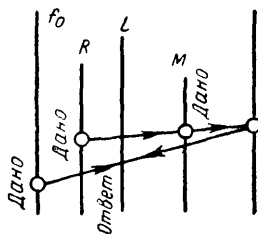


Рис. 74. Номограмма для расчета дросселей накала.

коэффициент k , который связывает значение диаметра провода и конструктивные размеры дросселя соотношением длины намотки к диаметру намотки $l/D=2; 3; 4$. Диаметр каркаса определяется рабочей частотой дросселя, т. е.

$$D = \sqrt{\frac{k}{f}},$$

где D — диаметр каркаса дросселя, мм;

f — частота, для которой рассчитывается дроссель, Мгц.

Индуктивность дросселей питания ориентировочно можно выбрать по табл. 27. Меньшие значения индуктивности относятся к дросселям накала ламп.

Таблица 27

Индуктивность дросселей питания

f , Мгц	До 0,5	1	5	10	20
$L_{др}$, мкГн . . .	$(1 \div 10) \cdot 10^3$	250—1500	80—400	30—150	15—80

Продолжение табл. 27

f , Мгц	50	100	200	500
$L_{др}$, мкГн . . .	4—24	1,7—8	0,6—2,5	0,15—0,4

На рис. 74 показана номограмма для расчета дросселей накала. Величина R_n равна:

$$R_n = \frac{U_n}{I_n},$$

где U_n и I_n — напряжение и ток накала.

Величина M показывает относительное ограничение токов высокой частоты.

Катушки индуктивности с сердечниками из ферромагнитных материалов

В цепях низких частот большое применение находят катушки с индуктивностью порядка единиц, десятков и даже сотен генри. Для этих катушек используют сердечники с замкнутой магнитной цепью из ферромагнитных материалов. К таким материалам относятся: электротехническая сталь, пермаллой, пермендюр и др. Некоторые свойства ферромагнитных материалов приведены в табл. 28.

Характерной особенностью катушек с ферромагнитными сердечниками является зависимость их индуктивности от величины переменного напряжения на обмотках, его частоты и тока постоянного подмагничивания.

Магнитные материалы характеризуются значительным числом параметров, однако на параметры катушек наибольшее влияние оказывает магнитная проницаемость материала.

Некоторые свойства магнитных материалов

Наименование и марка материала	Толщина, мм	Магнитная проницаемость		Индукция насыщения $B_{\text{макс}}$, тл
		μ_0	$\mu_{\text{макс}}$	
Электротехническая сталь				
Э41, Э42	0,3—0,5	350—400		
Э44	0,1—0,2	До 500		
Э46, Э48	0,35	До 300	6 000—7 000	1,8—2,0
Э310	0,2—0,5	До 500		
Пермаллой				
80НХС	0,05—0,15	18 000—25 000	40 000—70 000	0,7—0,75
	0,18—0,4	25 000—35 000		
79НМ	0,02	18 000—20 000	80 000—150 000	0,7—0,75
50НХС	0,05—0,15	1 600—2 500	11 000—14 000	1,0
43Н	0,05—0,15	1 700—2 500	11 000	1,5
Пермендюр	0,2—0,5	700—1 100	4 000	2,2—2,4

Магнитная проницаемость определяется отношением переменных составляющих индукции и напряженности магнитного поля. Ее величина в слабых полях называется начальной магнитной проницаемостью μ_0 . С увеличением индукции проницаемость повышается до определенного предела $\mu_{\text{макс}}$, определяемого свойствами магнитного материала. При дальнейшем увеличении индукции проницаемость резко падает. Проницаемость при постоянном подмагничивании характеризуется динамической проницаемостью μ_d .

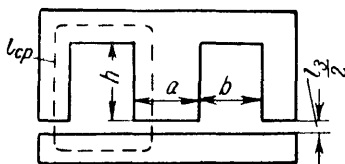


Рис. 75. Длина магнитного пути в Ш-образном сердечнике.

Индуктивность катушки, имеющей замкнутый сердечник, определяется по формуле

$$L = \frac{1,26 \omega^2 S_c \mu_0}{l_{\text{ср}}} \cdot 10^{-8},$$

где L — индуктивность катушки, гн;

ω — число витков;

S_c — сечение сердечника, см²;

μ_0 — начальная магнитная проницаемость материала сердечника;

$l_{\text{ср}}$ — средняя длина магнитной линии магнитопровода, см.

Средняя длина магнитной линии магнитопровода с равномерным сечением (рис. 75) равна:

$$l_{\text{ср}} = 2 \left(b + h + \frac{\pi a}{4} \right).$$

Формула для расчета величины индуктивности дает точные результаты лишь в том случае, когда по обмотке катушки не протекает постоянный ток и индуктивность определяется для переменной составляющей с незначительной амплитудой.

Если в качестве сердечника катушки применяется сердечник из электротехнической стали, то основную формулу для расчета величины индуктивности можно представить в виде

$$L = \frac{w^2 S_c}{2l_{cp}} 10^{-5}.$$

При расчете по этой формуле имеется в виду, что магнитная проницаемость материала сердечника равна 400 без тока подмагничивания. Число витков катушки при заданной индуктивности можно определить по упрощенной формуле

$$w = 450 \sqrt{\frac{L l_{cp}}{S_c}}.$$

При расчете числа витков для катушек, выполненных на сердечнике с магнитной проницаемостью, отличной от 400, формула имеет вид:

$$w = 8920 \sqrt{\frac{L l_{cp}}{\mu_0 S_c}},$$

где L — индуктивность катушки, $гн$;

l_{cp} — средняя длина магнитной линии магнитопровода, $см$;

S_c — сечение сердечника, $см^2$;

μ_0 — начальная магнитная проницаемость.

Для упрощения расчетов на рис. 76 показан график расчета числа витков катушек при различных соотношениях S_c/l_{cp} .

Для расчета катушек с постоянным подмагничиванием предварительно определяется величина динамической магнитной проницаемости μ_d . При определении динамической магнитной проницаемости необходимо вычислить амплитуду индукции B_m и постоянные ампер-витки $(aw)_0$.

Амплитуда индукции равна

$$B_m = \frac{U \cdot 10^4}{4,44 S_c f w},$$

где B_m — амплитуда индукции, $тл$;

U — переменное напряжение на обмотке, $в$;

f — частота, $гц$;

S_c — сечение сердечника, $см^2$.

Постоянная составляющая напряженности магнитного поля равна:

$$H_0 = 4\pi \frac{w I_0}{l_{cp}} = 4\pi (aw)_0,$$

т. е. она пропорциональна величине

$$(aw)_0 = \frac{w I_0}{l_{cp}},$$

где I_0 — ток подмагничивания, $а$.

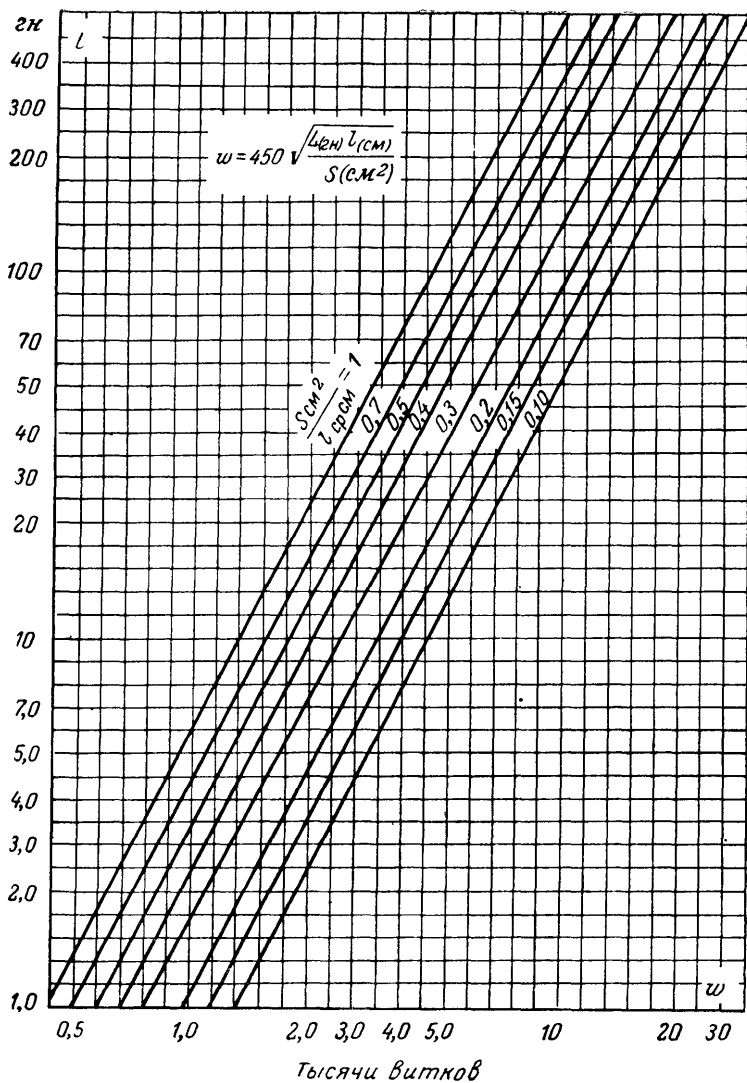


Рис. 76. График для расчета числа витков катушек с ферромагнитными сердечниками.

Величина $(aw)_0$ называется постоянными ампер-витками на сантиметр и удобна для расчетов, так как поддается непосредственному вычислению.

На рис. 77 показан график для определения динамической проницаемости некоторых материалов в зависимости от B_m , а на рис. 78 — в зависимости от $(aw)_0$ и B_m .

Для уменьшения постоянной составляющей напряженности магнитного поля в сердечник вводится немагнитный зазор, который увеличивает сопротивление магнитной цепи.

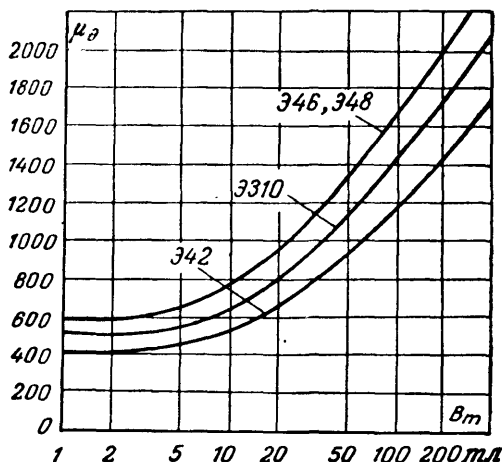


Рис. 77. График зависимости динамической магнитной проницаемости от индукции B_m .

Индуктивность катушки, в магнитопроводе которой имеется зазор l_z , будет равна:

$$L = \frac{1,26 \cdot 10^{-7}}{\frac{1}{\mu_0} + \frac{l_z}{l_{cp}}} \frac{w^2 S_c}{l_{cp}} \cdot 10^{-8}.$$

Если обозначить

$$\mu_d = \frac{1}{\frac{1}{\mu_0} + \frac{l_z}{l_{cp}}}$$

и назвать эту величину эквивалентной магнитной проницаемостью, то вычислять индуктивность можно по вышеприведенным формулам, заменив μ_0 на μ_d .

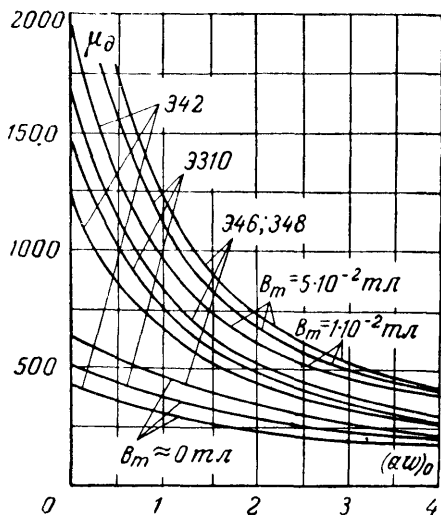


Рис. 78. График зависимости динамической магнитной проницаемости от индукции B_m и постоянного подмагничивания $(\alpha\omega)_0$.

I_0 — подмагничивающий ток, ма;

V — объем сердечника, равный $S_c l_{cp}$, см³.

По полученному значению k находят из кривой величину l_3/l_{cp} , после чего простым вычислением определяют величину l_3 .

Толщина немагнитной прокладки при сердечнике Ш-образной формы выбирается равной $0,5l_3$ и делается из любого изоляционного материала.

На рис. 81 показан график зависимости эквивалентной магнитной проницаемости некоторых магнитных материалов от постоянного подмагничивания при оптимальной величине немагнитного зазора.

Диаметр провода обмоток находится по формуле

$$d = 0,7 \sqrt{I_0},$$

где d — диаметр провода, мм;

I_0 — ток подмагничивания, а.

Величина оптимального немагнитного зазора в сердечнике определяется по формуле

$$l_3 = \frac{z l_{cp}}{100},$$

где z — коэффициент, определяемый из графика на рис. 79.

Выбрать величину немагнитного зазора можно с помощью графика, показанного на рис. 80. Для вычисления l_3 по этому графику необходимо вычислить вспомогательную величину k , равную

$$k = \frac{L I_0^2}{V},$$

где L — требуемая индуктивность катушки, гн;

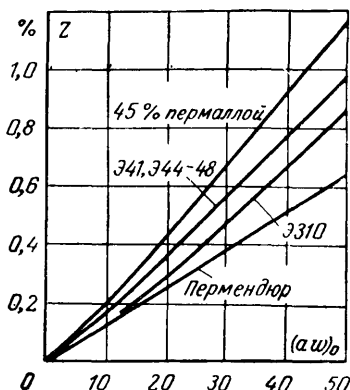


Рис. 79. График для определения коэффициента z .

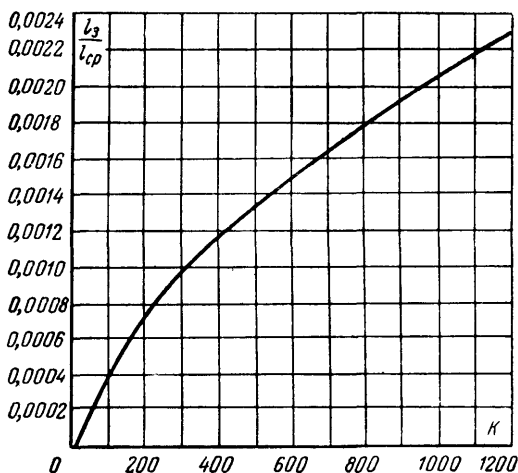


Рис. 80. 1 график для определения величины немагнитного зазора.

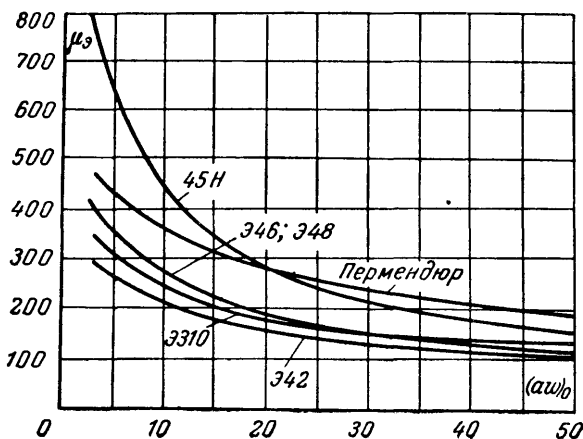


Рис. 81. График зависимости μ_z от постоянного подмагничивания при оптимальном зазоре.

Соединение катушек индуктивности

На рис. 82 показано последовательное соединение катушек индуктивности. Общая индуктивность цепи без учета взаимной индуктивности между ними равна

$$L_{\text{общ}} = L_1 + L_2 + L_3;$$

с учетом взаимной индуктивности (рис. 82, б)

$$L_{\text{общ}} = L_1 + L_2 \pm 2M,$$

где M — взаимная индуктивность; причем верхний знак берется при согласованном, а нижний — при встречном включении.

При параллельном соединении катушек индуктивности общая индуктивность равна:

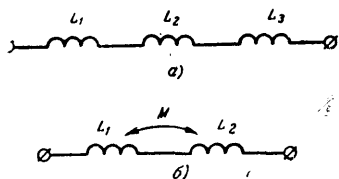


Рис. 82. Последовательное соединение катушек индуктивности.

а — без индуктивной связи между ними; б — при индуктивной связи между ними.

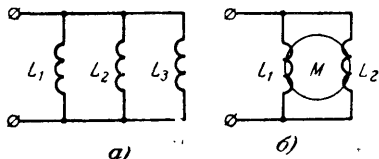


Рис. 83. Параллельное соединение катушек индуктивности.

а — без индуктивной связи между ними; б — при индуктивной связи между ними.

без учета взаимной индуктивности (рис. 83, а)

$$\frac{1}{L_{\text{общ}}} = \frac{1}{L_1} + \frac{1}{L_2} + \frac{1}{L_3};$$

с учетом взаимной индуктивности (рис. 83, б)

$$L_{\text{общ}} = \frac{L_1 L_2 - M^2}{L_1 + L_2 \pm 2M}.$$

Общая индуктивность двух параллельно соединенных катушек (при $M=0$) равна:

$$L_{\text{общ}} = \frac{L_1 L_2}{L_1 + L_2}.$$

На рис. 84 показана номограмма для определения общей индуктивности двух параллельно соединенных катушек. При вычислениях по номограмме величины L_1 и L_2 следует брать в одинаковых единицах.

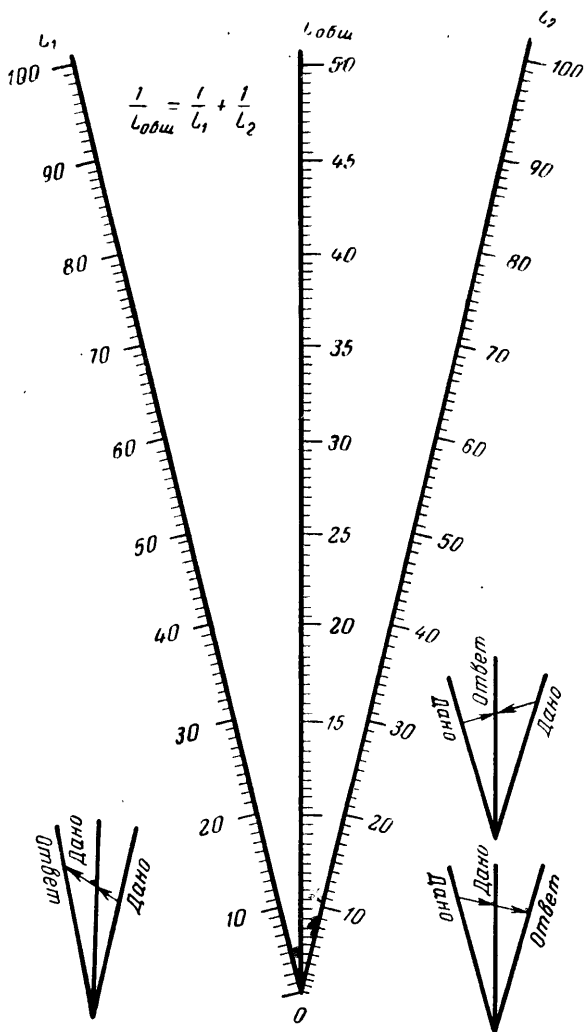


Рис. 84. Номограмма для определения общей индуктивности двух параллельно соединенных катушек.

РАСЧЕТ КОЛЕБАТЕЛЬНЫХ КОНТУРОВ

Основные параметры колебательных контуров

Простейший колебательный контур представляет собой последовательное или параллельное соединение двух реактивных сопротивлений противоположного знака: индуктивного X_L и емкостного X_C .

Реактивное сопротивление катушки индуктивности X_L увеличивается прямо пропорционально, а реактивное сопротивление конденсатора X_C — обратно пропорционально частоте

$$X_L = 2\pi f L, \quad X_C = \frac{1}{2\pi f C},$$

где X_L и X_C — реактивные сопротивления, ом;

f — частота, гц;

L — индуктивность катушки, гн;

C — емкость конденсатора, ф.

Резонансной частотой f_0 колебательного контура называется частота, на которой индуктивное сопротивление численно равно емкостному:

$$X_L = -X_C.$$

Значение индуктивного или емкостного сопротивления контура на резонансной частоте называют характеристическим (волновым) сопротивлением

$$\rho = X_L = X_C = \sqrt{\frac{L}{C}}.$$

Из приведенного выше равенства следует:

$$2\pi f_0 L = \frac{1}{2\pi f_0 C} \quad \text{или} \quad \omega_0 L = \frac{1}{\omega_0 C},$$

откуда выводится основная формула для определения резонансной частоты колебательного контура

$$f_0^2 = \frac{1}{4\pi^2 LC}$$

или

$$f_0 = \frac{1}{2\pi \sqrt{LC}}.$$

На практике встречаются видоизменения записи этой формулы для радиочастот

$$f_{(\text{кГц})} = \frac{1}{6,28 \sqrt{L_{(\text{гн})} C_{(\text{мкф})}}}; \quad f_{(\text{гц})} = \frac{159}{\sqrt{L_{(\text{гн})} C_{(\text{мкф})}}};$$

$$f_{(гц)} = \frac{5\,033}{\sqrt{L_{(мкн)}C_{(мкф)}}}; \quad f_{(кгц)} = \frac{5\,033}{\sqrt{L_{(мен)}C_{(нф)}}};$$

$$f_{(Мгц)} = \frac{25\,330}{\sqrt{L_{(мкен)}C_{(нф)}}}; \quad \omega_0 = \frac{5\,033}{\sqrt{L_{(ен)}C_{(мкф)}}}.$$

Чтобы уменьшить резонансную частоту контура в два раза, необходимо увеличить в четыре раза емкость или индуктивность кон-

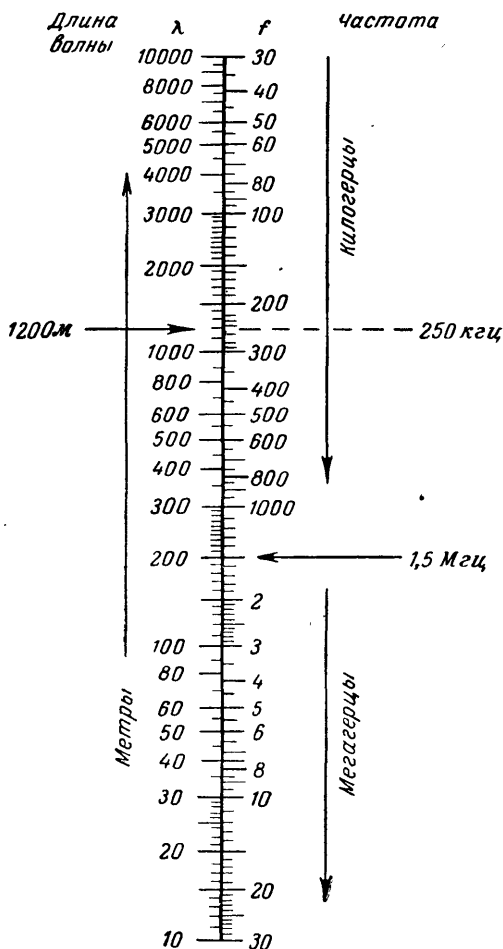


Рис. 85. График для определения длины волны и частоты электрических колебаний.

Расчет частоты f_0 , индуктивности L и емкости C

N f, L, C	L и C , мкгн, пф	f_0 , кГц	λ , м	N f, L, C	L и C , мкгн, пф	f_0 , кГц	λ , м
0	1,0	159 000	1,89	47	76,0	18 200	16,5
1	1,10	152 000	1,97	48	83,0	17 500	17,1
2	1,20	145 000	2,07	49	91,0	16 700	18,0
3	1,30	140 000	2,14	50	100	15 900	18,9
4	1,45	133 000	2,30	51	110	15 200	19,7
5	1,60	126 000	2,38	52	120	14 500	20,7
6	1,75	121 000	2,48	53	130	14 000	21,4
7	1,90	115 000	2,61	54	145	13 300	23,0
8	2,10	110 000	2,73	55	160	12 600	23,8
9	2,130	105 000	2,86	56	175	12 100	24,8
10	2,50	101 000	2,97	57	190	11 500	26,1
11	2,75	95 800	3,13	58	210	11 000	27,3
12	3,00	92 000	3,26	59	230	10 500	28,6
13	3,30	87 400	3,43	60	250	10 100	29,7
14	3,65	83 300	3,60	61	275	9 580	31,3
15	4,09	79 600	3,77	62	300	9 200	32,6
16	4,35	76 100	3,94	63	330	8 740	34,3
17	4,80	72 000	4,13	64	365	8 330	36,0
18	5,25	69 500	4,32	65	400	7 960	37,7
19	5,75	66 300	4,52	66	435	7 610	39,4
20	6,30	63 400	4,73	67	480	7 260	41,3
21	6,90	60 500	4,96	68	525	6 950	43,2
22	7,60	57 600	5,21	69	575	6 630	45,2
23	8,30	55 200	5,43	70	630	6 340	47,3
24	9,10	52 700	5,69	71	690	6 050	49,6
25	10,0	50 300	5,96	72	760	5 760	52,1
26	11,0	47 900	6,26	73	830	5 520	54,3
27	12,0	46 000	6,52	74	910	5 210	56,9
28	13,0	44 100	6,80	75	1 000	5 030	59,6
29	14,5	41 800	7,18	76	1 100	4 790	62,6
30	16,0	39 800	7,54	77	1 200	4 600	65,2
31	17,5	38 100	7,87	78	1 300	4 410	68,0
32	19,0	36 500	8,22	79	1 450	4 180	71,8
33	21,0	34 700	8,65	80	1 600	3 980	75,4
34	23,0	33 100	9,06	81	1 750	3 810	78,9
35	25,0	31 800	9,43	82	1 900	3 650	82,2
36	27,5	30 400	9,87	83	2 100	3 470	86,5
37	30,0	29 200	10,3	84	2 300	3 310	90,6
38	33,0	27 700	10,8	85	2 500	3 180	94,3
39	36,5	26 300	11,4	86	2 750	3 040	98,7
40	40,0	25 200	11,9	87	3 000	2 920	103
41	43,5	24 100	12,4	88	3 300	2 770	108
42	48,0	23 000	13,0	89	3 650	2 630	114
43	52,5	21 900	13,7	90	4 000	2 520	119
44	57,5	21 100	14,2	91	4 350	2 410	124
45	63,0	20 000	15,1	92	4 800	2 300	130
46	69,0	19 000	15,7	93	5 250	2 190	137

N f, L, C	L и C , мкГн, пф	f_0 , кГц	λ , м	N f, L, C	L и C , мкГн, пф	f_0 , кГц	λ , м
94	5 750	2 110	142	135	250 000	318	943
95	6 300	2 000	150	136	275 000	304	987
96	6 900	1 910	157	137	300 000	292	1 030
97	7 600	1 820	165	138	330 000	277	1 080
98	8 300	1 750	171	139	365 000	263	1 140
99	9 100	1 610	180	140	400 000	252	1 190
100	10 000	1 590	189	141	435 000	241	1 240
101	11 000	1 520	197	142	480 000	230	1 300
102	12 000	1 450	207	143	525 000	219	1 370
103	13 000	1 400	214	144	575 000	211	1 420
104	14 500	1 330	230	145	630 000	200	1 500
105	16 000	1 260	238	146	690 000	191	1 570
106	17 500	1 210	248	147	760 000	182	1 650
107	19 000	1 150	261	148	830 000	175	1 710
108	21 000	1 100	273	149	910 000	167	1 800
109	23 000	1 050	286	150	1 000 000	159	1 890
110	25 000	1 010	297	151	1 100 000	152	1 970
111	27 500	958	313	152	1 200 000	145	2 070
112	30 000	920	326	153	1 300 000	140	2 140
113	33 000	874	343	154	1 450 000	133	2 300
114	36 500	833	360	155	1 600 000	126	2 380
115	40 000	796	377	156	1 750 000	121	2 480
116	43 500	761	394	157	1 900 000	115	2 610
117	48 000	726	413	158	2 100 000	110	2 730
118	52 500	695	432	159	2 300 000	105	2 860
119	57 500	663	452	160	2 500 000	101	2 970
120	63 000	634	473	161	2 750 000	95,8	3 130
121	69 000	605	496	162	3 000 000	92,0	3 260
122	76 000	576	521	163	3 300 000	87,4	3 430
123	83 000	552	543	164	3 650 000	83,3	3 600
124	91 000	527	569	165	4 000 000	79,6	3 770
125	100 000	593	596	166	4 350 000	76,1	3 940
126	110 000	579	626	167	4 800 000	72,6	4 130
127	120 000	460	656	168	5 250 000	69,5	4 320
128	130 000	441	680	169	5 750 000	66,3	4 520
129	145 000	418	718	170	6 300 000	63,4	4 730
130	160 000	398	754	171	6 900 000	60,5	4 960
131	175 000	381	787	172	7 600 000	57,6	5 210
132	190 000	365	822	173	8 300 000	55,2	5 430
133	210 000	347	865	174	9 100 000	52,7	5 590
134	230 000	331	906				

тура. Можно увеличить емкость в два раза, одновременно увеличив в два раза индуктивность. Одну и ту же резонансную частоту можно получить при разных значениях емкости и индуктивности, для этого необходимо, чтобы произведение LC оставалось неизменным. Характеристическое сопротивление при этом изменится.

Частота в килогерцах для различных LC

L, мкГн	Емкость, пф									
	100	200	300	400	500	600	700	800	900	1 000
1	15 800	11 100	9 100	7 900	7 150	6 503	6 000	5 670	5 270	5 000
2	11 100	9 100	6 503	5 670	5 000	4 620	4 230	4 000	3 760	3 580
3	9 100	6 503	5 270	4 620	4 110	3 760	3 490	3 260	3 060	2 920
4	7 900	5 670	4 620	4 000	3 580	3 260	3 000	2 800	2 660	2 510
5	7 150	5 000	4 110	3 580	3 200	2 920	2 680	2 510	2 380	2 260
6	6 503	4 620	3 760	3 260	2 920	2 660	2 460	2 290	2 160	2 060
7	6 000	4 230	3 490	3 000	2 680	2 460	2 280	2 120	2 000	1 900
8	5 670	4 000	3 260	2 800	2 510	2 290	2 120	1 985	1 875	1 775
9	5 270	3 760	3 060	2 660	2 380	2 160	2 000	1 875	1 761	1 655
10	5 000	3 580	2 920	2 510	2 260	2 060	1 900	1 775	1 655	1 595
12	4 620	3 260	2 660	2 290	2 060	1 875	1 730	1 620	1 530	1 455
14	4 230	3 000	2 460	2 120	1 900	1 730	1 610	1 510	1 410	1 342
16	4 000	2 800	2 290	1 985	1 775	1 620	1 510	1 430	1 327	1 260
18	3 760	2 660	2 160	1 875	1 655	1 530	1 410	1 327	1 250	1 185
20	3 580	2 510	2 060	1 775	1 595	1 435	1 342	1 260	1 185	1 122
25	3 200	2 260	1 840	1 595	1 420	1 298	1 205	1 122	1 060	1 003
30	2 920	2 060	1 655	1 455	1 298	1 185	1 080	1 028	968	921
40	2 510	1 775	1 455	1 260	1 122	1 082	954	893	840	796
50	2 260	1 595	1 298	1 122	1 003	921	850	796	750	712
60	2 060	1 455	1 185	1 028	921	840	778	728	685	650
70	1 948	1 342	1 100	954	850	778	720	674	634	602
80	1 775	1 260	1 028	893	841	728	689	630	593	563
90	1 655	1 185	968	840	750	685	635	593	560	532
100	1 595	1 122	921	896	712	650	613	563	532	502
120	1 455	1 028	840	728	650	593	550	514	485	460
140	1 342	954	778	674	602	582	519	476	450	426
160	1 260	893	745	630	563	514	476	446	430	398
180	1 185	840	685	593	532	485	449	430	396	375
200	1 122	796	650	563	504	460	426	398	375	356
250	1 003	712	582	504	451	411	282	356	336	318
300	921	650	530	460	411	375	348	324	306	291
400	796	563	460	398	356	324	301	271	265	252
500	712	504	411	345	316	290	269	252	243	228
600	650	460	375	324	290	265	246	230	223	209
700	602	426	348	307	269	246	229	218	201	190

Зависимость между резонансной частотой f_0 контура и длиной волны выражается следующей формулой:

$$\lambda = \frac{c}{f_0},$$

где λ — длина волны, м;

f_0 — частота, Гц;

c — скорость распространения электромагнитных колебаний, равная $3 \cdot 10^8$ м/сек.

На рис. 85 показан график для перевода длины волны в частоту и обратно.

Помимо приведенных формул, неизвестные значения f_0 , L , C и λ могут быть найдены при помощи табл. 29. Таблица состоит из четырех граф:

- N — графа порядковых номеров;
- L , C — графа индуктивности и емкости контура;
- f_0 — графа резонансной частоты контура;
- λ — графа длины волн.

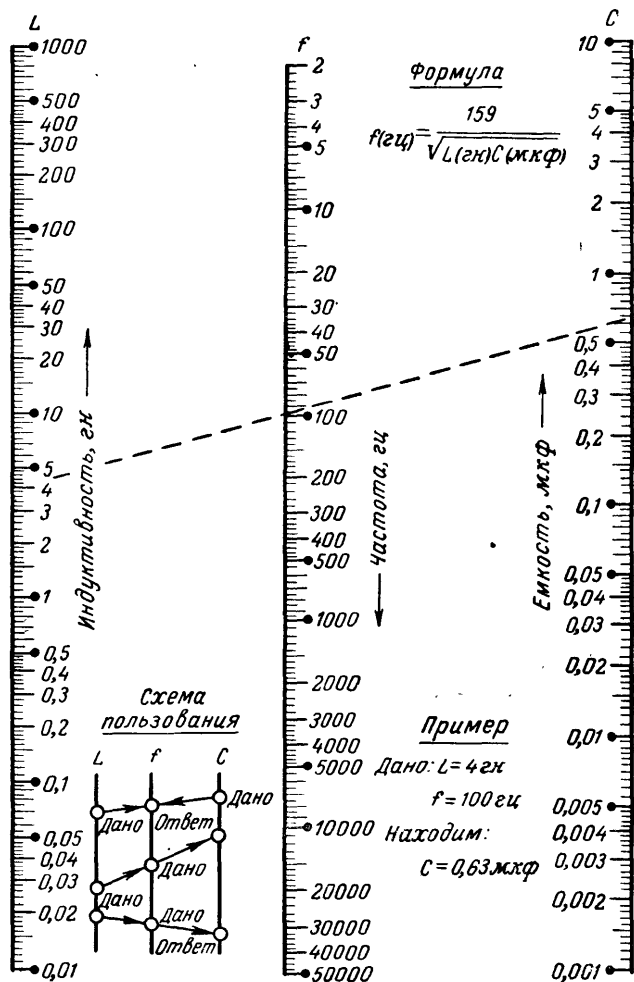


Рис. 86. Номограмма для определения резонансной частоты контура в диапазоне 2 гц—50 кгц.

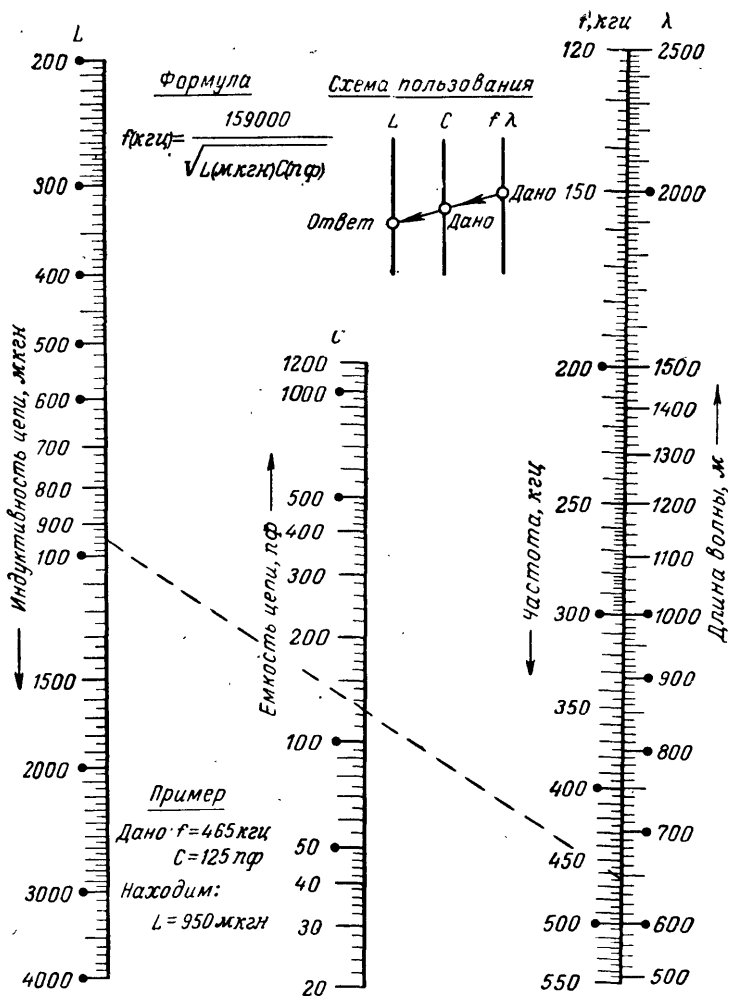


Рис. 87. Номограмма для определения резонансной частоты контура в диапазоне 120—550 кгц.

Расчет резонансной частоты контура f_0 по приведенной таблице сводится к сложению порядковых номеров строчек известной индуктивности и емкости. Сумма последних определяет номер строчки (графа N) с искомой частотой (графа f_0), т. е. $N_{f_0} = N_C + N_L$.

Определение номера строки (графа N) с искомой индуктивностью или емкостью (графа L или C) сводится к вычитанию по-

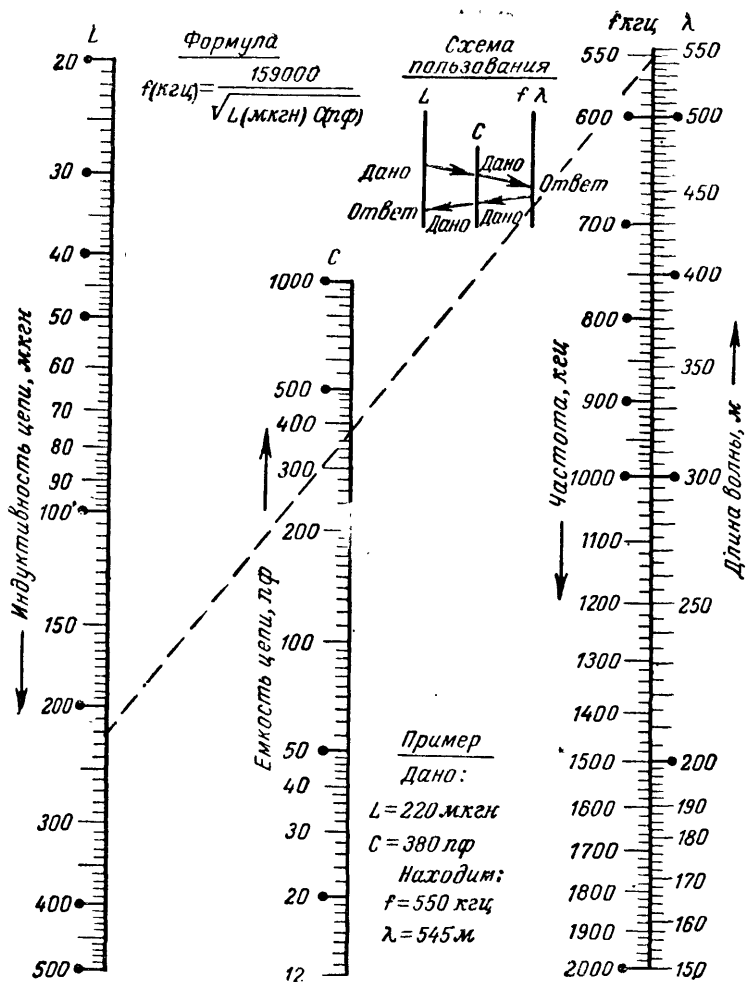


Рис. 88. Номограмма для определения резонансной частоты контура в диапазоне 550 кГц—2 МГц.

рядкового номера емкости (или индуктивности) из порядкового номера известной частоты, т. е. $N_L = N_{f_0} - N_C$ или $N_C = N_{f_0} - N_L$.

Иногда может оказаться удобным вычислить необходимую величину емкости или индуктивности контура, не используя вспомогательную графу порядковых номеров. Для этого необходимо произведение LC разделить на заданную величину L (при определении C) или на заданную величину C (при определении L). В табл. 30 приведены значения резонансных частот контура при различных LC .

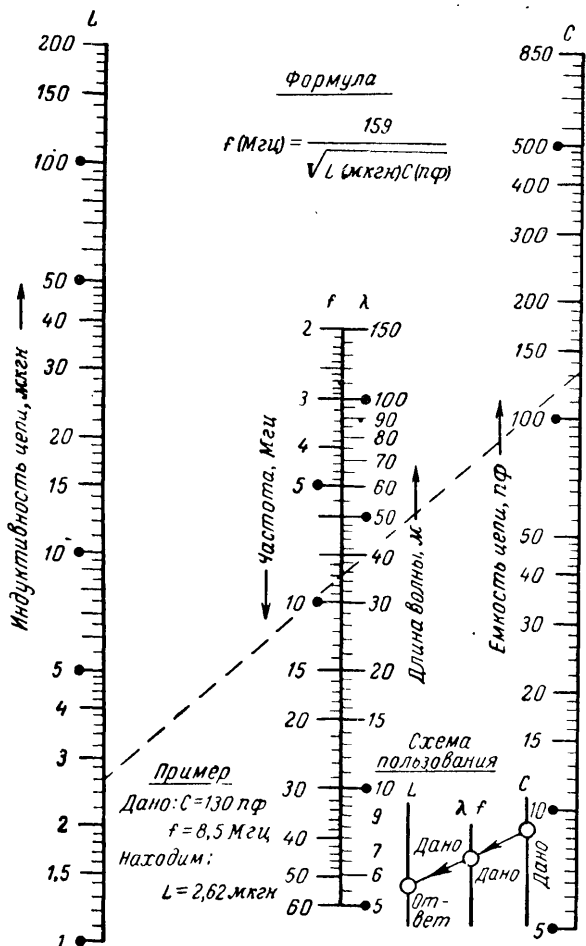


Рис. 89. Номограмма для определения резонансной частоты контура в диапазоне 2—60 МГц.

На рис. 86—89 показаны номограммы для расчета резонансной частоты контура f_0 при известных значениях индуктивности L и емкости C . При заданном значении частоты контура и одного из его элементов L или C номограммы позволяют определять значения неизвестного элемента. Номограмма, показанная на рис. 86, относится к низким частотам, на рис. 87 — к диапазону длинных волн, на рис. 88 — к диапазону средних волн и на рис. 89 — к коротким и частично ультракоротким волнам.

Выше были определены параметры идеального контура, не имеющего потерь. Реальный контур состоит из катушки индуктив-

ности, конденсатора и активного сопротивления R (рис. 90). Сопротивление R не существует как отдельный элемент колебательного контура. Оно условно характеризует величину потерь в катушке индуктивности и конденсаторе и называется сопротивлением потерь. Причиной потерь энергии в колебательном контуре являются: активное сопротивление проводников, утечки в изоляции, потери на излучение и др. Учитывая, что потери в конденсаторах очень незначительны, считают, что сопротивление потерь R сосредоточено в катушке индуктивности.

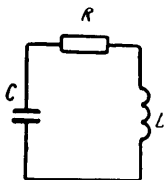


Рис. 90. Эквивалентная схема реального контура.

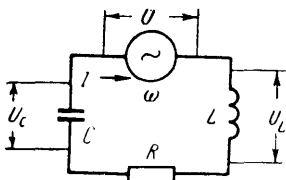


Рис. 91. Схема последовательного колебательного контура.

Резонансная частота, определяемая для колебательного контура с активным сопротивлением потерь R , вычисляется по формуле

$$f_0 = \frac{1}{2\pi} \sqrt{\frac{1}{LC} - \frac{R^2}{L^2}}.$$

Для частот выше 100 кГц эта формула имеет вид

$$f_0 = \frac{1}{2\pi} \sqrt{\frac{1}{LC} - \frac{R^2}{4L^2}}.$$

Величину затухания колебаний в контуре принято оценивать отношением активного сопротивления R к характеристическому ρ

$$d = \frac{R}{\rho} = \frac{R}{2\pi f_0 L} = 2\pi f_0 C R.$$

Величина, обратная затуханию, называется добротностью контура и обозначается буквой Q ;

$$Q = \frac{1}{d} = \frac{2\pi f_0 L}{R}.$$

В зависимости от того, как включен источник высокочастотной э. д. с., колебательный контур может быть последовательным или параллельным.

Последовательный колебательный контур

На рис. 91 показана схема последовательного колебательного контура, в котором источник э. д. с. включен последовательно с L и C контура. В этой цепи имеется активное сопротивление R и общее

реактивное X , образованное емкостью C и индуктивностью L , равное

$$X = \omega L - \frac{1}{\omega C}.$$

Полное сопротивление z цепи, состоящей из включенных последовательно реактивного X и активного R , определяется по формуле

$$z = \sqrt{R^2 + X^2} = \sqrt{R^2 + \left(\omega L - \frac{1}{\omega C}\right)^2}.$$

Величина z принимает минимальное значение, равное R , при том значении ω , для которого $X=0$. Частота, на которой наблюдается

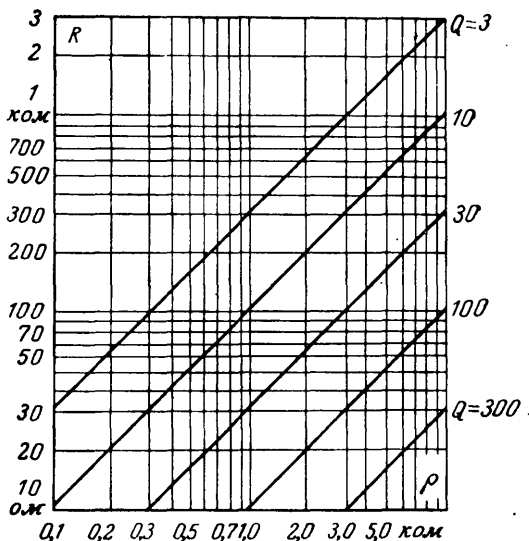


Рис. 92. Номограмма для определения резонансного сопротивления последовательного контура.

это явление, называется резонансной частотой последовательного контура и определяется из условия

$$X = \omega L - \frac{1}{\omega C} = 0; \quad \omega^2 = \frac{1}{LC},$$

т. е.

$$f = \frac{1}{2\pi \sqrt{LC}}.$$

В последовательном колебательном контуре наблюдается резонанс напряжений, т. е. напряжения на реактивных элементах кон-

тура равны по величине, в Q раз больше подводимого от источника напряжения, но противоположны по знаку, вследствие чего их сумма равна нулю.

Добротность последовательного контура Q показывает, во сколько раз активное сопротивление контура при резонансе меньше его характеристического сопротивления:

$$Q = \frac{\rho}{R} = \frac{\omega L}{R} = \frac{1}{\omega CR}.$$

Величина Q в основном определяется добротностью катушки индуктивности и может составлять от нескольких десятков до нескольких сотен единиц. Чем меньше сопротивление потерь R , тем выше значение Q и, следовательно, тем лучше резонансные свойства колебательного контура.

В радиолюбительских схемах величина характеристического сопротивления колебательных контуров лежит в пределах от 10 ом до 10 ком, а добротность в пределах от 3 до 300. На рис. 92 показана номограмма для определения сопротивления последовательного контура в зависимости от Q и ρ .

Последовательный колебательный контур применяется главным образом для подавления или ослабления нежелательных частот, в цепях частотнозависимой обратной связи, а также в качестве междукаскадного согласующего устройства.

Параллельный колебательный контур

На рис. 93 показана схема параллельного колебательного контура. Условия получения резонанса в параллельном колебательном контуре такие же, как и в последовательном. При резонансе эквивалент-

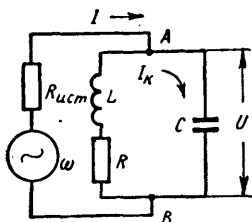


Рис. 93. Схема параллельного колебательного контура.

ное сопротивление параллельного контура носит активный характер, максимально по величине и выражается следующим соотношением:

$$R_3 = \frac{\rho^2}{R} = \frac{L}{RC} = Q\rho.$$

Добротность параллельного контура показывает, во сколько раз эквивалентное сопротивление контура больше его характеристического сопротивления

$$Q = \frac{R_3}{\rho}.$$

На рис. 94 показана номограмма для определения величины R_0 параллельного контура (сопротивление между точками A и B) в зависимости от Q и ρ , а на рис. 95 — номограмма, позволяющая определять величину R_0 при известных значениях C , L и R .

На частотах, отличных от резонансной частоты контура, эквивалентное сопротивление параллельного контура падает. Если частота ниже резонансной, то эквивалентное сопротивление носит индуктивный характер; если частота выше резонансной, то эквивалентное сопротивление носит емкостный характер.

В параллельном колебательном контуре наблюдается резонанс токов, т. е. токи в реактивных сопротивлениях контура равны между собой по величине, в Q раз больше тока, протекающего через источник э. д. с., но противоположны по знаку, вследствие чего их сумма равна нулю.

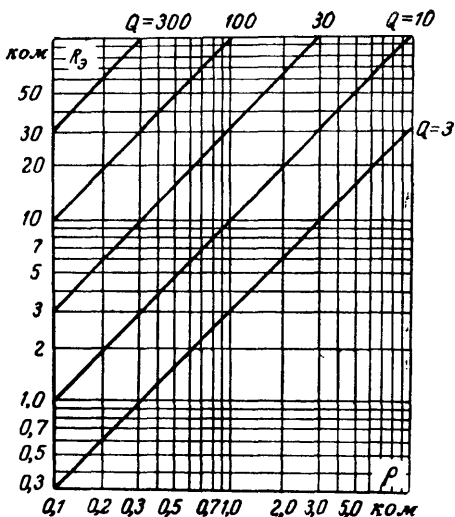


Рис. 94. Номограмма для определения резонансного эквивалентного сопротивления параллельного контура в зависимости от ρ и Q .

Частотные характеристики одиночного колебательного контура

Колебательный контур пропускает колебания в пределах некоторой полосы частот, располагающейся по обе стороны от резонансной частоты f_0 . Эта полоса называется полосой пропускания контура $\Pi_{\text{пр}}$ и условно определяется по резонансной кривой на уровне 0,707 от максимального значения тока или напряжения, соответствующего резонансной частоте (рис. 96). Резонансной кривой колебательного контура называется графическое изображение его амплитудно-частотной характеристики.

Для одиночного последовательного колебательного контура полоса пропускания определяется по формуле

$$\Pi_{\text{пр}} = df_0 = \frac{f_0}{Q} = 2\Delta f.$$

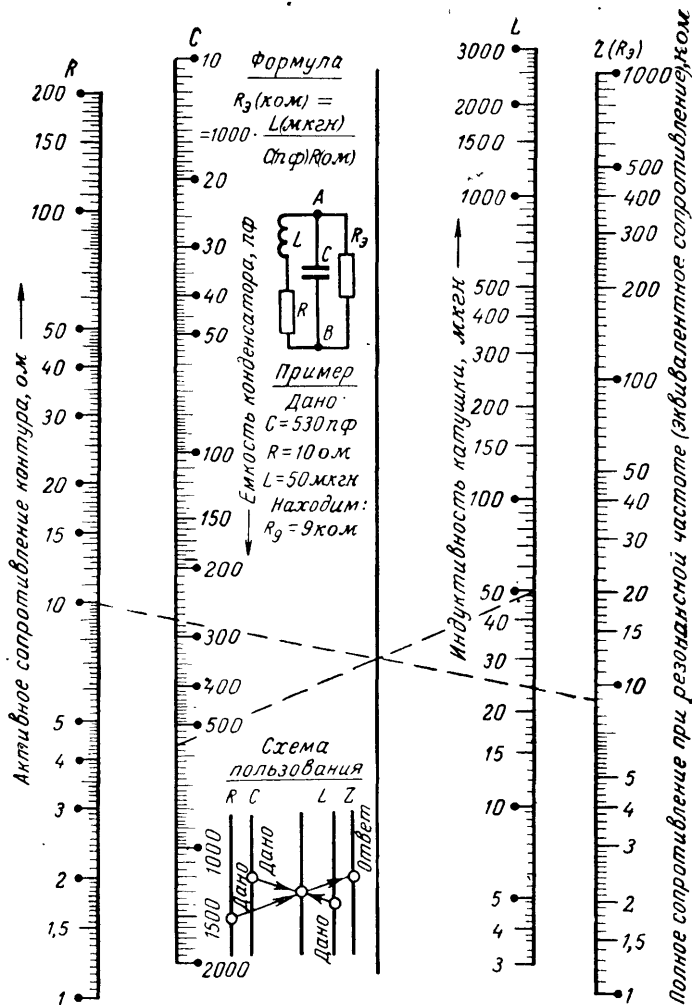


Рис. 95. Номограмма для определения эквивалентного резонансного сопротивления параллельного контура.

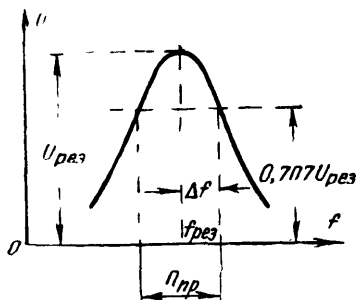
Для параллельного контура с учетом шунтирующего действия внешнего источника полоса пропускания равна:

$$П_{пр} = d f_0 \left(1 + \frac{R_3}{R_{ист}} \right).$$

Для получения узкой полосы пропускания необходимо применять контур с высокой добротностью, а для получения широкой полосы

контур должен иметь низкую добротность. Результирующая добротность контура снижается, а полоса пропускания увеличивается при подключении параллельно контуру активного сопротивления $R_{ш}$, называемого шунтирующим (рис. 97). Это сопротивление вносит потери в общую цепь; чем меньше сопротивление $R_{ш}$, тем меньше результирующая добротность и тем больше затухание контура.

Рис. 96. Полоса пропускания контура.



Величина шунтирующего сопротивления, необходимая для получения заданной полосы пропускания, может быть найдена из выражения

$$R_{ш} = \frac{L}{C \left(\frac{\omega L}{Q} - R \right)}.$$

Действующая или результирующая добротность параллельного контура $Q_э$ с учетом влияния шунтирующего сопротивления $R_{ш}$ опре-

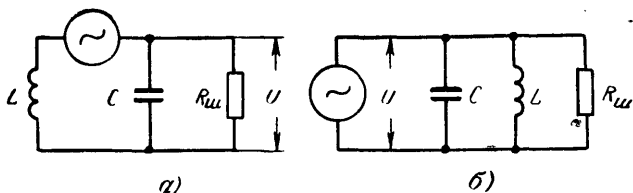


Рис. 97. Шунтирование контура активным сопротивлением.

деляется по формуле

$$Q_э = Q \frac{1}{1 + Q \frac{\rho}{R_{ш}}},$$

где Q — добротность контура без учета влияния сопротивления $R_{ш}$; ρ — характеристическое сопротивление контура.

Необходимые значения индуктивности и емкости контура для получения заданной добротности находятся как

$$L = \frac{R_{ш} (Q - Q_э)}{\omega Q Q_э}; \quad C = \frac{1}{\omega^2 L}.$$

Резонансная кривая колебательного контура описывается уравнением

$$\frac{U}{U_{\text{рез}}} = \frac{I}{I_{\text{рез}}} = \frac{1}{\sqrt{1 + \left(\frac{2\Delta l}{f_0} Q\right)^2}} = \frac{1}{\sqrt{1 + \left(\frac{Q}{50} \Delta\%\right)^2}}$$

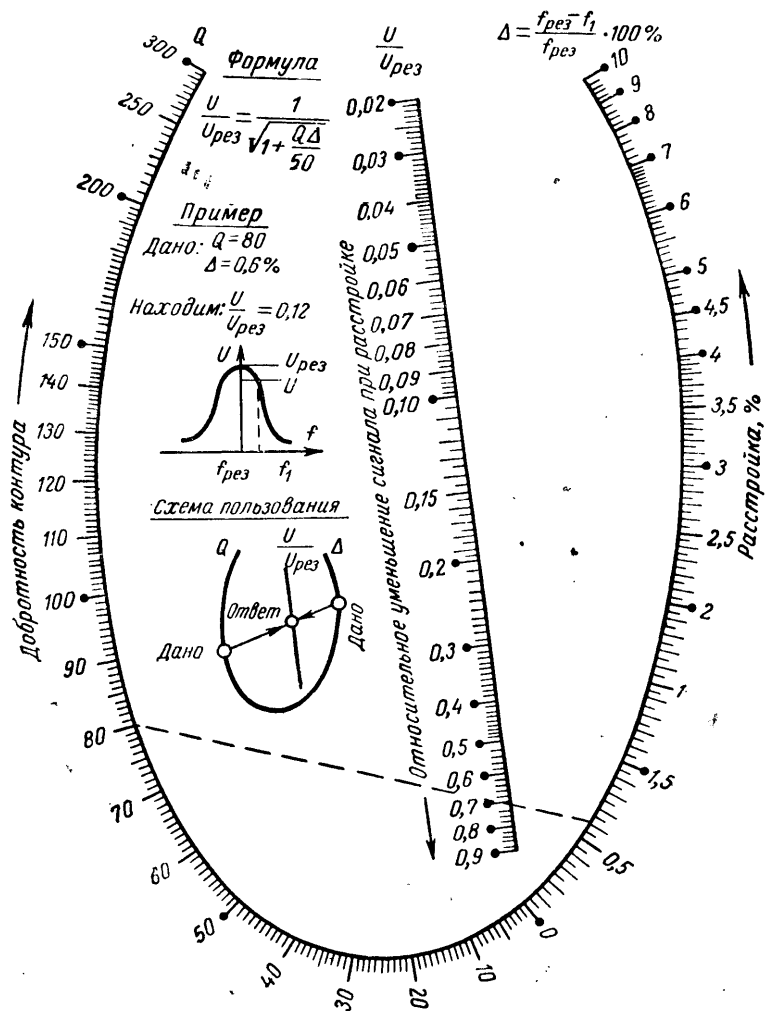


Рис. 98. Номограмма для определения ослабления сигнала, частота которого отличается от резонансной.

В этом уравнении отношения $U/U_{\text{рез}}$ и $I/I_{\text{рез}}$ показывают, какая часть максимально возможных (при резонансе) напряжений или токов получается при заданной расстройке Δ , которая определяется как

$$\frac{f - f_0}{f_0} 100,$$

где f — частота действующей на контур э. д. с.;
 f_0 — резонансная частота контура.

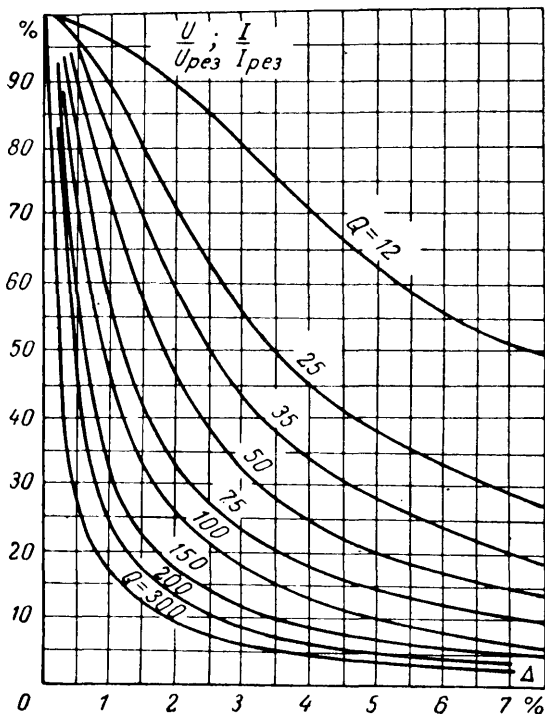


Рис. 99. Резонансные кривые последовательного контура в зависимости от Q и процентной расстройки.

На рис. 98 показана номограмма, позволяющая определять ослабление сигнала, частота которого отличается от резонансной частоты контура. С помощью этой номограммы можно определять напряжения на элементах последовательного контура и напряжение на параллельном контуре при заданной расстройке. Для этого при заданной расстройке Δ и величине Q определяется отношение $U/U_{\text{рез}}$, как показано на номограмме. Из этого отношения определяется величина U . Напряжение на конденсаторе или катушке индуктивности последовательного контура будет равно UQ . Аналогично определя-

ется величина напряжения на параллельном контуре. Следует отметить, что приведенная методика справедлива для малых расстроек.

На рис. 99 показан график, дающий форму верхней части резонансной кривой последовательного контура в зависимости от расстройки в отношениях токов или напряжений, выраженной в процентах, а на рис. 100 — в децибелах. Найденные из графиков величины справедливы для малых расстроек любого знака. По этим графикам можно определить напряжение на параллельном контуре при извест-

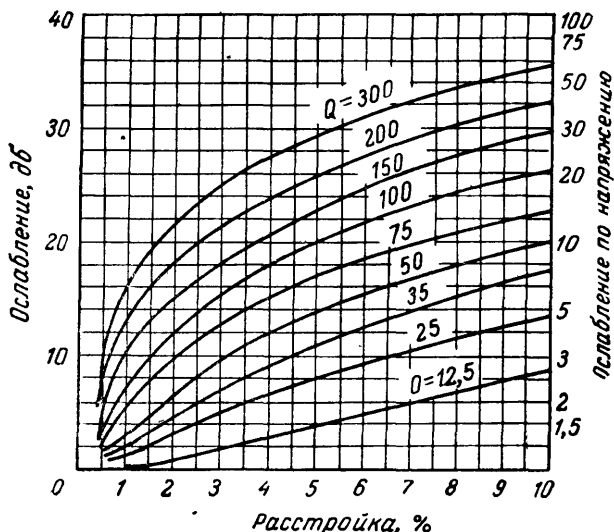


Рис. 100. Ослабление сигнала по резонансной кривой последовательного колебательного контура.

ных значениях Q , Δ и $U_{\text{рез}}$. Например, определим величину напряжения на контуре с добротностью $Q=50$ при расстройке в пределах $\pm 3\%$. По графику на рис. 99 находим, что напряжение на контуре будет составлять 32% от $U_{\text{рез}}$. По формуле

$$U = \frac{U_{\text{рез}} \cdot 32}{100}$$

определим значение U при заданной расстройке.

Избирательностью контура называют величину, показывающую, во сколько раз помеха, отстоящая по частоте от резонанса на заданную расстройку, усиливается слабее сигнала, совпадающего по частоте с резонансной. Избирательность может быть определена по формуле

$$S = \frac{U_{\text{рез}}}{U} \sqrt{1 + \left(\frac{Q}{50} \Delta\% \right)^2}.$$

При больших расстройках избирательность приближенно равна:

$$S = Q \left(\frac{f}{f_0} - \frac{f_0}{f} \right).$$

На рис. 101 показана обобщенная резонансная кривая последовательного контура, построенная для небольших расстроек. По этой кривой можно вычислить добротность по заданным значениям избирательности, рабочей частоты и расстройки.

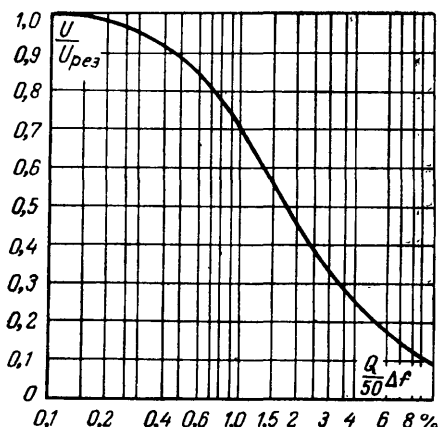


Рис. 101. Обобщенная резонансная кривая одиночного последовательного контура.

Связанные контуры

Если два или более колебательных контура имеют электрическую или магнитную связь, то такие контуры называются связанными. Общий элемент, через который контуры связаны друг с другом, называется элементом связи.

Величина связи характеризуется коэффициентом связи $k_{св}$, который может иметь значения от 0 до 1

$$k_{св} = \frac{X_{св}}{\sqrt{X_1 \cdot X_2}}; \quad 0 \leq k_{св} \leq 1,$$

где $X_{св}$ — общее для обеих цепей реактивное сопротивление элемента связи;

X_1 и X_2 — сопротивления контуров, одноименные с сопротивлением элемента связи.

Изменение режима работы одного контура из-за влияния другого оценивается с помощью вносимых сопротивлений. Влияние второго

контур на первый сводится к внесению в первый контур сопротивлений — активного

$$R_{вн} = \frac{X_{св}^2}{Z_2^2} R_2$$

и реактивного

$$X_{вн} = -\frac{X_{св}^2}{Z_2^2} X_2,$$

где Z_2 — полное сопротивление второго контура.

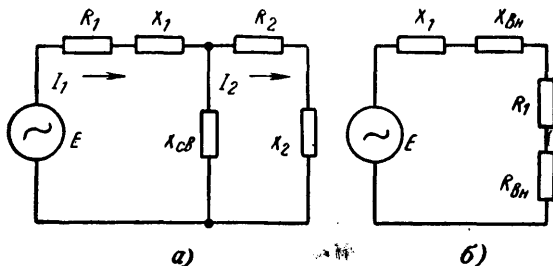


Рис. 102. Связанные контуры (а) и их эквивалентная схема (б).

На рис. 102 показана эквивалентная схема первого контура с учетом влияния на него второго контура. Резонанс в этой системе наступает при

$$X_1 - \frac{X_{св}^2}{Z_2^2} X_2 = 0,$$

считая, что $Z_2 \approx X_2$,

$$X_1 X_2 - X_{св}^2 = 0.$$

На практике используется несколько различных видов связи. На рис. 103 показана схема индуктивной связи между контурами. Контур $L_1 C_1$, получающий энергию от внешнего источника э. д. с, назы-

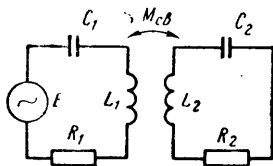


Рис. 103. Индуктивная связь между двумя контурами.

вается первичным контуром. Контур $L_2 C_2$, получающий энергию от первичного контура, называется вторичным. При индуктивной связи ток первичного контура, проходя через катушку L_1 , создает вокруг нее магнитное поле, силовые линии которого пересекают витки ка-

тушки L_2 и возбуждают в ней э. д. с. Эта э. д. с. создает во вторичном контуре ток, величина которого зависит от сопротивления связи $X_{св}$ и коэффициента связи $k_{св}$, которые равны:

$$X_{св} = \omega M_{св}; \quad k_{св} = \frac{M_{св}}{\sqrt{L_1 L_2}},$$

где $M_{св}$ — коэффициент взаимной индуктивности.

Для получения максимального тока и напряжения в контурах их настраивают в резонанс. В первичном контуре может быть либо резонанс напряжений, либо резонанс токов в зависимости от способа

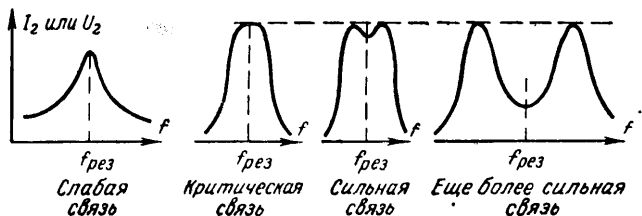


Рис. 104. Кривые резонанса двух связанных контуров при различной величине связи.

включения внешнего источника в этот контур. При небольших коэффициентах связи эквивалентный контур, состоящий из двух контуров, имеет одну резонансную частоту. Резонансная кривая имеет один максимум до так называемой критической связи. При дальнейшем увеличении связи обнаруживаются две резонансные частоты

$$f_1 = \frac{f_0}{\sqrt{1 - k_{св}}}; \quad f_2 = \frac{f_0}{\sqrt{1 + k_{св}}},$$

которые отличаются друг от друга тем больше, чем сильнее связь между контурами (рис. 104). Эти частоты называются частотами связи. Зависимость частот связи от коэффициента связи показана на рис. 105. Связанные контуры позволяют регулировать полосу пропускания изменением степени связи между ними. До критической связи полоса пропускания двух одинаковых индуктивно связанных контуров равна полосе пропускания каждого контура. При дальнейшем увеличении связи полоса пропускания расширяется, но равномерность пропускания частот ухудшается, так как на резонансной кривой появится впадина. Коэффициент β , определяющий глубину провала, определяется по формуле

$$\beta = \frac{X_{св}}{R} = Qk_{св}.$$

Связь между контурами считается критической при $\beta = 1$.

На рис. 106 показаны обобщенные кривые для двух связанных контуров, где на вертикальной оси отложена величина ослабления

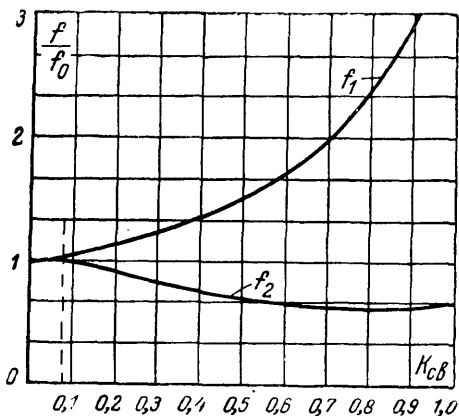


Рис. 105. График зависимости частот связи от коэффициента связи.

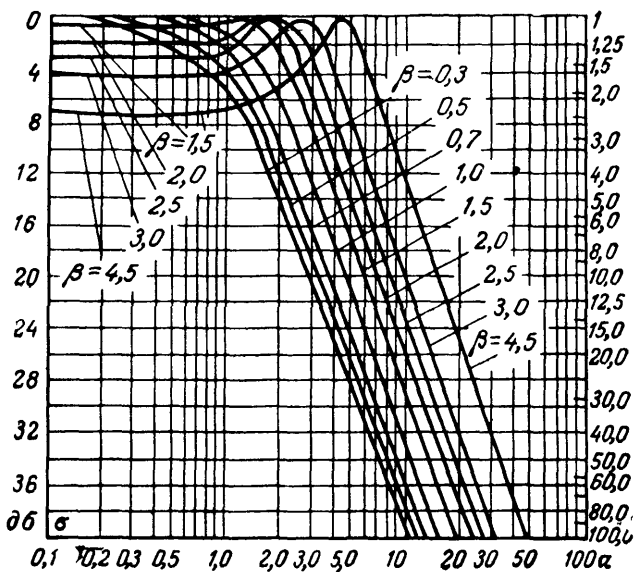


Рис. 106. Обобщенные кривые для двух связанных контуров.

сигнала, отличного от резонансной частоты σ , а на горизонтальной оси даны значения обобщенной расстройки

$$\alpha = 2Q \frac{\Delta f}{f_0} = \frac{Q}{50} \Delta\%.$$

Выбрав кривую, соответствующую $\beta=1$, следует отыскать на ней точку, лежащую на уровне σ_1 и прочесть соответствующее ей значение α_1 . При этом расчетное значение добротности контура составит:

$$Q_p = \frac{\alpha_1 f_0}{2F_{\Sigma}},$$

где F_{Σ} — верхняя граничная частота полосы пропускания.

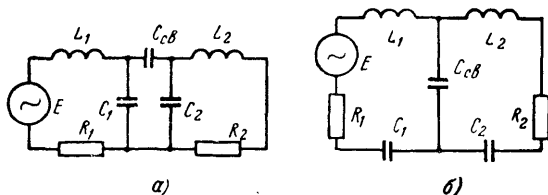


Рис. 107. Схема емкостной связи.

а — внешняя емкостная связь; *б* — внутренняя емкостная связь.

Полученное значение Q_p следует сопоставить с конструктивно осуществимой добротностью контура Q_k . В табл. 31 приведены ориентировочные значения добротности контуров с катушками различных типов.

Таблица 31

Ориентировочные значения добротности контуров

Резонансная частота f_0	Добротность Q_k		Наилучший материал для сердечника
	без ферромагнитного сердечника	с ферромагнитным сердечником	
0,1—1 кГц	—	4—20	Пермаллой
1—10 кГц	—	10—50	Феррит
10—100 кГц	—	30—150	•
0,1—1 МГц	20—100	100—300	•
1—10 МГц	50—150	100—250	Карбонильное железо
10—100 МГц	100—250	—	—

Если $Q_p < Q_k$, то в дальнейшем следует считать $Q = Q_p$. При $Q_p > Q_k$ следует считать добротность контуров равной Q_k и выбрать другую кривую β .

На рис. 107, *а* изображена схема емкостной связи между двумя контурами, в которой конденсатор связи $C_{св}$ не входит в состав первичного и вторичного контуров. Такая связь называется внешней емкостной связью. В этой схеме напряжение первичного контура действует через конденсатор связи $C_{св}$ на вторичный контур и создает

нем ток. Коэффициент связи определяется по формуле

$$k_{св} = \frac{C_{св}}{\sqrt{(C_1 + C_{св})(C_2 + C_{св})}}.$$

Необходимо указать, что связь между контурами необходимо устанавливать достаточно точно, так как форма резонансной кривой системы связанных контуров очень чувствительна к изменению величины связи. В этом отношении внешняя емкостная связь имеет

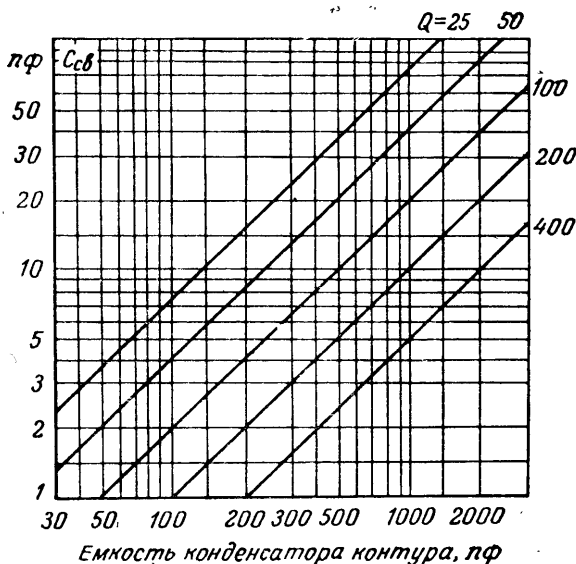


Рис. 108. График для расчета величины емкости конденсатора связи $C_{св}$.

преимущество перед другими типами связи, особенно при использовании малогабаритных катушек индуктивности.

В любительских схемах величина емкости контура находится в пределах от 30 до 3000 пф, а добротность контура — в пределах от 10 до 300. На рис. 108 показан график для расчета величины емкости конденсатора связи $C_{св}$ при различных значениях добротности Q и емкости контура C . Полученная величина $C_{св}$ обеспечивает связь между контурами, равную или несколько больше критической.

В схеме с внутренней емкостной связью (рис. 107,б) напряжение, которое получается на конденсаторе связи $C_{св}$ при прохождении через него тока, действует на вторичный контур и создает в нем ток. В схеме с внутренней емкостной связью чем больше емкость $C_{св}$, тем слабее связь. Для осуществления слабой связи в этой схеме величина $C_{св}$ берется порядка тысяч пикофард.

Сопротивление связи и коэффициент связи определяются по формулам

$$X_{св} = -\frac{1}{\omega C_{св}}; \quad k_{св} = \sqrt{\frac{C_1 C_2}{(C_1 + C_{св})(C_2 + C_{св})}}.$$

ЛИТЕРАТУРА

1. Гинкин Г. Г., Справочник по радиотехнике, Госэнергоиздат, 1948.
2. Терещук Р. М. и др., Справочник радиолюбителя, Изд-во технической литературы УССР, Киев, 1961.
3. Волгов В. А., Детали контуров радиоаппаратуры, Госэнергоиздат, 1954.
4. Азарх С. Х., Конденсаторы переменной емкости, изд-во «Энергия», 1965.
5. Ренне В. Т., Багалей Ю. В. и Фридберг И. Д., Расчет и конструирование конденсаторов, изд-во «Техника», Киев, 1966.
6. Цейтлин Л. А., Индуктивности проводов и контуров, Госэнергоиздат, 1950.
7. Калантаров П. Л., Цейтлин Л. А., Расчет индуктивности, Госэнергоиздат, 1955.
8. Майоров А. С., Альбом частотных характеристик добротности катушек индуктивности на брзневых сердечниках, Госэнергоиздат, 1958.
9. Матвеев Г. А. и Хомич В. И., Катушки с ферритовыми сердечниками, изд-во «Энергия», 1967.
10. Шольц Н. Н. и Пискарев К. А., Ферриты для радиочастот, изд-во «Энергия», 1966.
11. Волгов В. А., Детали и узлы радиоэлектронной аппаратуры, изд-во «Энергия», 1967.
12. Жеребцов И. П., Радиотехника, изд-во «Связь», 1965.
13. Асеев Б. П., Колебательные цепи, Изд-во по вопросам связи и радио, 1955.
14. Хайкин С. Э., Электромагнитные колебания и волны, изд-во «Энергия», 1964.
15. Цыкин Г. С., Трансформаторы низкой частоты, Изд-во по вопросам связи и радио, 1955.

О Г Л А В Л Е Н И Е

Предисловие	3
Основные обозначения	4
Глава первая. Емкость и конденсаторы	5
Определяющие параметры конденсатора	5
Печатные конденсаторы	9
Конденсаторы переменной емкости	10
Прямоемкостные конденсаторы	12
Прямоволновый конденсатор	13
Прямочастотный конденсатор	14
Логарифмический конденсатор	15
Конденсаторы переменной емкости с твердым ди- электриком	16
Конденсатор в цепи переменного тока	17
Соединение конденсаторов	25
Глава вторая. Катушки индуктивности	28
Расчет индуктивности	28
Многослойные катушки	36
Экранированные катушки	42
Собственная емкость катушек индуктивности	44
Взаимная индуктивность и коэффициент связи	47
Добротность катушек индуктивности	52
Коротковолновые катушки	58
Катушки с магнитными сердечниками	61
Катушки индуктивности с цилиндрическими магнит- ными сердечниками	63
Катушки индуктивности с кольцевыми сердечниками	65
Катушки индуктивности с броневыми сердечниками	70
Температурная стабильность катушек с магнитными сер- дечниками	70
Дроссели высокой частоты	90
Катушки индуктивности с сердечниками из ферромагнит- ных материалов	94
Соединение катушек индуктивности	100
Глава третья. Расчет колебательных контуров	103
Основные параметры колебательных контуров	103
Последовательный колебательный контур	112
Параллельный колебательный контур	114
Частотные характеристики одиночного колебательного контюра	115
Связанные контуры	121
Литература	127